

محمّد يوسف اللواتي

# التفكير التركيبية للغة والتفكير، (الدكتور)

محمّد يوسف اللواتي

محمّد يوسف اللواتي

الأستاذ المساعد فاضل عبد اللطيف  
الأستاذ المشارك الدكتور عبد الحميد علي

هنا يوسف اللواتي

متاح للتحميل ضمن مجموعة كبيرة من المطبوعات من صفحة  
مكتبتي الخاصة  
على موقع ارشيف الانترنت  
الرابط

[https://archive.org/details/@hassan\\_ibrahem](https://archive.org/details/@hassan_ibrahem)

مسن يوسف والدمشي

بغداد 22.11.1989 م

وزارة التعليم العالي والبحث العلمي

## النظرية الحركية للغازات والميكانيك الاحصائي

تأليف

الاستاذ المشارك

د . عبد الحميد علي العبد

كلية التربية/ الموصل

الاستاذ المساعد

فياض عبد اللطيف النجم

كلية التربية/ بغداد

الطبعة الأولى



# بسم الله الرحمن الرحيم

## مقدمة الكتاب

لقد وضعنا هذا الكتاب ، استجابة لعملية التعريب النشطة التي تتولاها وزارة التعليم العالي والبحث العلمي الموقرة ، تكريماً للغتنا العربية الجميلة ولجعل التعليم في متناول الجميع .

ولقد كتبنا فصول الكتاب طبقاً للمنهج المقرر ، لفصل دراسي واحد ، مع مراعاة التسلسل التاريخي لموضوعاته ، واكثرنا من الأمثلة التطبيقية والمسائل المحلولة والتارين مع نواتجها ، لكي يستوعب الطالب مفاهيمه وتتوضح مجالات استعماله الواسعة ولا سيما في الثرموداينمكس والفلك وفيزياء الحالة الصلبة والفيزياء الذرية .

وهو يعتبر جزءاً متمماً لدراسة الثرموداينمكس ، لأنه يحاول ايجاد التفسير النظري لبعض خواص المادة ، والتي يعجز علم الثرموداينمكس على تفسيرها ، بسبب طبيعة الأخير التجريبية وعدم اعتماده على دراسة الخواص التفصيلية لجسيمات النظام ، وهذا ما يتناوله علم النظرية لحركية للغازات والميكانيك الأحصائي ، فهو يتطرق الى المزيد من الفرضيات والتحويلات لوصف تصرف الجسيمات مما يزيد التعقيدات الرياضية له ، بسبب التفاعل المعقد بين جسيمات النظام وابتعاد خواصها عن الميكانيك التقليدي (ميكانيك نيوتن) . ولقد استخدمنا مفاهيم الاحصاء والتكميم بحرية ، اختصاراً للجهد وزيادة في الدقة .

نأمل ان نكون قد اعطينا للموضوع بعض حقه ولو بصورة اولية مع المحافظة على الدقة العلمية مراعين بذلك ظروف وحاجات طلبة كليات التربية . والله من وراء القصد .

المؤلفان

متاح للتحميل ضمن مجموعة كبيرة من المطبوعات من صفحة

مكتبتي الخاصة

على موقع ارشيف الانترنت

الرابط

[https://archive.org/details/@hassan\\_ibrahem](https://archive.org/details/@hassan_ibrahem)

## الفصل الأول

### النظرية الحركية للغازات

#### (1-1) مقدمة :

لقد لاحظ الطالب في دراسة الترموداينمكس ، بأنه يعالج الكميات المنظورة (Macrsopic Properties) والتي لها علاقة بالحالة الداخلية للنظام (System) كذلك فلقد لاحظنا ، بأنه عِلْم تجريبي يعتمد على عدد قليل من الاحداثيات ، مثل درجة الحرارة (T) والضغط (P) والحجم (V) والسعة الحرارية (C) وهذه كميات محسوسة وقابلة للقياس ، وهي لا تتطلب وضع فرضيات تفصيلية عن التركيب الداخلي للمادة ، ويمكن استخدام هذه الكميات المقاسة لتعيين قيم بعض الكميات الغير قابلة للقياس مباشرة ، مثل الانتروبي (S) والطاقة الداخلية (U) والانضغاطية (K) وغيرها .

ولكن الترموداينمكس يعجز عن اعطاء فكرة عميقة لهذه المفاهيم ، وتغيرها بتغير الظروف الفيزيائية ، فهو عاجز ، مثلاً عن تفسير تغير الحرارة النوعية او اللزوجة او الضغط، مع درجة الحرارة ، وهو لا يفسر معنى الانتروبي او يعطي وسيلة لقياس قيمته المطلقة . وهذه الاعتبارات لجأ العلماء الى دراسة الخواص المجهرية (Microscopic Properties) للمادة لغرض تفسير تصرف خواصها المنظورة . ان ذلك يتطلب وضع الكثير من الفرضيات لخواص اغلبها الغير قابلة للقياس ، لكونها غير منظورة او محسوسة ، مثل افتراض تواجد الجزيئات بمواصفات خاصة من حيث الشكل والحركة والحجم والطاقة والقوى بينها ، وهذا ما سوف نعالجه في كتابنا هذا .

ولعل أقدم هذه الفرضيات بهذا الشأن هي كون المادة غير متصلة التركيب بل تتكون من جزيئات ، وان الحرارة مظهر (Manifestation) للحركة الجزيئية .

وهناك ادلة كثيرة على هذه الحركة ، لعل اوضحها هي الحركة البراونية والانتشار . ولعل اقدم المفاهيم التي وضعت عن النظرية الحركية للمادة قد وضعها الفلاسفة الاغريق مثل (لوكريشوس) ، (وديمقريطس) ، و (ايبتيوروس) ، وبقيت هذه المفاهيم على حالها حتى بعث فيها الحياة العالم الايطالي (غاسيندي) في منتصف القرن السابع عشر فاستخدمها لتفسير حالات المادة وتحولاتها . ولقد توصل الى نفس النتيجة الانكليزي (هوك) بعد عشرين سنة من عمل غاسيندي . ولقد اشار الى هذه المحاولات (دانيال برنولي) في كتابه (هايدروداينميكا عام 1738) وهو الذي قام باشتقاق قانون بويل . ثم ركد هذا العلم بعد برنولي لقراءة قرن من الزمن ، ثم طوره بسرعة عدد من المشاهير مثل جول (1848) وكلاوزيوس (1857) ، فلقد اشتق الأخير العلاقة بين (T.V.P) وحسب قيمة (Cv.Cp) للغاز المثالي . وتلاه العديد من العلماء الافذاذ مثل (بولتزمان) و(كيرشوف) و (فان ديرفال) و (تيت) و (اللورد رايلي) و (كلارك ماكسويل 1859) . ومن الطريف ان ماكسويل اضطر لدراسة الغازات عندما كان يجري دراسة على حلقات الكوكب زحل ، فوضع قانون توزيع السرعة للجزيئات .

ولقد تطورت النظرية الحركية للمادة بسرعة بعد وضع نظرية التكميم (1901) فأصبحت اهم واشمل نظرية في تفسير العديد من ظواهر المادة . كما سنرى في الفصول القادمة .

## ( ١ - ٢ ) - النظرية الحركية للغاز المثالي :

تعتبر هذه النظرية من أبسط النظريات لدراسة الخواص المجهرية للمادة، نظراً لكونها تدرس خواص جزيئة واحدة باستخدام قوانين الميكانيك التقليدي . وهي تنحصر في دراسة الغازات لكونها ابسط حالات المادة ، بسبب صغر التأثيرات الجزيئية على بضعها البعض مقارنة بالحالة السائلة والصلبة .

وسوف نشق بعض الخواص الثرموداينميكية للغاز المثالي بالاعتماد على الفرضيات التالية : -

١ - ان أي حجم محسوس من الغاز يحتوي على أعداد هائلة من



الجزئيات ، وهذا الفرض تؤيده الحقيقة ، فان المول الغرامي من المادة يحتوي على  $6.0 \times 10^{23}$  جزيئة (عدد افوكادور ونرمز له No) وان الستيمتر المكعب من الغاز في الظروف القياسية يحتوي زهاء  $2.9 \times 10^{10}$  جزيئة (عدد لوشميت) .

٢ - المسافة بين الجزئيات كبيرة مقارنة بقطر الجزيئي (٢ - ٣ انكستروم) فهي تزيد على ذلك في الظروف القياسية بعشرة أضعاف ، فمثلاً يمكن البرهنة بسهولة ان جزيئات الماء في الحالة البخارية بدرجة ١٠٠ س° تتباعد ١٢ ضعفاً عن حالة السيولة .

٣ - القوى الجزيئية صغيرة ، إلا عندما تتصادم مع بعضها او مع الجدار، وهي تسير بحركة عشوائية وبخطوط مستقيمة عند انعدام القوى الخارجية (مثل الجاذبية والمجالات الكهرومغناطيسية) .

٤ - الجزئيات كتل نقطية (Point Masses) مرنة وملساء عند تصادمها مع بعضها او مع الجدار بحيث لا تتغير المركبة المماسية للسرعة بعد التصادم . وان زمن التصادم صغير مقارنة مع زمن اصطدامين متتاليين .

٥ - تتوزع الجزئيات بصورة عشوائية من حيث الحركة والاتجاه ولا توجد أفضلية لأي اتجاه ، وان خواص الغاز في اية نقطة في النظام (System) متجانسة (مثل الكثافة والضغط ودرجة الحرارة) . على أن لا يكون عنصر الحجم  $\Delta V$  صغيراً جداً ، وتنعقد القوى الخارجية .

٦ - تتغير سرعة الجزئيات باستمرار بسبب التصادم ولكن عددها لأي مدى من السرعة يبقى ثابتاً . ويتراوح انطلاقها (C(speed) من صفر الى قرابة انطلاق الضوء Co) ولأغراض التكامل سنفترض الانطلاق (c) تتراوح من صفر الى ما لا نهاية) .

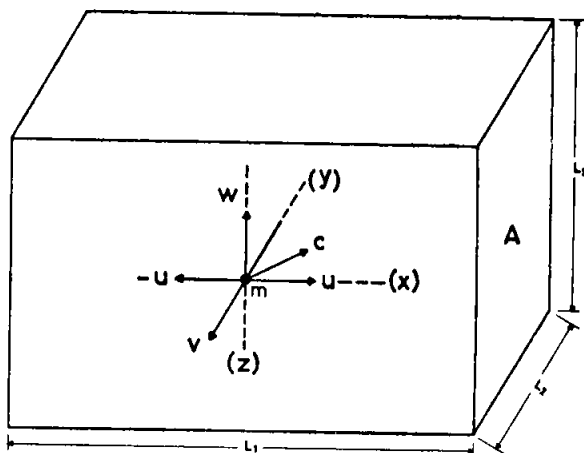
ان الفرضيات اعلاه تنطبق تقريباً على الغازات البسيطة (الأحادية الذرة) عندما تكون درجة الحرارة عالية (بعيدة عن حالة السيولة) والضغط واطىء (الجزئيات متباعدة) . ولا يمكن اعتبار الجزئيات المتعددة الذرات كرات نقطية .

ولاشتقاق بعض الخواص البسيطة لهذا الغاز (وللغاز الحقيقي تقريباً) . نفرض وعاءاً مستطيل الأوجه ابعاده  $l_1, l_2, l_3$  يحتوي على N جزيئة غاز درجة حرارته

(T) كلفن وضغط (P) بحالة اتزان ثرموداينميكي (المخطط ١ - ١) . فلو اقتصرنا على الاتجاه السيني واخذنا جزيئة كتلتها (m) وانطلاقها (C) ، مركباتها باتجاه  $z y'x$  هي  $w, v, u$  حيث :

$$C^2 = u^2 + v^2 + w^2$$

فان تغير الزخم السيني عند اصطدامها بالوجه (A) يساوي  $(-2mu)$  وهو رد فعل السطح ، لأننا افترضنا (u) موجبة نحو اليمين وسالبة نحو اليسار .



المخطط (١ - ١) غاز في وعاء مستطيل الأوجه بدرجة حرارة (T)

لذلك فانها تعود مرة أخرى بعد  $\Delta t = \frac{2l_1}{u}$  (على فرض انها لا تتصادم مع الجزيئات الأخرى في طريقها) ، لذلك فان تغير الزخم في الثانية الواحدة على الوجه (A) لجزيئة واحدة يساوي  $\frac{2mu}{\Delta t}$  وهذا يساوي  $\frac{mu^2}{l_1}$  وهي القوة (الفعل) التي تولدها الجزيئة على السطح (A) ، فاذا جمعنا القوى العمودية التي تولدها جزيئات الغاز على السطح (A) فان القوة الكلية ( $F_x$ ) تساوي :

$$F_x = \frac{1}{l_1} \sum_{i=1}^{i=N} mU_i^2$$

وبما ان الغاز متماثل الجزيئات فان :

$$F_x = \frac{m}{l_1} \sum_{i=1}^{i=N} U_i^2$$

وبما ان  $w = v = u$  بسبب عشوائية الحركة ، لذلك فان :

$$u^2 = \frac{C^2}{3}$$

$$\therefore F_x = \frac{m}{3l_1} \sum_{i=1}^{i=N} C_i^2$$

ولكن بالتعريف (لدالة متقطعة) :

$$C_{RMS}^2 = \frac{1}{N} \sum_{i=1}^{i=N} C_i^2 \quad (1 - 1)$$

حيث  $C_{RMS}$  تسمى جذر معدل مربع الانطلاق (Root mean square value) ويرمز لها اختصاراً (RMS) ، لذلك فان :

$$F_x = \frac{mN}{3l_1} C_{RMS}^2$$

$$P = \frac{F_x}{l_2 l_3} \quad \text{وعليه يكون الضغط على السطح (A) يساوي :}$$

$$\therefore P = \frac{mN C_{RMS}^2}{3l_1 l_2 l_3}$$

ولكن حجم الغاز  $V = l_1 l_2 l_3$

$$\therefore P V = \frac{1}{3} mN C_{RMS}^2 \quad (1 - 2) \dots\dots\dots$$

وبما ان الطاقة الحركية (E) لجزيئة الغاز تساوي :  $E = \frac{1}{2} m C_{RMS}^2$

$$\therefore P \cdot V = \frac{2}{3} NE$$

ويطلق على الكمية  $N \cdot E$  بالطاقة الداخلية (U) للغاز

$$\therefore P = \frac{2}{3} \frac{U}{V} = \frac{2}{3} u \quad \dots\dots\dots (٣ - ١)$$

أي ان الضغط يتناسب مع كثافة الطاقة الداخلية للغاز . على هذا التعريف للضغط اكثر شمولية وعمقاً من كونه قوة عمودية على وحدة مساحة على سطح الجدار ، لأن للغاز ضغط في جميع اجزائه سواء لامس الجدار ام لم يلامسه مثل الشمس والنجوم . فاذا قسم الغاز الى فئات عدد كل فئة (i) تشترك في نفس الانطلاق  $C_i$  فان :

$$C^2_{RMS} = \frac{1}{N} \sum_{i=1}^i N_i C_i^2$$

أما لو كان عدد الجزيئات التي يتراوح انطلاقها بين  $C$  و  $C + dC$  هو  $dN(C)$  فان :

$$C^2_{RMS} = \frac{1}{N} \int_0^{\infty} C^2 dN(C) \quad \dots\dots\dots (٤ - ١)$$

على فرض ان توزيع السرعة هو دالة متصلة . كذلك يعرف متوسط الانطلاق بالعلاقة :

$$C_{AV} = \frac{1}{N} \int_0^{\infty} C dN(C) \quad \dots\dots\dots (٥ - ١)$$

وعليه فان معادلة الغاز المثالي تصبح :

$$PV = nRT = \frac{NRT}{N_0} = NkT \quad \dots\dots\dots (٦ - ١)$$

حيث (n) هو عدد المولات (كتلة الغاز مقسومة على الوزن الجزيئي وهي تساوي  $N / N_0$ ) ،  $k = \frac{R}{N_0} = ١,٣٨ \times ١٠^{-٢٣}$  جول / ك ويسمى ثابت بولتزمان ، R ثابت الغاز للمول الواحد (٨,٣١٤ جول/ غم مول) .

وبالتعويض بالمعادلتين (١ - ٢) ، (١ - ٦) نحصل :

$$\frac{1}{3} mN C^2_{RMS} = NkT$$

$$\frac{2}{3} \cdot \frac{1}{2} m C^2_{RMS} = KT$$

أو :

$$\therefore \frac{1}{2} m C^2_{RMS} = 3 \left( \frac{1}{2} KT \right) \dots\dots\dots (V - 1)$$

أي ان درجة الحرارة للغاز المثالي ، هي مقياس لمعدل طاقته الحركية الانتقالية . كذلك فان جميع جزيئات الغاز بنفس الدرجة الحرارية لها نفس الطاقة الحركية ، أي ان :

$$\frac{1}{2} m_1 C^2_{RMS_1} = \frac{1}{2} m_2 C^2_{RMS_2}$$

$$\therefore \frac{C_{RMS_1}}{C_{RMS_2}} = \sqrt{\frac{m_2}{m_1}} = \sqrt{\frac{M_2}{M_1}} \dots\dots\dots (A - 1)$$

والمعادلة ( ١ - A ) تسمى معادلة كراهام في الانتشار (M هو الوزن الجزيئي mNo = لذلك الغاز)، وهي تستخدم لفصل خليط غازين مختلفين في الكتلة عن بعضهما البعض ؛ بامرار الخليط خلال انبوب مسامي . ويمكن استخدام (١ - V) لحساب سرعة الجزيئي (الجدول ١ - ١) .

Gas	He	Ne	A	H <sub>2</sub>	N <sub>2</sub>	O <sub>2</sub>	Co <sub>2</sub>	NH <sub>3</sub>	Air
CRMS (m / sec)	1310	581	413	1840	493	461	392	632	484
M (Kg / Kmole)	4	20.2	40	2	28	32	44	17	29

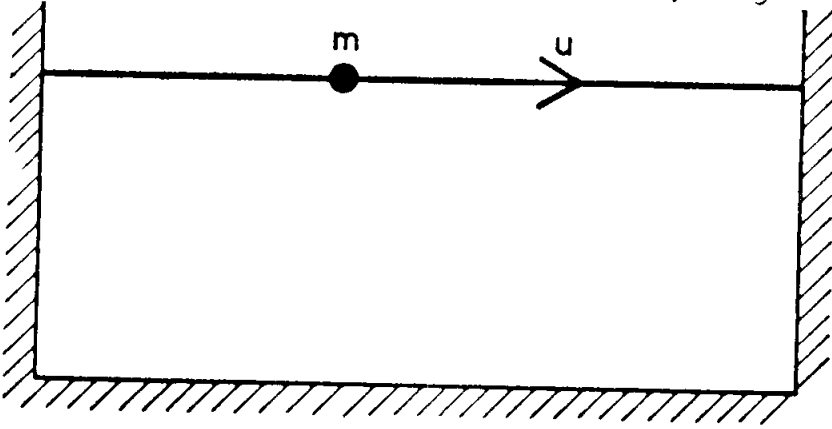
(الجدول ١ - ١) سرعة جزيئة عدد من الغازات بدرجة الصفر السلسيوسي .

### (١ - ٣) مبدأ تساوي أقسام الطاقة :

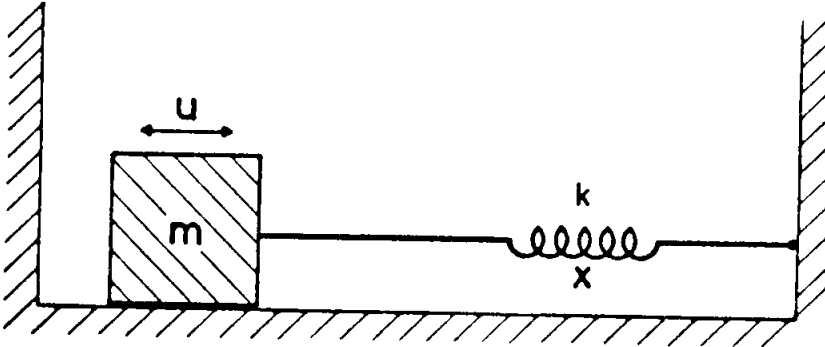
(Principle of Equipartion of Energy)

هناك عدد من الأمثلة من الواقع المحسوس تساعدنا على توضيح فكرة

الدرجة الحرة (Degree of Freedom) فالمخطط (١ - ٢) مثلاً يمثل كتلة نقطية على هيئة خرزة (Beed) تنزلق على سلك ، تتحرك ببعد واحد ، طاقتها الكلية هي طاقة حركية  $(\frac{1}{2} m u^2)$  ، أي ان الطاقة الحركية تعتمد على مربع السرعة . اما المخطط (١ - ٣) فيمثل جسيم كتلته (m) مربوط بنابض ثابتة (k) ، ويتحرك النظام حركة توافقية بسيطة ، طاقتة الكلية حركية في الجسيم  $\frac{1}{2} m u^2$  وطاقة المرونة الكامنة في النابض  $(\frac{1}{2} k x^2)$  ، حيث (x) هي الازاحة من وضع الاتزان . فنقول بان النظام يمتلك درجتين للحركة الحرة (احدهما انتقالية والأخرى اهتزازية) تعتمدان على المتغيرين x,u اما المخطط (١ - ٤) ، فهو يمتلك ستة درجات حرة للحركة اثنتان لكل اتجاه فتكون طاقتها الكلية E حيث :



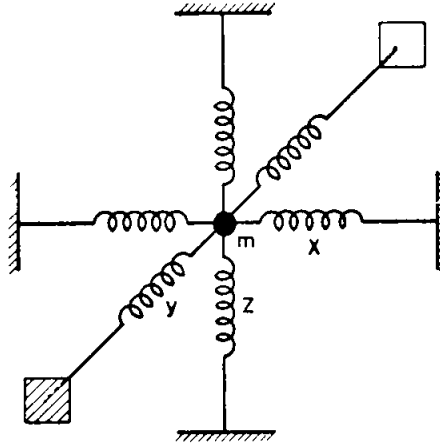
المخطط (١ - ٢) الحركة الحرة لجسيم ببعد واحد



المخطط (١ - ٣) نظام يمتلك درجتين للحركة الحرة

$$E = \frac{1}{2} m u^2 + \frac{1}{2} m V^2 + \frac{1}{2} m W^2 + \frac{1}{2} k x^2 + \frac{1}{2} k y^2 + \frac{1}{2} k z^2$$

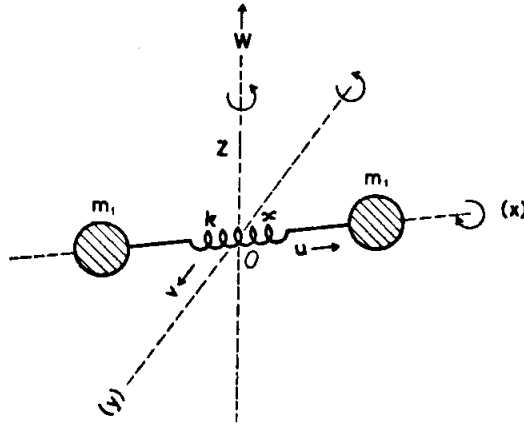
وهذه الحالة تشبه تذبذب الذرة في البلورات ، حيث تمثل النوابض قوى ما بين الذرات (Interatomic forces) .



المخطط (١ - ٤) نظام بستة درجات للحركة الحرة (ذرة في بلورة)

أما الجسم الحر الغير مقيد بقوى خارجية فان حركته انتقالية (Translational) بحتة ، لذلك فهو يمتلك ثلاثة درجات للحركة الحرة (f = 3) وهذا يفسر الرقم (٣) في المعادلة (١ - ٧) حيث تكون الطاقة لكل درجة حرة تساوي  $(\frac{1}{2} kT)$  . اما لو قذف هذا الجسم شاقوليا الى الأعلى تحت تأثير الجاذبية الأرضية ؛ فانه يكتسب طاقة تشاقلية قدرها (mgz) وتكون طاقته الكلية  $mgz + \frac{3kT}{2}$  ، لذلك فان مبدأ تساوي اقتسام الطاقة يقتصر على الحدود التي تحتوي على مربع المتغيرات المستقلة ، وهذه الحقيقة تعجز النظرية الحركية الأنفة الذكر في تفسيرها . ولقد برهن ذلك بولتزمان كما سنرى .

ومن الأمثلة المفيدة في الحركة الجزيئية ، هي خواص الجزيئة الثنائية الذرة (Diatomic molecule) كما في المخطط (١ - ٥) :



المخطط (١ - ٥) جزيئة ثنائية الذرة

فلو فرضنا ان الذرتين نقطتان وان  $f = 7$  لأنها تمتلكان ٣ درجات حرة انتقالية

واثنتان دورانية واثنتان اهتزازية ، فان طاقتها الكلية : E

$$E = -\frac{1}{2} mu^2 + \frac{1}{2} mV^2 + \frac{1}{2} mW^2 + \frac{1}{2} Iy\Omega^2 + \frac{1}{2} Iz\Omega^2 + \frac{1}{2} k\xi^2 + \frac{1}{2} my^2\xi$$

حيث I هو عزم القصور الذاتي حول ذلك المحور ، m كتلة الجزيئة  $u_{\xi}(2m_1)$  السرعة بالنسبة لمركز الكتلة ؛ ،  $\xi$  الازاحة عن وضع الاتزان  $\Omega$  السرعة الزاوية ، حيث ان الطاقة الدورانية حول الاحداثي السيني صفر لأن  $I_x = 0$  .

ولقد اثبتت المعلومات الطيفية للجزيئات بانها تدور وتهتز اضافة الى حركتها الانتقالية ، ويقع طيفها في منطقة دون الحمراء (Infra red) وتكون طاقة الاهتزاز أكبر عادة من طاقة الدوران .

#### (١ - ٤) - الطاقة الداخلية للغاز والسعة الحرارية

النوعية التقليدية :

يمكن اعتبار الطاقة الداخلية للنظام (الغاز) بانها مجموعة طاقة الجسيمات من ذرات وجزيئات تكون الغاز ، وهناك مصدران آخران للطاقة الداخلية للغاز الحقيقي .

أ - طاقة انتقالية والآخرى دورانية واهتزازية .



ب - طاقة التجاذب المتبادل بين الجسيمات تسمى طاقة التأثير (Interaction energy) بسبب التأثيرات الكهربائية بين سحب الشحنات لذراتها ، وهي تتضاءل عندما تتباعد الجزيئات (يتخلخل الغاز) ولكنها تظهر عندما تتصادم الجزيئات مع بعضها .

لذلك فللغاز المثالي وللغاز المخلخل الضغط (تقريباً) تكون الطاقة الداخلية .

$$u = Nof \frac{KT}{2} = f \frac{RT}{2} = PV \frac{f}{2} \quad \dots (9 - 1)$$

$$\therefore P = \frac{2}{f} u \quad u = \frac{U}{V} \quad (\text{كثافة الطاقة الداخلية})$$

أي ان الضغط يتناسب مع كثافة الطاقة الداخلية (u) .

كذلك فان :

$$C_v = \left( \frac{\partial u}{\partial T} \right)_v = \frac{fR}{2}$$

$$C_p = C_v + R = \left( \frac{f+2}{2} \right) R \quad \dots (10 - 1)$$

$$\gamma = \frac{C_p}{C_v} = \frac{f+2}{f}$$

فالمعادلة (9 - 1) تبين ان الطاقة الداخلية دالة لدرجة الحرارة فقط .

والمعادلة (10 - 1) تبين ان  $C_p \cdot C_v$  لا تعتمد على درجة الحرارة . وهذه النتائج تصح للجزيئات الأحادية الذرة (لأنها أقرب للغاز المثالي) وتفشل للغازات المعقدة الجزيئات (الجدول ١ - ٢) .

	بخار الماء	A	He	Ne	H <sub>2</sub>	N <sub>2</sub>	O <sub>2</sub>	Cl <sub>2</sub>	Hcl	CO <sub>2</sub>	NH <sub>3</sub>
Cp Cal /mole	8	5	5	—	6.87	6.94	7.03	8.15	7.07	8.94	8.82
$\gamma$	1.304	1.67	1.66	1.64	1.41	1.4	1.4	1.36	1.4	1.29	1.33

الجدول (١ - ٢) « تشد الغازات المعقدة عن الغاز المثالي »

اما الجزيئات الثنائية الذرة فان  $\gamma = 1.4$  وهذا يتطلب كون  $f = 5$  (أي ان للجزيئة ثلاثة درجات للحركة الانتقالية ودرجتان فقط للحركة الدورانية في درجات الحرارة الاعتيادية) وتصبح  $f = 7$  في درجات الحرارة العالية بسبب تنشيط الحركة الاهتزازية . اما في درجات الحرارة الواطئة فان  $f = 3$  اي تتحرك الجزيئة حركة انتقالية فقط . اما للجزيئات الثلاثية الذرة مثل الأمونيا وبخار الماء فيبدو انها تمتلك في درجات الحرارة العادية ثلاثة درجات للحركة الانتقالية وثلاثة للحركة الدورانية بسبب عدم تناظرها بالنسبة للاحداثيات الثلاث إضافة للحركة الاهتزازية .

أما للجوامد فان  $f = 6$  فتكون  $C_v = 6\text{Cal/mole}$  وهو قانون دولونك وبتييت ويصح لعدد من الجوامد .

مما ذكر يتبين ان النظرية الحركية للغاز المثالي بالرغم من بساطتها ، فهي نجحت في تفسير الكثير من الظواهر المألوفة . ولكنها فشلت في تفسير اعتماد  $C_v, C_p$  مع درجة الحرارة (T) ، وعدم اجابتها عن سبب انقسام الطاقة بين الحدود التي تعتمد على مربع الاحداثي وعدم شمولها للحدود التي لا تحتوي على مربع المتغير (مثل الطاقة الكهربائية والمغناطيسية والتشاقلية) كذلك فان تعريفها لدرجة الحرارة كمقياس لمعدل الطاقة الحركية (العشوائية والانتقالية) للجزيئي بالنسبة للوعاء غير عملية التطبيق ؛ لأننا لا نتمكن من قياس معدل هذه الطاقة . ولكنها مع ذلك فالنظرية اعطت تفسيراً مجهداً لدرجة الحرارة : وعززت العبارة الترموديناميكية (بأن تساوي درجة الحرارة بين نظامين في حالة اتصال حراري هو شرط للاتزان الحراري بينهما) .

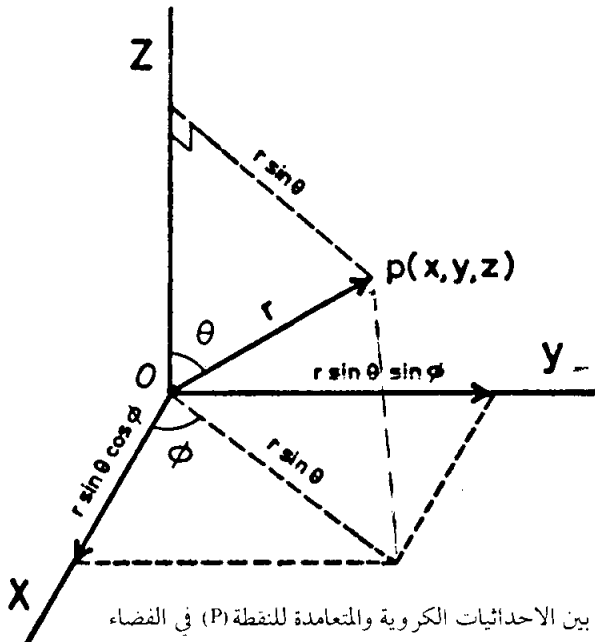
ان ارتباط الحركة العشوائية للغاز بدرجة حرارته تفسر لنا عدم ارتفاع درجة حرارته عند وضعه في بالون تحمله سيارة تسير بسرعة ٨٠ كم/ساعة او بطائرة تطير بسرعة ٨٠٠ كم/ساعة او بمركبة فضائية تنطلق بسرعة ٦٠٠٠ كم/ساعة .

كذلك فان درجة حرارة الأجواء العليا تعتبر عالية اذا ما حسبنا بهذه الطريقة ، مع العلم ان الشخص هناك لا يشعر بها بسبب قلة الطاقة الجزيئية التي تنقلها هذه الجزيئات القليلة للمجس الحراري بالرغم من سرعتها العالية .

كذلك فان هذه النظرية لا تميز بين الالكترونات والفوتونات وجزيئات الغاز ما دامت تتصرف طبقاً لمواصفاتها . وهذا يؤدي الى اخطاء كبيرة بسبب تباين الخواص المجهرية لهذه الجسيمات .

### (١ - ٥) - الاحداثيات الكروية للفضاء والسرعة :-

كثيراً ما يتطلب التناظر الموجود في الطبيعة (مثل توزيع خواص الغاز في الوعاء) ، الى استبدال الاحداثيات المتعامدة الى احداثيات كروية ، وما يرافقها من حساب لعناصر الحجم والمساحة ، ففي المخطط (١ - ٦) .



المخطط (١ - ٦) العلاقة بين الاحداثيات الكروية والمتعامدة للنقطة (P) في الفضاء

نجد ان احداثيات النقطة (P) الواقعة في نهاية متجهة الموقع  $\vec{r}$  - (Radius Vector) هي  $(z, y, x)$  وهي ترتبط بالاحداثيات الكروية  $(\phi, \theta, r)$  بالعلاقات التالية :

$$x = r \sin \theta \cdot \cos \phi$$

$$y = r \sin \theta \cdot \sin \phi$$

$$z = r \cos \theta$$

$$r^2 = x^2 + y^2 + z^2$$

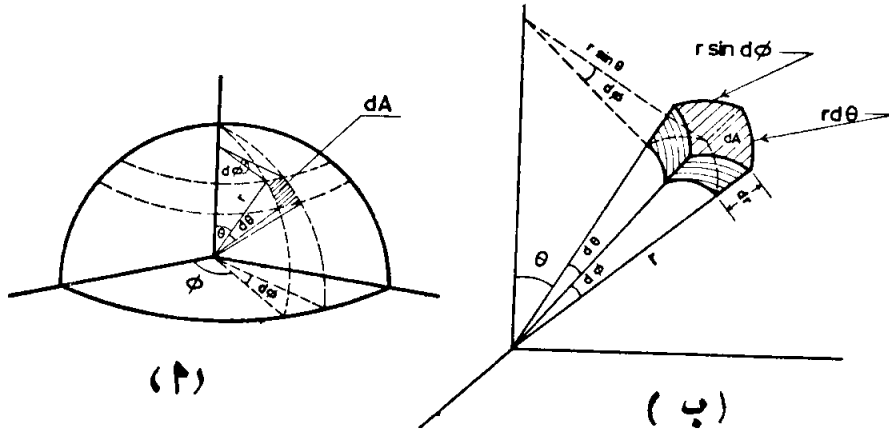
فيكون عنصر المساحة السطحية ( $dA$ ) من كرة نصف قطرها ( $r$ ) ومحصورة بين الزوايا  $d\phi, d\theta$  (المخطط ١ - ٧) كالآتي :

$$dA = r d\theta \cdot r \sin \theta d\phi$$

$$dA = r^2 \sin \theta d\theta d\phi \quad \dots (١١ - ١)$$

وبما ان الزاوية المجسمة  $d\Omega$  التي تقابل عنصر المساحة  $dA$  هو  $\frac{dA}{r^2}$

$$\therefore d\Omega = \sin \theta d\theta d\phi \quad \dots (١٢ - ١)$$



المخطط (١ - ٧) - عنصر المساحة  $dA$  وعنصر الحجم  $dV$  لأحداثيات

وتقاس الزاوية المجسمة بوحدات نصف قطرية مجسمة تسمى ستيريديان (Stradians) ويكون حجم عنصر الحجم  $dV = dA dr$ .

$$\dots dV = dA dr = d^3r = r^2 \sin \theta d\theta d\phi dr \quad \dots (13 - 1)$$

وبذلك يكون حجم القشرة الكروية (Spherical shell) المحصورة بين نصف القطر  $r$  و  $r + dr$  تساوي :-

$$dV = 4 \pi r^2 dr \quad \dots \dots \dots (14 - 1)$$

ويمكن حساب مساحة الكرة من تكامل المعادلة (1 - 11)

$$A = \int_0^A dA = r^2 \int_0^\pi \sin \theta d\theta \int_0^{2\pi} d\phi = 4 \pi r^2$$

ويمكن تطبيق هذه العملية على احداثيات كميات اخرى مثل فضاء السرعة والزخم باستبدال المركبات المتعامدة لها  $c(u,v,w)$  بمركبات  $c(r,\theta,\phi)$  ويكون عنصر الحجم في فضاء السرعة مثلاً (ويرمز له  $d^3c$ ) كالآتي :-

$$d^3c = c^2 dc \sin \theta d\theta d\phi$$

وحجم القشرة الكروية في هذا الفضاء يساوي  $4\pi c^2 dc$  اما العنصر الحجمي في فضاء السرعة للاحداثيات المتعامدة فهو  $d^3c = du dv dw$

## (1 - 6) السيل الجزيئي (Molecular Flux)

لو أخذنا كرة حجمها  $V$  تحتوي على  $N$  جزيئة ثم مدد اتجاه حركة هذه الجزيئات العشوائية الحركة لتلتقي في مركز الكرة ، فيكون عدد الجزيئات ( $dN \phi \theta$ ) التي لها سرعة محصورة بين الزوايا  $(\theta, \theta + d\theta)$  ،  $(\phi, \phi + d\phi)$  يساوي (حيث

$$d\Omega = \frac{dA}{r^2} = \sin \theta d\theta d\phi$$

$$dN \phi \theta = \frac{N}{4\pi} d\Omega$$

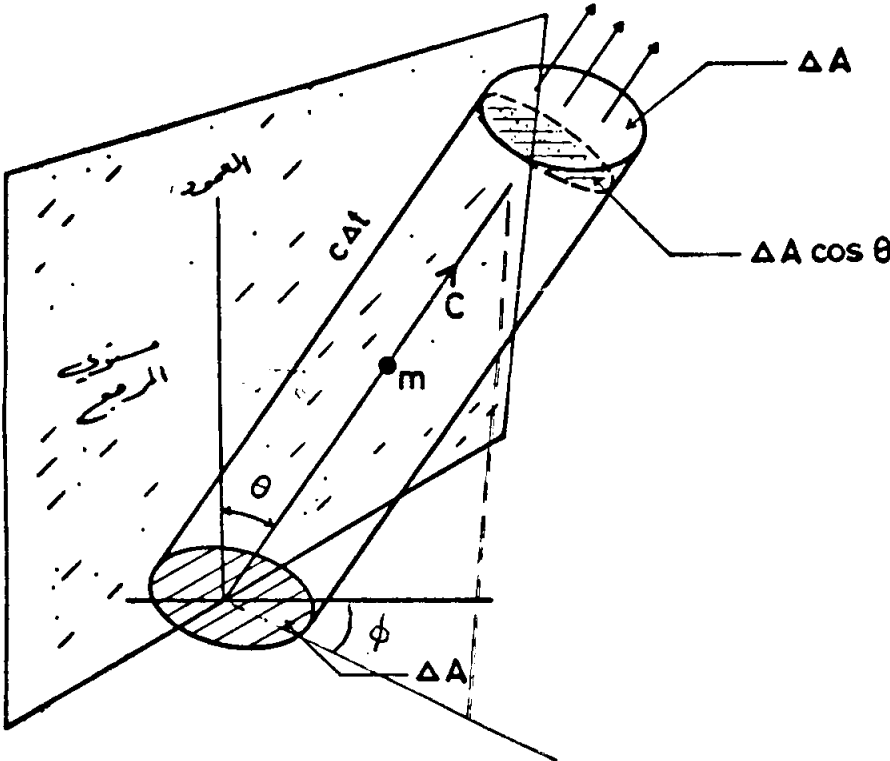
$$\dots dN \phi \theta = \frac{N \sin \theta d\theta d\phi}{4\pi} \quad \dots \dots \dots (15 - 1)$$

وبقسمة الطرفين على حجم الغاز  $V$  نحصل :

$$dn\phi\theta = \frac{n \sin\theta d\theta d\phi}{4\pi} \dots\dots(١٦ - ١)$$

حيث  $(n)$  الكثافة العددية للغاز .

ولو اردنا حساب السيل الجزيئي والذي يمثل عدد الجزيئات القادمة من جميع الجهات والساقطة على وحدة المساحة (على جدار الوعاء او ضمن الغاز) في وحدة الزمن ، فاننا نأخذ عنصراً من المساحة  $(dA)$  داخل الوعاء او على سطحه . ونرسم عموداً عليه (المخطط ١ - ٨)



المخطط (١ - ٨) - «حساب السيل الجزيئي» .

ثم نمرر مستوياً خلال هذا العمود ، وعلينا حساب عدد الجزيئات بالاتجاه المحدد بالزوايا

$$(\phi + d\phi) (\theta + d\theta)$$

والتي سرعتها بين  $C + dc$  . نرسم اسطوانة طولها  $C dt$  محورها باتجاه  $C$  ونحصر اهتمامنا بالجزيئات ذات المواصفات  $(C, \phi, \theta)$  التي تصل الى عنصر المساحة  $(dA)$  في زمن  $dt$  .

ونستبعد الجزيئات الأخرى القادمة من غير هذا الاتجاه وبهذه السرعة .

وبما ان حجم الاسطوانة هذه يساوي  $dA \cdot C \cdot dt \cdot \cos \theta$  فان مجموع الجزيئات بالمواصفات  $(C, \theta, \phi)$  يساوي  $dN_{\theta\phi c}$  أي :

$$dN_{\theta\phi c} = dN_{c\theta\phi} \cdot dA \cdot C dt \cdot \cos \theta$$

$$= \frac{C \, dn_c}{4\pi} \sin \theta \cos \theta \cdot d\theta \, d\phi \, dA$$

وبما ان عنصر السيل  $dS_{\theta\phi c}$  للجزيئات ذات المواصفات  $(\theta, \phi, c)$  هو

$$dS_{\theta\phi c} = \frac{dN_{\theta\phi c}}{dA \, dt}$$

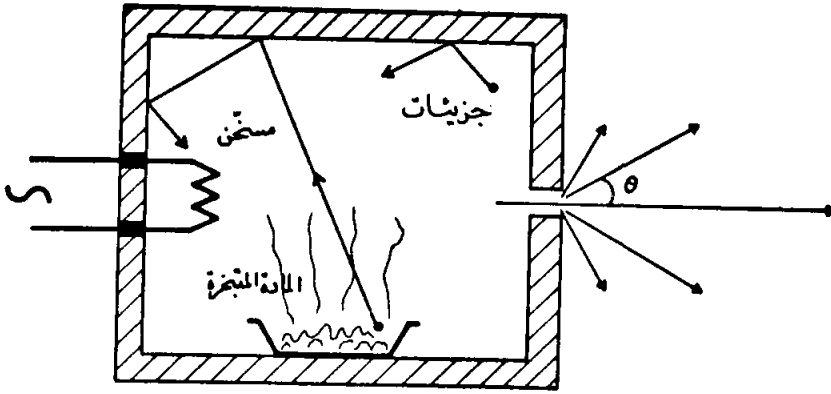
$$dS_{\theta\phi c} = \frac{c \, dn_c}{4\pi} \cdot \sin \theta \cos \theta \, d\theta \, d\phi \quad \dots (17-1)$$

فاذا كاملنا المعادلة (17-1) ليشمل جميع قيم الانطلاق والاتجاهات نحصل :

$$S = \frac{1}{4\pi} \int_0^\infty c \, dn_c \int_0^{\pi/2} \sin \theta \cos \theta \, d\theta \int_0^{2\pi} d\phi$$

$$\dots S = \frac{n_{CAV}}{4\pi} \cdot 1/2 \cdot 2\pi = \frac{1}{4} n_{CAV} \quad \dots (18-1)$$

حيث  $CAV$  يمثل متوسط الانطلاق وتساوي  $\frac{1}{n} \int_0^\infty c \, dn_c$  وعموماً فان حزمة الجزيئات التي تسقط على عنصر المساحة لا تكون متوازية ، بل تنحرف بزاوية  $(\theta)$  عن استقامتها الأصلية - عند خروج الغاز من ثقب مثلاً - كما في شكل (1-9) .



المخطط (١ - ٩) - الحزم الجزيئية التي تغادر فتحة الفرن لا تكون متوازية

حينئذ يجب تحويل المعادلة (١ - ١٧) بدلالة الزاوية المجرىة (Ω) لتصبح

بالصيغة :

$$\frac{dS(\Theta)}{d\Omega} = \frac{1}{4\pi} c_{\text{dnc}} \cos \Theta$$

$$d\Omega = \sin \Theta d\Theta d\phi$$

حيث

وبتكامل المعادلة اعلاه نحصل : -

$$\frac{\Delta S(\Theta)}{\Delta\Omega} = \frac{n C_{\text{AV}} \cos \Theta}{4\pi} \dots\dots (١٩ - ١)$$

وهي تعبر عن عدد الجسيمات التي تغادر الفتحة ضمن زاوية مجسمة واحدة (ستيرديان)، حيث يبلغ السيل ذروته باتجاه عمودي على الفتحة ، وصفرأً باتجاه مماس لها . وسوف نحتاج الى هذه النتيجة في دراستنا للانتشار (Diffusion) وللفوحان (Effusion) وللتبخر .. الخ .



## (١ - ٧) توزيع السرعة بين جزيئات الغاز (قانون ماكسويل لتوزيع السرعة) :

لقد افترضنا في نظرية الغاز المثالي ، بان جزيئاته تمتلك سرعاً تتراوح من الصفر الى ما يقارب سرعة الضوء ، ولكننا لم نتمكن من معرفة العدد النسبي لهذه الجزيئات ، ضمن أي مدى من السرعة ، وبعبارة أخرى نحن نحتاج لمعرفة عدد الجزيئات التي سرعتها بين  $c$  و  $c + dc$  .

وهذا لا يتطلب الا لفرضيتين بسيطتين : الأولى : خضوع الجزيئات لقوانين الصدفة ، بسبب حركتها العشوائية . والشرط الثاني : الاتزان الترموداينميكي للغاز في الوعاء . اي ان خواص الغاز متجانسة من نقطة لأخرى في الوعاء . فاذا كان عدد الجزيئات في الوعاء ( $N$ ) وحجمه  $V$  في درجة حرارة ( $T$ ) ، فان عدد الجزيئات بالاتجاه السيني ( $x$ ) ذات السرعة المحصورة بين  $u$  و  $u + du$  يعبر عنها بالعلاقة :

$$P(u) = \frac{dN(u)}{N} = f(u)du \quad \dots\dots (٢٠ - ١)$$

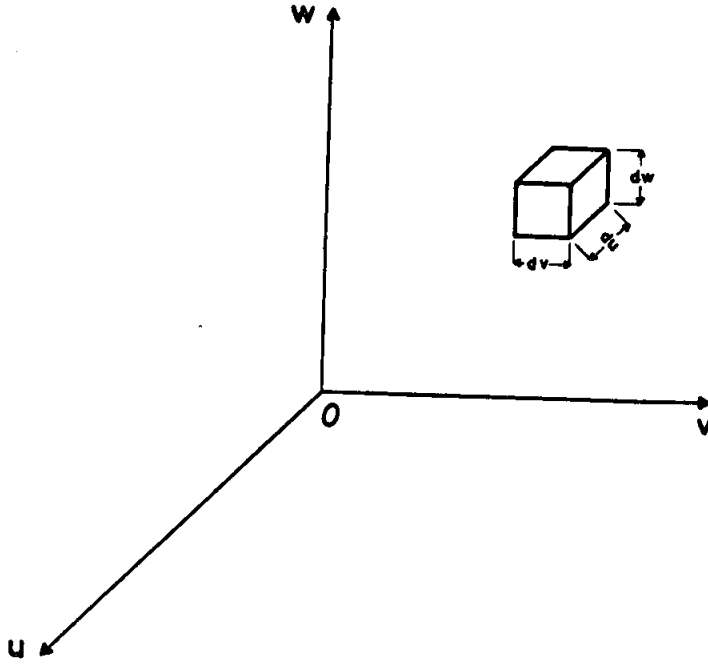
وتسمى الكمية  $P(u)$  دالة توزيع الاحتمالية

(Probability distribution function) .

وهي تمثل كسر عدد الجزيئات ضمن هذا المدى من السرعة بالاتجاه السيني ( $x$ ) ويصح نفس الشيء بالنسبة للجزيئات المتحركة بالاتجاهين ( $y$ ) ، ( $z$ ) ، وبذلك يكون العدد الكلي للجزيئات  $d^3N(c)$  التي سرعتها محصورة بين  $c$  و  $c + dc$  هو حاصل ضرب الاحتماليات الثلاث اعلاه (راجع الفصل الثالث) .

$$.. P = \frac{d^3N(c)}{N} = f(u)f(v)f(w) du dv dw \quad \dots\dots (٢١ - ١)$$

وتمثل هذه المعادلة باحداثيات متعامدة للسرعة ( $u, v, w$ ) ويكون عنصر الحجم ( $dV$ ) في هذا الفراغ (Velocity space) يساوي ( $du dv dw$ ) كما في المخطط (١ - ١٠) .



المخطط (١٠-١) فضاء السرعة بإحداثيات متعامدة

وتكون كثافة النقاط ( $\rho$ ) تساوي  $\frac{d^3N(c)}{dV}$  وهي كمية ثابتة بسبب الاتزان الحراري ، وعليه فان :

$$\rho = N f(u) f(v) f(w) = \text{Constant} \quad \dots\dots\dots (٢٢-١)$$

كذلك فان الانطلاق (C) يعبر عنه بمركباته ، بالعلاقة .

$$C^2 = u^2 + v^2 + w^2 = \text{Constant} \quad \dots\dots (٢٣-١)$$

لنفس السبب اعلاه ، بسبب عدم وجود افضلية في الاتجاه والمقدار وبتفاضل المعادلتين الاخيرتين نحصل :

$$\frac{1}{f(u)} \frac{\partial f(u)}{\partial u} du + \frac{1}{f(v)} \frac{\partial f(v)}{\partial v} dv + \frac{1}{f(w)} \frac{\partial f(w)}{\partial w} dw = 0$$

$$u du + v dv + w dw = 0$$

وبضرب المعادلة الأولى بالكمية  $m\beta$  (حيث  $\beta$  يسمى مضروب لاكرانج)،  
(La Grange multiplier)، كتلة الجزيئة . وبجمع المعادلتين الاخيرتين نحصل :

$$\left( \frac{\partial f(u)}{f(u)} + m\beta u \right) du + \left( \frac{\partial f(v)}{f(v)} + m\beta v \right) dv + \left( \frac{\partial f(w)}{f(w)} + m\beta w \right) dw = 0$$

ولكون الحدود الثلاث في المعادلة الأخيرة مستقلة ، لذلك فان اي منها يساوي الصفر (لأن  $du, dv, dw$  لا تساوي صفر بالضرورة) .

$$\therefore \frac{\partial f(u)}{f(u)} + m\beta u = 0$$

بالتكامل نحصل :

$$\ln f(u) = \beta \left( \frac{1}{2} m u^2 \right) + \ln A$$

$$\therefore f(u) = A e^{-\beta \epsilon_x}$$

$$\frac{1}{2} m u^2 = \epsilon_x , \quad A \text{ كمية ثابتة}$$

وبنفس الطريقة نجد :

$$f(v) = A e^{-\beta \epsilon_y}$$

$$f(w) = A e^{-\beta \epsilon_z}$$

$$\rho = N A^3 e^{-\beta \epsilon} \quad \text{وعليه فان :}$$

حيث :

$$\frac{1}{2} m C^2 = \epsilon = \epsilon_x + \epsilon_y + \epsilon_z$$

وبما ان حجم القشرة الكروية في فضاء السرعة يساوي  $(4 \pi c^2 dc)$

$$\therefore \rho = \frac{d N(c)}{4 \pi c^2 dc} = N A^3 e^{-\beta \epsilon}$$

$$\therefore \frac{d N(c)}{dc} = 4 \pi N A^3 C^2 e^{-\beta \epsilon}$$

والمعادلة الأخيرة هي معادلة ماكسويل لتوزيع الانطلاق مع بقاء الثابتين  $\beta, A$  ،  
بحاجة لمعرفة هويتهما ، وذلك بالطريقة التالية :

$$N = \int_0^{\infty} dN(c) = 4\pi N A^3 \int_0^{\infty} c^2 e^{-\frac{\beta m c^2}{2}} dc$$

$$\int_0^{\infty} c^2 e^{-ac^2} dc = \frac{1}{4} \sqrt{\frac{\pi}{a^3}} \quad \text{ولكن :}$$

$$\therefore A = \sqrt{\frac{m\beta}{2\pi}} \quad a = \frac{m\beta}{2} \quad \text{حيث :}$$

كذلك فان :

$$C^2_{RMS} = \frac{1}{N} \int_0^{\infty} C^2 dN(c)$$

وبالتعويض عن  $dN(c)$  وتكامل المعادلة الأخيرة نحصل على (راجع جدول المتفاضلات في آخر الكتاب)

$$C^2_{RMS} = \frac{3}{m\beta}$$

حيث :

$$\int_0^{\infty} c^4 \cdot e^{-ac^2} \cdot dc = \frac{3}{8} \left( \frac{\pi}{a^5} \right) \frac{1}{2}$$

ولكن للغاز المثالي :

$$\frac{1}{2} m C^2_{RMS} = \frac{3}{2} KT$$

وبالتعويض عن قيمة  $C_{RMS}$  نحصل :

$$\therefore \beta = \frac{1}{kT}$$

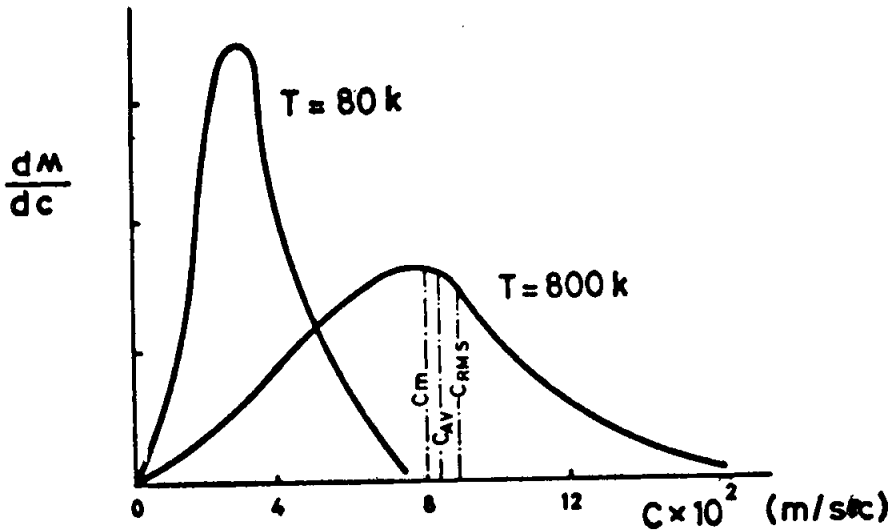
(٢٤ - ١) . . . .

$$\therefore A = \left( \frac{m}{2\pi kT} \right) \frac{1}{2}$$

وعليه فان قانون ماكسويل لتوزيع السرعة يصبح بصيغته النهائية :

$$\frac{dN(c)}{dc} = 4\pi N \left( \frac{m}{2\pi kT} \right)^{\frac{3}{2}} C^2 e^{-\left( \frac{m c^2}{2kT} \right)} . . . . . (٢٥ - ١)$$

والمخطط (١ - ١١) يوضح هذه الحالة لدرجات حرارية مختلفة . فنلاحظ ان ارتفاع درجات الحرارة يجعل المنحنى يزحف نحو السرعة الأعلى .



المخطط (١ - ١١) قناة ماكسويل لتوزيع السرعة لجزيئات الأوكسجين عند ٨٠ ك ، ٨٠٠ ك .  
ولحساب متوسط الانطلاق (CAV) لجزيئة الغاز المثالي ، نعوض بالمعادلة (١ - ٢٥) في العلاقة :

$$CAV = \frac{1}{N_0} \int_0^{\infty} C dN(c)$$

وعند التكامل نجد :

$$CAV = \sqrt{\frac{8 kT}{m\pi}} = \sqrt{2.55 \frac{kT}{m}} = 0.922 C_{RMS} . . . . . (٢٦ - ١)$$

أما قيمة الانطلاق الأكثر احتمالاً (The Most Probable Speed) وترمز له (Cm) فنحصل عليه من تفاضل المعادلة (١ - ٢٥) ولا سيما المتغير  $(C^2 e^{-mc^2} / 2kT)$  ومساوات الناتج الى الصفر عند القيمة  $C = C_m$  فنحصل :

$$C_m = \left( \frac{2kT}{m} \right)^{1/2} = 0.8 \text{ CRMS} \quad \dots (٢٧ - ١)$$

لذلك فان :

$$CRMS > CAV > C_m \quad \text{(راجع المخطط ١ - ١١)}$$

ويمكن وضع معادلة ماكسويل بالصيغة الأبسط :

$$\frac{dN(x)}{dx} = -\frac{4N}{\pi^{1/2}} x^2 e^{-x^2} \quad \dots (٢٨ - ١)$$

حيث :

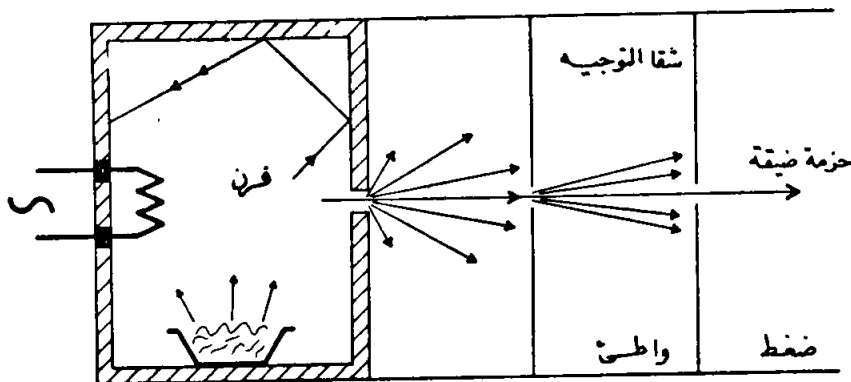
$$x = \frac{C}{C_m}$$

## (١ - ٨) - تحقيق معادلة ماكسويل لتوزيع السرعة تجريبياً - الحزم الجزيئية :

هناك طرق عديدة لتحقيق قانون ماكسويل لتوزيع السرعة ، اهمها تعتمد على توليد حزم جزيئية (Molecular Beams) او ذرية متعادلة الشحنة ، لأن الحصول على حزم من الجسيمات المشحونة عملية سهلة باستخدام المجالات الكهربائية او المغناطيسية . ويمكن توليد الحزم الجزيئية من تسخين بعض الفلزات مثل الفضة او السيزيوم او الثاليوم في فرن بدرجة حرارة مناسبة (المخطط ١ - ٩) والساح لذراتها بالهروب من ثقب صغير الى حيز مخلخل الضغط ، مستخدمين مفرغة هواء . وللحصول على حزمة ضيقة ، نستخدم مجموعة من الحواجز المثقوبة (المخطط ١ - ١٢) (Baffles) . ولو رجعنا الى المعادلة (١ - ١٧) ، فان عدد الجسيمات التي تسير بانطلاق (C) والتي تصطدم في وحدة الزمن على وحدة المساحة من وعاء والقادمة من جميع الجهات ( $\theta, \phi$ ) تساوي :

$$ds(C) = \frac{1}{4\pi} C dn(C) \int_0^{\pi/2} \sin \theta \cos \theta d\theta \int_0^{2\pi} d\phi$$

$$\dots dS(C) = \frac{Cdn(C)}{4} \dots\dots\dots (29-1)$$



المخطط ( ١٢ - ١ )  
توليد جزم جزيئية - ذرية - ضيقة ومتعادلة الشحنة

ولحساب CRMS للجزيئات التي تغادر الثقب من الفرن ، نستخدم الطريقة المألوفة والمعادلة ( ٢٥ - ١ ) :

$$dS(C) = \frac{1}{4} C dn(C) = \frac{4\pi n}{4} \left( \frac{m}{2\pi KT} \right)^{\frac{3}{2}} C^3 e^{-mC^2/2KT_0} dC$$

ولكن :

$$S = \frac{n C_{AV}}{4}$$

$$\dots C^2_{RMS} = \frac{1}{S} \int_0^{\infty} C^2 ds(C) = \frac{4kT}{m} \dots\dots\dots (30-1)$$

ويجب ان لا نلتبس بين هذه النتيجة وقيمة CRMS لجزيئات الغاز داخل الفرن والتي تساوي  $\frac{1}{2} \left( \frac{3KT}{m} \right)$  لذلك فان الجزيئات التي تهرب من الفتحة تكون اسرع

نوعاً ما من الجزيئات بداخل الفرن (او وعاء الغاز) وكما ذكرنا فان الحزمة التي تغادر الفرن لا تكون متوازية ، بل تتغير تبعاً للعلاقة (١ - ١٩) .

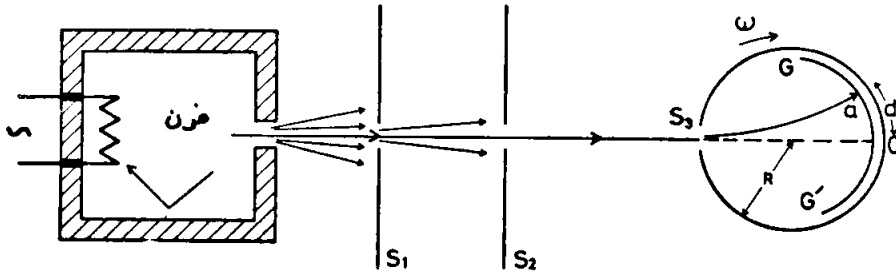
وهناك طرق عديدة لقياس سرع الجسيمات في الحزم الجزيئية ، منها طريقة (زارتمان) ، و (كو) والتي هي تحويل لطريقة ستيرن (١٩٢٠) ، فهي تتكون من فرن وشقين  $(S_2, S_1)$  لتحديد مقطع الحزمة الجزيئية (المخطط ١ - ١٣) والتي تسقط على اسطوانة تدور بمعدل ٦٠٠ دورة في الدقيقة حول محورها فاذا كانت الاسطوانة ساكنة ، فان الحزمة تسقط على النقطة (O) من خلال الفتحة  $(S_3)$  . اما اذا كانت الاسطوانة تدور فان النقطة (a) تشغل محل (O) في نفس الفترة التي تقطع الجزيئة ذات الانطلاق (C) المسافة 2R (قطر الاسطوانة) .

$$aO = d = R\theta = RWt$$

$$t = \frac{d}{RW} = \frac{d}{2\pi Rf} = \frac{2R}{C}$$

$$C = \frac{4R^2 \pi f}{d}$$

(٣١ - ١) . . . .



المخطط (١ - ١٣)

جهاز ازاتمان ، كو ، شتيرن ، لقياس سرعة وتوزيع الجزيئات

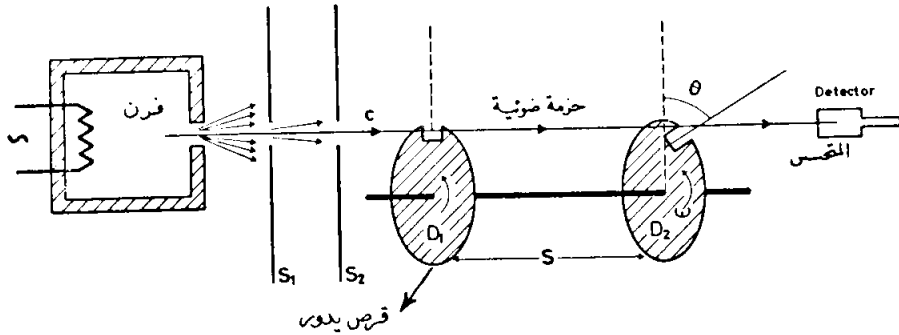


لذلك فان الجزيئات البطيئة تسقط بعيداً عن الموقع (O) في اللوح الزجاجي (GG') وبقياس اسوداد البقع على اللوح الزجاجي باستخدام فوتومتر مجهري (Micro Photo Meter) والذي تناسب قراءته مع عدد الجزيئات (dNc) المحصورة بين الانطلاق (C + dc , C) وبذلك يمكن رسم منحنى توزيع السرعة .

وهناك طريقة اخرى لعد الجزيئات ضمن فاصلة السرعة (dc) ، إن احد هذه النماذج (المخطط ١ - ١٤) يتكون من مُنتقي السرعة (Velocity Selector) حيث تمر الحزمة الضيقة بعد خروجها من الفرن والشقين  $S_1, S_2$  خلال فتحتين في قرصين وتصنعان زاوية ( $\theta$ ) مع بعضهما البعض وبدوران القرصين  $D_1, D_2$  بسرعة زاوية W ، فان الجزيئة ذات الانطلاق (C) تمر بين الفتحتين في القرصين طبقاً للمعادلة :

$$\frac{S}{C} = \frac{\theta}{W} = t$$

ويقوم المتحسس (Detector) بعد هذه الجزيئات التي تمكنت من اختراق فتحتي القرصين .



المخطط (١ - ١٤)

جهاز الجزيئات ذات السرعة المحصورة بين (C) ، (CΔC)

وبما أنه لكل شق سعة معلومة ، فان الجزيئات التي تعبره لها مدى من السرعة تقع حول السرعة (C) المقاسة . وبتغير قيمة ( $\theta$ ) أو (W) يمكن امرار جزيئات ذات سرع اخرى . وبهذه الطريقة يمكن قياس توزيع سرع النيوترونات الحرارية التي تغادر المفاعل النووي بعد تلطيفها . فوجد بأن سرعتها تخضع لقانون ماكسويل

ايضاً ، وهي حقيقة مهمة في تصميم المفاعل النووي . وهناك طريقة ثالثة تعتمد على انحراف مسار ذرات السيزيوم في الحزمة بتأثير الجاذبية الأرضية بعد انقذافها من الفرن ومرورها خلال شقين ضيقين ، فسوف تنحرف السريعة أقل من البطيئة ، ويقاس التيار المتولد من تأين ذرات السيزيوم عند سقوطها على سلك ساخن من التنكستون ، ليمثل تركيز الذرات في فاصلة السرعة  $\Delta C$  ، وتقاس (C) من قياس المسافة الشاقولية التي تقطعها ، ومن ابعاد شقوق الجهاز .

## (١ - ٩) فقدان الطاقة بالتصادم الجزئي مع جدار متحرك (مكبس)

يتولد الشغل في الغاز من انتظام جزء من جزيئاته باتجاه المكبس (او الجدار القابل للحركة). وهذه الخاصية تميز الشغل عن الحرارة ، (والتي تمثل مجموع الطاقة الفوضوية في الغازات) . فالغرفة مثلاً مملوءة بالجزئيات السريعة ولكنها لا تنجز شغلاً بسبب فوضويتها ! فلا يتم شغل بدون نظام ! . ولتوضيح ذلك على النطاق المجهرى نأخذ جزيئة من غاز محصور في وعاء فيه مكبس خفيف قابل للحركة افقياً (المخطط ١ - ١٥) ولنهمل الاحتكاك . ونفترض التصادم مرناً بين الجزيئة والمكبس ، فان سقطت الجزيئة بانطلاق (C) وبزاوية سقوط  $\Theta$  وكان المكبس يتحرك بسرعة (U) فتكون المركبة العمودية لسرعة الجزيئة قبل التصادم تساوي  $(C \cos \Theta)$  وبعد التصادم  $(C \cos \Theta - 2u)$  وكلتاها مقاستان بالنسبة لراصد في المختبر . لذلك فان الطاقة التي فقدتها الجزيئة للمكبس بالتصادم تساوي :

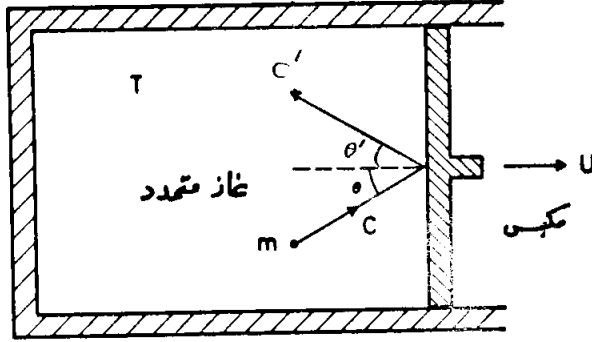
$$\Delta E = \frac{1}{2} m (C \cos \Theta)^2 - \frac{1}{2} m (C \cos \Theta - 2u)^2 \approx 2mu C \cos \Theta$$

وهذه تصح عندما تكون أقل بكثير من (C) .

ولحساب النقصان في الطاقة الحركية لجميع الجزيئات الساقطة على المكبس ومن جميع الاتجاهات ولجميع السرع نضرب المعادلة (١ - ١٦) مع المعادلة الأخيرة وبتكاملها لجميع الزوايا والسرع فنحصل :

$$\Delta KE = \int dKE = \frac{2mu}{4\pi} \int_0^{\infty} C^2 dn(C) \int_0^{\pi} \sin \theta \cos \theta d\theta \int_0^{2\pi} d\phi$$

$$\Delta KE = \frac{nm u}{3} C_{RMS}^2 = \Delta W$$



الشكل (١ - ١٥) - الشغل الذي تنجزه الجزيئات المصطدمة بمكبس المحرك

حيث الشغل الذي ينجزه المكبس ( $\Delta W$ ) يساوي النقصان في الطاقة الحركية للجزيئات ( $\Delta KE$ ) ، او نقصان الطاقة الداخلية  $\Delta U$  لهذه الجزيئات ولكن الضغط الذي يولده الغاز ( $P$ ) يساوي  $\frac{1}{3} nm C_{RMS}^2$  فاذا كانت مساحة المكبس ( $A$ ) فان الزيادة في حجم الغاز في الثانية ( $\Delta V$ ) تساوي ( $Au$ ) فتكون القدرة المنجزة تساوي ( $Fu$ ) أو ( $P Au$ ) . وسوف يبرد الغاز ما لم يزود بطاقة خارجية . ويجب ان نحذر الطالب من الخطأ الشائع ؛ وهو اعطاء درجة حرارة للجزيئة ، لأن درجة الحرارة من وجهة النظر الجزيئية هي خاصية لمجموعة الجزيئات وتتناسب مع معدل الطاقة الحركية . فالجزيئة بإمكانها ان تمتلك طاقة حركية عالية او واطئة ولكنها لا تمتلك درجة حرارة عالية او واطئة .

فاذا كانت سرعة تمدد المكبس ( $u$ ) أكبر من سرعة الجزيئة ( $C$ ) فلا يمكن للجزيئات بالاصطدام بالمكبس ولا يُنجزُ شغل ، ويكون التمدد حينئذ يعادل التمدد في الفراغ . وسيكون التغير في الطاقة الداخلية او الشغل المنجز صغيراً يقارب الصفر اذا كانت القوى الجزيئية مهملة .

## ( أمثلة محلولة )

- المثال (١) : وعاء حجمه لتراً واحداً يحتوي على غاز الأوكسجين بدرجة حرارة ٣٠٠ ك ، كثافته العددية في الظروف القياسية ٣ × ١٠<sup>٢٥</sup> جزيئة / م<sup>٣</sup> . وعلى فرض انه غاز مثالي ، احسب :
- (أ) السرعة الفعالة (CRMS) لجزيئته .
- (ب) السيل الجزيئي .
- (ج) طاقة الجزيئة مقدرة بالالكتران فولت (إ. ف . e.v.) .

الحل :

$$\frac{1}{2} m C_{RMS}^2 = \frac{3}{2} kT$$

$$\therefore CRMS = \left( \frac{3 kT}{m} \right)^{1/2} \quad \text{..... (أ)}$$

ولكن كتلة جزيئة الأوكسجين (m)

$$m = \frac{M}{N_o} = \frac{32}{6.02 \times 10^{26}} = 5.31 \times 10^{-26} \text{ Kg}$$

حيث (M) هو الوزن الجزيئي للأوكسجين .

$$\therefore CRMS = \left( \frac{3 \times 1.38 \times 10^{-23} \times 300}{5.31 \times 10^{-26}} \right)^{1/2} \approx 482 \text{ m / sec}$$

$$S = \frac{1}{4} m C_{AV} \quad \text{(ب)}$$

$$C_{AV} = 0.922 CRMS = 0.922 \times 482 = 453 \text{ m/Sec .}$$

$$n = 3 \times 10^{25} \quad \text{m}^{-3}$$

$$S = 1/4 \times 3 \times 10^{25} \times 453 \approx 3.4 \times 10^{27} \quad \text{Collision Sec/m}^2$$

$$\epsilon = \frac{3}{2} kT = \frac{3}{2} \times 1.38 \times 10^{-23} \times 300 \quad \text{..... (ج)}$$

$$= 6.21 \cdot 10^{-21} \text{ J} \quad (\text{جول})$$

$$\dots \epsilon = \frac{6.21}{1.602} \frac{10^{-21}}{10^{-19}} = 0.04 \text{ e.v} \quad (\text{ا . ف})$$

$$\dots kT = 0.026 \approx \frac{1}{40} \text{ e.v.} \quad !$$

مثال (٢) :

برهن ان معادلة الحالة للغاز المثالي يعبر عنها بالعلاقة :

$$P = (\gamma - 1) U / V$$

الحل :

باستخدام المعادلة (١ - ٣) حيث  $f = 3$  للغاز المثالي ، كذلك :

$$PV = 2 U / f$$

$$\gamma = \frac{2}{f} + 1$$

حيث (f) هي عدد درجات الحركة الحرة .

أي أن  $\frac{f}{2} = \frac{1}{\gamma - 1}$  وبالتعويض عن  $f / 2$  في المعادلة اعلاه نحصل على :

$$PV = (\gamma - 1) U$$

مثال (٣) :

اذا علم ان طاقة الفوتون في تجويف متزن حرارياً بدرجة حرارة (T) تساوي  $h\nu$  حيث (v) هو تردد موجته ، فبرهن ان الضغط (P) الذي يولده الفوتون يساوي ثلث كثافة الطاقة الاشعاعية . واذا اعتبرت اشعاعات الجسم الأسود توصف بالاحداثيات (T' V' P) فاشتق قانون (ستيفان - بولتزمان) .

الحل :

لقد برهننا للغاز المثالي :

$$P = \frac{1}{3} \frac{N}{V} m C_{\text{RMS}}^2$$

ولكن الفوتونات لها سرعة واحدة (C) وهي سرعة الضوء ، وان طاقتها ( $mc^2$ ) تساوي ( $h\nu$ ) وبالتعويض في المعادلة الأخيرة نحصل على ضغط الاشعاع  $P_\nu$  للفوتونات ذات التردد ( $\nu$ ) .

$$P_\nu = \frac{1}{3} \frac{N_\nu}{V} \cdot h\nu \quad (C = C_{RMS})$$

$$(mC_{RMS}^2 = h\nu)$$

$$\therefore P = \sum P_\nu = \frac{\sum N_\nu h\nu}{3V}$$

(u كثافة الطاقة) :

$$\therefore P = \frac{1}{3} \frac{U}{V} = \frac{1}{3} u$$

حيث  $\sum n_\nu h\nu = U$  وهي الطاقة الداخلية للفوتونات وباستخدام العلاقة الترموديناميكية التالية :

$$\left(\frac{\partial U}{\partial V}\right)_T = T \left(\frac{\partial P}{\partial T}\right)_V - P$$

$$U = V \cdot u \text{ و } P = \frac{1}{3} u$$

$$\therefore \frac{\partial U}{\partial V} = u \text{ و } \frac{\partial P}{\partial T} = \frac{1}{3} \left(\frac{\partial u}{\partial T}\right)_V$$

وبما ان (U) دالة لدرجة الحرارة (T) فقط :

$$\therefore u = \frac{T}{3} \frac{\partial u}{\partial T} - \frac{1}{3} u$$

$$\therefore \frac{du}{u} = 4 \frac{dT}{T}$$

وبالتكامل نحصل على معادلة ستيفان - بولتزمان التالية : -

$$u = b T^4$$

كذلك نجد الاحداثيات الترموديناميكية للغاز الفوتوني ، التالية : -

مسابقات الأولمبية

$$P = \frac{b}{3} T^4$$

$$U = Vu = Vb T^4$$

$$C_v = \left( \frac{\partial U}{\partial T} \right)_v = 4 b V T^3$$

$$S = \int_0^T \frac{C_v dT}{T} = \frac{4}{3} b V T^3 \quad (\text{الانتروبي})$$

$$G = F + PV = 0, F = U - TS = -\frac{1}{3} b V T^4$$

حيث (G) تسمى دالة جيبس (Gibbs Function) F، دالة هلمهولتز (الطاقة الحرة).

المثال (٤) :

وعاء مقفل يحتوي على ماء بحالة متعادلة مع بخاره بدرجة ١٠٠ س. وضغط جو واحد . فاذا علم ان الحرارة الكامنة للتبخر في هذه الدرجة تساوي ٢٢٥٠ جول/غم وافترضنا خضوع بخار الماء لقانون الغاز المثالي ، فاحسب :  
(أ) الكثافة العددية لجزيئات بخار الماء .

(ب) عدد الجزيئات المتبخرة في وحدة الزمن من وحدة المساحة من سطحه .

(ج) قارن بين الطاقة الحركية الانتقالية لجزيئة بخار الماء مع الطاقة اللازمة لتسعيدها .

الحل :

$$P = nk T$$

$$T = 373 \text{ K}, k = 1.38 \times 10^{-16} \text{ erg / K} \quad (1)$$

$$P = 1.03 \times 10^6 \text{ dyne / cm}^2$$

$$\therefore n = \frac{P}{kT} = 1.94 \times 10^{19} \text{ Molecule / cm}^3$$

$$S = \frac{1}{4} n C_{AV}$$

$$C_{AV} = (2.55 \frac{kT}{m})^{\frac{1}{2}} \text{ mH}_2\text{O} = \frac{18}{6.03 \times 10^{-23}} = 3 \times 10^{-23} \text{ gm}$$

$$\therefore C_{AV} = 680 \text{ m / Sec}$$

$$\therefore S = \frac{1}{4} \times 1.94 \times 10^{19} \times 6.8 \times 10^4$$

$$= 3.4 \times 10^{23} \text{ molecules / cm}^2 \text{ Sec.}$$

(ج) الطاقة الحركية الانتقالية  $\frac{3}{2} kT = KE$  ارك  $10^{-16} \times 1.94 \times 10^{19} = 1.94 \times 10^3$  ارك  
ولكن عدد جزيئات الماء في غرام منه  $\frac{N_0}{18} = \frac{6.02 \times 10^{23}}{18}$  ارك  
والطاقة اللازمة لتصفيد جزيئة منه =

$$\frac{1.94 \times 10^3 \times 1.94 \times 10^3}{\frac{6.02 \times 10^{23}}{18}} = 1.94 \times 10^3 \times 67.5 = 1.31 \times 10^5 \text{ ارك}$$

لذلك فان هذه الطاقة تزيد بمقدار ثمانية اضعاف طاقته الحركية الانتقالية !

المثال (٥) :

برهن أن عدد الجزيئات التي مركبة سرعتها السينية المحصورة بين (صفر ، u) تساوي :  $N \text{ Erf}(x)$



حيث :

$$\text{Erf}(x) = \frac{1}{\sqrt{\pi}} \int_0^x e^{-x^2} dx$$

$$x = \left( \frac{m}{2kT} \right)^{1/2} u$$

وتسمى  $\text{Erf}(x)$  بدالة الخطأ (Error Function) او متكامل الاحتمالية . احسب عدد الجزيئات بمركبات سرعة سينية محصورة بين  $u$  ,  $\infty$  .

الحل :

لورجعنا الى المعادلة (١ - ٢١) ومن معرفة قيمة A والتي تساوي :

$$f(u) = A e^{-mu^2 / 2kT} \quad , \quad \left( \frac{m}{2\pi kT} \right)^{1/2}$$

فيكون عدد الجسيمات التي سرعتها بين  $u + du, u$  تساوي :

$$\frac{dN(u)}{N} = \left( \frac{m}{2\pi kT} \right)^{1/2} e^{-mu^2 / 2kT} du$$

أو :

$$dN(u) = N \left( \frac{m}{2kT} \right)^{1/2} \frac{1}{\sqrt{\pi}} e^{-x^2} du$$

حيث :

$$dx = \left( \frac{m}{2kT} \right)^{1/2} du \quad , \quad x = \left( \frac{m}{2kT} \right)^{1/2} u$$

$$\therefore dN(u) = \frac{N}{\sqrt{\pi}} e^{-x^2} dx$$

$$\therefore \int dN(u) = \frac{N}{\sqrt{\pi}} \int_0^x e^{-x^2} dx$$

$$N(0, u)$$

$$\therefore N(0, u) = N \text{erf}(x) .$$

ولكن مجموع الجزيئات بالاتجاه السيني يحسب بتكامل المعادلة اعلاه من

$$\int_{N(0)}^{N(\infty)} dN(u) = \frac{N}{\sqrt{\pi}} \int_0^{\infty} e^{-x^2} dx = N \operatorname{erf}(\infty)$$

صفر،  $\infty$  :

ولكن قيمة دالة الخطأ بين (صفر،  $\infty$ ) هي نفسها تقريباً من صفر ، ٣ حيث تصبح قيمتها (راجع الجدول الملحق بالكتاب) تساوي  $\frac{1}{2}$

$$N(0, \infty) = \frac{N}{2}$$

لذلك فان عدد الجزيئات في الاتجاه السيني والمحصورة سرعتها بين  $(\infty, u)$  تساوي :

$$N(u, \infty) = N(0, \infty) - N(0, u)$$

$$N(u, \infty) = \frac{N}{2} - N \operatorname{erf}(x) = N \left[ \frac{1}{2} - \operatorname{erf}(x) \right]$$

مثال (٦) : -

استخدم قانون ماكسويل لتوزيع السرعة ، لاشتقاق قانون (ريجارديسون) للانبعاث الالكتروني الحراري .

الحل : -

لو كان لدينا سطح بَعَاثٌ للالكترونات مساحته (A) ودرجة حرارته (T) يعطي الكترونات بالاتجاه السيني ، فيكون عددها بين  $u + du$  يساوي  $dN(u)$  .

حيث :

$$dN(u) = N \left( \frac{m}{2\pi kT} \right)^{3/2} e^{-\epsilon / kT}$$

ولكن كثافة التيار (dJ(u)) الناتج من هذه الالكترونات يساوي :  $\frac{e dN(u)}{A dt}$

وبما ان  $N = nV$  .

حيث  $Audt = V$  , (n) الكثافة العددية الالكترونية ، (e) شحنة الالكترون .  
وبالتعويض عن (n) واجراء التكامل نحصل على :

$$J_{sat} = \int_0^{J_{sat}} dJ(u) = \frac{en}{(2\pi mkT)^{1/2}} \int_0^{\infty} e^{-\epsilon / KT} d\epsilon$$

لأن

$$\frac{d\epsilon}{m} = u du$$

$$J_{sat} = \frac{enk^{1/2} T^{1/2}}{(2\pi m)^{1/2}} e^{-\epsilon_0 / KT}$$

حيث ( $\epsilon_0$ ) هي الطاقة اللازمة لتحرر الالكترون من معدنه (ويساوي  $e\phi$ )  
حيث  $\phi$  تسمى دالة الشغل .  $J_{sat}$  هو كثافة التيار المشبع .  
لذلك تصبح معادلة ريجاردسون بالصيغة النهائية :

$$J_{sat} = AT^{1/2} e^{-e\phi / kT}$$

وبالطبع فان هذه المعادلة تقريبية لأن العلاقة تعتمد على  $T^{1/2}$  وليست على  $T^2$   
لكون الالكترون لا يخضع لقانون ماكسويل ، بل لاحصاء (فيرمي - ديراك) .

## (اسئلة الفصل الأول)

- ١ - عرف ما يلي معززاً جوابك بالرياضيات :  
متوسط الانطلاق ، الانطلاق الأكثر احتمالاً ، جذر معدل مربع الانطلاق .
- ٢ - ما مقدار الحرارة النوعية المولية للجوامد حسب النظرية الحركية للغازات ؟

(الجواب : 3R)

- ٣ - ما هي عيوب النظرية الحركية للغازات ، عدد الظواهر التي فشلت في تفسيرها .

٤ - كم وحدة حركة حرة للجزيئات التالية مستعينا بالجدول (١ - ١) ؟  
(أ) جزيئة بخار الماء . (ب) الأمونيا .

٥ - احسب : CRMS , CAV للتوزيع التالي لسته جسيمات :

N	1	2	2	1
(m / sec) C	5	7	15	20

(الجواب : ١١,٥ م/ثا ، ١٢,٧ م/ثا)

٦ - ما الفرق بين الشغل والطاقة الحرارية حسب مفهوم النظرية الحركية للغازات ؟

وهل صحيح القول أن درجة حرارة جزيئة الهواء تساوي ٣٠٠ ك ؟

٧ - ما طول ضلع مكعب يحتوي على عدد من الجزيئات تساوي نفوس الوطن العربي (١٥٠ مليون) في الظروف القياسية ؟

٨ - احسب عدد الجزيئات في وحدة الحجم لغاز مثالي بدرجة ٣٠٠ ك وضغط ١ ك ملم زئبق (ملي توريشلي) : الجواب : ٣,٢ × ١٠<sup>٢٠</sup> جزيئة / سم<sup>٣</sup>  
٩ -

(أ) احسب CRMS لجزيئة الهيليوم بدرجة ٣٠٠ ك .

(ب) في اية درجة حرارة تتساوى مع CRMS لجزيئة الأوكسجين ؟

(ج) ما هو فرق الجهد اللازم لتعجيل ذرة اوكسجين أحادية التأين لتمتلك نفس السرعة هذه ؟

(الجواب : ١٣٦٠ م/ثا ، ٢٤٠٠ ك ، ٠,٣١ فولت)

١٠ - مكعب طول ضلعه ١٠ سم يحتوي ٣ × ١٠<sup>٢٢</sup> جزيئة اوكسجين بدرجة ٣٠٠ ك . احسب : -

(أ) معدل عدد الاصطدامات لوحدة المساحة في الثانية (السيل) على جداره .

(ب) ضغط الغاز

(الجواب : ٣,٣٦ × ١٠<sup>٢٢</sup> تصادم / سم<sup>٢</sup> ثا ، ١,٢٢ × ١٠<sup>-٣</sup> جو .)

- ١١ - برهن ان الطاقة الحركية الأكثر احتمالاً  $\epsilon_m$  تساوي نصف الطاقة الحركية للجزيئة التي تسير بالانطلاق  $C_m$  في توزيع ماكسويل .
- ١٢ - برهن ان معدل مقلوب الانطلاق  $(\frac{1}{C_{AV}})$  يساوي يساوي  $(2m / \pi KT)^{1/2}$  لتوزيع ماكسويل .
- ١٣ - احسب كسر الجزيئات  $\frac{dN}{N}$  لغاز انطلاقة السيني (u) محصور بين  $1.01 C_m, C_m$  .

الجواب : (٣-١٠ × ٢٠٨)

- ١٤ - غاز مثالي أحادي الذرة يتمدد اديباتيكياً ، برهن أن : -

$$PV^{5/3} = \text{Constant}, P \propto C^{\frac{5}{3}}_{\text{RMS}}$$

- ١٥ - احسب مجموع الطاقة الحركية ،  $C_{AV}$  لعشرة التار من غاز الهيليوم تحت ضغط  $10^\circ$  نيوتن/م<sup>٢</sup> .

(الجواب : ١,٥ كيلوجول ، ١,٣٦ كيلومتر/ثا)

- ١٦ - برهن ان عدد الجزيئات التي تصطدم على وحدة المساحة في وحدة الزمن (السيل الجزيئي) بمركبة سرعة عامودية على السطح أكبر من (C) يساوي :

$$\frac{n C_m}{2\sqrt{\pi}} e^{-x^2} \quad C = X C_m \quad \text{حيث :}$$

- ١٧ - كرة مجوفة نصف قطرها ١٠ سم بدرجة ٢٧ س° ما عدا سم<sup>٢</sup> واحد منها بقي مبرداً ، تحتوي الكرة على بخار الماء تحت ضغط 1 و. ملم زئبق . فاذا فرضنا بأن كل جزيئة بخار تصطدم بالسطح البارد تتكثف ، فما الزمن اللازم ليصبح الضغط ١٠-1 ملم زئبق ؟

(الجواب : ٣,٢٦ ثانية)

- ١٨ - وعاء رقيق الجدار حجمه V يحتوي على (N) جزيئة فيه ثقب صغير مساحته (A) يتسرب منه الغاز الى الخارج ولا يعود اليه ، فما الزمن اللازم لكي

يتفرغ نصف عدد جزئياته ؟

$$(t = (4 V / AC_{AV} L_n 2 : \text{الجواب})$$

١٩ - وعاء حجمه ٢ لتر ضغط الهواء فيه ملي توريشلي واحد ، فيه ثقب مساحته ١٠ - ١٠ سم<sup>٢</sup> يتسرب اليه الهواء من الخارج بضغط جوي واحد . احسب :

(أ) عدد الجزيئات المتسربة الى الوعاء في ساعة واحدة .

(ب) ما مقدار زيادة الضغط بعد ساعة من الزمن .

(ج) برهن ان الجزيئات المتسربة الى الخارج مهمة .

الجواب : ١٠<sup>١٧</sup> جزيئة ، ١,٦ ملي توريشلي

٢٠ - مفاعل نووي فيه فتحة في جداره تتسرب منها نيوترونات حرارية بدرجة ٣٠٠ ك سيلها ٤ × ١٠<sup>١١</sup> نيوترون/م<sup>٢</sup> ثا. فما الكثافة العددية لها ، وما الضغط الذي تولده على قرص انها غاز مثالي ؟

$$( \text{الجواب : } ٦,٣٤ \times ١٠^{١٢} \text{ نيوترون/م}^٣, ٢,٦٣ \times ١٠^{-١٠} \text{ نيوتن/م}^٢)$$

٢٢ - يحتوي القرن في الشكل (١-١٣) على البزموت (وزنه الذري ٢٠٩) بدرجة ٨٣٠ ك . وكان قطر الاسطوانة ١٠ سم وتدور بمعدل ٦٠٠٠ دورة/دقيقة . جد المسافة بين جزيئات Bi<sub>٢</sub>, Bi<sub>١</sub> على اللوح الزجاجي (GG') على فرض ان الجزيئات تسير بسرعة CRMS الخاصة بها .

الجواب : (٣,٦ ملم) .

٢٣ - ان خطوط الطيف لها عرض محدود بتأثير ظاهرة (دوبلر) لذرات الغاز المتوهج المتحركة باتجاه خط النظر . برهن أن شدة الضوء I تتوزع على طرفي مركز الخط تبعاً للعلاقة :

$$I = I_{oe} - (m X^2 C^2 / 2 KT)$$

حيث I<sub>o</sub> شدة الضوء في مركز الخط ، (X) البعد عنه مقدراً بوحدات الطول الموجي ، C سرعة الضوء .

٢٤ - برهن ان الضغط والكثافة تتغيران مع الارتفاع للجو الأرضي على فرض ثبوت درجة حرارته (T) تبعاً للعلاقة :

$$P = P_a e^{-(mgZ/kT)}$$

$$\ln n_2 - \ln n_1 = \frac{mg}{kT} (Z_2 - Z_1)$$

حيث n الكثافة العددية للجزيئات على ارتفاع Z .

٢٥ - برهن :  $C^2_{AV} - (C^2)^{AV} > 0$  . ويلعب هذا المقدار دوراً مهماً في نظرية التراوح (Fluctuations) .

٢٦ - (أ) إحسب بالتقريب كسر الجزيئات لغاز له سرع ضمن الزوايا المحصورة بين  $29,5^\circ$  ،  $30,5^\circ$  ،  $\phi$  المحصورة بين  $44,5^\circ$  ،  $45,5^\circ$  .

(ب) الكسر العددي بغض النظر عن قيمة  $\theta$  وللزاوية  $\phi$  المحصورة بين  $29,5^\circ$  ،  $30,5^\circ$  .

الجواب :  $1,7 \times 10^{-1}$  -

$7,2 \times 10^{-1}$  -

(٢٧) - مجموعة جزيئات (N) تتوزع دالتها بالصيغة  $dN_c = kc dc$  بحيث  $c > 0$  ،  $c_0 > c$  عند  $dN_c = 0$  .

ارسم منحنى التوزيع وجد  $C_{AV}$  ،  $C_{RMS}$  .

الجواب : خط مستقيم :  $\frac{2}{3} C_0$  ،  $0.0707 C_0$  .





## ( الفصل الثاني )

### « ظواهر النقل في الغازات »

( ٢ - ١ ) - تأثير حجوم الجزيئات والقوى الجزيئية على تصرف الغاز الحقيقي (معادلة فان ديرفال) .

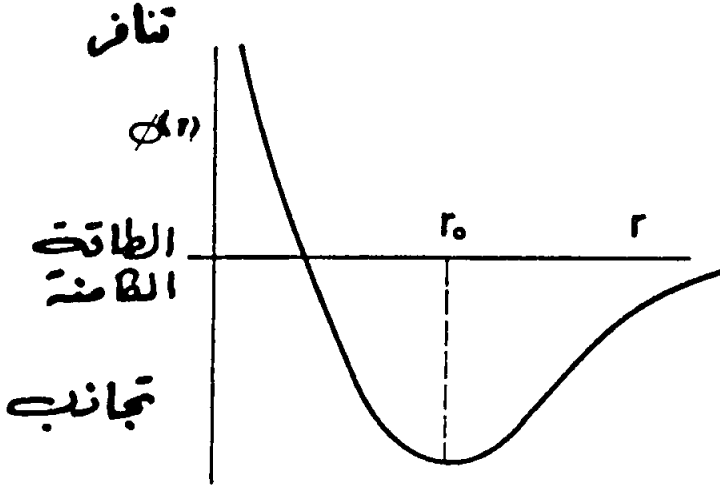
لقد افترضنا في الفصل الأول بأن جزيئات الغاز نقاط هندسية ومستقلة عن بعضها البعض ؛ أي أن حجمها والقوى بينها مهملة ، ولكن الغازات الحقيقية لا تتفق وهذه الفرضيات ولا سيما في الضغوط العالية او درجات الحرارة الواطئة حيث أن للجزيئات حجوم تؤثر على بعضها البعض بقوى معقدة بسبب التركيب المعقد للذرة والجزيئية . فعندما تكون الجزيئات متباعدة تتجاذب مع بعضها بقوى (فان ديرفال) . وهي تتناقص سريعاً مع زيادة المسافة ، وتزداد مع الاقتراب حتى تبلغ ذروتها على بعد  $(r_0)$  يسمى (بعد الاتزان) ، ثم تبدأ قوى التجاذب تتضاءل مع نقصان المسافة بينها بسبب قوى التنافر بينها ، بتأثير السحب الالكترونية لذرات كل منها ، فتتحول القوة بينها الى تنافر ، لذلك فان الجزيئات تمتلك طاقة كامنة بسبب القوى المتبادلة بين الجزيئات ، ويمكن تمثيل هذا التصرف بين جزيئين بالمخطط - (٢ - ١) . لذلك تصبح الطاقة الداخلية للغاز الحقيقي بعضها حركية انتقالية والبعض الآخر طاقة كامنة عندئذٍ يجب استبدال معادلة الغاز المثالي : -

$$p = \frac{N}{V} kT \dots\dots\dots (1 - <)$$

بالمعادلة : -

$$p = \frac{N}{V} k T + \phi(r) \dots\dots\dots (< - <)$$

حيث  $\phi(r)$  كمية تتناسب مع الطاقة الكامنة للغاز بسبب القوى الجزيئية بين جزيئاته . ونلاحظ ان  $\phi(r)$  تكون سالبة وأقل من الصفر (تجاذب) في ظروف الغاز العادية ، حيث تهيمن حالة التجاذب بينها بسبب سرعتها المعتدلة و  $\phi(r)$  تصبح موجبة عندما تكون السرعة عالية .



الشكل (٢ - ١) - توزيع الجهد بين الذرات كدالة للمسافة  $(r)$  بينهما .

فلو فرضنا الدالة  $\psi(r)$  تمثل الطاقة الكامنة لجزيئة واحدة (او أيون) ، فإننا نتوقع ان تكون :

$$\phi(r) = A n \psi(r)$$

حيث A ثابت ،  $(n)$  الكثافة العددية للغاز . وان مضاعفة  $(n)$  يؤدي الى مضاعفة التصادم الجزيئي - كما سنرى في الفقرة القادمة - وهذا يؤدي الى مضاعفة  $(\psi)$  أيضاً ، لذلك فانه في حالة التجاذب بين الجزيئات ، تكون الدالة  $\phi(r)$  سالبة ونحصل :

$$\phi = -a' n^2$$

$$p = nkT - a' n^2$$

$$= \frac{N}{V} \left( kT - \frac{a'}{v} \right)$$

حيث  $v = V / N$  (حجم الحيز لجزيئة واحدة)

(٣ - ٢) .....

$$(P + \frac{a'}{v^2}) v = kT$$

لذلك فالحد  $\frac{a'}{v^2}$  يمثل التصحيح لمعادلة الغاز بتأثير القوى الجزيئية .  
ولغرض التصحيح لحجم الجزيئات ، نفترض أنها كرات صلبة قطرها (d) . لذلك  
فان أقرب مسافة ممكنة بينها هي (d) ويكون حجم الحيز الغير متمسر للجزيئين  
تساوي  $\frac{4\pi d^3}{3}$  ، فان كان لدينا (N) جزيئة يكون الحجم الغير متمسر  
(Unavailable volume) له يساوي  $\frac{N}{2} \cdot \frac{4\pi d^3}{3}$  . اما اذا كان لدينا مول من  
الغاز ، فان هذا الحجم يساوي  $\frac{2\pi N_0 d^3}{3}$  ونرمز له بالرمز (b) . حيث  $N_0$   
عدد أفوكادرو .

أما الحجم الفعلي الذي تشغله الجزيئات للمول الواحد ، فهو :

$$V_0 = \frac{4}{3} \pi \left(\frac{d}{2}\right)^3 N_0$$

$$b = 4 V_0 \quad \text{لذلك فان}$$

وعليه فان المعادلة (٣ - ٢) المصححة لحجم الجزيئات تصبح : -

$$\left[ P + \frac{d'}{(V - b')^2} \right] [V - b'] = kT$$

حيث  $b' = \frac{b}{N_0}$  وهو التصحيح لجزيئة واحدة ، ونظراً لصغر الحد  
 $\frac{a'}{(V - b')^2}$  زائد مقارنة بالحد (p) فيكون تقريب  
بالمقدار  $\frac{a'}{v^2}$  ولا سيما وان (V) أكبر بكثير من (b') . لذلك فان المعادلة  
الأخيرة ، تحول بدلالة الحجم المولي (V) لتصبح : -

$$\left( P + \frac{a' N_0^2}{V^2} \right) \left( \frac{V}{N_0} - \frac{b}{N_0} \right) = kT = \frac{R}{N_0} T$$

$$(P + \frac{a}{V^2})(V - b) = RT \quad \dots\dots\dots (٢ - ٤)$$

حيث  $a' = a$  وتسمى (٢ - ٤) بمعادلة (فان ديرفال) نسبة الى العالم الهولندي الذي وضعها عام ١٨٧٣ . ولقد استخدمها الطالب كثيراً على الغازات الحقيقية في موضوع الثرموداينميكس لبساطتها النسبية .

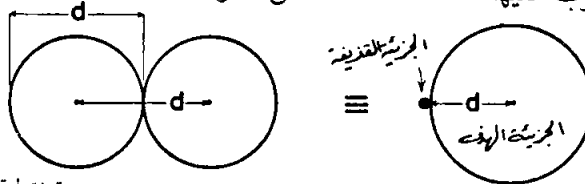
## (٢ - ٢) - التصادم الجزيئي ومتوسط المسار الحر :

(Molecular collision and the mean free path)

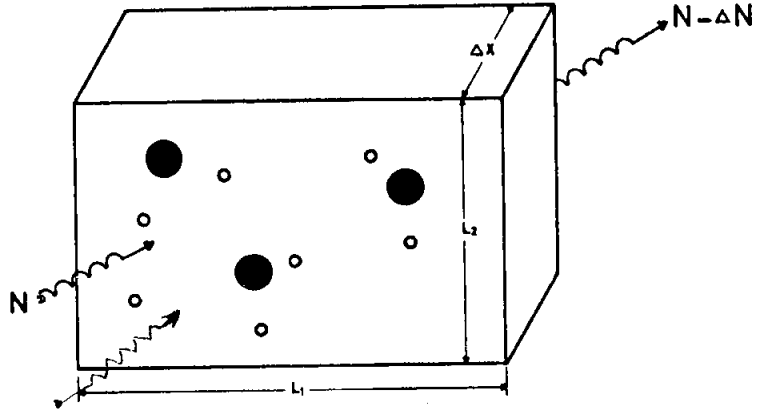
لو كانت الجزيئات نقاط هندسية تنعدم بينها القوى ، لاستحال التصادم بينها وانتشر الغاز سريعاً وبصورة آنية حال تحرره من الحيز الذي يشغله . ولكن التجربة تثبت عكس ذلك ، لأن جزيئات الغاز (العطور مثلاً) تأخذ وقتاً لوصولها اليها من المصدر ، مما يدل على انها تتصادم عشوائياً وبمسار متعرج ، وتسمى هذه الظاهرة بالانتشار (Diffusion) .

ولغرض دراسة الانتشار في الغاز نفترض ان جزيئاته كرات صلبة قطرها (d) تتصادم مع بعضها متى ما كانت المسافة بين جزيئين (d) ويمكن ان نفترض العملية تكافئ تصادم جزيئة كبيرة ساكنة نصف قطرها (d) ، تسمى الجزيئة الهدف والأخرى تنقلص الى حجم النقطة وسريعة ، تسمى الجزيئة القذيفة (المخطط ٢ - ٢) . فيتم التصادم بينهما متى كانت المسافة بين مركزيهما (d) سواء كانت الجزيئتان متساويتين أم لا .

ولنفرض أننا اخذنا طبقة رقيقة من جزيئات غاز الهدف سمكها (dx) وابعادها  $L_1, L_2$  ثم نصبوب عليها اعداداً هائلة (N) من الجزيئات النقطية (المخطط ٢ - ٣) .



المخطط (٢ - ٢) - التصادم بين جزيئين متساويتين ، يعادل التصادم بين جزيئة نقطية واخرى قطرها ضعف قطر الجزيئة .



المخطط (٢ - ٣) طبقة رقيقة من الجزيئات الهدف تتعرض للجزيئات القذائف

فلو فرضنا ان سمك الطبقة من الغاز الهدف قليل بحيث لا تختبئ الجزيئات الهدف وراء بعضها البعض ، فان أغلب القذائف الجزيئية سوف لا تصطدم مع الهدف ، ولكن كمية منها ( $-dN$ ) سوف تصطدم بالهدف حيث :

$$-\frac{dN}{N} = \frac{\text{مساحة الهدف}}{\text{المساحة الكلية}} = \frac{n \sigma L_1 L_2 dx}{L_1 L_2}$$

$$\therefore \frac{dN}{N} = -n \sigma dx \quad \dots\dots\dots (٥ - ٢)$$

وتسمى النسبة  $\frac{dN}{N}$  احتمالية التصادم (Collision Probability) والكمية

$\sigma = \pi d^2$  بمقطع التصادم المجهرى (لجزيئين)  $n\sigma$  مقطع التصادم المنظور (Macroscopic Collision Cross Section) ، الكثافة العددية الجزيئية ، لذلك فان حزمة من الجزيئات الساقطة وعددها  $N$  سوف تفقد  $dN$  بالتصادم عند اختراقها سمك ( $dx$ ) من الغاز .

أي أن الجزيئات القذائف سينقص عددها بمقدار  $dN$  وبصورة متصلة (لوفرة العدد)  $N$  .

$$\therefore dN = -N n \sigma dx$$

وبتكاملها من  $x = 0$  عند  $N = N_0$  نحصل :

$$N = N_0 \text{EXP} - (n \sigma x) \quad \dots (٦ - ٢)$$

وتسمى هذه العلاقة معادلة النجاة Survival Equation وهي تعبر عن عدد الجزيئات التي تعبر سمكاً من الغاز قدره  $(X)$  بدون تصادم أي أن  $(N)$  تمثل عدد المسارات الحرة (Free paths) أيضاً ، لأن كل جزيئة منها لم تعاني اصطداماً مع جزيئة الهدف . وبتفاضل  $(٦ - ٢)$  نحصل على  $(dN)$  والذي يمثل عدد المسارات الحرة المحصورة بين  $(X)$  و  $(X + dX)$  ، لذلك فالقيمة العددية الى  $(dN)$  تساوي : -

$$dN = N_0 n \sigma \text{EXP} - (n \sigma x) dx \quad \dots (٧ - ٢)$$

أما الإشارة السالبة في المعادلة الأخيرة فتشير الى نقصان عدد الجزيئات الساقطة بسبب التصادم .

ولحساب متوسط المسار الحر  $L$  (Mean Free Path) للجزيئة والذي يمثل متوسط المسافة الحرة التي تقطعها الجزيئة بين تصادمين متتاليين ، نكامل المعادلة التالية :-

$$L = \frac{1}{N_0} \int_0^{\infty} x dN(x)$$

$$L = n \sigma \int_0^{\infty} x e^{-n \sigma x} dx = \frac{1}{n \sigma} \quad \dots (٨ - ٢)$$

كذلك :

$$L = \frac{1}{n \sigma} = \frac{kT}{P \sigma}$$

$$P = nkT$$

لأن

لذلك فان متوسط المسار الحر تحت الشروط اعلاه ، لا يعتمد على انطلاق الجزيئات بل على درجة الحرارة  $T$  والضغط  $P$  بسبب المسار المتعرج للجزيئة عند تصادمها ، مما يعرقل انتقالها بعيداً من نقطة الأصل . ويمكن توضيح ذلك بتصورنا

صياداً يرمي بسيل من الرصاصات عشوائياً خلال غابة كثيفة الأشجار . فبالرغم من عمله العشوائي ، فانه سوف يصيب بعضها ، ولا سيما الغليظة منها . وأن بعض الاطلاقات تحترق الغابة اكثر من غيرها . وأن متوسط المسافة المقطوعة ، تعتمد على كثافة الأشجار (n) بصورة عكسية وعلى كبر مقطع الساق ( $\sigma$ ) .

كذلك من المفيد ان تحسب عدد التصادمات في الثانية (z) بين جزيئات الغاز ، ففي فترة (dt) تقطع الجزيئة مسافة  $CAV \cdot dt$  ويكون عدد التصادمات خلال هذه الفترة :

$$\frac{CAV \cdot dt}{L}$$

$$\dots\dots (٩ - ٢) \quad \dots\dots Z = -\frac{CAV}{L} = CAV \cdot n \cdot \sigma$$

حيث  $CAV$  هو متوسط الانطلاق للجزيئات .

$$CAV = \left( \frac{8KT}{\pi m} \right)^{1/2} , \quad n = \frac{P}{KT} \quad \text{ولكن}$$

لذلك فان (L) يتناسب طردياً مع (T) وعكسياً مع p (المعادلة ٢ - ٨) .

أما (Z) فانها تتناسب مع P وعكسياً مع  $\sqrt{T}$  .

ولنأخذ فكرة عن قيمة هذه المقادير ، نأخذ قطر الجزيئي  $2 \times 10^{-10}$  م والكثافة العددية للجزيئات في الظروف القياسية تقارب  $3 \times 10^{25}$  جزيئة/م<sup>٣</sup> .

وان معدل سرعة الجزيئي بحدود ٤٥٠ م/ث فتكون قيمة  $L = 2,5 \times 10^{-7}$  م ، Z تقارب  $1,8 \times 10^{10}$  اصطدام/ثانية .

أي أن (L) اقصر من طول موجة الضوء ! ولكنه يفوق المسافة بين الجزيئات (تقارب  $3 \times 10^{-10}$  م) !

ولقد عولجت مسألة حساب متوسط المسار الحر من قبل عدد من الباحثين ، لأن الجزيئات المتصادمة تتحرك ، وان سرعتها تخضع لتوزيع ماكسويل . فلقد برهن العالم (جيمس جينز) بأن (L) تحت ظروف أكثر واقعية يعبر عنها بالعلاقة :

$$L = \frac{1.319}{\sqrt{2}} \cdot \frac{1}{n\sigma} = \frac{0.93}{n\sigma} \quad \dots\dots\dots (٢ - ١٠)$$

وهناك حالات مهمة من التصادم في الفيزياء مثل تصادم الالكترونات بجزيئات الغاز . فيمكن اعتبار الالكترونات جسيمات نقطية سريعة الحركة والجزيئات جسيمات كبيرة بطيئة الحركة النسبية (جزيئات الهدف)، فيكون مقطع التصادم :  $\sigma_{e \rightarrow} = \pi \left( \frac{d}{2} \right)^2 = \frac{\sigma}{4}$

وعليه يكون متوسط المسار الحر للالكترون (Le) يعبر عنه :

$$Le = \frac{4}{\sigma n} \quad \dots\dots\dots (٢ - ١١)$$

أما متوسط زمن المسار الحر ( $\tau$ ) فيساوي  $\frac{1}{Z}$

## (٢ - ٣) نظرية درود للتوصيل الكهربائي (Drude Theory)

لقد استخدم العالم درود (١٩٠٠) نتائج النظرية الحركية للغازات ، لوضع تفسير لظاهرة التوصيل الكهربائي للمعادن . على فرض ان الالكترونات الحرة في الموصل تتصرف مثل الغاز المثالي . فاذا سلط مجال كهربائي (E) على الموصل فان الالكترونات تكتسب تعجلاً قدره (a) طبقاً للمعادلة :

$$a = \frac{E \cdot e}{m_e} \quad (m_e \text{ كتلة الالكترون})$$

$$\frac{a \tau}{2} = \quad \text{وسوف يكون متوسط سرعته } C_d \text{ بين تصادمين متتاليين :}$$

وتسمى  $C_d$  سرعة الانحراف (Drift velocity) .

$$C_d = \frac{a \tau}{2} = \frac{E \cdot e \cdot L_e}{2 m_e C_{Av}} \quad \text{حيث :}$$

وهذه السرعة أقل بكثير من السرعة العشوائية للالكترون . ولكن كثافة



التيار الكهربائي :

$$ne e C_d = \frac{i}{A} = J$$

$$\therefore J = \left( \frac{ne e^2 L_e}{2 m_e C_{Av}} \right) E$$

ولكن معامل المقاومة الكهربائية ( $\rho$ ) يساوي  $\frac{E}{J}$

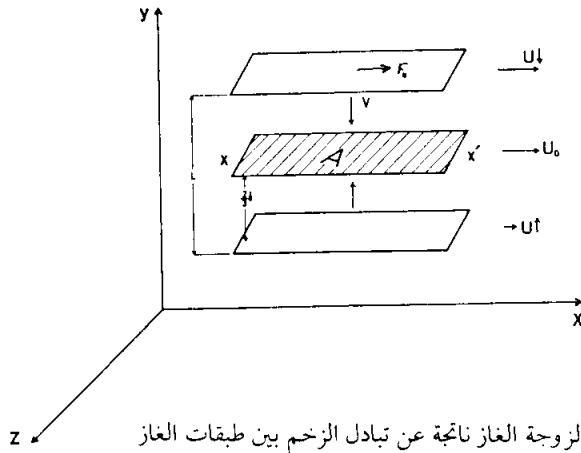
$$\therefore \rho = \frac{2 m_e C_{Av}}{ne \cdot e^2 \cdot L_e} = \frac{1}{2} \frac{m_e C_{Av} \sigma}{e^2} \quad (١٢-٣)$$

لذلك فان ( $\sigma$ ) تتناسب طردياً مع  $\sqrt{T}$  . ولكن التجربة تشير ان ( $\rho$ ) تتناسب مع ( $T$ ) تقريباً ، لذلك فان نظرية درود تقريبية كما هو متوقع لأن الألكترون لا يتصرف مثل الجزيئة الغازية كما سنرى في الفصل الرابع .

## (٢ - ٤) - معامل اللزوجة للغاز :

قد يتعجب المرء لأول وهلة ، كيف يمكن للغاز ، ذلك النظام المتباعد الجزيئات المرنة ، ان يمتلك خاصية اللزوجة او الاحتكاك الداخلي ، ولكنه من المعروف ان كل غاز حقيقي يمتلك لزوجة . ولكنها تزداد مع زيادة درجة الحرارة على عكس السوائل ، أي ان مصدر اللزوجة في الغازات هو ليس قوي التماسك بين جزيئاته كما هو معروف في السوائل ، بل مصدره تبادل الزخم بين طبقات الغاز بسبب الحركة العشوائية لجزيئاته ، فالمخطط (٢ - ٤) يمثل جزءاً من صفيحتين كبيرتين في غاز ما المسافة بينهما ( $D$ ) ، فبسبب لزوجة الغاز فاننا نحتاج الى تسليط قوة مماسة ( $F_x$ ) على الصفيحة العليا لجرها الى اليمين بسرعة ثابتة ( $U$ ) بالنسبة للصفيحة السفلى الساكنة (والتي تتطلب الى قوة مساوية ومعاكسة لابقائها واقفة) . فاذا فرضنا ان الغاز ينساب نحو اليمين بانطلاق ( $U$ ) فان انطلاقه يزداد كلما ابتعدنا عن السطح الأسفل الساكن (القاع) ، ولو فرضنا ان الزيادة في السرعة خطية مع البعد ( $y$ ) عن سطح الجدار ، فان اجهاد القص ( $\text{Shearing Stress}$ ) يتناسب مع انحدار السرعة  $\frac{du}{dy}$  . أي أن :-

$$\tau_x = F_x / A = \eta \frac{du}{dy} \quad \dots\dots\dots (3 - 13)$$



حيث (A) مساحة الصفيحة (طبقة المائع) التي تؤثر عليها القوة المماسية  $F_x$  .  
وتسمى ( $\eta$ ) معامل اللزوجة . ووحداته نيوتن . م/ثا<sup>٢</sup> او داین ثا/سم<sup>٢</sup> (ويسمى  
البواز Poise) .

فاذا علمنا ان انطلاق جزيئة الغاز (C) العشوائي عالياً مقارنة مع انطلاق  
جريان الغاز (U) فان جزيئات الغاز تمتلك مركبات انطلاق (V) عمودية على اتجاه  
الجران . وهذه الجزيئات التي تصل من السطح العلوي تنقل زخماً عند عبورها  
السطح الوسطي (XX') ، اما الجزيئات التي تعبر السطح من الأسفل ، فانها تصله  
بزخم أقل من زخم الجزيئات عند هذا المستوى (على فرض ان سرعة الجريان تزداد  
نحو الأعلى) . . . ومن المفيد ان نشق قيمة متوسط الارتفاع  $y^-$  عن السطح  $XX'$   
عندما حصل للجزيئات آخر عملية تصادم قبل عبورها له ، وسوف نستخدم  
العلاقة (راجع الفصل الأول) (١ - ١٦) بعد تكاملها بدلالة  $\phi$  من صفر الى  $2\pi$

$$\therefore dS_0 = \frac{1}{2} C A v n \sin \theta \cos \theta d\theta \quad \text{والمعادلة (١ - ١٧) :}$$

$$S = \frac{1}{4} n C A v \quad \text{ولكن :}$$

$$\therefore \bar{y} = \frac{1}{S} \int_0^{\pi/2} \frac{y dS \theta}{S} = \dots\dots\dots (2 - 14)$$

أي أن الجزيئات التي تعبر السطح الوسطي  $XX'$  من الأسفل إلى الأعلى أو بالعكس ، قد عانت آخر تصادم لها على ارتفاع  $\frac{2L}{3}$  حيث  $(L)$  هو متوسط المسار الحر ، لذلك فإذا كانت سرعة جريان المائع عند  $X'X$  تساوي  $(U_0)$  فإن سرعة جريان الجزيئات فوق وعلى ارتفاع  $\frac{2L}{3}$  تساوي  $U_1$  حيث :

$$U_1 = U_0 + \frac{2L}{3} \cdot \frac{dU}{dy}$$

وإن سرعة جريان الجزيئات أسفل  $x'x$  وعلى بعد  $\frac{2L}{3}$  تساوي  $(U_2)$  حيث :

$$U_2 = U_0 - \frac{2L}{3} \cdot \frac{dU}{dy}$$

لذلك فإن زخم الجزيئة التي تعبر السطح  $x'x$  من ارتفاع  $\frac{2L}{3}$  تحمل زخماً قدره  $(mU)$  ، وبذلك يكون زخم الجزيئات التي تعبر السطح  $xx'$  من الأعلى في وحدة الزمن خلال وحدة المساحة فيه تساوي :-

$$S \cdot m \cdot (U_0 + \frac{2L}{3} \cdot \frac{dU}{dy})$$

والزخم الذي يصله من الأسفل لوحدة المساحة في الثانية :-

$$S \cdot m (U_0 - \frac{2L}{3} \cdot \frac{dU}{dy})$$

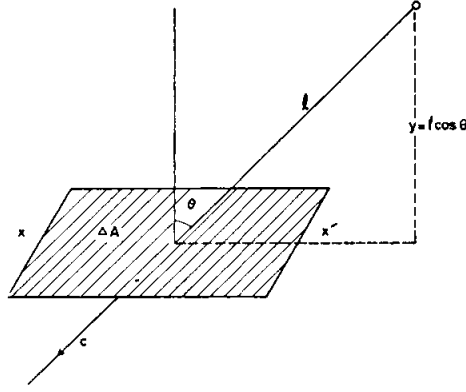
$$S = \frac{1}{4} n C A V \quad \text{حيث}$$

لذلك فإن محصلة الزخم الذي يصل السطح  $x'x$  في الثانية لوحدة المساحة فيه تساوي :

$$S m \frac{4L}{3} \cdot \frac{dU}{dy}$$

وهذه الكمية تساوي القوة  $\frac{F_x}{A}$  حسب قانون نيوتن الثاني :-

$$\therefore \frac{F_x}{A} = \frac{4L}{3} mS \cdot \frac{dU}{dy}$$



المخطط (٢ - ٥)

الجزئية بدأت من مسافة تساوي متوسط المسار الحر (l) قبل عبورها السطح

وبمقارنتها مع المعادلة (٢ - ١٣) نحصل :

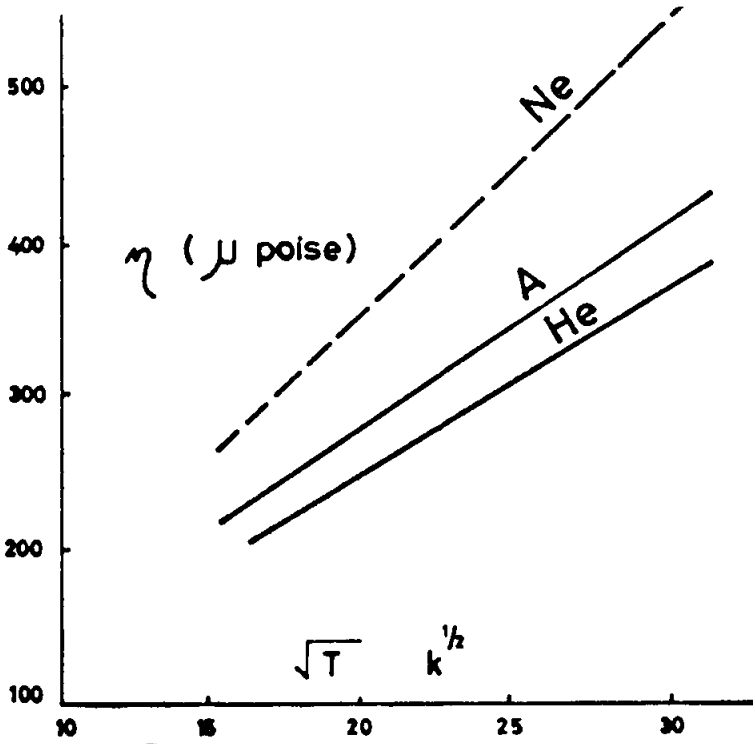
$$\eta = \frac{4}{3} LmS = \frac{Lm nCAV}{3} = \frac{1}{3} \frac{mCAV}{\sigma} \quad \dots (٢ - ١٥)$$

وتشير الحسابات الأكثر دقة بأن :

$$\eta = \frac{mCAV}{2\sqrt{2}\sigma} = \frac{0.354CAV}{\sigma} \cdot m$$

وفي جميع هذه الحالات نلاحظ أن  $\eta$  تتغير مع  $\sqrt{T}$  . ولقد اثبتت التجارب على الغازات A, Ne, He بأنها تتفق مع النظرية مع زيادة أكبر بقليل لقيمة  $\eta$  في درجات الحرارة العالية (الشكل ٢ - ٦) بسبب كون الجزيئات لينة تشبه كرة التنس حيث يصغر  $\sigma$  مع التصادمات القوية . كذلك فإن  $\eta$  لا تعتمد على الضغط ، ما عدا حالة الضغوط الواطئة ، حيث يصبح (L) يقارب أبعاد الجهاز ، فيندر التصادم حينئذ .

وتستخدم خاصية تغير اللزوجة مع الضغط الواطيء لقياس ضغط الغاز (P) باستخدام مضغوط ذو شعرة الكوارتز المتذبذبة (المخطط ٢ - ٧) .



المخطط (٢ - ٦) - تكاد للذرة الغازات الأحادية الذرة تتغير خطياً مع  $\sqrt{T}$

فإذا أزيحت الشعرة بواسطة مغناطيس خارجي يؤثر على ابرة معلقة بالشعرة وتركت تهتز لوحدها ، فإن الذبذبة تتلاشى بصورة أسسية ، فإذا قيست سعتين متتاليتين  $A_2, A_1$  لفترة نصف ذبذبة (t) فإن :

$$\ln\left(\frac{A_1}{A_2}\right) = a + b P \sqrt{M} \quad \dots (٢ - ١٦)$$

وتسمى الكمية  $\ln\left(\frac{A_1}{A_2}\right)$  بالنقيصة اللوغارتمية

$b, a$  (Logarithmic Decrement) ثابتان ،  $M$  الوزن الجزيئي للغاز الذي ضغطه الواطي (P) .

ويمكن وضع المعادلة (٢ - ١٦) بدلالة نصف مدة الذبذبة (t) :

$$P \sqrt{M} = \frac{A}{t} - B \quad \dots (٢ - ١٧)$$

ولقد حُسِبَ قطر الجزيئة لبعض الغازات من قياس ( $\eta$ ) في درجة ١٥ س° وضغط جو واحد (الجدول ٢ - ١) .

الغاز	He	Ne	H <sub>2</sub>	N <sub>2</sub>	O <sub>2</sub>	Co <sub>2</sub>	NH <sub>3</sub>
$\eta \times 10^{-1} \text{ ن}^{\circ} \text{ م}^2 / \text{ث}$	١٩,٤	٣١	٨,٧١	١٧,٣	٢٠	١٤,٥	٩,٧
$d \times 10^{-1} \text{ م}^3$	٢,١٨	٢,٦	٢,٧٤	٣,٧٦	٤,٦٣	٤,٦٣	٤,٤٤
$L \times 10^{-1} \text{ م}^3$	١٨,٦	١٣,٢	١١,٨	٦,٢٨	٤,١٩	٤,١٩	٥,١٦

الجدول (٢ - ١) - اقطار بعض الجزيئات محسوبة بدرجة ١٥ س° وضغط جو واحد .

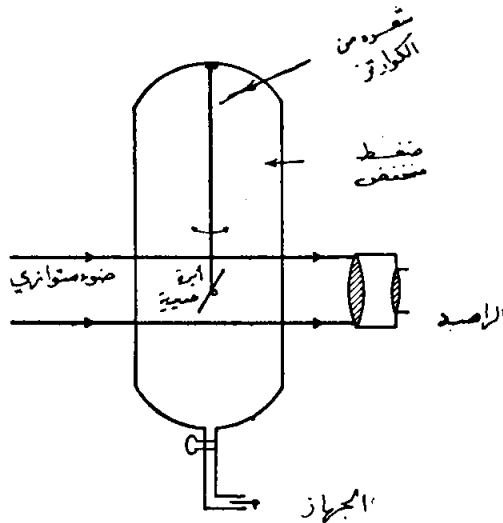
## (٢ - ٥) التوصيل الحراري للغاز : Thermal conductivity

يمكن معالجة التوصيل الحراري في الغاز بنفس الأسلوب الذي عاملنا به اللزوجة مع استبدال تبادل الزخم بتبادل الطاقة الحركية للجزيئات وانحدار السرعة بالانحدار الحراري . ولا شك أن الطالب قد درس في موضوع الحرارة أن التيار الحراري (H) لوحدة المقطع  $(dQ / Adt)$  المنتقل خلال وسط معامل توصيل حراري (K) وانحداره الحراري  $dT / dy$  يساوي .

$$H = - K \frac{dT}{dy} \quad \dots (٣ - ١٨)$$

والاشارة السالبة تدل ان (H) يتجه نحو درجة الحرارة الواطئة  $(\frac{dT}{dy})$

سالب).

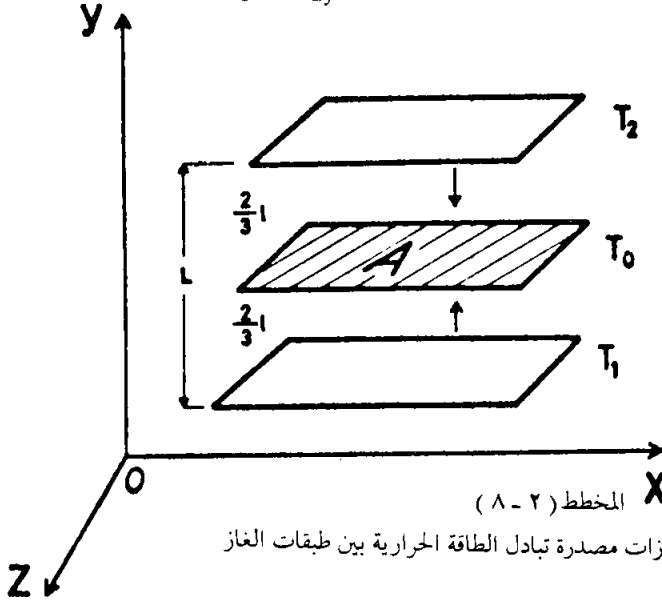


المخطط (٢ - ٧) - مضغط الكوارتز لقياس الضغوط الواطئة

ففي المخطط (٢ - ٨) لو فرضنا ان  $T$  تزداد خطياً مع  $(y)$  فان

$$T_1 = T_0 - \frac{2L}{3} \frac{dT}{dy}$$

$$T_2 = T_0 + \frac{2L}{3} \frac{dT}{dy}$$



حيث  $T_0$  هي درجة حرارة الغاز في المستوى الوسطي . ولكن طاقة الجزيئة الواحدة تساوي  $\frac{fkT}{2}$  لذلك فان الطاقة المنقولة في الثانية من السطح العلوي نحو وحدة المساحة للسطح الوسطي تساوي  $(S \frac{fkT_2}{2})$  والطاقة الثانية التي تنقلها الجزيئة القادمة من السطح الأسفل خلال وحدة المساحة من السطح الوسطي تساوي :

$$(Sf \frac{kT_1}{2})$$

حيث :

$$S = \frac{1}{4} nCAV$$

$$\therefore H = - \frac{Skf}{2} (T_2 - T_1)$$

$$H = - \frac{2S K fL}{3} \frac{dT}{dy}$$

$$\therefore K = \frac{2Sk fL}{3} = \frac{1}{6} nkfLCAV = \frac{fkCAV}{6\sigma} \quad \dots\dots (3-19)$$

لذلك فان (K) تتناسب مع  $V_T$  ولا تعتمد على الضغط او الكثافة الغازية ، أي ان  $K/\eta$  لا تعتمد على (T) بل تساوي  $\frac{C_v}{M}$  حسب هذه النظرية .  
وبعبارة اخرى تكون  $(\frac{KM}{\eta C_v} = 1)$  ولكن التجربة تعطي قيماً تتراوح بين ١,٤ الى ٢,٥ لأغلب الغازات . وهذا الشذوذ يشير الى ان الجزيئات ليست كرات صلبة ، بل لينة تشبه كرة التنس . والجدول (٢ - ٢) يعطى قيمة (K) لبعض الغازات بدرجة الصفر س° .

- : (Diffusion)

## (٢ - ٦) الانتشار

لو وضع غازان (A,B) في وعاء يفصلهما حاجز رقيق وكانا بنفس درجة الحرارة والضغط ، ثم رفعنا الحاجز ، لوجدنا ان جزيئات الغازين تمتزجان ببطء حتى يصبح الخليط منهما متجانساً ، وتسمى عملية امتزاج مادة او أكثر بسبب الحركة العشوائية للجزيئات بالانتشار، وهي تتم متى حصل انحدار في الكثافة او الانحدار الحراري بين الغاز . وتتعدّد ظاهرة الانتشار بالتصادم مع الجدار ، وبسبب جريان المائع بسبب فروقان الضغط وتفاوت سرعة انتشار الجزيئات لمواد مختلفة .

ان الانتشار بين مادتين مختلفتين أكثر فائدة من الانتشار الذاتي لجزيئات النظام الواحد . ويمكن تبسيط هذه المشاكل باستخدام وعاء واسع للتقليل من التصادم الجزيئي مع جداره ، وباستخدام جزيئات متقاربة الكتلة (المماكّنات لنفس العنصر مثلاً) .

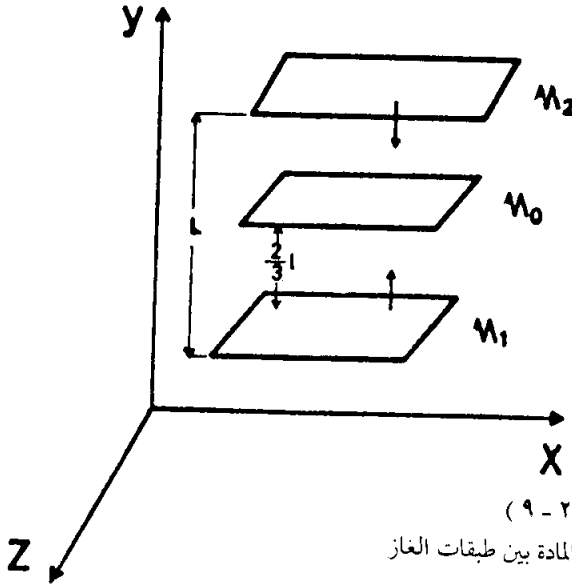
ولاشتقاق معامل الانتشار، D للغاز ، نستخدم نفس الأسلوب السابق



الغاز	He	Ne	A	H <sub>2</sub>	N <sub>2</sub>	O <sub>2</sub>	CO <sub>2</sub>	NH <sub>3</sub>	Air
M	4	20.18	40	2.016	28	32	44	17	29
كغ/كيلو جول									
K (جول/م <sup>3</sup> ثا ك)	0.141	0.0464	0.0163	0.168	0.241	0.254	0.145	0.218	0.241
Cv (كيلو جول/كيلو مول ك)	12.6	12.7	12.6	20.6	20.9	21	28.3	28	20.8

الجدول (٢ - ٢) بعض خواص الغازات الشائعة (بدرجة صفر س°)

ولكن باستبدال انحدار التركيز (Concentration gradient) بدلاً من انحدار السرعة او الانحدار الحراري ، ثم نحسب عدد الجزيئات التي تعبر وحدة المساحة في الثانية داخل السطح الوسطي A للغاز .



المخطط ( ٩ - ٢ )

الانتشار مصدره تبادل المادة بين طبقات الغاز

فان عدد الجزيئات في الثانية التي تعبر وحدة المساحة للسطح الوسطي قادمة من السطح العلوي تساوي  $S_2$  حيث  $S_2 = \frac{1}{4} n_2 C_{AV}$  والتي تعبره من السطح الأسفل تساوي  $S_1$  حيث  $S_1 = \frac{1}{4} n_1 C_{AV}$  ويكون صافي العدد الذي يمر خلال وحدة المساحة في وحدة الزمن من السطح (A) يساوي  $(\Gamma)$  حيث :

$$\Gamma = -(S_2 - S_1) = -\frac{1}{4} C_{AV} (n_2 - n_1)$$

$$n_1 = n_0 - \frac{2L}{3} \frac{dn}{dy} \quad \text{حيث :}$$

$$n_2 = n_0 + \frac{2L}{3} \frac{dn}{dy}$$

$$\therefore \Gamma = -\frac{1}{3} L C_{AV} \frac{dn}{dy}$$

$$\Gamma = -D \frac{dn}{dy} \quad \text{ولكن قانون (فيكس) للانتشار :}$$

حيث (D) هو معامل الانتشار الجزيئي .

$$D = \frac{1}{3} L_{CAV} = \frac{CAV}{3n\sigma} \quad (20-2) \dots\dots\dots$$

أي ان معامل الانتشار يعتمد على  $\frac{T}{P}^{\frac{3}{2}}$  ، ولكن التجارب تشير الى ان D يعتمد على  $T^2$  حيث ان قيمة q تقارب (c) .

وتلعب عملية الانتشار دوراً أساسياً في الطبيعة ، فيها تتبدد الملوثات وحبوب اللقاح والبكتريا والأتربة وبخار الماء ؛ ولكن الانتشار الدوامي (Eddy Diffusion) الناتج من الحركة المضطربة للهواء تفوق في كفاءتها (بقاربة ١٠ مرة) الانتشار الجزيئي ، ولولاها لهاكت الكائنات الحية بسموم فضلاتها : كذلك فان للانتشار اهمية في تصميم المفاعلات النووية عند حساب ظروف الاتزان بين النيوترونات المتولدة في المفاعل والتي يمتص الجدار بعضها والبعض الآخر يهرب الى الخارج . ويستفاد من ظاهرة التفاوت في سرعة الانتشار بين ذرات اليورانيوم ٢٣٥ ، ٢٣٨ لفصلهما : بامرار اليورانيوم الطبيعي على شكل غاز  $UF_6$  (سادس فلوريد اليورانيوم) خلال انبوبة مسامية طويلة .

## (٢ - ٧) نظرية الحركة البروانية :

(Theory of the Brownian Motion)

ان المسار المتعرج الذي تسلكه الجسيمات الصغيرة - مثل حبيبات الطلع او الغبار في الهواء : سببه التصادم العشوائي مع جزيئاته ، لذلك فان هذه الجسيمات تنحرف ببطء بالرغم من انطلاقها (c) العالي ، قاطعة مسافة قدرها (x) في زمن (t) . وهذه الظاهرة موجودة في الغازات والسوائل على حد سواء . ولقد درست هذه الظاهرة نظرياً من قبل كل من اينشتاين (١٩٠٦) وسمولوخوفسكي (١٩٠٦) كل على انفراد ، وتوصلا اساساً الى نفس النتيجة . وسوف نتطرق الى النظرية بصورة مبسطة .

لو تعقبنا الازاحة الأفقية (x) لجسيمة معلقة في الغاز او السائل فان القوى

المؤثرة عليها بهذا الاتجاه : هي قوة التصادم  $F_x$  الجزيئي وقوى اللزوجة (bu) .  
لذلك فان التعجيل ( $a_x$ ) الذي تسير به يحقق المعادلة :

$$F_x - bu = \max$$

حيث  $a_x = \frac{du}{dt}$  ,  $u = \dot{x} = \frac{dx}{dt}$  (b) مميز اللزوجة

ويساوي  $(\partial \pi \eta r)$  لجسيمة كروية تخضع لقانون ستوكس ، حيث  $(r)$  نصف قطرها (اقل من مايكرون بالضرورة) .

وبضرب طرفي المعادلة بالمقدار  $(\times)$  وإيجاد المعدل للحدود الناتجة ، نجد ان  $\overline{\Sigma \times F_x}$  يساوي الصفر لأن  $F_x$  ،  $X$  مستقلين مقداراً واتجهاً ؛ بسبب الحركة العشوائية . كذلك  $\dot{x} \times = \frac{1}{2} \frac{dX^2}{dt}$  ،  $\dot{x} \times = \frac{1}{2} \frac{d(dX^2/dt)}{dt} - (\dot{x})^2$  ،

ولنفرض  $S = \frac{dX^2}{dt}$  . لذلك تصبح المعادلة البراونية بالصيغة :

$$-\frac{1}{2}bs = \frac{1}{2}m \frac{dS}{dt} - kT$$

لأن  $\bar{\epsilon}_x = \frac{1}{2}mu^2 = \frac{1}{2}kT$  (مبدأ تساوي اقتسام الطاقة) . ويكون حل

هذه المعادلة التفاضلية بالصيغة :  $S = 2KT / b + ce^{-bt}$  ولكن  $m \approx 10^{-10}$  كغم  $\eta \approx 10^{-10}$  نيوتن ثا / م<sup>2</sup> ، لذلك فان  $\frac{b}{m}$  تقارب  $2 \times 10^6$  / ثا ، وهو عدد كبير ؛ لذلك فان الحد الأسّي في المعادلة مهم فقط في الفترات الزمنية القصيرة (اقل من مايكرو ثانية) ويهمل للفترات الطويلة نسبياً .

$$S = \frac{2kT}{b}$$

فلو عوضنا  $S = \frac{dX^2}{dt}$  في المعادلة الأخيرة وكاملناها نحصل

$$\bar{X}^2 = \frac{2kT}{b} \quad (2 - 21) \dots\dots\dots$$

حيث  $(\tau)$  هي الفترة الزمنية التي يقاس بها متوسط مربع الازاحة  $(X^2)$  فاذا

$$\text{عوضنا عن } b = 6 \cdot \pi \cdot \eta \cdot r \cdot k = \frac{R}{N_0} \text{ نحصل على معادلة اينشتاين المألوفة : -}$$

$$\overline{X^2} = \frac{RT}{3 \pi \eta N_0 \cdot r} \tau \quad \dots\dots (22-2)$$

$$\overline{X^2} = \frac{1}{M} \sum_1^M X_i^2 = \frac{1}{2} \tau L C_{AV} \text{ بالصيغة}$$

حيث  $(M)$  يمثل عدد المرات التي تقاس فيها الازاحة  $(X)$  لنفس الفترة الزمنية  $(\tau)$  . ولقد حقق هذه المعادلة عملياً عدد من العلماء ولا سيما من قبل العالم الفرنسي (بيرين) للاعوام ١٩٠٠ - ١٩١٢ ، وفورد لوند ١٩١٣ ، وويستغرين ١٩١٩ ومليكان (١٩١٠) ، واستخرج منها عدد افوكادرو ، بقياس لجسيمات معدنية (مثل الزئبق ، والفضة ، والذهب) معلقة في محاليلها الغروية .

كذلك درس اينشتاين تأثير الحركة البراونية على الازاحة الزاوية (الدورانية) مثل دوران سلك الكلفانومتر بسبب التصادم الجزيئي ، فحصل على المعادلات التالية : -

$$\bar{\Theta}^2 = kT\tau / 4 \pi \eta r^3 \quad (\text{لجسيمة كروية نصف قطرها } r)$$

$$\bar{\Theta}^2 = kT\tau / 2 \pi \eta r^2 L \quad (\text{لسلك رفيع نصف قطره } r)$$

(وطوله  $L$ )

واذا طبقنا مبدأ تساوي اقتسام الطاقة فان طاقة المرونة الكامنة لسلك ملتوى

$$\text{بتأثير الحركة البراونية } (\bar{\Theta}^2 / 2 C) \text{ تساوي } \frac{1}{2} kT .$$

$$O^2 = \frac{kT}{C} \quad \dots\dots\dots (23-2)$$

حيث  $(C)$  هو ثابت اللي للسلك =  $\frac{\text{عزم اللي}}{\text{الازاحة الزاوية (نقية)}}$

## - امثلة محلولة -

(١) اذا كان معدل المسار الحر لجزيئة غاز يساوي  $2,63 \times 10^6$  م في درجة  $25^\circ$  س ونصف قطرها  $2,56 \times 10^{-10}$  م ومتوسط سرعتها  $450$  م / ثا فاحسب :

(أ) ضغط الغاز . (ب) عدد الاصطدامات في متر قطعه الجزيئة في الغاز . (ج) عدد الاصطدامات في الثانية .

(الحل)

$$P = nkT \quad , \quad L = 0.93 / \sigma n \quad (أ)$$

$$k = 1.38 \times 10^{-23} \text{ J} \quad , \quad 298 \text{ K} = T$$

$$\therefore P = 175.6 \text{ nt} / \text{m}^2 \quad d = 2 \times 2.56 \times 10^{-10} \text{ m} \quad \text{ولكن}$$

$$3.8 \times 10^4 = \frac{1}{2.63 \times 10^{-5}} = \frac{\text{الطول المقطوع}}{L} = \text{(ب) عدد الاصطدامات}$$

$$Z = \frac{CAV}{L} = \frac{450}{2.63 \times 10^{-5}} = 1.72 \times 10^7 \text{ Collision} / \text{sec} . \quad (ج)$$

(٢) كلفانومتر ذو المرآة المعلقة ثابت لى سلكه  $4 \times 10^{-6}$  دايين سم / نقية (Radian) بدرجة حرارة  $27^\circ$  س . فما مقدار انحراف مؤشره الضوئي على مسطرة تبعد متراً عنه بتأثير الحركة البراونية ؟

الحل :

$$\overline{\Theta^2} = \frac{kT}{C}$$

$$\sqrt{\overline{\Theta^2}} = \Theta_{\text{RMS}} = \sqrt{\frac{kT}{C}} = \sqrt{\frac{1.38 \times 10^{-16} \times 300}{4 \times 10^{-6}}}$$

$$\therefore \Theta_{\text{RMS}} = 1.017 \times 10^{-4} \text{ Radian} \quad (\text{نقية})$$

$$x = \Theta_{\text{RMS}} L, \quad T = 300 \text{ K}, \quad L = 1000 \text{ m} \quad \text{حيث}$$

$$\therefore X = 1.017 \times 10^{-4} \times 1000 \approx 0.1 \text{ mm}.$$

(٣) اذا علم أن كثافة الهواء في الظروف القياسية ١,٢٩ كغم / م<sup>٣</sup> ومتوسط انطلاق جزيئاته ٤٦٠ م / ث . ومتوسط مسارها الحر  $6, 4 \times 10^{-10}$  م ، فما مقدار :  $(K, \eta, D, \sigma)$  على فرض أن معدل الوزن الجزيئي  $M$  للهواء = ٢٩ ، وأن جزيئاته ثنائية الذرة .

(الحل)

$$\sigma = \frac{0.93}{L \cdot n} \quad , \quad m = \frac{M}{N_0} = \frac{29}{6 \times 10^{26}} = 4.85 \times 10^{-26} \text{ Kg}.$$

$$f = 5, n = \frac{\rho}{m} = \frac{1.29}{4.85 \times 10^{-26}} = 2.66 \times 10^{25} \text{ molecule / m}^3$$

وبالتعويض عن  $n, L$  نحصل على  $\sigma = 5.47 \times 10^{-19} \text{ m}^2$

$$C_v = \frac{f R}{2} = \frac{5 \times 8.31 \times 10^3}{2} = 20.78 \times 10^3 \text{ J / K mole}$$

$$D = \frac{1}{3} C_{AV} \cdot L = \frac{6.4}{3} \times 460 \times 10^{-8} = 9.83 \times 10^{-6} \text{ m}^2 / \text{sec}$$

$$K = \frac{fk C_{AV}}{6 \sigma} = \frac{5 \times 1.38 \times 10^{-23} \times 460}{6 \times 5.47 \times 10^{-19}} = 0.00967 \text{ J / m.s.k}$$

$$\eta = \frac{1}{3} \frac{C_{AV} m}{\sigma} = \frac{460 \times 4.85 \times 10^{-26}}{3 \times 5.47 \times 10^{-19}} = 1.36 \times 10^{-5} \text{ nt.s / m}^2$$

مثال (٤) :

انطلقت مجموعة من جزيئات الاكسجين ( $M = 32$ ) الحرة الحركة وبصورة

آنية في غازها بدرجة حرارة ٣٠٠ ك . فاذا كان قطر جزيئة الاكسجين  
 ٣,٦ × ١٠ - ١٠ م ، وكان متوسط المسار الحر لها ٣ سم . فاحسب (أ) متوسط  
 انطلاقها . (ب) ضغط الغاز . (ج) الزمن المستغرق لبقاء نصفها غير متصادم .

### ( الحل )

ت حسب كتلة جزيئة الاكسجين بالطريقة السابقة ، فنجد : -

$$m = 5.31 \times 10^{-26} \text{ Kg} . \quad \therefore \quad CAV = \sqrt{\frac{2.55 kt}{m}} = 444 \text{ m / sec}$$

$$n = 0.93 / \sigma . L = \frac{P}{KT} \quad \sigma = \pi d^2$$

$$P = 0.93 kT / L \pi d^2$$

$$= \frac{0.93 \times 1.38 \times 10^{-23} \times 300}{3 \times 10^{-2} \times (3.6 \times 10^{-10})^2 \pi} = 0.315 \text{ nt / m}^2$$

$$N = N_0 \quad \text{Exp} - X / L \quad \frac{N}{N_0} = 1/2$$

$$\ln \frac{N}{N_0} = - \frac{X}{L} \quad \ln 2 = \frac{X}{L}$$

$$X = L \ln 2 = 2.079 \text{ cm}$$

$$t = \frac{X}{CAV} = \frac{2.079 \times 10^{-2}}{444} = 4.68 \times 10^{-5} \text{ sec} .$$



## « اسئلة الفصل الثاني »

(١) عرف ما يلي : المسار الحر ، تردد التصادم ، الانتشار ، اللزوجة .  
واذكر العوامل التي تؤثر عليها في الغازات والسوائل .

(٢) ما الفرق بين :

(أ) لزوجة السائل والغاز ؟

(ب) الانتشار والفوحان (Effusion) ؟

(ج) ضغط الغاز على جدار وعائه وضغطه بداخل الغاز المتزن حرارياً ؟

(٣) كيف تعين :

(أ) قطر الجزيئي للغاز ؟

(ب) قطر الجزيئي للجامد ؟

(ج) عدد افوكادرو ؟

(٤) كتلة الجزيئي ؟

وما هي الافتراضات المطلوبة ؟

(٤) اذا كان متوسط المسار الحر لذرة الهيليوم في غازها في الظروف القياسية

$20 \times 10^{-8} \text{ م}$  ، فما قطر هذه الذرة ؟

(الجواب :  $2,4 \times 10^{-8} \text{ م}$  انكستروم)

(٥) غاز متوسط المسار الحر لجزيئاته  $5 \text{ سم}$  ، انطلقت فيه أنياً  $10^4$  جزيئة

فاحسب عدد المسارات الحرة : -

(أ) التي تزيد على  $5 \text{ سم}$  . (ب)  $10 \text{ سم}$  . (ج) بين  $4,9 - 5,1 \text{ سم}$  .

(الجواب :  $3700$  ،  $150$  ، صفر)

(٦) أنبوبة المذبذب المهبطي تبث الكترونات تيارها  $100$  مايكروأمبير ،

يبقى منها بعد قطعها مسافة  $10 \text{ سم}$  ،  $37$  مايكروأمبير ، وكان ضغط الغاز

بداخلها  $100$  نيوتن /  $\text{م}^2$  . فاحسب : -

(أ) متوسط المسار الحر للاكترون .

(ب) التيار المتبقى لو انخفض الضغط الى النصف .

(الجواب : ١٠ سم ، ٦١ مايكرو أمبير)

(٧) سلك نحاسي طوله ٢ م وقطره ١,٠ ملم ومقاومته ٣ أوم ، وكثافته مادته ٨,٩ × ١٠<sup>٣</sup> كغم / م<sup>٣</sup> ووزنه الذري ٦٤ فاحسب :

(أ) متوسط الزمن الحر بين تصادم الالكترون وآيون النحاس .

(ب) متوسط المسار الحر للالكترون على فرض انه غاز مثالي .

(ج) زمن انجراف الالكترون عند مرور تيار في السلك قدره ٣ / ١ أمبير .

(الجواب : ٧,٢ × ١٠<sup>-١٠</sup> ثا ، ٧,٨ × ١٠<sup>-١٠</sup> م ، ٦٣٢ ثا )

(٨) غاز مثالي بدرجة حرارة T وانحدار ضغطي صغير منتظم ، برهن أن

المعدل الزمني للتدفق المادي (السيل) باتجاه انحدار الضغط يساوي  
(  $\frac{m CAV}{3 kT}$  ) لوحدة المساحة ووحدة الانحدار الضغطي .

(٩) أنبوبة طولها ٢ م ومساحة مقطعها ١ سم<sup>٢</sup> تحتوي على غاز CO<sub>2</sub> تحت الضغط الجوي ودرجة حرارة ٣٠٠ ك ، وان نصف هذه الجزيئات تحتوي على المماكن المشع (C<sub>١١</sub>) وكان الطرف الأيسر في البداية (t = 0) يتكون بأكمله من CO<sub>2</sub> المشع وتتناقض كثافته حتى تصبح صفراً في الطرف الاخير ، احسب : -

(أ) الانحدار الابتدائي لتركيز الجزيئات المشعة .

(ب) عدد الجزيئات المشعة التي تعبر الانبوبة من اليسار الى اليمين عند منتصفها وبالعكس .

(ج) المعدل الزمني الابتدائي لانتشار الجزيئات المشعة عبر المقطع مقدراً بالجزيئات / ث ، مايكروغرام / ث .

الجواب : - ١,٢٢ × ١٠<sup>-٢٥</sup>  $\frac{\text{جزيئة}}{\text{م}}$  ، ٣ م

$$٢,٣٢ \times ١٠^{١٢} + ٤,٧٥ \times ١٠^{١٠} \text{ جزيئة / ث } ،$$

$$٢,٣٢ \times ١٠^{١٢} - ٤,٧٥ \times ١٠^{١٠} \text{ جزيئة / ثانية}$$

$$٩,٥ \times ١٠^{١٠} \text{ جزيئة / ث } ، ٠,٧ \text{ مايكروغرام / ث}$$

(١٠) استخدمت الحركة البراونية لتعيين عدد افوكادرو في الماء فشوهدت حركة جسيمة نصف قطرها ١٠٥ انكستروم تقطع المسافات الافقية التالية في ٣٠ ثانية لكل حالة مقدرة بالمايكرون .

$$0 \quad | \quad 15 \quad | \quad -4 \quad | \quad 16 \quad | \quad -11.2 \quad | \quad 19.1 \quad | \quad -9.8 \quad | \quad 0 \quad | \quad 6.6 \quad | \quad -10.8 \quad | \quad -47 \quad | \quad 5.6$$

فاذا كانت درجة الحرارة ٢٠س° ومعامل لزوجة الماء ٠,٠١ بواز فما قيمة  $N_0$  ؟

(الجواب  $٥,٧ \times ١٠^{١٢}$  جزيئة / غم مول .

هنا يوسف اللومني

متاح للتحميل ضمن مجموعة كبيرة من المطبوعات من صفحة

مكتبتي الخاصة

على موقع ارشيف الانترنت

الرابط

[https://archive.org/details/@hassan\\_ibrahem](https://archive.org/details/@hassan_ibrahem)



# الفصل الثالث

## رياضيات الميكانيك الاحصائي

### (٣ - ١) المقدمة :

يمكن وصف حركة الاجرام التي نلاحظها حولنا بنجاح ، باستخدام قوانين الميكانيك التقليدي (ميكانيك نيوتن) مثل قوانين الزخم والطاقة والقوة ، على اعتبار ان هذه الاجرام (او الجسيمات) محددة الابعاد في الفضاء ويمكن ملاحظتها . ولقد طبقت هذه القوانين بنجاح على حركة الاجرام السماوية وكذلك جزيئات الغاز المتأثرة بصورة ضعيفة مع بعضها Weakly Interacting bodies لغرض وصولها الى حالة الاتزان بخصوص توزيع السرعة والكثافة والضغط . . الخ .

ولقد افترض ان هذه التأثيرات بين الجزيئات تقتصر على فترات التصادم بينها او بينها وبين الجدار .

ولقد افترض ان جزيئات الغاز المثالي غير متميزة (Indistinguishable) لأنها غير محددة الموقع في الفضاء ، فليست لها سرعة او مواقع محددة . اما الجسيمات المثبتة في مواقعها (مثل الذرات في الهيكل البلوري للمادة) ، فانها تعتبر متميزة (Distinguishable) لأنها تتذبذب حول مواقع محددة لها في الهيكل البلوري (Crystal lattice) .

ولقد اظهرت التجارب بان خواص الجسيمات الأساسية (Fundamental particles) في الطبيعة (مثل الألكترونات والنيوترونات) او مجاميعها من الذرات والجزيئات ، تخضع لقوانين مقيّدة اضافية مثل مبدأ تكميم الطاقة والزخم والفضاء الى قواعد الانتقاء (Selection Rules) والى مبدأ عدم الدقة وقانون باولي والى قوانين الامتصاص والانبعاث الفوتوني بين المادة والاشعاع .

ولقد ادت هذه القوانين الى ارغامنا على الاعتماد بصورة متزايدة على قوانين ميكانيك التكميم لكونها تفسر بشمولية ودقة أكبر تصرف مكونات المادة وخصائصها ، وبالرغم من ان ميكانيك التكميم يعتمد على بعض المفاهيم الفيزيائية البسيطة ؛ الا انه يعتمد على اللغة الرياضية المتقدمة بصورة أشمل .

ولقد طبقنا بعض قوانين الميكانيك التقليدي في الفصل الأول على جزيئات الغاز المنفردة ، اما في الميكانيك الاحصائي فهو يتعامل مع أنظمة متعددة الجسيمات ، وتتفي الحاجة الى معرفة الخواص التفصيلية لكل جسيمة (مثل التصادم بينها او بين السطح) . لذلك فيمكن حساب معدل الخواص المنظورة (القابلة للقياس) لتلك المادة (Macroscopic properties) بدون الحاجة لمعرفة الخواص التفصيلية لكل جسيمة وذلك نظراً لكون عدد الجسيمات في النظام مفرطاً بحيث يمكن اعتبار (dN) من الجسيمات صغير جداً مقارنة بالعدد الكلي (N) لجسيمات النظام (System) ، ومع ذلك فان dN وغفير العدد . فمثلاً ان الملي لتر (سم<sup>3</sup>) من الغاز في الظروف القياسية يحتوي على ما يقارب  $3 \times 10^{23}$  جزيئة ، لهذه الاعتبارات يمكن تكامل دالة dN على اعتبار انها دالة متصلة (Continuous function) . ولا تقتصر طريقة التحليل الاحصائي على الجزيئات بل تشمل الالكترونات والفوتونات وامواج المرونة (Elastic waves) في الجوامد . ودوال الموجة ((Wave functions)) . وسوف نطلق على هذه الكميات عموماً اسم الجسيمات (Particles) ونخضع الجسيمات اعلاه الى ثلاثة انواع من الاحصاءات بسبب تفاوت خواصها : وسوف نتطرق في الفصل القادم الى النوع الأول المسمى احصاء ماكسويل - بولتزمان (Maxwell-Boltzmann Statistics) والمسمى عادة بالاحصاء التقليدي ، لأنه يطبق على الجزيئات بالدرجة الأولى . وسوف نستخدم منذ الآن مفاهيم التكميم ، لكونها تسهل على الطالب فهم الموضوع ، ولكي نعالج مواضيع اكثر شمولية . ولكن قبل الخوض في هذا الموضوع لا بد للطلاب من التعرف الى بعض المفاهيم الاحصائية أولاً .

### ( ٣ - ٢ ) تعاريف احصائية اولية :

(أ) المجموعة (Assembly) :

وهي كمية من المادة عدد جسيماتها  $N$  يمكننا التعامل بها كوحدة لها خواصها المنظورة المميزة لها . ويقارب عددها  $N_0$  (عدد أفوكادرو) .

(ب) التجمعات الاحصائية  $N$  (Statistical ensemble)

وهو عدد ضخم  $N$  يؤول الى ما لا نهاية من المجموعات  $N_i$  المعرفة في الفقرة

$$(أ) \text{ أي أن : } \lim_{N \rightarrow \infty} \frac{1}{N} \sum_{i=0}^{\infty} N_i$$

فيمثل كل مجموعة كبيرة من الانظمة المتأثلة (مثل النقود أو الجزئيات)

(ج) الاحتمالات المنفصلة Discrete probabilities

لو فرضنا اننا قد أجرينا تجربة معينة على المجموعة  $N$  لقياس قيمة المتغير  $U$  والمميز لتلك المجموعة والذي يأخذ القيم المحددة  $U_1, U_2, \dots, U_i$  لغرض الحصول على أدق نتيجة لهذه القيمة . وللحصول على متوسط هذه القيمة  $U$  للمتغير  $U$  تتبع إحدى الطريقتين المتكافئتين التاليتين :

١ - نكرر تجربة القياس لقيمة المتغير  $U$  على نفس المجموعة  $N$  لعدد  $N$  يقترب من اللانهاية من المرات .

٢ - نجري تجربة قياس المتغير  $U$  على تجمعات احصائية  $N$ . وذلك بقياس قيمة  $U$  مرة واحدة في كل مجموعة من التجمعات الاحصائية  $N$ .

فلو أظهرت الطريقة الثانية الى  $N_1$  مجموعة (من التجمعات  $N$ ) القيمة  $U_1$  و  $N_2$  مجموعة اعطت القيمة  $U_2$  وهكذا الى  $\alpha$  من المجاميع (من التجمعات  $N$ ) فان :

$$N = \sum_{i=1}^{\alpha} N_i = N_1 + N_2 + \dots + N_{\alpha} \dots \dots \dots (١-٣)$$

وبقسمة الطرفين على  $N$  نحصل :

$$P_1 = P_2 + \dots + P_{\alpha} = 1 = \sum_{i=1}^{\alpha} P_i \dots \dots \dots (٢-٣)$$

حيث  $P_i = \frac{N_i}{N}$  هي احتمالية أخذ المتغير U للقيمة  $U_i$  في أي مجموعة  $N_i$  من

التجمعات الاحصائية  $N$ . (او كما نفضل ان نقوله احتمالية وقوع الحدث المنفصل  $i$ ) وتسمى العلاقة (٣ - ٢) بمعادلة الشرط المعياري ، وهي تبين ان المجموع الكلي لكافة الاحتمالات في تجربة قياس قيمة المتغير U تساوي واحد .

كذلك اذا كانت  $(N_r + N_s)$  هي عدد المجموعات التي تظهر الحدث (r) مضافاً اليه عدد المجموعات التي تظهر الحدث (S) ، فان احتمالية وقوع احد الحدثين (r) أو (S) هو :

$$P(r \text{ or } S) = \frac{N_r + N_s}{N} = P_r + P_s \quad \dots \dots \dots (٣ - ٣)$$

مثال محلول (١) :

عند الرمي العشوائي لقطعة نقود معدنية Coin منتظمة الشكل ، فانها سوف ترسو بأحد وجهيها الى الأعلى ، ففي هذا المثال حدثين مختلفين غير متلازمين ومتساويين في احتمال الوقوع ، لذلك فالمعادلة (٣ - ٢) في هذا المثال تصبح :

$$P_1 + P_2 = 1$$

$$P_1 = P_2 \quad \text{وحيث ان الاحتمالين متساويين :}$$

$$P_1 = P_2 = \frac{1}{2} \quad \text{لذلك فان :}$$

مثال (٢) :

عند الرمي العشوائي لزهرة النرد (Dice) مكعب الشكل ومنتظم مرقمة سطحه الست بالارقام ١ ، ٢ ، ٣ ، ٤ ، ٥ ، ٦ فسوف يرسو بأحد اوجهه الست الى الأعلى باحتمالات متساوية :

$$P_1 = P_2 = \dots = \frac{1}{6}$$

$$P(1 \text{ OR } 2) = P_1 + P_2 = \frac{1}{3}$$

(د) الاحتمالات المترابطة (Joint probabilities)

لوفرصنا ان مجموعة N لها خاصيتين مستقلتين r ، s ومن الممكن اظهار



احدهما كل على حدة او كلتا الخاصيتين في نفس الوقت ، وذلك باجراء تجربة على تجميعات احصائية  $N$  للمجموعة (N) . فوجد ان  $N_r$  هو عدد المجموعات التي تظهر الحدث الأول (r) او الخاصية الأولى (r) بغض النظر عن اظهار او عدم اظهار الحدث الثاني (s) . لذلك فان :

$$P_r = \frac{N_r}{N} \quad \text{و} \quad P_s = \frac{N_s}{N}$$

فاذا كانت  $P_{rs}$  تمثل احتمالية وقوع الحدث الثاني (s) فان  $N_{rs}$  هو عدد المجاميع التي تظهر الحدثين (s),(r) في نفس الوقت فيجب ان تخضع للعلاقة :

$$N_{sr} = P_s N_r$$

ومن تعريف الاحتمال المركب  $P_{rs}$  نحصل :

(٣-٤) . . . . .

$$P_{rs} = \frac{N_{rs}}{N} = \frac{P_s N_r}{N} = P_s P_r$$

وبالمثل ، نلاحظ انه اذا كانت المجموعة (N) تظهر ثلاث احداث مستقلة t,s,r فانه من السهل اثبات احتمال وقوع الاحداث الثلاثة المستقلة في آن واحد من العلاقة :

$$P_{rst} = P_r P_s P_t \quad (٣-٥) . . . . .$$

حيث  $P_t$  هو احتمال وقوع الحدث (t) بغض النظر عن وقوع او عدم وقوع الاحداث الاخرى . ولا تصح لحدثين غير مستقلين .

مثال :

لو فرضنا ان مجموعة (N) مكوّنة من زهرتي نرد فقط متماثلين في كل شيء عدا علامة صغيرة على احدهما لتمييزه عن الزهر الآخر : لذلك نسمي الأول (a<sub>1</sub>) والثاني (a<sub>2</sub>) فالمطلوب حساب الاحتمالية المترابطة  $P_{rs}$  عند الرمي العشوائي للزهريين .

الحل :

$$P_s = \frac{1}{6}, \quad P_r = \frac{1}{6} \quad \text{بما ان الزهرين مستقلين :}$$

$$P_{rs} = P_r P_s = \frac{1}{6} \times \frac{1}{6} = \frac{1}{36}$$

اي ان الحدتين (s) و (r) يمثلان حدثاً من ٣٦ حدث ممكن  
أما إذا لم نُميّز بين الزهرين فان احتمالية الحصول على أي ترتيب معين عند  
الرمي العشوائي للزهرين المتماثلين هو ضعف النتيجة السابقة .

#### (هـ) الاتزان الاحصائي : (Statistical equilibrium)

يقال عن أي تجمعات احصائية . انها في حالة اتزان احصائي لو ان احتمال  
وقوع اي حدث ثابت لا يعتمد على الزمن . فلو ان  $t, s, r$  هي أحداث تظهرها  
المجموعة (N) وأجرينا التجربة على تجمعات احصائية  $N$  للمجموعة (N) في حالة  
اتزان ، لوجدنا ان القيم  $P_t, P_s, P_r$  . . ثابتة لا تتغير مع الزمن . فلو اعتبرنا مجموعة  
(N) ولتكن غاز مثالي مكون من (N) جزيئي محصور في النصف الأيسر من وعاء على  
شكل صندوق بواسطة فاصل وعند الزمن ( $t_0$ ) ، ثم أزيل الفاصل ، ففي كل لحظة  
تالية يوجد حدثان يمكن لكل جزيئي من جزيئات الغاز ان يظهر احدهما ، الحدث  
الأول هو تواجد اي جزيئي عند الزمن (t) في النصف الأيسر من الوعاء وهذا يحدث  
باحتمالية قدرها  $P(t)$  ، والحدث الآخر البديل هو تواجد نفس الجزيئي في النصف  
الأيمن من الوعاء باحتمالية قدرها  $q(t)$  ، فمن الواضح ان  $P(t) + q(t) = 1$  لكل قيم  
الزمن (t) ؛ كذلك  $P(t_0) = 1$  بينما  $q(t_0) = 0$  ؛ لانه في لحظة ازالة الحاجز او الفاصل  
كانت كل جزيئات الغاز في النصف الأيسر من الوعاء ، وفي اللحظات التالية يتغير  
كل من الاحتمالين حيث  $q(t)$  يقل و  $q(t)$  يزداد الى ان تتوزع جزيئات الغاز بالتساوي  
في كل الوعاء . وذلك عندما يتساوى الاحتمالين  $q, p$  أي تصبح  $p = q = 1/2$   
وتظل هذه الحالة ثابتة لا تتغير مع الزمن ، ونقول حينئذ ان جزيئات الغاز في حالة  
اتزان احصائي .

#### (و) توزيع ذي الحدين : (The binomial distribution)

إذا اخذنا مجموعة (N) من الجسيمات في حالة اتزان احصائي ولتكن المجموعة  
عبارة عن غاز مثالي تتكون من (N) جزيئي في وعاء حجمه  $V_0$  فالمطلوب حساب

قيمة الاحتمالية  $P(m)$  لوجود عدد  $(m)$  من جزيئات هذا الغاز في عنصر الحجم  $\Delta v$  عند الزمن  $t$  فلنفرض ان  $(p)$  هي احتمالية وجود جزيئي واحد في عنصر الحجم  $\Delta v$  وان  $q$  هي احتمالية وجود نفس الجزيئي في بقية حجم الوعاء  $V = V_0 - \Delta v$  فمن الواضح ان :

$$P = \frac{\Delta V}{V_0} , q = \frac{V}{V_0} = 1 - P$$

والتوزيع المطلوب هو ايجاد احتمالية حدوث  $P(m)$  بحيث يتحقق بوقوع حدثين مترابطين ومتلازمين - الحدث الأول هو تواجد  $(m)$  جزيء في عنصر الحجم  $\Delta v$  ولتكن  $(P_1)$  والحدث الثاني هو تواجد بقية جزيئات الغاز وعددها  $(N-m)$  في الحجم  $(V_0 - \Delta v)$  ولتكن  $(P_2)$  وهي احتمالية وقوع الحدث الثاني ، فالحدث الأول هو حدث مترابط ويتم بتواجد  $(m)$  جزيئي في عنصر الحجم  $\Delta v$  ومن المعادلة العامة (٣ - ٥) للاحتتمالية المترابطة يكون :

$$P_1 = pm$$

كذلك فالحدث الثاني مترابط ويتم بتواجد  $(N - m)$  جزيئي في الحجم  $V$  وان احتمالية حدوثه هو :

$$P_2 = q^{N-m}$$

غير ان التوزيع المذكور يتحقق بأكثر من طريقة واحدة ، فان عدد الطرق المختلفة لتحقيق التوزيع المطلوب تسمى الوزن الاحصائي Statistical Weight لذلك التوزيع . ونرمز لقيمته بالرمز  $g_m$  وهي تمثل عدد الطرق المختلفة لاختيار مجموعات مختلفة كل مجموعة مكون من  $(m)$  جزيئي من مجموع جزيئات الغاز  $N$  اي انه يخضع لقانون التباديل (Permutations) للعدد  $(m)$  على العدد  $(N)$  ويرمز له  $N_{cm}$  حيث :

$$g_m = N_{cm} = \frac{N!}{m!(N-m)!} \quad \dots (٣ - ٦)$$

حيث  $N!$  هو مضروب العدد  $N$  ، وان كل واحدة من هذه الطرق المختلفة وعددها  $g_m$  يقع باحتمالية قدرها  $P_1 P_2$  وعلى ذلك فاحتمالية حدوث التوزيع

المطلوب :

$$P(m) = g_m P_1 P_2 = \frac{N!}{m (N-m)} p^m q^{N-m} \dots (V-3)$$

ف لعمله تتكون من وجهين يكون  $p = q = \frac{1}{2}$  ،  $N$  مجموع العملات المتألة  $m$  عددها بوجه واحد  $(p)$   $N - m$  عددها بوجه آخر  $(q)$  . وتسمى العلاقة الأخيرة دالة توزيع ذي الحدين . فلو مكنا ذي الحدين  $(p + q)^N$  فان معاملة الحد بالصيغة  $N C_m p^m q^{N-m}$  يساوي  $N C_m$  .

لذلك فان :  $(p + q)^N = \sum N C_m p^m q^{N-m}$  ومن هنا توزيع ذي الحدين .  
مثال : احسب قيم احتمالات وقوع كل الأحداث المختلفة التي تقع عند الرمي العشوائي لاربع عملات معدنية : -

الحل :

تحل المسألة بواسطة قانون توزيع ذي الحدين (المعادلة 3 - 7) . حيث ان كل عملة عند الرمي العشوائي تظهر احدى الوجهين (حدثين) فان رسو عمله بوجهها الى الأعلى هو حدث أول ويقع باحتمالية  $(P)$  وان رسوها يظهرها الى الأعلى حدث ثاني ويقع باحتمالية  $q$  حيث  $P + q = 1$  وحيث اننا نفترض تماثل كل العملات وانتظام شكلها وعلى ذلك تتساوى قيمة كل من الاحتماليتين . وبالتعويض في

$$P(m) = \frac{4!}{m!(4-m)!} \left(\frac{1}{2}\right)^4 \quad : \text{المعادلة (3 - 7) حيث } N = 4 \text{ نحصل}$$

ومن هذه المعادلة نجد قيم كل الاحتماليات المطلوبة :

$$P(0) = P(4) = \frac{1}{16} , P_1 = P(3) = 4 \times \frac{1}{16} = \frac{1}{4}$$

$$P(2) = \frac{1}{2} \therefore P(2) + P(0) + P(1) + P(3) + P(4) = 1$$

$$\sum_{m=0}^4 P(m) = 1 \quad \text{أي أن :}$$

أي أن مجموع احتماليات كل التوزيعات الممكنة يساوي الوحدة . وهنا يثبت ان التوزيع متعاير (Normalized)

(ز) القيم المتوسطة الاحصائية (Mean statistical values)

لو فرضنا ان المتغير U في المجموعة N يأخذ القيم المحددة  $u_1, u_2, \dots, u$  فاذا كانت نتيجة المشاهدات (Observations) على التجمعات الاحصائية  $N$  للمجموعة N (او تكرار المشاهدة عدد N من المرات على نفس المجموعة N) كانت كالآتي :

عدد  $N_1$  مجموعة اظهرت النتيجة  $(u_1)$ ،  $N_2$  أعطت  $(u_2)$  و  $N_\alpha$  أعطت  $(u_\alpha)$

$$\sum_{i=1}^{i=\alpha} N_i = N$$

فان المتوسط الاحصائي ( $\bar{U}$ ) للمتغير (u) يعرف بالمعادلة :

$$(\bar{U}) = \frac{N_1 U_1 + N_2 u_2 + \dots + N_\alpha u_\alpha}{N_1 + N_2 + \dots + N_\alpha} \quad \dots \dots (3-8)$$

$$\bar{U} = \sum_1^{\alpha} p_\alpha U_\alpha$$

حيث  $P_\alpha = \frac{N_\alpha}{N}$  هي احتمالية ان يأخذ المتغير (u) القيمة المحددة  $(u_1)$  في اي

مجموعة واحدة من التجمعات الاحصائية  $N$ . ولا بد لنا ان نؤكد هنا ان المتوسطات الاحصائية لا علاقة لها بالمتوسطات الزمنية . كذلك اذا كانت  $F(u)$  دالة اختيارية للمتغير (u) فان المتوسط الاحصائي  $\overline{F(u)}$  للدالة  $F(u)$  يعرف بالعلاقة :

$$\overline{F(u)} = \sum_{r=1}^{\alpha} \text{Pr } F(ur) \quad \dots \dots (3-9)$$

كذلك نلاحظ ان المتوسط الاحصائي لمجموع الدالتين  $g(u), F(u)$  يساوي مجموع الدالتين أي أن :

$$\overline{g(u) + F(u)} = \overline{g(u)} + \overline{F(u)} \quad \dots \dots (3-10)$$

$$\overline{F(u) + g(u)} = \sum_{r=1} \text{Pr } (F(ur) + g(ur)) \quad \text{وذلك لأن :}$$

$$= \sum_{r=1}^{\alpha} \text{Pr } F(u_r) + \sum_{r=1}^{\alpha} \text{Pr } g(u_r) = \overline{F(u)} + \overline{g(u)}$$

كذلك فإن :

$$\overline{C f(u)} = \sum_{r=1}^{r=\alpha} c \text{Pr } f(u_r) = c \overline{f}$$

حيث (c) كمية ثابتة

$$\overline{f(u) \cdot g(v)} = \overline{f(u)} \cdot \overline{g(v)}$$

ونترك للطالب اثبات

### (ج) الانحراف (Deviation)

الانحراف  $u$  في القيمة للمتغير  $u$  هي بالتعريف تساوي مقدار الفرق بين قيمة المتغير  $u$  في مشاهدة ما . والقيمة المتوسطة الاحصائية  $\bar{u}$  لذلك المتغير ، أي ان :

$$\Delta u = (u - \bar{u}) \quad \dots\dots\dots (3-11)$$

فمن الواضح ان المتوسط الاحصائي للانحراف  $\bar{u}$  يساوي صفر لأن :

$$\overline{\Delta u} = \overline{(u - \bar{u})} = \bar{u} - \bar{u} = \text{zero} \quad \dots\dots\dots (3-12)$$

لذلك لا يمكن استخدام الانحراف لاعطاء فكرة عن مدى تشتت القيم المختلفة للمتغير ( $u$ ) عن القيمة المتوسطة ( $\bar{u}$ ) .

### (ط) التشتت (Dispersion)

يسمى المقدار  $\overline{(\Delta u)^2}$  بالتشتت في قيم المتغير ( $u$ ) أو التباين (variance) وهو يمثل متوسط مربع الانحراف للمتغير ( $u$ ) . وهو كمية موجبة دائماً (لماذا ؟) . وباستخدام المعادلة (3-10) نلاحظ ان :

$$\begin{aligned} \overline{(\Delta u)^2} &= \overline{(u - \bar{u})^2} = \overline{u^2 - 2u\bar{u} + \bar{u}^2} \\ \therefore \overline{(\Delta u)^2} &= \bar{u}^2 - 2\bar{u}\bar{u} + \bar{u}^2 = \bar{u}^2 - \bar{u}^2 \quad \dots\dots\dots (3-13) \end{aligned}$$

فالتشتت في المعادلة الاخيرة لقيم ( $u$ ) لا تساوي صفر الا في حالة واحدة وهي عندما  $u_r = \bar{u}$  قيم ( $r$ ) . وتزداد قيمة التشتت  $\overline{\Delta u^2}$  عن القيمة الصفرية كلما بعدت قيم  $u_r$  عن  $\bar{u}$  ، وهذا يوضح بجلاء ان التشتت  $\overline{\Delta u^2}$  هو معيار جيد لبعثرة قيم  $u_r$  للمتغير  $u$  حول المتوسط  $\bar{u}$  .

## (ك) الانحراف العياري Standard Deviation

يعرف الانحراف العياري  $\sigma$  للمتغير  $u$  بأنه الجذر التربيعي للتشتت أي ان

$$\sigma = \sqrt{\overline{AU^2} - (\overline{U})^2} \quad \dots (١٤ - ٣)$$

امثلة محلولة :

(١) - مجموعة (N) في حالة اتزان احصائي ، وان هناك حدثين مستقلين تظهرهما جسيمات المجموعة ، الحدث الاول تظهره احدى جسيمات لمجموعة باحتمالية قدرها P والحدث الثاني باحتمالية قدرها q فالمطلوب حساب

أ - المتوسط الاحصائي  $\bar{n}$  لعدد الجسيمات التي تظهر الحدث الاول

ب - قيمة التشتت في ذلك التوزيع  $(\Delta n)^2$

ج - الانحراف العياري النسبي  $\frac{\sigma}{\bar{n}}$  لذلك التوزيع

الحل :

ان توزيع جسيمات المجموعة N بين الحدثين المستقلين يخضع لقانون ذو الحدين (٣-٧) . وهذه تعطي احتمالية (n) من الجسيمات لمجموعة الحدث الاول :

$$P(n) = g P^n q^{N-n} = \frac{N!}{n! (N-n)!} \cdot p^n q^{N-n}$$

(١) نستخدم المعادلة (٣-٨) لايجاد المتوسط الاحصائي  $\bar{n}$

$$\bar{n} = \sum_{n=0}^N P(n) n = \sum_{n=0}^N n C_n^N P^n q^{N-n}$$

لأن القيم  $0, 1, 2, \dots, N$  كلها محتملة للمتغير N ويمكن كتابة المعادلة الاخيرة بالصيغة

$$\bar{n} = P \frac{\partial}{\partial P} \sum_{n=0}^N C_n^N P^n q^{N-n} \quad \dots (١٥ - ٣)$$

وتتضح صحة الخطوة الأخيرة في المعادلة اعلاه باجراء العملية العكسية ، اي تفاضل جزئياً بالنسبة الى P ثم نضرب في P لنحصل على صورة المعادلة الاصلية الى  $\bar{n}$  وحيث ان مفكوك  $(P + q)^N$  يعبر عنه بنظرية ذات الحدين كالآتي :

$$(p + q)^N = p^N + \frac{N}{1!} p^{N-1} q + \frac{N(N-1)}{2!} p^{N-2} q^2 +$$

$$= \sum_{n=0}^N \frac{N!}{n!(N-n)!} p^n q^{N-n}$$

$$= \sum_{n=0}^N \binom{N}{n} p^n q^{N-n}$$

بالتعويض في المعادلة (٣-١٥) نحصل :

$$\bar{n} = p \frac{\partial}{\partial P} \sum_{n=0}^N p^n q^{N-n} = P \frac{\partial}{\partial P} (p + q)^N$$

$$\therefore \bar{n} = Np (p + q)^{N-1} = NP \quad \dots (٣-١٦)$$

لأن  $p + q = 1$

نلاحظ هنا سهولة تحقيق الشرط المعياري في توزيع ذو الحدين اذ ان

$$P(n) = \binom{N}{n} p^n q^{N-n}$$

$$\sum_{n=0}^N P(n) = \sum_{n=0}^N \binom{N}{n} p^n q^{N-n} = (p + q)^N = 1$$

$$(\overline{\Delta n})^2 = \bar{n}^2 - \bar{n}^2 \quad \text{(ب) لحساب التشتت في (n) يكون}$$

$$(\overline{\Delta n})^2 = \bar{n}^2 - N^2 p^2 \quad \bar{n} = Np$$



$$\overline{n^2} = \sum_{n=0}^N p(n) n^2 \quad \text{حيث}$$

وبنفس الطريقة التي استخدمت عند حساب  $\bar{n}$  نجد :

$$\overline{n^2} = \left( p \frac{\partial}{\partial p} \right)^2 \sum_{n=0}^N \frac{N}{C} p^n q^{N-n} = \left( p \frac{\partial}{\partial p} \right)^2 (p+q)^N$$

$$\left( p \frac{\partial}{\partial p} \right)^2 = \left( p \frac{\partial}{\partial p} \right) \left( p \frac{\partial}{\partial p} \right) \quad \text{حيث}$$

وهي مفاعل تفاضلي Differential operator يعمل على الدالة  $(P+q)^N$  ،  
وباجراء العملية التفاضلية نجد :

$$\overline{n^2} = \left( P \frac{\partial}{\partial P} \right)^2 (P+q)^N = (P+q)^2 = PN \{ 1 + P(N-1) \}$$

وعلى ذلك فان قيمة التشتت تصبح :

$$\overline{(\Delta n)^2} = \overline{n^2} - N^2 P^2 = P \cdot N \cdot q \quad \dots \dots (١٧-٣)$$

(ج) الانحراف المعياري النسبي :  $\frac{\sigma}{\bar{n}}$

$$\sigma = \{ \overline{(\Delta n)^2} \}^{\frac{1}{2}} = (NPq)^{\frac{1}{2}} \quad \text{حيث}$$

وعلى ذلك فان قيمة الانحراف المعياري النسبي هي

$$\frac{\sigma}{\bar{n}} = \frac{(NPq)^{\frac{1}{2}}}{Np} = \left( \frac{q}{P} \right)^{\frac{1}{2}} = \left( \frac{q}{P} \right)^{\frac{1}{2}} N^{-\frac{1}{2}} \dots (١٨-٣)$$

أي ان الانحراف المعياري النسبي  $\frac{\sigma}{\bar{n}}$  يتناسب مع  $N^{-\frac{1}{2}}$  وفي حالة  $N = 10^{24}$   
نجد ان الانحراف المعياري النسبي للتوزيع يساوي

$$\frac{\sigma}{\bar{n}} = \left( \frac{q}{P} \right)^{\frac{1}{2}} 10^{-12}$$

وهي قيمة صغيرة جداً ، ويكون عكس ذلك اذا كانت N صغيرة ، فمثلاً في

حالة  $N = 100$  فان

$$\frac{\delta}{n} = \left( \frac{q}{p} \right)^{1/2} 10^{-1}$$

مثال ٢ :

لو كررنا تجربة (أو لعبة) الرمي العشوائي لعدد خمسة من مكعبات الزهر (الزار) فالمطلوب حساب احتمالية ظهور الرقم (٦) الى الاعلى في التوزيعات المختلفة التالية :

- (أ) لزهر واحد فقط (ب) لزهر واحد على الاقل (ج) في زهرين فقط .  
الحل : نستعمل توزيع ذو الحدين (٣ - ٧) للإجابة على الجزئين (أ)، (ج)

$$p(n) = C_N^n p^n q^{N-n}$$

لتكن (P) هي احتمالية ظهور الرقم (6) الى الاعلى في زهر واحد لذلك فان

$$P = \frac{1}{6} \text{ ، ولتكن } q \text{ هي احتمالية عدم ظهور الرقم (6) الى الاعلى في زهر واحد ،}$$

$$\text{اي ان } q = \frac{5}{6} .$$

(أ) احتمال ظهور الرقم (6) الى الاعلى في زهر واحد فقط  $p(1)$  بالتعويض عن

$$q = 5/6 \quad p = 1/6 \quad n = 1, N = 5$$

$$p(1) = C_5^1 \left( \frac{1}{6} \right) \left( \frac{5}{6} \right)^4 = \frac{5!}{1! 4!} \cdot \left( \frac{1}{6} \right) \cdot \left( \frac{5}{6} \right)^4$$

$$P(2) = C_5^2 \left( \frac{1}{6} \right)^2 \cdot \left( \frac{5}{6} \right)^3 = \frac{2}{5} \cdot \left( \frac{5}{6} \right)^5 \quad (\text{جـ})$$

أما الجزء (ب) من هذه المسألة فالمطلوب حساب احتمال ظهور الرقم 6 الى الاعلى في زهر واحد على الاقل ، أي المطلوب حساب قيمة

$$P_i = p(1) \text{ or } p(2) \text{ or } p(3) \text{ or } p(4) \text{ or } p(5) = P'$$

$$\sum_{n=0}^5 p(n) = p(0) + p' = 1 \quad \text{ومن معادلة الشرط المعياري}$$

$$p(0) = C \cdot \left(\frac{1}{6}\right)^0 \cdot \left(\frac{5}{6}\right)^5 = \left(\frac{5}{6}\right)^5 \quad \text{ولكن}$$

$$0! = 1 \quad \text{لأن}$$

$$p' = 1 - p(0) = 1 - \left(\frac{5}{6}\right)^5.$$

### (٣ - ٣) مفاهيم اساسية في الميكانيك الاحصائي (تكميم الطاقة والزخم) :

ان اعضاءنا الحسية نخبرنا ان الاجسام الكبيرة التي نلمسها او نراها ، تمتلك شكلاً محدداً ومكاناً في الفضاء ، لذلك فاننا نلجأ الى طريقة الاستكمال (Extrapolation) في مفاهيمنا . فنتصور ان الجسيمات الاساسية للمادة تمتلك شكلاً وحجماً ولوناً تشبه الكرة، ولها نصف قطر وشحنة وكتلة ، ولكن التجربة اظهرت عدم صواب هذا التصور ، لان التصرف الحركي (Dynamical behaviour) لهذه الجسيمات يتطلب منا ربطها بمجال مادي (Matter field) مثلما نربط الفوتون بمجال كهرومغناطيسي ، والفونون (Phonon) بمجال امواج المرونة في الجوامد . وان هذا المجال يصف الظروف الحركية للجسيمة ، مثل الطاقة والزخم . ولعل اول هذه العلاقات هي معادلة دي برولي (De Broglie) والتي تربط طول موجة المجال الاحادي الموجة ( $\lambda$ ) وبزخم ( $P$ ) للجسيمة او طاقتها ( $\epsilon$ ) حيث

$$\lambda = \frac{h}{p} , \quad f = \frac{\epsilon}{h} \quad \dots\dots (٣ - ١٩)$$

حيث (f) التردد ، (h) ثابت بلانك ،  $\frac{h}{2\pi} = \hbar$  ،  $\hbar = 1.054 \times 10^{-34}$  جول . ثانية .

وباستخدام العدد الموجي (Wave Number) k ، حيث  $k = \frac{2\pi}{\lambda}$  والسرعة الزاوية  $2\pi f = \omega$  تصبح المعادلة (٣ - ١٩) بالصيغة :

$$P = \hbar k \quad , \quad \epsilon = \hbar \omega \quad \dots (٣ - ٢٠)$$

ويمكن وصف المجال المادي للجسيمة بالاتجاه السيني (X) بدالة الموجة  $\psi(X)$  وهي تعتمد على طاقة الجسيمة (E) الكلية حيث

$$E(X) = \frac{P_X^2}{2m} + E_p(x) \quad \dots (٣ - ٢١)$$

$E_p(x)$  تمثل الطاقة الكامنة السينية ،  $\left( \frac{P_X^2}{2m} \right)$  الطاقة الحركية السينية .

وتربط هذه الطاقة مع دالة الموجة ، معادلة شرودنكر الشهيرة للامواج المادية ، بصيغتها :

$$-\frac{\hbar^2}{2m} \frac{\partial^2 \psi}{\partial x^2} + E_p(x) \psi(x) = \epsilon(x) \psi(x) \quad \dots (٣ - ٢٢)$$

وتعادل هذه المعادلة في الميكانيك التكميمي في اهميتها معادلة نيوتن

(  $F = \frac{dP}{dt}$  ) في الميكانيك التقليدي . أو معادلات ماكسويل في النظرية الكهرومغناطيسية .

ففي حالة الجسيمة الحرة تكون الطاقة الكامنة صفراً ، وتصبح المعادلة (٣ -

٢٢) بالصيغة :

$$\frac{\partial^2 \psi}{\partial x^2} + k^2 \psi = 0 \quad \dots (٣ - ٢٣)$$

$$k^2 = \frac{2m\epsilon}{\hbar^2} \quad \text{حيث}$$

(لاحظ ان k هو العدد الموجي وليس ثابت بولتزمان في هذه الفقرة)

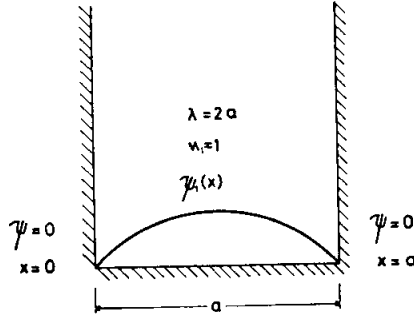
$$\lambda = \frac{2\pi}{k} = \frac{h}{p} \quad \text{والمعادلة (٣ - ٢٣) تمثل معادلة موجة مستقرة طولها}$$

ويمكن حلها بأي من الدوال الموجية المألوفة التالية :

$$\left. \begin{aligned} \psi(x) &= A e^{ikx} && \text{(موجة منتقلة الى اليمين)} \\ \psi(x) &= A e^{-ikx} && \text{(موجة منتقلة الى اليسار)} \\ \psi(x) &= A e^{ikx} + B e^{-ikx} && \text{(موجة واقفة)} \end{aligned} \right\} \dots (٣ - ٢٤)$$

حيث  $i = \sqrt{-1}$  ، A ، B كميتان ثابتتان .

فاذا اخذنا حاله الجسيمة المحصورة في بئر (أو صندوق) مثل جزيئة الغاز في الصندوق أو الالكتررون الحر في قطعة معدن داخل حاجز جهدي (Potential Barrier) يفوق الطاقة الحركية للالكتررون ، فان الالكتررون يتحرك داخل المعدن ، ولكنه لا يتمكن من الهروب منه ، فلو فرضنا ان دالة الموجة لكل منهما تتلاشى عند  $X = 0$  ،  $X = a$  ، حيث (a) هو عرض الصندوق بالاتجاه السيني ، فان المعادلة (٣ - ٢٣) تتحقق بالدالة  $\psi(x) = c \sin(kx)$  وتتلاشى الدالة عند  $k \cdot a = n\pi$  ، عدد صحيح موجب .



المخطط (٣ - ١)

دالة الموجة لجسيمة في بئر جهدي .

لذلك فإن :

$$k = n_1 \frac{\pi}{a}$$

$$P = \hbar k = \frac{n_1 \hbar}{a} \quad \dots (٢٥ - ٣)$$

وهذه المعادلة توضح لنا ، ان الزخم مكتم (دالة متقطعة ) ، كذلك فان طاقة الجسيمة الحرة بالاتجاه السيني

$$\epsilon(x) = \frac{P_x^2}{2m} = n_1^2 \cdot \frac{\pi^2 \hbar^2}{2ma^2} \quad \dots (٢٦ - ٣)$$

اي ان الطاقة الحركية للجسيمة مكتمة ايضاً ، اي ان دالة الطاقة والزخم غير متصلة ، وهذه حقيقة لم تألفها في الميكانيك التقليدي . فاذا كانت الجسيمة حرة الحركة في الاتجاهات (z,y,x) في الصندوق الذي أبعاده a,b,c فان دالة الموجة للجسيمة تصبح :

$$\psi = C \sin n_1 \frac{\pi x}{a} \sin n_2 \frac{\pi y}{b} \sin n_3 \frac{\pi z}{c} \quad \dots (٢٧ - ٣)$$

وهي تشبه معادلة الموجة المستقرة في تجويف مستطيل الشكل  
(Rectangular Cavity) .

لذلك فان مركبات الزخم في الاتجاهات الثلاثة تصبح

$$P_x = n_1 \pi \hbar / a, P_y = n_2 \cdot \hbar \pi / b, P_z = n_3 \cdot \frac{\hbar \pi}{c}$$

ويصبح الزخم (P) الكلي :

$$P^2 = P_x^2 + P_y^2 + P_z^2$$

وبذلك تصبح الطاقة الحركية للجسيمة الحرة هذه بالصيغة :

$$\epsilon = \frac{P^2}{2m} = \frac{\pi^2 \hbar^2}{2m} \left( \frac{n_1^2}{a^2} + \frac{n_2^2}{b^2} + \frac{n_3^2}{c^2} \right) \quad \dots (٢٨ - ٣)$$

فاذا كان الصندوق مكعب الشكل (a = b = c) فان :

$$\epsilon = n^2 \left( \frac{\pi^2 \hbar^2}{2ma^2} \right) \quad \dots (٣-٢٩)$$

$$n^2 = n_1^2 + n_2^2 + n_3^2 \quad \dots (٣-٣٠)$$

نلاحظ من هذه المعادلات بان الزخم والطاقة الحركية للجسيمة في صندوق تعتمدان على قيمة (n) فقط ، وهذا يعني ان جميع قيم  $n_3, n_2, n_1$  والتي تعطي نفس قيمة (n) هي حالات لنفس الطاقة والزخم ، بالرغم من تغير دالة الموجة لهذه القيم المختلفة والتي تعطي قيمة واحدة الى (n) ، وتسمى هذه الحالات المتساوية الطاقة بحالات التحلل Degeneracy ويرمز لتسلسل التحلل بالرمز (gi) لمستوى الطاقة (ei) ، ففي الجدول (٣-١) توضيح لهذه المفاهيم للمعادلتين (٣-٢٩) ، (٣-٣٠) حيث

$$\epsilon_1 = \frac{\pi^2 \hbar^2}{2m a_2} \quad \text{الجدول (٣-١)}$$

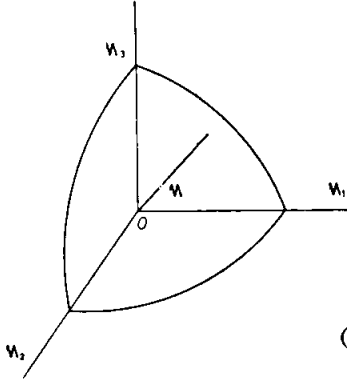
<u><math>\epsilon</math> (الطاقة)</u>	<u><math>(n_1, n_2, n_3)</math></u>	<u><math>n^2</math></u>	<u>gi</u>
$3 \epsilon_1$	1, 1, 1,	3	1
$6 \epsilon_1$	(1, 2, 1) , (2, 1, 1) (1, 1, 2)	6	3
$9 \epsilon_1$	(2, 2, 1) (1, 2, 2), (2, 1, 2)	9	3
$12 \epsilon_1$	(2, 2, 2)	12	1

(طاقة الجسيمة في صندوق مكعب ثابتة المقدار ما دامت (n) ثابتة)

كذلك ففي المعادلة (٣-٢٩) تزدحم مستويات الطاقة للجسيمات المحصورة في صندوق كبير (لأن  $\epsilon$  تتناسب عكسياً مع  $a^2$ ) وتتباعث في الصندوق الصغير . كذلك فان  $n_3, n_2, n_1$  تكون موجبة دائماً ، ويمكن تمثيلها بأحداثيات متعامدة يكون نصف مقدار الكرة في هذه الفضاء هو (n) ، وعليه فان عدد الحالات  $N(\epsilon)$  التي طاقتها تتراوح من الصفر الى ( $\epsilon$ ) تساوي حجم ثُمَّن هذه الكرة (المخطط ٣-٢) (لأن  $n^3$  يجب ان يكون موجباً دائماً) .

$$N(\epsilon) = \frac{1}{8} \frac{4\pi}{3} n^3 \quad \text{أو}$$

$$N(\epsilon) = \frac{8\pi V}{3h^3} (2m^3)^{1/2} \epsilon^{3/2} \quad \dots\dots (31-3)$$



المخطط (٣-٢)  
فضاء التكميم (١/٨ الحجم منه موجب فقط)

حيث  $a^3 = V$ ,  $\hbar = \frac{h}{2\pi}$  (حجم الصندوق)، وعليه يكون عدد الحالات المحصورة بين الطاقة  $\epsilon + d\epsilon$ ،  $\epsilon$  تساوي

$$dN(\epsilon) = \frac{4\pi V}{h^3} (2m^3)^{1/2} \epsilon^{1/2} d\epsilon \quad \dots\dots (32-3)$$

$$\frac{dN(\epsilon)}{d\epsilon} = g(\epsilon) = \frac{4\pi V (2m^3)^{1/2}}{h^3} \epsilon^{1/2} \quad \text{أسس} \quad \dots\dots (33-3) \quad \text{أو}$$

وتمثل الدالة  $g(\epsilon)$  عدد الحالات المتحللة التي طاقتها  $(\epsilon)$  لفاصلة وحدة الطاقة. ومن المفيد أحياناً أن نعبر عن  $g(\epsilon)$  بدالة الزخم أو التردد  $f$  فمثلاً  $g(f)$  للأمواج الطويلة (في الجسم المرن مثلاً)

$$g(f) = \frac{4\pi V}{c^3} f^2 \quad \dots\dots (34-3)$$

$$P = \frac{h}{\lambda}, f = \frac{C}{\lambda} \quad \text{لأن}$$

أما للأمواج المستعرضة (الكهرومغناطيسية وأمواج المرونة في الجوامد) فإن



المعادلة (٣ - ٣٤) تتضاعف قيمتها ، لأن هذه الامواج ضعف الحركة الحرة . وسوف نستخدم هذه المعادلات كثيراً كما سنرى .

وتكون قيم  $g_i, n$  كبيرة جداً لذلك فتكون قيمة  $de$  النسبية صغيرة جداً عندما يتغير  $(n)$  بمقدار الوحدة، مما يبرر اعتبار دالة الطاقة متصلة (Continuous Function) لأغلب الحالات العملية . كذلك فإن  $g_i$  يفوق عدد الجسيمات  $(N_i)$  في المستوى (i) أي انه من المستبعد أن يشغل اية حالة طاقة او تكميم (Quantum State) أكثر من جسيمة واحدة في آن واحد . ولا سيما في احصاء (ماكسويل - بولتزمان) واحصاء (بوز - اينشتاين) ، اما في احصاء (فيرمي - دايراك) فإن  $N_i \approx g_i$  لأن  $g_i$  تعتمد على كتلة الجسيمة (المعادلة ٣ - ٣٣) ولكن الاحصاءات الثلاث تتقارب من احصاء ماكسويل في درجات الحرارة العالية .

ومهما كانت مستويات الطاقة متقاربة فلا زالت المستويات متميزة . وان من مهمات الميكانيك الاحصائي هو تعيين توزيع الجسيمات بين هذه المستويات في حالة الاتزان الثرموداينميكي . أي اننا نريد حساب عدد الجسيمات  $(n_i)$  في مستوى الطاقة  $\epsilon_i$  لأن ذلك يمكننا عندئذ من حساب معدل الخواص المنظورة (Macroscopic properties) للنظام .

ان الحركة العشوائية والتصادم المستمر بين الجسيمات وما يعقبها من تبادل في الزخم والطاقة تجعل الجسيمة تعاني تغيرات عديدة من حالة تكميم الى أخرى . وان من الفرضيات الأساسية في الميكانيك الاحصائي هو (ان جميع حالات التكميم للنظام المعزول متساوية الاحتمالية في اشغالها من قبل جسيمات النظام) .

### (٣ - ٤) فضاء الطور (Phase space)

لقد سبق ومثلنا مركبات السرعة  $(w, v, u)$  باحداثيات متعامدة في فضاء السرعة ، كذلك مثلنا مركبات عدد التكميم  $(n_3, n_2, n_1)$  باحداثيات فضائية على غرار احداثيات الأبعاد  $(z, y, x)$  لكونها وسيلة مناسبة لتوضيح بعض المفاهيم الفيزيائية . وليس من الضروري ان يكون لهذا التمثيل اي معنى فيزيائي ، بل انه

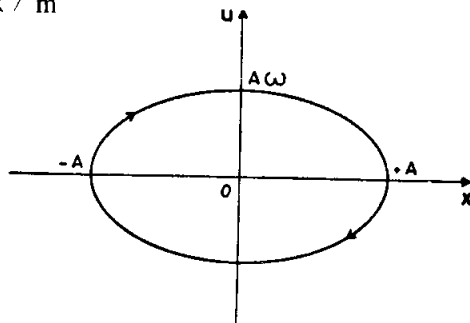
تجريد رياضي (Mathematical abstraction) وهذا يقودنا الى تمثيل أي عدد من الاحداثيات (مثل  $x, y, z$  في النسبية ،  $x, y, z, u, v, w$  في الميكانيك الاحصائي) بالنقطة في الاحداثيات  $(x, y, z, u, v, w)$  تمثل موقع واتجاه حركة الجسيمة في لحظة من الزمن . ويسمى هذا الفضاء ذو الستة ابعاد بفضاء الطور . ولعل أبسط فضاء طوري هو حركة جسيمة كتلتها  $(m)$  باتجاه  $(x)$  وبسرعة  $(u)$  فان مسارها في هذا الفضاء يتحدد في بعدين  $(x, u)$  فلو كان الجسم متصلاً بنابض ثابتة  $(k)$  ويتحرك حركة توافقية بسيطة باتجاه  $(x)$  فإن :

$$X(t) = A \cos \omega t$$

$$\omega^2 = k / m$$

$$u = \frac{dx}{dt} = - A \omega \sin \omega t$$

$$\therefore \frac{x^2}{A^2} + \frac{u^2}{(A \omega)^2} = 1$$



المخطط (٣-٣) - المحل الهندسي لمسار دقيق في فضاء طور ذي بعدين  $(X, u)$  (mhkjggaron 69)

لذلك فالمحل الهندسي لحركة الجسيمة يكون مساراً بيضوياً Ellipse في فضاء الطور (المخطط ٣-٣) .

ويمثل عنصر الحجم في فضاء الطور ذو الاحداثيات  $x, y, z, u, v, w$  بالرمز  $d^3r$  حيث :  $d^3c = |d^3r \cdot d^3c| = dx dy dz du dv dw$

ويمثل  $r$  متجه الموقع (Radius Vector) ،  $c$  متجه السرعة . واحياناً يستعاض عن مركبات السرعة بمركبات الزخم  $(P_1, P_2, P_3)$  لتشمل الفوتونات (العديمة الكتلة) التي زخمها يسوى  $(\frac{hf}{c})$  حيث  $C$  سرعة الضوء . فمثلاً ان حجم الخلية في فضاء الطور هذا يساوي :  $H = dx dy dz dp_1 dp_2 dp_3$

وبما ان  $dz dp_3 = dy dp_2 = h = dx dp_1$  حسب مبدأ عدم الدقة . فان أصغر خلية في فضاء الطور يكون حجمها  $H = h^3$  وتكون كثافة الجسيمات عند مستوى الطاقة (i) في هذا الفضاء تساوي  $\frac{N_i}{h^3}$  حيث  $N_i$  هو عدد الجسيمات التي طاقتها  $(\epsilon_i)$

وعموماً فإن عدد حالات التكميم  $dgi$  (التحلل) في فضاء الطور الثلاثي الأبعاد هو

$$dgi = d^3 r d^3 p / h^3 \quad \dots (3-35)$$

وعليه فإن عدد حالات التكميم المتاحة لمذبذب يتحرك ببعد واحد في المثال السابق يساوي  $dgi = \frac{dx dp_x}{h}$  ويقال لحالات التكميم هذه بأن لها زخم متجه قيمته تقع ضمن المدى  $(p, p+dp)$  ومحصور ضمن المتجهين  $(r, r+dr)$ .

ولزيادة الايضاح يمكن مقارنة فضاء الطور بفندق نزلائه من الجسيمات ، وتقابل خلايا الطور بغرف الفندق . وان طوابق الفندق تقابل مستويات الطاقة . لذلك فإن عدد خلايا الطور في أي طابق يمثل التحلل  $gi$  وبما ان بعض الخلايا مشغولة وبعضها فارغ وبمواقع مختلفة على غرار غرف طابق الفندق ، فبعضها أفضل من البعض الآخر (بنوعية الأثاث والسعة والموقع) كذلك فانها تتفاوت قليلاً في الأجرة ولكن للسهولة تؤجر الغرف بنفس السعر ، وهذا ما يقابله باختلافات طفيفة ( $\Delta\epsilon$ ) عن معدل طاقة الجسيمات ( $\epsilon$ ) لأن مستويات الطاقة غير محددة بدقة بل تتفاوت سعتها بمقدار ( $\Delta\epsilon$ ) بحيث  $\frac{\Delta\epsilon}{\epsilon}$  صغيرة جداً بالنسبة للوحدة ، لذلك فإن جسيمات النظام تتوزع الى مجاميع عددها ( $M$ ) بالتوزيع  $(N_1, N_2, \dots, N_M)$  حيث ( $M$ ) هو عدد مجاميع مستويات الطاقة .

### (3-5) - الحالات المجهرية والحالات المنظورة :

Microstates and macrostates

ان مفهوم الحالات المجهرية (التفصيلية) والحالات المنظورة (الكبيرة المحسوسة) يلعب دوراً كبيراً في توضيح الميكانيك الاحصائي .

ويمكن توضيحها باللجوء الى فكرة سكان (Population) مجاميع خلايا فضاء الطور . فلو فرضنا أن ( $gi$ ) تمثل عدد خلايا فضاء الطور التي تعود الى المجموعة ( $i$ ) التي طاقتها  $\epsilon_i$  وكما هي الحالة في غرف الفندق فبعضها مشغول وبعضها فارغ . وتعرف الحالة المنظورة (الماكروستيت Macrostate) للنظام ، بتحديد عدد نزلاء الخلايا في المجاميع ( $M$ ) فهي تُحدّد مثلاً بتعين عدد الذرات في كل مجموعة من الخلايا

(أي  $N_1, N_2 \dots NM$ ) ومن الواضح ان الحالة المنظورة هي توزيع (Distribution) في فضاء الطور ، فهي تعين مجموع الذرات وليست الكيفية التي تتوزع بها الذرات في كل مجموعة من الخلايا ، لذلك فهي تُعرّف (Define) الخواص المنظورة (القابلة للقياس) للنظام (غاز مثلاً) .

أما الحالة المجهرية (مايكروستيت Microstate) فهي تُعرّف من تعين الكيفية التي تتوزع فيها الذرات بين خلايا فضاء الطور ، فهي تشبه احدى الكيفيات التي يتوزع فيها نزلاء كل طابق من الفندق .

ان الخواص القابلة للقياس (مثل الضغط ودرجة الحرارة) تعتمد على عدد الجسيمات التي تتواجد في خلايا فضاء الطور المختلفة اما الحالات المجهرية فهي تشير الى عدد الجسيمات وهويتها وبذلك فهي تعطينا تفاصيل اكثر من اللازم لغرض تعين الخواص المنظورة . وليس من الضروري ان يكون النظام بالحالة المجهرية الأكثر احتمالاً بسبب حركة الجسيمات المستمرة والتي تنقل النظام الى حالات مجهرية متغيرة باستمرار .

وبما اننا نقتصر في تحليلنا الى حالة الاتزان الاحصائي ، حيث تثبت فيها القيم القابلة للقياس تقريباً لاعداد هائلة من الحالات المجهرية ، لذلك يمكن القول ان الحالة المنظورة الأكثر احتمالاً هي التي تحدث في حالة الاتزان الاحصائي .

ولتوضيح ما ذكر أعلاه يمكن الرجوع الى المخطط (٣ - ٤) حيث تمثل مستويات الطاقة برفوف متفاوتة الارتفاع ( $\epsilon_i$ ) اما حالاتها المكممة (Energy quantum states) فتمثل بمجموعة صناديق على كل رف . اما التحلل ( $g_i$ ) في المستوى ( $i$ ) فيمثل بعدد الصناديق في ذلك الرف ، والجسيمات تمثل بعدد من الكرات مجموعها ( $N$ ) . ويسمى عدد الكرات ( $N_i$ ) في المستوى ( $i$ ) بعدد الأشغال (Occupation number) . ومن الواضح ان مجموع الجسيمات ( $N$ ) في النظام (ما عدا نظام الفوتونات) يساوي مجموع الجسيمات في مستويات الطاقة أي :

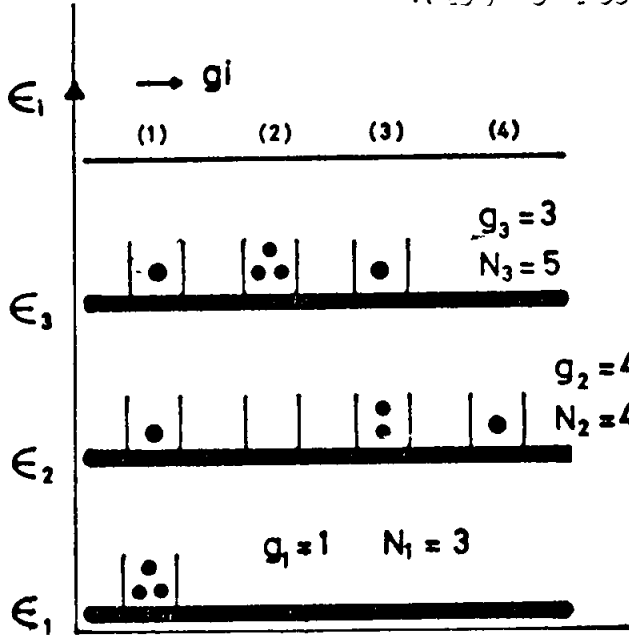
$$\sum_{i=0}^M N_i = N \quad (3-36) \dots$$

وان مجموع الطاقة ( $\epsilon$ ) يساوي مجموع طاقة الجسيمات في النظام

$$i = M$$

$$\sum_{i=0} Ni \epsilon_i = \epsilon \quad \dots\dots\dots (37-3)$$

وقد يكون بعض هذه الطاقة كامنة مصدرها مجال تشاقي أو كهربائي أو مغناطيسي (قوى محافظة Conservative Forces) والبعض الآخر طاقة حركية (انتقالية أو دورانية أو اهتزازية).



المخطط (3 - 4) - توضيح التحلل (gi) وعدد الأشغال (Ni) في مستويات الطاقة (εi).

فإذا كانت الجسيمات طليقة فان طاقتها الكامنة تهمل وتسمى الطاقة الكلية للنظام حينئذٍ بالطاقة الداخلية (U)

$$\sum Ni Gi = U \quad \dots\dots (38-3)$$

وهي تبقى ثابتة المقدار اذا كان النظام معزولاً (Isolated).

ان النقطة المركزية في الميكانيك الاحصائي ؛ هو إيجاد التوزيع الأكثر احتمالاً (The most probable distribution) للنظام المعزول . ويتم ذلك في حالة الاتزان الاحصائي (الثرموداينميكي) - كما ذكرنا سابقاً - ومتى ما تم اشتقاق قانون التوزيع فاننا نتمكن أن نشق منه الخواص المنظورة للنظام تحت الشروط التي تملئها المعادلات الثلاث الأخيرة .

## امثلة محلولة

١ - صندوق مكعب الشكل طول ضلعه ١٠ سم يحتوي على غاز الهيليوم بدرجة ٣٠٠ ك ، فما مقدار العدد الكمي السيني لهذا النظام ؟  
الحل :

$$E_x = \frac{1}{2} kT$$

$$= \frac{1}{2} \times 1.38 \times 10^{-16} \times 300 = 2.1 \times 10^{-14} \text{ERG}$$

وهي الطاقة الحركية السينية ولكن من المعادلة (٣ - ٢٦)  
$$n_1 = \frac{a}{h} \sqrt{8mE_x}$$

$$= \frac{10}{6.6 \times 10^{-27}} \sqrt{8 \times 2.1 \times 10^{-14} \cdot 6.6 \times 10^{-24}} \approx 10^9$$

حيث  $m = 6.6 \times 10^{-27} \text{g}$  وهي كتلة ذرة الهيليوم .

لذلك فان مستويات الطاقة متقاربة جداً بحيث انه لو تغير  $n_1$  بمقدار الوحدة ( $dn_1 = 1$ ) فان  $d\epsilon_x$  يكون صغيراً جداً، وهذا يبرر اعتبار التغير في دالة الطاقة يكون بصورة متصلة (بالرغم من كونها كممة) ويمكننا استبدال  $\sum$  بأشارة التكامل (٢) .

٢ - غاز من الهيليوم حجمه ١ سم<sup>٣</sup> بدرجة ٣٠٠ ك وضغط جوي واحد ، طاقته تقارب ١٠-١٣ ارغ ، فما مجموع الحالات الكمية  $N(\epsilon)$  التي تتراوح طاقتها بين الصفر و  $(\epsilon)$  .

الحل :

$$N(\epsilon) = \frac{4\pi V}{3h^3} (2m\epsilon)^{3/2} \quad \text{من المعادلة (٣ - ٣١) يكون :}$$

ولكن من الثابت في المسألة (١) للهيليوم والتعويض بالمعادلة نحصل (على فرض ان الضغط الجوي ١,٠٣ × ١٠<sup>٦</sup> داين/سم<sup>٢</sup>)  
$$N(\epsilon) \approx 7 \times 10^{26}$$

$$PV = NkT \quad \text{ولكن :}$$

$$\therefore N \approx 2.4 \times 10^{19} \quad \text{(جزيئة)}$$

لذلك فان حالات الطاقة اكبر بكثير من عدد الجزيئات التي تشغلها الجزيئات .

$$٣ - \text{برهن } 0! = 1$$

الحل :

$$N! = N(N-1)(N-2) \dots$$

$$\dots (N+1)! = (N+1)(N)(N-1) \dots N-2) \dots$$

$$\dots N! = (N+1)! / N+1$$

وبالتعويض عن  $N=0$  يكون  $0! = 1$  . وهناك تعريف رياضي اعم وأدق للمضروب  $N!$  تعرفه الدالة :

$$N! = \int_1^{\infty} X^N e^{-x} dx$$

فاذا عوضنا  $N=0$  فان التكامل يؤدي الى الوحدة (راجع الملحق) .<sup>1</sup>

٤ - اشتق توزيع بواسون (Poisson Distribution) باستخدام توزيع ذي الحدين :

الحل :

$$P(n) = \frac{N!}{n! (N-n)!} p^n (1-p)^{N-n}$$

$$p + q = 1 \quad \text{لأن}$$

فعندما  $1 > p > 0$  و  $0 < n < N$  فإن :

$$\frac{N!}{(N-n)!} = N(N-1)(N-2) \dots (N-n+1)$$

$$\frac{N!}{(N-n)!} \approx N^n \quad \text{وبما ان } n < N \text{ نحصل}$$

فلو وضعنا  $y = (1-p)^{N-n}$  واخذ لوغاريتم الطرفين نحصل

$$\ln y = (N-n) \ln (1-p) \approx -PN$$

$$\ln(1-p) \approx -p, \quad N-n \approx N$$

حيث

$$\therefore y \approx (1-p)^{N-n} \approx e^{-Np}$$

وتصبح دالة ذي الحدين بالصيغة

$$P(n) = \frac{N^n}{n!} p^n e^{-Np}$$

وتسمى هذه النتيجة بدالة توزيع بواسون .

### تمارين الفصل الثالث

(١) عرف مايلي : الجسيمة المتميزة ، الجسيمة غير المتميزة ، خلية فضاء الطور ، الحالة المجهرية ، الحالة المنظورة ، التشتت ، التحلل ، الاحتمالية الثرموداينميكية .

(٢) كرتان مختلفتان وكرتان متماثلتان ، أريد صفهما بجميع الاحتمالات الممكنة ، فاحسب عدد هذه الاحتمالات (عدد الحالات المجهرية لهذه الحالة المنظورة والمسماة بالاحتمالية الثرموداينميكية) .

$$\text{الجواب : } \frac{N!}{N_1! N_2! N_3!} \text{ ومقدارها ١٢}$$

$$(٣) : \text{جد قيمة } \sum_{i=0}^5 i^2 (i+1) , \frac{7!}{0! 5!}$$

(٤) ما هي مصادر الطاقة الداخلية لغاز جزيئاته ثنائية الذرة ؟

(٥) احسب قيمة (n) لذرة الاوكسجين المحصورة في صندوق مكعب

الشكل طول ضلعه ١ سم وان طاقته تساوي اوطىء طاقة لذرة الهيليوم محصورة في

صندوق مكعب طول حرفه  $2 \times 10^{-10}$  م .

(الجواب :  $10^8$ )



(٦) ضع جدولاً لقيم  $n_1, n_2, n_3$  لاوطىء مستويات الطاقة الاثني عشر لجسيمة طليقة في وعاء حجمه (٧) واحسب التحلل (gi) لكل مستوى وبين فيما اذا كانت مستويات الطاقة متساوية البعد عن بعضها البعض .

(٧) استخدم زهر النرد (الزار) ٢٨ مرة فحصلنا على عدد المرات التي ظهرت فيها الأوجه التالية :  $N_1 = 5, N_2 = 5, N_3 = 5, N_4 = 6$   
 $N_5 = 3, N_6 = 4$

فبرهن ان المتوسط يساوي ٣,٣٢ (استخدم المعادلة ٣ - ٨)

(٨) إذا قذفت اربع عُملات متماثلة مراراً فإن أحد الوجهين قد يظهر (n) من المرات حيث  $n =$  صفر ، ١ ، ٢ ، ٣ ، ٤ وباحتمالية  $P(n)$  . فاحسب الاحتمالية لكل وضع ، واحسب معدل عدد ظهور احد الوجهين الى الاعلى .

$$\text{الجواب : } P(n) = \frac{1}{16}, \frac{4}{16}, \frac{6}{16}, \frac{4}{16}, \frac{1}{16}$$

$$\bar{n} = \text{المعدل} = 2$$

٩ - برهن ان مفكوك ذي الحدين  $(p + q)^N$  .

يعبر عنه بالعلاقة

$$\sum_{n=0}^N p(n) = (p + q)^N = \sum_{n=0}^N \frac{N!}{n!(N-n)!} p^n q^{N-n}$$

حيث n يمثل عدد الجسيمات باحتمالية p ، (N) مجموع جسيمات النظام .

١٠ - احسب التشتت لمئة عملة متماثلة . الجواب : ٢٥

١١ - ثلاثة مستويات للطاقة  $\epsilon_1, \epsilon_2, \epsilon_3$  ، يحتوي المستوى الأول على ٤ جسيمات متماثلة وثلاث حالات طاقة والمستوى الثاني يحتوي على ١٠ جسيمات متماثلة و٤ حالات طاقة والمستوى الثالث على ٥ جسيمات متماثلة و٦ حالات طاقة . مثل ذلك بمخطط . واذكر قيمة  $N_i$  ، gi لكل مستوى ومجموع طاقة النظام .

١٢ - استخدم دالة توزيع ذي الحدين بصيغتها  $P(n) = \frac{N!}{n!(N-n)!} p^n q^{N-n}$  للبرهنة ان ذروة قيمة  $P(n)$  تتم عند القيمة :

$$n' = NP$$

$$\text{حيث } p + q = 1$$

(تنويه للحل : خذ لوغاريتم الطرفين وعين  $\frac{d \ln P}{dn} = 0$  صفر

واستخدم العلاقة  $\ln x! \approx x \ln x$  عندما تكون  $x$  اكبر من الوحدة) .

## الفصل الرابع

### الاحصاء الميكانيكي التقليدي

#### (٤ - ١) الاحتمالية الثرموداينميكية :

يسمى هذا النوع من الاحصاء احياناً الثرموداينميكس الاحصائي او احصاء ماكسويل - بولتزمان (M - B.)

(The Maxwell - Boltzmann statistics)

وهو يعالج بنجاح كبير العديد من المسائل الثرموداينميكية وبشمولية اكثر من النظرية الحركية. ويخضع هذا النوع من الاحصاء الجزيئات الغازية ، تحت الضغوط الواطئة ، وكذلك الجسيمات النووية (مثل الالكترونات والنيوترونات) في درجات الحرارة العالية ، وهي تخضع للمعادلتين (٣ - ٣٦ ، ٣ - ٣٨) . فلو اخذنا  $N_i$  من المستويات في حالة التكميم ( $g_i$ ) والتي تمثل عدد خلايا فضاء الطور في المستوى (i) والتي طاقتها ( $\epsilon_i$ ) ، فإن لكل جسيمة ( $g_i$ ) من الخيارات (Choices) لاشغال ( $g_i$ ) من حالات التكميم وهذا يصح أيضاً على الجسيمات الاخرى لذلك فان مجموع الطرق التي يمكن الى ( $N_i$ ) من الجسيمات المتميزة ان تشغلها من بين  $g_i$  من الخيارات (الحالات المكمة) ستكون ( $g_i^{N_i}$ ) وان هذه الكمية كبيرة في الجسيمات المتميزة . اما اذا كانت الجسيمات غير متميزة (جزيئات الغاز مثلاً) ، فيجب حينئذ قسمة هذه الكمية بالمضروب  $N_i !$  وذلك تجنباً لعد الحالات المتكررة .

لذلك فان عدد الطرق  $W_i$  التي يمكن ان تتوزع بها  $N_i$  من الجسيمات الغير متميزة (indistinguishable) من بين  $g_i$  من الحالات المكمة (حالات الطاقة الواحدة) في المستوى (او المجموعة) (i) هي :

$$W_i = g_i^{N_i} / N_i !$$

$$W_1 = \frac{81}{32} , W_2 = \frac{40}{3} , W_1 = 1 \quad \text{ففي المخطط (٣ - ٤) ، نجد}$$

فلو وزعنا الجسيمات الى (M) مجموعة (M مستوى طاقة) . فان عدد الطرق

( $\Omega$ ) الممكن ان نسلوكها للحصول على نفس الحالة المنظورة (Macrostate) يساوي حاصل ضرب حدود من امثال  $\frac{g_i^{N_i}}{N_i!}$  لكل مستوى طاقة او مجموعة

$$\Omega = \frac{g_1^{N_1}}{N_1!} \times \frac{g_2^{N_2}}{N_2!} \dots \frac{g_M^{N_M}}{N_M!}$$

$$\Omega = \prod_{i=1}^{i=M} \frac{g_i^{N_i}}{N_i!} \quad (1-4) \dots$$

حيث  $\Pi$  يمثل ضرب الحدود .

اما للجسيمات المتميزة (Distinguishable) فإن : (4-2) ...

$$\Omega = N! \prod \frac{g_i^{N_i}}{N_i!}$$

فاذا كانت الجسيمات متميزة وكانت حالة الطاقة غير متحللة

(Non - Degenerate) كما هي الحالة في الذرات في البلورة ، فان  $g_i = 1$  وتصبح (4-2) بالصيغة :

$$\Omega = N! / \prod_{i=1}^{i=M} N_i!$$

وتسمى ( $\Omega$ ) بالاحتمالية الترموداينميكية Thermodynamic probability لتلك

الحالة المنظورة . وهي تعرف احيانا بانها تمثل عدد الحالات المجهرية التي تعود

لتلك الحالة المنظورة ولعل ابسط مثال على ذلك هو وضع ( $N$ ) جسيمة (كره مثلا)

متميزة (مختلفة) في صف ، فهناك  $N!$  من الكيفيات . اما لو كان فيها  $N_1$  كرة

متشابهة و  $N_2$  كرة متشابهة من نوع آخر ،  $N_3$  متشابهة من نوع ثالث . الخ فإن

عدد الكيفيات في التوزيع (أو الاحتمالية الترموداينميكية) تنقلص فتصبح

$$\frac{N!}{\prod N_i!} = \frac{N!}{N_1! N_2! N_3!}$$

فكلما كانت ( $\Omega$ ) كبيرة تكون احتمالية تواجد النظام المتكون من ( $N$ ) جسيمة في

تلك الحالة ، اكبر . ولقد ذكرنا بانه في النظام المعزول تكون ( $U$ ) ، ( $N$ ) .

ثابتين . ولو فرضنا ان حجم النظام  $V$  ثابت ، فان حالة الاتزان تتم عندما تكون

$\Omega$  او  $\ln \Omega$  اقصاها ، وبعبارة اخرى فان  $du = 0$  ،  $dN_i = 0$  ،  $d \ln \Omega = 0$  لأن  $\sum N_i = N$  ،  $\sum \epsilon_i N_i = U$  ثابتين .

ولغرض اشتقاق توزيع ماكسويل - بولتزمان ، نستخدم المعادلة (٤ - ١) ونجد قيمتها العظمى ، بأخذ لوغاريتم الطرفين . وتقريبها باستخدام معادلة ستيرلنج (Stirling Formula) التالية :

$$\ln x ! \approx x \ln x - x \quad \dots \dots (٣ - ٤)$$

عندما تكون  $(X)$  اكبر من الواحد

$$\ln \Omega = (N_1 \ln g_1 - N_1 \ln N_1 + N_1) + (N_2 \ln g_2 - N_2 \ln N_2 + N_2) + \dots$$

$$= \sum N_i \ln g_i - \sum N_i \ln N_i + \sum N_i$$

$$\ln \Omega = \sum N_i \ln (g_i / N_i) + N \quad \dots (٥ - ٤)$$

$$d \ln \Omega = \sum d (N_i \ln (g_i / N_i)) = \sum \ln (g_i / N_i) dN_i = 0$$

$$\sum \epsilon_i dN_i = 0 \quad , \quad dN = \sum dN_i = 0$$

ولكن

$$\therefore \sum (\ln (g_i / N_i) + \ln \alpha - \epsilon_i \beta) dN_i = 0$$

حيث  $\ln \alpha, \beta$  تسميان ثابتاً (لاكرانج) الافتراضين . وبما ان  $dN_i$  لا يساوي

$$\ln (g_i / N_i) + \ln \alpha - \epsilon_i \beta = 0 \quad \text{صفرًا ، لذلك فان}$$

اي ان

$$N_i = \alpha \dots g_i e^{-\epsilon_i \beta} \quad \dots \dots (٦ - ٤)$$

وتسمى النتيجة الاخيرة دالة ماكسويل - بولتزمان .

$$N = \sum N_i = \sum \alpha g_i e^{-\epsilon_i \beta} \quad \text{كذلك}$$

$$\therefore \alpha = \frac{N}{\sum g_i e^{-\epsilon_i \beta}} = \frac{N}{Z} \quad \text{حيث :}$$

$$Z = \sum g_i e^{-\epsilon_i \beta} \quad (٧ - ٤)$$

وتسمى  $Z$  بدالة الحجز (Partition Function) بالانكليزية أو جمع الحالات (Zustand Summe) بالالمانية .

وتعتمد  $(Z)$  على خواص النظام وعلى تركيبه المجهرى . وان تعينها لنظام

ما ، هو في غاية الاهمية . وعليه فان المعادلة (٤ - ٦) تصبح (٤ - ٨) . . .

$$N_i = \frac{N}{Z} g_i e^{-\epsilon_i \beta} \quad \dots \dots \dots (٨ - ٤)$$

## (٤ - ٢) الانتروبي والاحتمالية الترموداينميكية :

لقد وجد الطالب في دراسته للترموداينمكس ، بان النظام المعزول يزداد فيه الانتروبي (S) عندما يمر النظام بعمليات غير عكسية ، وتصل قيمته الى ذروتها في حالة الاتزان . وكما ذكرنا سابقاً ، فان ( $\Omega$ ) هي ايضاً تبلغ ذروتها في حالة الاتزان لذلك فلا بد من علاقة تربط ( $\Omega$ ) مع (S) .

$$S = f(\Omega)$$

فلو تواجد نظامان (A) ، (B) في حالة تماس حراري ، فان الانتروبي لمجموعهما (S) يساوي ( $S_A + S_B$ ) لأنه كمية حجمية (Extensive) اما الاحتمالية الترموداينميكية ( $\Omega$ ) للنظامين فتساوي  $\Omega_A \cdot \Omega_B$  .

$$\Omega = \Omega_A \cdot \Omega_B$$

$$S = S_A + S_B \quad \text{ولكن :}$$

$$\therefore f(\Omega_A \Omega_B) = f(\Omega_A) + f(\Omega_B) \quad \text{كذلك :}$$

ولكن الدالة الوحيدة التي تحقق هذه العلاقة تكون لوغاريتمية  $S = k' \ln \Omega$  حيث  $k'$  كمية ثابتة . ولكن القانون الاول للثموداينمكس لنظام مقفل ( $dN = 0$ ) يُعرّف درجة الحرارة (T) بالصيغة  $du = Tds - pdv$

$$\frac{1}{T} = \left( \frac{\partial S}{\partial u} \right)_v \quad \dots (٤ - ٩)$$

وبما ان U, S يمكن حسابها بطرق الميكانيك الاحصائي (كما سنرى) ، لذلك فان المعادلة (٤ - ٩) تعطينا درجة الحرارة الكلفنية . وهي بذلك تبين كيف ان النظام المنظور لدرجة الحرارة يدخل في الميكانيك الاحصائي .

$$d \ln \Omega = \sum \ln \frac{g_i}{N_i} dN_i \quad \text{ومن (٤ - ٥) نحصل}$$

$$\ln \frac{g_i}{N_i} = \beta \epsilon_i - \ln \alpha \quad \text{كذلك :}$$

$$\therefore d \ln \Omega = \sum \beta \epsilon_i dN_i - \ln \alpha \sum dN_i$$

$$d \ln \Omega = \beta du$$

فنجد النتيجة :

$$\beta = \frac{\partial \ln \Omega}{\partial u} \quad \dots (١٠ - ٤)$$

$$S = k' \ln \Omega \quad \text{ولكن}$$

$$\beta = \frac{1}{k'} \left( \frac{\partial S}{\partial u} \right) v = \frac{1}{k' T}$$

ولغرض اكتشاف هوية الثابت  $k'$  نفترض  $(N)$  جزيئة من غاز مثالي تشغل حيزاً صغيراً  $(V)$  ، وان نفس العدد من هذه الجزيئات جعل يشغل حجماً اكبر  $(V_0)$  ، لذلك فان الاحتمالية النسبية لايجاد جزيئة واحدة في الحجم الصغير بدلا من الحجم الكبير تساوي  $\frac{V}{V_0}$  ، وان هذه الاحتمالية لجزيئتين تساوي  $\left(\frac{V}{V_0}\right)^2$  والى  $N$

جزيئة تساوي  $\left(\frac{V}{V_0}\right)^N$  اي ان

$$\frac{\Omega}{\Omega_0} = \left(\frac{V}{V_0}\right)^N$$

$$\therefore \ln \Omega - \ln \Omega_0 = N (\ln V - \ln V_0)$$

$$S - S_0 = k' N (\ln V - \ln V_0)$$

$$\therefore \left( \frac{\partial S}{\partial v} \right) T = k' \frac{N}{v}$$

وذلكن (من معادلات ماكسويل في الترموداينميكس)

$$\left( \frac{\partial S}{\partial V} \right) T = p / T$$

$$\therefore \frac{p}{T} = k' \frac{N}{V}$$

$$\therefore \frac{p}{T} = k \frac{N}{V} \quad \text{ولكن معادلة الغاز المثالي :}$$

$$\therefore k' = k = \text{BOLTZMANN 'S CONSTANT}$$

أي ان  $k'$  هو ثابت بولتزمان ( $k$ ) وعليه يكون :

$$\beta = \frac{1}{kT} \quad \dots\dots (١١ - ٤)$$

$$N_i = \frac{N}{Z} g_i \exp(-\epsilon_i / kT) \quad \dots\dots (١٢ - ٤) \quad \text{كذلك :}$$

$$S = k \ln \Omega \quad \dots\dots (١٣ - ٤)$$

$$Z = \sum g_i \exp(-\epsilon_i / kT) \quad \dots\dots (١٤ - ٤)$$

وتسمى الكمية  $\exp(-\epsilon_i / kT)$  معامل بولتزمان ، وهي دالة كثيرة التكرار في مختلف الحقول العلمية . وهي دالة سريعة التناقص مع انخفاض ( $T$ ) وزيادة ( $\epsilon_i$ ) . ونظراً لاحتواء الكمية ( $Z$ ) اهم المعلومات الاحصائية عن جسيمات النظام، لذلك فمن المفيد ان نعبر عن مختلف الاحداثيات الترموديناميكية بدلالة ( $Z$ ) .

فلو فاضلنا ( $١٤ - ٤$ ) . بدلالة ( $T$ ) تحت حجم ثابت نحصل :

$$\left( \frac{\partial Z}{\partial T} \right)_v = \sum g_i \frac{\epsilon_i}{kT^2} \exp(-\epsilon_i / kT)$$

$$= \frac{1}{kT^2} \sum g_i \epsilon_i \exp(-\epsilon_i / kT)$$

$$= \frac{Z}{NkT^2} \sum \epsilon_i N_i = \frac{ZU}{NkT^2}$$

$$\therefore U = NkT^2 \left( \frac{\partial \ln Z}{\partial T} \right)_v \quad \dots\dots (١٥ - ٣)$$



حيث  $U$  هي الطاقة الداخلية . ولكن :

$$\frac{N_i}{g_i} = \frac{N}{Z} \cdot \exp - \left( \frac{\epsilon_i}{kT} \right),$$

$$k \ln \Omega = S$$

$$\ln \Omega = \sum N_i \ln \frac{g_i}{N_i} + N \quad \text{وان :}$$

$$\therefore S = k \sum N_i \ln (g_i / N_i) + kN$$

$$= k \ln \frac{Z}{N} \sum dN_i + \frac{1}{T} \sum \epsilon_i N_i + kN$$

$$\therefore S = kN \ln \frac{Z}{N} + \frac{U}{T} + kN \quad \dots\dots (١٦-٤)$$

ومن القانون الأول للثرموداينميكس لنظام مفتوح يكون :

$$Tds = du + p dv - \mu dN$$

حيث  $\mu$  يسمى الجهد الكيميائي الجزئي (Chemical Potential)

$$\therefore P = - \left( \frac{\partial u}{\partial v} \right)_{T,N} + T \left( \frac{\partial s}{\partial v} \right)_{T,N}$$

$$= - \left[ \frac{\partial}{\partial v} (u - Ts) \right]_{T,N}$$

وتسمى الكمية  $(u - Ts)$  دالة هلمهولتز  $(F)$  او دالة الطاقة الحرة :

$$\therefore F = u - Ts$$

$$\therefore dF = du - Tds - sdT$$

ومن القانون الأول للثرموداينميكس اعلاه :

$$dF = - pdv - sdT + \mu dN$$

$$P = - \left( \frac{\partial F}{\partial v} \right)_{T,N} \quad \text{ومن هذه المعادلة نحصل :}$$

$$S = - \left( \frac{\partial F}{\partial T} \right)_{v,N} \quad \dots\dots\dots (١٧ - \text{ع})$$

$$\mu = - \left( \frac{\partial F}{\partial N} \right)_{T,v}$$

$$\therefore F = U + T \left( \frac{\partial F}{\partial T} \right)_{v,N}$$

$$U = F - T \left( \frac{\partial F}{\partial T} \right)_{v,N}$$

$$\therefore U = - T^2 \left( \frac{\partial}{\partial T} \right) \left( \frac{F}{T} \right)_{v,N}$$

$$U = NkT^2 \left( \frac{\partial \text{Ln } Z}{\partial T} \right)_{T,N} \quad \text{ولكن :}$$

$$\therefore F = - NkT \text{ , Ln } Z \quad \dots\dots\dots (١٨ - \text{ع})$$

وبالتعويض عن قيمة U,S بدلالة Z نحصل كذلك على :

$$P = NkT \left( \frac{\partial \text{Ln } Z}{\partial v} \right)_{T,N} \quad \dots\dots\dots (١٩ - \text{ع})$$

كذلك تكون :

$$\mu = - \left( \frac{\partial F}{\partial N} \right)_{T,v} = - kT \text{Ln } Z \quad \dots\dots\dots (٢٠ - \text{ع})$$

$$\therefore \text{Ln } Z = - \mu / kT, 1 / Z = \exp - \mu / kT$$

$$\therefore \frac{N_i}{g_i} = N \exp \left( \frac{\mu - \epsilon_i}{kT} \right) \quad \dots\dots\dots (٢١ - \text{ع})$$

حيث تمثل النسبة  $\frac{N_i}{N}$  معدل العدد الكسري للجسيمات في المستوى  $i$  ،  
كذلك  $\frac{N_i/N}{g_i}$  هو الكسر النسبي للجسيمات لحالة الطاقة الواحدة في أي مستوى .

### (٤ - ٣) التفسير الاحصائي للشغل والحرارة :

لقد ذكرنا في هذا الفصل بأنه في حالة الاتزان لعدد كبير من الجسيمات (N) الغير متميزة والشبه مستقلة في حيز صغير مكعب الشكل حجمه  $V$  وطول حرفه  $a$  فان توزيع الطاقة للجسيمات يمثل بالمعادلة :

$$\epsilon_i = n_i^2 \cdot \pi^2 \hbar^2 / 2ma^2$$

$$= \left( \frac{n_i^2 \cdot \pi^2 \hbar^2}{2m} \right) \cdot V^{-2/3}$$

فاذا ثبتنا  $n_i^2$  وأخذنا لوغاريتم الطرفين لمستوى الطاقة  $\epsilon_i$  نحصل :

$$\ln \epsilon_i = \ln (\pi^2 \hbar^2 / 2m) + \ln n_i^2 \quad n_i^2 = \frac{2}{3} \ln v$$

$$\therefore \frac{d\epsilon_i}{\epsilon_i} = - \frac{2}{3} \frac{dv}{v}$$

$$\therefore d\epsilon_i = - \frac{2 \epsilon_i}{3} \cdot \frac{dv}{v}$$

$$\sum N_i d\epsilon_i = U \quad \text{ولكن}$$

$$\therefore \sum N_i d\epsilon_i = - \frac{2 U}{3} \frac{dv}{v}$$

$$P = \frac{2}{3} \frac{U}{V} \quad \text{ولكن للغاز المثالي : (الفصل الأول)}$$

$$\therefore \sum N_i d\epsilon_i = - p dv = - dW \quad (٤ - ٢٢) \dots\dots\dots$$

أي أن تغير الحجم المسبب للشغل يؤدي الى تغير قيمة طاقة مستويات الطاقة بدون ان يؤثر على عدد نفوس تلك المستويات . وبما ان :  $U = \sum N_i \epsilon_i$

$$\therefore dU = \sum N_i d\epsilon_i + \sum \epsilon_i dN_i$$

$$= - dW + \sum \epsilon_i dN_i$$

$$\therefore dQ = du + dW = \sum \epsilon_i dN_i \quad \dots \dots (٢٣ - ٤)$$

لذلك فان التغيرات الحرارية ، تؤدي الى تغيرات في توزيع الجسيمات بين مستويات الطاقة بدون تغير في قيمة طاقة تلك المستويات .

#### (٤ - ٤) - بعض تطبيقات احصاء (ماكسويل - بولتزمان) :

(١) اشتقاق خواص الغاز الاحادي الذرة (الغاز المثالي) :

يملك الغاز المثالي طاقة حركية انتقالية فقط ، ولقد بينا في المعادلة (٢٩ - ٣) بأن الغاز الذي يشغل حيزاً كبيراً تتقارب فيه مستويات الطاقة بحيث يمكن اعتبار دالة الطاقة  $g(\epsilon)$  متصلة ، ويمكننا ان نعوض عن التحلل  $g(\epsilon)$  بالكمية  $g(\epsilon)d\epsilon$  وهي تمثل عدد الجزيئات التي طاقتها تنحصر بين  $(\epsilon)$  و  $\epsilon + d\epsilon$  ومن معادلة (٣٢ - ٣) نحصل :

$$g(\epsilon)d\epsilon = \frac{4\pi V}{h^3} (2m^3)^{1/2} \epsilon^{1/2} d\epsilon$$

$$Z = \sum g_i \exp - (\epsilon_i / kT) = \int_0^{\infty} g(\epsilon) \exp - \frac{\epsilon_i}{kT} d\epsilon$$

$$= \frac{4\pi V (2m^3)^{1/2}}{h^3} \int_0^{\infty} \epsilon^{1/2} \exp - \frac{\epsilon_i}{kT} d\epsilon$$

$$Z = \frac{4\pi V}{h^3} (2m^3)^{1/2} \cdot \frac{1}{2} [\pi(kT)^3]^{1/2}$$

وبالتبسيط يكون :

$$Z = \frac{V}{h^3} (2\pi mkT)^{3/2} \quad (٢٤ - ٤)$$

$$\therefore \text{Ln} Z = \text{Ln} V + \frac{3}{2} \text{Ln} T + \frac{3}{2} \text{Ln} \left( \frac{2\pi m k}{h^2} \right)$$

$$\therefore \left( \frac{\partial \text{Ln} Z}{\partial T} \right)_V = \frac{3}{2} \frac{1}{T}, \left( \frac{\partial \text{Ln} Z}{\partial V} \right)_T = \frac{1}{V}$$

$$\therefore U = NkT^2 \left( \frac{3}{2} \right) \frac{1}{T} = \frac{3}{2} N kT \quad \dots\dots (٢٥ - ٤)$$

$$p = \frac{2}{3} \frac{U}{V} \quad \text{ولكن}$$

$$p = \frac{NkT}{V} \quad \dots\dots (٢٦ - ٤)$$

كذلك نحصل مباشرة على :

$$S = Cv \text{Ln} T + R \text{Ln} V + R \text{Ln} \frac{(2\pi mk)^{3/2}}{N_0 h^3} + \frac{5R}{2} \quad \dots\dots (٢٧ - ٤)$$

للمول الواحد ، أو :

$$S = R \text{Ln} (VT^{3/2}) + S_0 \quad \dots\dots (٢٨ - ٤) \quad \text{(معادلة ساكور- تروود)}$$

ولقد سبق واشتقنا بعض العلاقات الأخيرة بواسطة النظرية الحركية للغازات ، ولكن تلك النظرية عجزت عن اعطاء القيمة المطلقة للانثروبي ( $S_0$ ) بدلالة الكمية القابلة للقياس . أما الميكانيك الاحصائي فلقد اشتق هذه الكميات بطريقة مستقلة وبعمق أكبر .

## (٢) مبدأ تسوى اقتسام الطاقة :

Equipartition of energy principle

لقد تطرقنا الى هذا المبدأ في الفصل الأول وبصورة اولية وكان فيها الكثير من

الحدس ، ولم تتمكن من معرفة أي أنواع من الطاقة يشملها هذا المبدأ، لأن بعض أشكال الطاقة كامنة مصدرها قوى محافظة (مثل المجالات الشاقولية والكهرومغناطيسية) حيث تعتمد الطاقة هذه على الاحداثي المتغير ، اما البعض الآخر فيعتمد على مربع الاحداثي (مثل الطاقة الحركية الدورانية والانتقالية والاهتزازية ) لذلك فأبي من أشكال هذه الطاقة يشمل مبدأ تساوي اقتسام الطاقة ؟ . ولقد أجاب على ذلك الميكانيك الاحصائي . فلو كانت طاقة الجزيئة (ε) تتكون من عدد من الحدود ، حيث أن هذه الحدود  $\epsilon = \epsilon_1 + \epsilon_2 + \epsilon_3 + \dots$  تعتمد عموماً على عدد من الاحداثيات (مثل مركبات السرعة والارتفاع الشاقولي في المجال الشاقلي ، والزاوية التي تصنعها الجزيئة الشائئة القطب في المجال الكهربائي .. الخ ) ، لذلك :

$$Z = \sum \text{Exp} - \epsilon / kT = \sum \text{Exp} - \frac{(\epsilon_1 + \epsilon_2 + \epsilon_3 + \dots)}{kT}$$

$$= Z_1 \cdot Z_2 \cdot Z_3 \cdot \dots$$

$$\beta = \frac{I}{KT} , \quad \frac{U}{N} = \bar{\epsilon} \quad \text{ولكن متوسط الطاقة للجسيمة :}$$

$$\therefore \bar{\epsilon} = kT^2 \left( \frac{\partial \text{Ln } Z}{\partial T} \right)_v = - \frac{\partial \text{Ln } Z}{\partial \beta} \quad \dots \dots \dots (29 - 4)$$

فلو فرضنا ان كل حد من حدود الطاقة (ε) يعتمد على مربع المتغير (X) ، وهي دالة متصلة الى (X) بحيث يمكن تمثيلها بالصيغة (ax<sup>2</sup>) فإن :

$$\epsilon_f = a_1 X_1^2 + a_2 X_2^2 + \dots a_f X_f^2$$

$$\therefore Z = \int_0^\infty \text{Exp} - a_1 X_1^2 \beta \cdot dX_1 \int_0^\infty \text{Exp} - a_2 X_2^2 \beta \cdot dX_2 \dots \int_0^\infty \text{Exp} -$$

$$a_f X_f^2 \beta dX_f \leftarrow a_f X_f^2 \beta dX_f$$

$$= \beta^{-\frac{F}{2}} K_1 K_2 \dots K_f$$

$$\frac{1}{kT} = \beta \quad \text{حيث } K_f \text{ ثابت لا يحتوي على } \beta \text{ حيث :}$$

$$\dots \bar{\epsilon} = - \frac{\partial \text{Ln} Z}{\partial \beta} = \frac{f}{2\beta} = \frac{f kT}{2} \quad \dots \dots \dots (٤ - ٣٠)$$

ان هذه النتيجة الرائعة لا يمكن الوصول اليها لو كانت الحدود خالية من مربع الاحداثي المتغير ، او كانت الدالة غير متصلة (الطاقة المكتمة) لذلك فان مبدأ تساوي اقتسام الطاقة ينص على ما يلي :

(النظام الذي يحتوي على عدد كبير من الجسيمات الغير متميزة والشبه المستقلة بحيث ان طاقتها يعبر عنها بمجموع من الحدود (f) المربعة وكانت في حالة اتزان فان متوسط الطاقة للجسيمة الواحدة تساوي  $(\frac{1}{2} f kT)$  .

لذلك فان هذه الشروط لا تنطبق على الطاقة الكامنة التثاقلية او الكهرومغناطيسية لأن الطاقة دالة خطية الى المتغير (X)، وكذلك للطاقة الدورانية والاهتزازية وطاقة التهييج الالكتروني للجزيئات ؛ لأن طاقتها مكتمة (الدالة غير متصلة) اضافة الى ان طاقة هذه الحالات الأخيرة لا تكون دالة بسيطة لدرجة الحرارة . (T)

### (٣) اشتقاق قانون ماكسويل لتوزيع السرعة :

$$N_i = \frac{N}{Z} g_i \text{Exp} - \epsilon_i / kT \quad \text{لنرجعنا الى المعادلة (٣ - ٤٥)}$$

$$dN(\epsilon) = g_i = g(\epsilon) d\epsilon = \frac{4\pi V}{h^3} (2m^3)^{1/2} \epsilon^{1/2} d\epsilon \quad \text{وكذلك المعادلة :}$$

واستعضنا عن  $N_i$  بدلالة  $dN(\epsilon)$  فان :

$$dN(\epsilon) = \frac{N}{Z} \cdot \frac{4\pi V}{h^3} (2m^3)^{1/2} \epsilon^{1/2} \text{Exp} - \epsilon_i / kT d\epsilon$$

وبما ان الغاز مثالي بالفرض ، فيكون  $Z$  (٤ - ٢٤) .

$$Z = \frac{V}{h^3} (2\pi mkT)^{3/2}$$

$$\therefore \frac{dN(\epsilon)}{d\epsilon} = \frac{2\pi N}{(\pi kT)^{3/2}} \epsilon^{1/2} \exp - \epsilon / kT \dots \dots (٣١ - ٤)$$

وهي تمثل معادلة ماكسويل لتوزيع طاقة الجزيئات . أما اذا اردنا تحويلها بدلالة الانطلاق (Speed) فنعوض عن  $dN(\epsilon)/d\epsilon$  بالمقدار المكافئ

$$\frac{1}{mc} \frac{dn(c)}{dc}$$

$$\epsilon = \frac{1}{2} mc^2 \quad : \quad \text{لأن}$$

$$\frac{dN(c)}{dc} = \frac{dN(\epsilon)}{d\epsilon} \cdot \frac{d\epsilon}{dc} , \quad mc = \frac{d\epsilon}{dC}$$

$$\therefore \frac{dN(c)}{dc} = 4\pi N \left( \frac{m}{2\pi kT} \right)^{3/2} c^2 \exp - \frac{mc^2}{2kT} \dots (٣٢ - ٤)$$

وهي تمثل معادلة ماكسويل لتوزيع السرعة ، ولقد اشتق ماكسويل هذه العلاقة عام ١٨٥٧ ، بطريقة مغايرة وجدها القاريء في الفصل الأول .

(Barometric Equation)

#### (٤) المعادلة المروازية

وهي معادلة تربط العلاقة بين الضغط الجوي والارتفاع ودرجة الحرارة للهواء الجوي. ولقد أمكن اشتقاقها بسهولة في الترموداينميكس اما اشتقاقها بطريقة الميكانيك الأحصائي على جزيئات الهواء الجوي ، ففيه شيء من الصعوبة ، وسوف نستقها بأسهل الطرق .

ان جزيئة الغاز على ارتفاع (Z) فوق سطح الأرض تتكون طاقتها من طاقة كامنة (mg Z) تثاقلية ، ومن طاقة حركية إنتقالية ( $\frac{1}{2} mc^2$ ) فاذا اخذنا مقطعاً أفقياً من الهواء مساحته (dA) حيث  $dA = dXdy$  فان :



$$\epsilon = \frac{1}{2} m C^2 + mg Z = \frac{1}{2} m u^2 + \frac{1}{2} m V^2 + \frac{1}{2} m W^2 + mg Z$$

فإذا افترضنا ثبوت درجة الحرارة (T) فإن :

$$Z = \sum g_i \exp - (\epsilon_i / kT)$$

$$= \frac{\int dx dy dz dp_x dp_y dp_z \exp - \epsilon_i / kT}{h^3}$$

$$g_i = \frac{dx dy dz dp_x dp_y dp_z}{h^3} \quad \text{لأن عدد خلايا الطور تساوي :}$$

حيث ( $h^3$ ) يمثل حجم الخلية الواحدة في فضاء الطور،  $p = mc$ ،  $dp_x = m du$  . . . الخ

$$Z = \frac{m^3}{h^3} \int \int dx dy \cdot \int_0^\infty \exp - mgz / kT dz \int_0^\infty \exp - \frac{mu^2}{2kT} du \int_0^\infty \exp - \left( \frac{mv^2}{2kT} \right) dv \int_0^\infty$$

$$\exp - \frac{mW^2}{2KT} dW$$

$$= \frac{m^3}{h^3} A \left( \frac{kT}{mg} \right) \cdot \left( \frac{2\pi kT}{m} \right)^{3/2}$$

$$\int_0^\infty \exp - aX^2 dx = \frac{1}{2} \left( \frac{\pi}{a} \right)^{1/2}, A = \int \int dx dy \quad \text{حيث :}$$

ولو عوضنا عن  $g_i$  بالمقدار  $d g_i$  و  $N_i$  بالمقدار  $dN(\epsilon)$  حيث  $d g_i$  عدد خلايا فضاء الطور المحصورة بين مستوى الطاقة  $\epsilon$  ،  $(d\epsilon + \epsilon)$  فإن :

$$dN_i = \frac{N}{Z} d g_i \cdot \exp - \epsilon_i / kT$$

$$= \frac{N h^3 mg}{m^3 A kT} \left( m / 2\pi kT \right)^{3/2} \frac{dx dy dz dp_x \cdot dp_y dp_z}{h^3} \exp - \epsilon_i / kT$$

السرع ، فإن :

$$= \frac{N mg}{A kT} \cdot \left( \frac{m}{2\pi kT} \right)^{3/2} \exp - \epsilon_i / kT dx dy dz du dv dw$$

ولحساب التوزيع العددي للجزيئات مع الارتفاع لتشمل جميع السرع فإن :

$$(dN_Z) = \frac{Nmg}{AkT} \left( \frac{m}{2\pi kT} \right)^{3/2} e^{-\frac{mgz}{kT}} \iiint_0^\infty \frac{m}{2kT} (u^2 + v^2 + w^2) dx dy dz$$

$$(dN_Z) = \left( \frac{Nmg}{AkT} \right) e^{-mgZ/kT} . dx dy dz$$

$$\frac{dN(Z)}{dx dy dz} = n \quad \text{وبما ان الكثافة الجزيئية :}$$

$$. . n = \frac{Nmg}{AkT} e^{-mgz/kT}$$

$$n = n_0 e^{-mgz/kT} \quad \dots\dots\dots (٣٣ - ٤)$$

حيث  $n_0 = n$  عند سطح الأرض ( $Z = 0$ )

ولقد استخدم العالم الفرنسي (جين بيرين ١٩٠٩) هذه المعادلة لاستخراج عدد أفوكادرو للمحاليل الغروية .

وبما ان  $n = p / kT$  لذلك فان المعادلة (٣ - ٧٠) تصبح :

$$p = P_0 e^{-mgZ/kT} \quad (٣٤ - ٤)$$

وهي المعادلة المروازية لجوتثبت فيه درجة الحرارة (جوايزوثيرمي) وهي تسمى احياناً معادلة الأجواء (Equation of atmospheres)

## (٥) اشتقاق معادلة كلاوزيوس - كلايرون احصائياً :

لقد اشتقت معادلة كلاوزيوس - كلايرون في الثرموداينميكس باستخدام نوع من دورة كارنو ، وتعتبر هذه المعادلة من أكثر المعادلات الثرموداينمكية فائدة ولا سيما في عمليات التكثيف والانجهاذ والتسامي في الجو الأرضي . وهي تعطينا العلاقة بين ضغط بخار المادة ودرجة حرارة تحولها ، عندما ينصهر او يتبخر او يتسامى الجسم . ويعبر عنها بالعلاقة المألوفة :

$$\frac{dp}{dT} = \frac{L}{T(V_2 - V_1)} \quad (٤ - ٣٥) \dots\dots$$

حيث (L) هي الحرارة الكامنة للتحويل  $V_2, V_1$  حجم وحدة الكتل من المادة عندما تتحول من الحالة الأولى ( $V_1$ ) الى الحالة الثانية ( $V_2$ ) فقد تكون لوحدة الكتل (غم او كغم) او (مول) ،  $p$  ضغط البخار المشبع بدرجة (T) ، ويقاس بوحدات نيوتن / م<sup>٢</sup> .

ففي حالة تبخر الماء مثلاً فان :

$$V_2 = 1671 \frac{\text{Cm}^3}{\text{gm}} , \quad V_1 = 1 \text{ Cm}^3 / \text{gm}$$

وعليه يمكن اهمال ( $V_1$ ) مقارنة بـ ( $V_2$ ) :

$$\therefore \frac{dP_v}{dT} = \frac{L_v}{TV_2} \quad (٤ - ٣٦) \dots\dots\dots$$

$$\rho = \frac{P}{rT} = \frac{I}{V_2} \quad \text{ولكن :}$$

حيث ( $\rho$ ) كثافة البخار ،  $r$  ثابت الغاز للكيلوغرام) ،  $V_2$  (م<sup>٣</sup>/كغم) على فرض ان بخار الماء يخضع لقانون الغازات ، فتصبح (٤ - ٣٦) .

$$\frac{dP_v}{dT} = \frac{L_v}{r} \cdot \frac{dT}{T^2} \quad (٤ - ٣٧) \dots\dots\dots$$

فاذا اعتبرنا  $L_v$  ثابتة مع (T) فيمكن تكامل المعادلة الأخيرة لايجاد العلاقة بين ضغط بخار الماء المشبع ودرجة حرارته (T) . وسوف نستخدم احصاء ماكسويل - بولتزمان بطريقة تقريبية لاشتقاق المعادلة اعلاه ، فلو أخذنا حجمين متساويين من وعاء مقفل فيه سائل متزن مع بخاره بدرجة (T) يحتوي البخار على ( $N_v$ ) جزيئة والسائل على ( $N_l$ ) جزيئة ، فاذا اعتبرنا البخار غاز مثالي طاقته المميزة  $Ev$  تقارب  $kT$  فان الطاقة الكامنة ( $E_l$ ) لجزيئات السائل تزيد كثيراً على  $Ev$  وتكون سالبة بسبب قوى التجاذب الجزيئية . فلو اعتبرنا البخار والسائل نظامين منفصلين ولكن

متزنين بدرجة حرارة (T) فان :

$$\frac{N_v}{N_l} = \frac{e^{-E_v/kT}}{e^{-E_l/kT}} = e^{-(E_v - E_l)/kT} \approx e^{-E/kT}$$

لأن :  $\therefore -E \approx E_l$

$$\therefore N_v = N_l e^{-E/kT}$$

وبضرب الطرفين في  $\frac{kT}{V}$  نحصل :

$$N_v \cdot \frac{kT}{V} = \frac{N_l kT}{V} e^{-E/kT}$$

$$\therefore P_v = \frac{N_l kT}{V} e^{-E/kT}$$

لأن  $P = \frac{NkT}{V}$  للغاز المثالي :

$$\therefore \frac{dP_v}{dT} = \frac{P_v}{T} \cdot \frac{(I + E)}{kT} \approx \frac{P_v E}{kT^2}$$

لأن E اكبر بكثير من kT بالفرض .

وباستخدام معادلة الغاز المثالي ، نحصل على المعادلة (٣ - ٧٣)

$$\therefore \frac{dP_v}{dT} = \frac{N_v E}{T \cdot V} = \frac{L_v}{TV}$$

حيث  $L_v = N_v E$  ، عدد جزيئات وحدة الكتلة .

(٦) - قاعدة العشرة درجات : (The ten degrees rule)

من القواعد المعروفة لدى علماء الكيمياء والأحياء بالخبرة ، بان التفاعل الكيميائي يتضاعف تقريباً كلما ارتفعت درجة الحرارة ، بمقدار (١٠ س°) وان الزيادة الفعلية تعتمد على طبيعة المواد المتفاعلة وعلى درجة الحرارة . وان اساس

هذه القاعدة ينبع من اعتماد التفاعل على عامل (بولتزمان)  $(e^{-E/kT})$  حيث (E) في هذه الحالة تسمى طاقة التنشيط (E) Activation energy المميزة للكثير من التفاعلات الكيميائية والتي تقارب الكترون فولط واحد تقريباً للمول الواحد . ففي التفاعل  $n_A$  جزيئة من المادة (A) مع  $n_B$  جزيئة من المادة (B) لتكوين المركب AB حيث :

$$A + B \longrightarrow AB$$

تكون سرعة التفاعل (R) يعبر عنه بالمعادلة :

$$R = k_f n_A n_B e^{-E_0 / kt} \quad \dots (٣٨ - ٤)$$

$k_f$  يسمى معامل التفاعل ويعتمد على درجة الحرارة ولكنه لا يتغير بالسرعة التي يتغير بها معامل (بولتزمان) مع درجة الحرارة . فمثلاً تبلغ قيمة  $\frac{E_0}{kt}$  قرابة

$$(٣٠) \text{ في درجة } ٤٠٠ \text{ ك فاذا ارتفعت درجة الحرارة بمقدار } (\delta T) \text{ فان } \frac{E_0}{k(T + \delta T)}$$

تقارب  $\frac{E_0}{kT} (1 - \frac{\delta T}{T})$  أي ان اس القوة قد تغير بمقدار  $\frac{\delta T}{T} 30$  . أي انه لو تغيرت درجة الحرارة بمقدار ١٪ فان قيمة التغير يساوي ٣٠٪ ، لذلك فان النسبة بين التفاعل عند  $T + \delta T, T$  يعبر عنها بالعلاقة :

$$\frac{R(T + \delta T)}{R(T)} \approx e^{30\delta T/T} \quad \dots (٣٩ - ٤)$$

فلو تضاعفت سرعة التفاعل في درجة ٤٠٠ ك فان  $\delta T$  تقارب (٩) س° . ومن هنا جاءت قاعدة العشر درجات .

ان اعتماد التفاعلات الكيميائية (ولا سيما في الكائنات الحية) على درجة الحرارة بهذه الحساسية ، جعل الكثير من الكائنات الحية تنقرض ولا سيما ذوات الدم البارد ، لأنها لم تتمكن من التكيف لارتفاع او انخفاض درجات الحرارة في الجو الارض عبر العصور الجيولوجية السحيقة ، وخاصة في الحقب الجليدية المتأخرة والتي أدت الى نشوء الانسان .

## (٧) - النظرية البارامغناطيسية :

إذا سلط مجال مغناطيسي شدة تدفقه (B) على مادة ما فإن مستوى افلاك الالكترونات سوف تدور (Precess) ويتغير الزخم الزاوي للالكترون بحيث ان العزم المغناطيسي للذرة سوف يتقلص وتصبح الذرة دايا مغناطيسية (عكسية التمعنط) اي ان المادة تتمغنط بالاتجاه المعاكس للمجال الخارجي الممعنط وهذا يحصل خاصة في المواد التي تكون فيها جميع المدارات الداخلية مشغولة بالالكترونات ومتناظرة . ويكون عزمها المغناطيسي صغيراً بصورة عامة . ومن المتوقع ان هذه المواد لا تتأثر بالحرارة او التفاعلات الكيميائية ، وخير مثال على هذه المواد هو (البزموث) . اما ذرات الأتربة القلوية والمواد الحديدية فان لذراتها عزم مغناطيسي دائم خاص بها ، بسبب كون مدارات الكتروناتها الداخلية غير مكتملة الامتلاء بالالكترونات ، لذلك فان هذه المواد تنتظم مع المجال المغناطيسي الخارجي وتقويه ، وتسمى هذه المواد (البارامغناطيسية) ، وبما ان هذه العملية تشمل دوران الذرة بأكملها عند التمعنط فان هذه الذرات تتأثر بالحرارة والتفاعلات الكيميائية مثل سائل الاوكسجين .

وتتواجد ظاهرة الدايامغناطيسية في جميع الذرات ولكنها لا تبرز احياناً في بعضها بسبب ظاهرة البارامغناطيسية المتغلبة عليها . فاذا دار الكترون حول نواة الذرة او حول نفسه ، فانه يكافئ صدفة مغناطيسية (Magnetic Shell) عزمها المغناطيسي ( $\mu$ ) يساوي ( $\pi r^2 I$ ) حيث ( $r$ ) هو نصف قطر الدوران ، ( $I$ ) التيار الالكتروني ، حيث :

$$..... (٤٠ - ٤)$$

$$I = \frac{e}{T} = \frac{e}{\frac{2\pi r}{v}} = \frac{ev}{2\pi r}$$

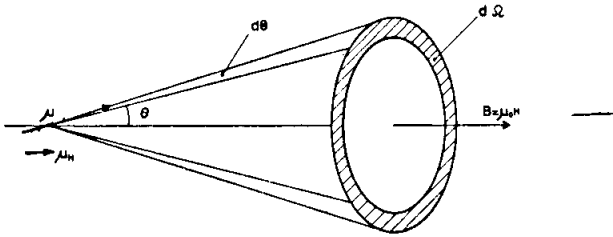
(e) هي شحنة الالكترون  $v$  سرعة المماسية  $T$  مدة الدوران . وبما ان نظرية التكميم للزخم الزاوي (P) حسب نظرية (بور) يعبر عنه بالعلاقة

$$P = i\hbar = mV.r \quad .... (٤١ - ٤)$$

(i) عدد صحيح موجب (١، ٢، ٣، ...) .

$$\mu = \pi r^2 I = \frac{\text{rev}}{2} = \frac{i(e\hbar)}{2m} = i\mu_B \quad \dots (٤ - ٤٢)$$

ويسمى  $\mu_B$  (مكتون بور) وقيمته  $9.274 \times 10^{-24}$  امبير / م .  
ولكي نعالج النظرية البارامغناطيسية ولتفسير قانون (كوري) التجريبي ،  
سوف نأخذ غازاً بارامغناطيسياً (مثل  $O_2$ ) مع إهمال قوة التأثيرات الجزيئية - وهذا ما  
تبرره التجربة - ونضعه في مجال مغناطيسي شدة تدفقه (B) ويصنع زاوية  $(\theta)$  مع اتجاه  
العزم المغناطيسي ( $\mu$ ) فان عزم القوة ( $\tau$ ) المؤثرة عليه هو  $\tau = \mu B \sin \theta$  وان الشغل  
المصرف (الطاقة الكامنة المغناطيسية E) لتدوير الجزيئة من زاوية صفر الى  $(\theta)$   
يساوي :



المخطط (٤ - ١) العزم المغناطيسي ( $\mu$ ) دالة متصلة

$$E = \int_0^\theta \tau d\theta = \mu B \int_0^\theta \sin \theta d\theta = -\mu B \cos \theta \quad \dots (٤ - ٤٣)$$

فلو اخذنا الاحصاء التقليدي ، فانه يفترض ان طاقة الجزيئة (E) هذه هي  
دالة متصلة للزاوية  $(\theta)$  وتتراوح هذه الزاوية من (صفر) الى  $(\pi)$  كما من المخطط

$$Z = \int e^{-E/kT} d\Omega \quad \text{لذلك فان :} \quad (٤ - ٨)$$

$$Z = \int e^{-\mu B \cos \theta / kT} d\Omega$$

حيث  $d\Omega$  عنصر الزاوية المجسمة المحصورة بين  $\theta$  ،  $\theta + d\theta$  حيث :  
 $d\Omega = 2\pi \sin \theta d\theta = dg$

$$Z = 2\pi \int_0^\pi e^{-\mu B \cos \theta / kT} \sin \theta d\theta = 4\pi \left( \frac{kT}{B\mu} \right) \sinh \left( \frac{\mu B}{kT} \right)$$

$$\therefore N_i = \frac{N}{Z} e^{-E_i / kT} \quad \text{ولكن :}$$

$$n_i = \frac{n}{Z} e^{-E_i / kT} \quad \text{ولوحدة الحجم يكون :}$$

ولحساب معدل العزم المغناطيسي الموازي للمجال ( $\bar{\mu}_H$ ) لهذه الجزيئات فان :

$$\begin{aligned} \bar{\mu}_H &= \frac{1}{Z} \int_0^\pi \mu \cos \Theta e^{-\mu B \cos \Theta / kT} \pi \sin \Theta d\Theta \\ &= \mu \left[ \coth \left( \frac{\mu B}{kT} \right) - \frac{kT}{\mu B} \right] \quad \dots (4-45) \end{aligned}$$

وتسمى هذه العلاقة معادلة (لانجفين) Langvin's formula ففي درجات الحرارة الواطئة والمجال القوي ( $\mu B$  أكبر كثيراً من  $kT$ ) فان :

$$\coth \frac{\mu B}{kT} \longrightarrow 1 \quad \frac{kT}{\mu B} \longrightarrow 0$$

$$\therefore \bar{\mu}_H \rightarrow \mu \quad \therefore \bar{M}_H \rightarrow M_{\text{sat}}$$

حيث  $M_{\text{sat}}$  هو عزم الاشباع المغناطيسي ، حيث  $M = n\mu$  ويسمى  $M$  الاستقطاب (العزم المغناطيسي لوحدة الحجم) .

أي أن الجزيئات عند الصفر المطلق والمجال القوي ، تنتظم كلها مع المجال المغناطيسي المسلط . اما اذا كان المجال ضعيفاً ودرجة الحرارة مرتفعة ( $\mu B$  أقل بكثير من  $kT$ ) فان :

$$\begin{aligned} \coth X &\approx \frac{1}{X} + \frac{X}{3} \\ X &= \frac{\mu B}{kT} \end{aligned}$$



$$\bar{\mu}_H = \frac{\mu_0 B}{3 kT}$$

وعليه فان الاستقطاب (M)

$$\bar{M}_H = \frac{n \mu^2 \mu_r}{3 kT} \quad \frac{H}{T} = C \frac{H}{T} \quad \dots (46-4)$$

حيث  $B = \mu_0 H$  للمواد البارامغناطيسية C ثابت كيوري  $\mu_r$  هي النفاذية المغناطيسية للوسط الذي يمر فيه المجال المغناطيسي (H). وتسمى المعادلة (46-4) معادلة كيوري . وبقياس (C) يمكن حساب ( $\mu$ ) . فللاوكسجين مثلاً :  $\mu = 3 \mu_B$

أما النظرية الحديثة والتي تفترض ان الفضاء مكتمم ، أي ان الجزيئة المغناطيسية تأخذ اتجاهات محدد في الفضاء ، لذلك فان طاقتها مكتممة ، ولقد ايد ذلك تجربة (كيرلاخ - شتيرن) على ذرات الفضة (لكونها مكتممة باتجاه معاكس للمجال الخارجي) . لذلك فاذا اخذنا حالة شبيهة بذرات الفضة فان :

$$Z = e^{-\mu B / kT} + e^{+\mu B / kT} = 2 \cosh X$$

$$(\cos \pi = -1), E \downarrow \uparrow = \mu B \quad , \quad (\cos 0 = 1) E \uparrow \downarrow = -\mu B, X = \frac{\mu B}{kT} \quad \text{لأن}$$

$$\dots n_i = \frac{n}{Z} e^{-x_i} = \frac{n}{2 \cosh x} e^{-x_i}$$

وعليه فان (الجزيئات الموازية للمجال) :

$$n_1 = n \uparrow \downarrow = \frac{n}{2 \cosh x} e^x$$

$$n_2 = n \downarrow \uparrow = \frac{n}{2 \cosh x} e^{-x} \quad \text{:(للجزيئات المعاكسة للمجال)}$$

$$\dots M = \mu (n_2 - n_1) = \frac{\mu n}{2 \cosh x} (e^x - e^{-x})$$

$$\dots M = \mu n \cdot \tanh X = M_{\text{sat}} \tanh x \quad \dots (47-4)$$

لذلك فللمجال القوي ودرجة الحرارة الواطئة يكون Msat (عزم الأشباع

$$M \approx \mu n \approx Msat \quad \text{المغناطيسي) :}$$

أما للمجال الضعيف وللحرارة العالية فان :

$$M \approx \left( \frac{n \mu^2 \mu r}{k} \right) \frac{H}{T} = \frac{c' H}{T} \quad \dots (٨٤ - ٤)$$

أي ان معامل كيوري في هذه الحالة هو ثلاثة اضعاف قيمته التقليدية .

### أمثلة محلولة

١ - اذا كانت قيم الطاقة الممكنة لنظام من جسيمات هي  $0, E, 2E, 3E, \dots, nE$

(أ) برهن ان دالة الحجز (Z) عندما يكون  $1 = g_i$  تساوي :

$$Z = \frac{1}{1 - e^{-E/kT}}$$

(ب) احسب متوسط الطاقة لهذه الجسيمات .

(ج) جد غاية متوسط الطاقة عندما تكون E اقل من kT

الحل :

$$i = n \\ Z = \sum_{i=0} g_i e^{-E_i/kT} \\ i = 0$$

(أ) ....

$$= 1 + e^{-E/kT} + e^{-2E/kT} + \dots = 1 + x + x^2 + x^3 + \dots + x^n$$

$$= \frac{1}{1 - X} = \frac{1}{1 - e^{-E/kT}}$$

وذلك لأن (X)  $e^{-E/kT}$  أقل من الوحدة عندما تكون E أكبر من kT

$$\ln Z = -\ln(1 - X) \quad \text{(ب) :}$$

$$\dots \frac{\partial \ln Z}{\partial T} = \frac{E}{kT} \cdot \frac{1}{e^{E/kT} - 1}$$

$$\dots U = NkT^2 \left( \frac{\partial \ln Z}{\partial T} \right)_V = \frac{NE}{e^{E/kT} - 1}$$

$$\therefore \bar{E} = \frac{U}{N} = \frac{E}{(e^{E/kT} - 1)}$$

(ج) وعندما تكون E اصغر من kT فان :

$$e^{E/kT} - 1 \approx \frac{E}{kT}$$

$$\therefore \bar{E} \approx kT$$

(٢) نظام يتكون من (N) جسيمة تمتلك حالتين من الطاقة (E) أي (±E) ولكنها حركية انتقالية . برهن ان درجة الحرارة الكلفينية (T) يعبر عنها بالعلاقة :

$$\frac{1}{T} = \frac{k}{2E} \ln \frac{NE - U}{NE + U}$$

$$Z = \sum g_i e^{-E_i/kT}$$

$$= e^{-E/kT} + e^{+E/kT} \quad \text{الحل :}$$

$$\therefore N_i = \frac{N}{Z} e^{-E_i/kT}$$

$$U = \sum N_i E_i = N_1 E_1 + N_2 E_2$$

$$= \frac{N}{Z} (E e^{-E/kT} - E e^{+E/kT})$$

$$= EN \frac{(e^{-E/kT} - e^{+E/kT})}{(e^{-E/kT} + e^{+E/kT})}$$

وبضرب الطرفين في الوسطين ونقل الحدود المتشابهة في المعامل الأسّي

نحصل :

$$(EN - U) e^{-E/kT} = (U + EN) e^{+E/kT}$$

$$\therefore \frac{NE - U}{NE + U} = \frac{e + 2E / kT}{1}$$

$$\therefore \text{Ln} \frac{NE - U}{NE + U} = \frac{2E}{kT}$$

$$\frac{I}{T} = \frac{k}{2E} \text{Ln} \frac{NE - U}{NE + U}$$

(٣) مجموعة (N) من الجسيمات المتميزة موزعة على مستويي طاقة غير متحللة  $E_2 = E, E_1 = 0$  وهي بحالة اتزان ثرموداينميكي بدرجة حرارة (T) احسب :

(أ) دالة الحجز . (ب) النسبة بين التوزيع في المستويين . (ج) الطاقة الداخلية للمجموعة . (د) انتروبي المجموعة . (هـ) السعة الحرارية  $C_v$  للنظام .

$$Z = \sum e^{-E_i / kT} = I + e^{-kT}$$

$$\frac{N_1}{N} = \frac{e^{-E_1 / kT}}{Z} \therefore \frac{N_1}{N} = \frac{I}{I + e^{-E / kT}} \quad (\text{أ})$$

$$\frac{N_2}{N} = \frac{I}{I + e^{E / kT}} \therefore \frac{N_1}{N_2} = \frac{I + e^{E / kT}}{I + e^{-E / kT}} \quad (\text{ب})$$

$$U = \sum N_i E_i = N_2 E = \frac{NE}{I + e^{E / kT}} \quad (\text{ج})$$

$$F = -NkT \text{Ln} Z \quad (\text{د}) \text{ دالة هلمهولتر (الطاقة الحرة)}$$

$$S = -\frac{\partial F}{\partial T} = Nk \text{Ln}(I + e^{-E / kT}) + \frac{NE}{T(I + e^{E / kT})} \quad (\text{الانتروبي})$$

$$\therefore \therefore \therefore C_v = \frac{\partial U}{\partial T} = Nk \frac{X^2 e^X}{(1 + e^X)^2} \quad (\text{هـ})$$

$$X = \frac{E}{kT} \quad \text{حيث :}$$

(٤) مجموعة تتكون من ٣٠ جسيمة متميزة ، موزعة بالتساوي على ثلاث مستويات طاقة غير متحللة بحيث  $E_1 = 2, E_2 = 4, E_3 = 6$  (مقدرة بالالكترون فولت). فلو نقصت المجموعة في المستوى الثاني بمقدار جسيمتين ؛ اوجد التغير في سكان المستويين الآخرين في حالة الاتزان الترموداينميكي ، واحسب النسبة بين قيم الاحتمالين الترموداينميين للتوزيعين .

$$N_1 = N_2 = N_3 = 10 \quad N_1 + N_2 + N_3 = 30 = \text{CONSTANT}$$

$$\delta N_2 = -2 \quad \delta N_1 + \delta N_3 = -\delta N_2 = 2 \quad \dots \dots (I) \quad \text{الحل :}$$

$$\dots U = \sum N_i E_i = \text{CONSTANT} \dots du = 0$$

$$\dots \delta N_1 E_1 + \delta N_2 E_2 + \delta N_3 E_3 = 0$$

$$\dots \delta N_1 + 3 \delta N_3 = 4 \quad \dots \dots \dots (2) \quad \text{وبالتعويض نحصل :}$$

$$\delta N_1 = \delta N_3 = 1 \quad \text{وبحل المعادلتين نجد :}$$

اما الاحتمالية الترموداينميكية ( $\Omega$ ) (راجع بداية الفصل).

$$\Omega = \frac{N!}{N_1! N_2! N_3!} \quad \text{فهي :}$$

$$\dots \Omega_1 = \frac{30!}{10! 10! 10!} \quad , \quad \Omega_2 = \frac{30!}{11! 8! 11!}$$

$$\dots \frac{\Omega_1}{\Omega_2} = \frac{(11!)^2 8!}{(10!)^3} \frac{121}{90} \quad \text{أي أن التوزيع الأول أكثر اتزاناً (احتمالاً) :}$$

(٥) نظام من ( $N$ ) جسيمة متميزة وغير متحللة بدرجة ( $T$ ) تخضع لتوزيع بولتزمان ، برهن ان الحرارة النوعية  $C_v$  للمجموعة يعبر عنها بالعلاقة :

$$C_v = \frac{Nk}{T^2} \left[ \frac{Z''}{Z'} - \left( \frac{Z'}{Z} \right)^2 \right] = \frac{N}{kT_2} (\bar{E}^2 - \bar{E}^2)$$

حيث  $\bar{E}^2$  هو متوسط مربع الطاقة (مربع القيمة الفعالة للطاقة).

الحل :

$$U = -NkT^2 \left( \frac{\partial \ln Z}{\partial T} \right)_{v,N} = -\frac{Nk}{Z} \frac{\partial Z}{\partial (1/T)} = -Nk \frac{Z'}{Z}$$

$$Z' = \frac{\partial Z}{\partial (1/T)} , \quad Z'' = \frac{\partial^2 Z}{\partial (1/T)^2}$$

$$C_v = \left( \frac{\partial U}{\partial T} \right)_{v,N} = -\frac{1}{T^2} \left[ \frac{\partial U}{\partial (1/T)} \right]_{T,v} = \frac{Nk}{T^2} \frac{\partial (Z'/Z)}{\partial (1/T)}$$

وبإكمال التفاضل نحصل :

$$C_v = \frac{Nk}{T^2} \left[ \frac{Z''}{Z'} - \left( \frac{Z'}{Z} \right)^2 \right]$$

حيث  $Z$  هي دالة الحجز لنظام واحد . وبما ان متوسط الطاقة تساوي :

$$\bar{E} = \frac{1}{N} \sum E_i N_i = E_i \sum \frac{N_i}{N} = \sum E_i P_i$$

حيث  $P_i$  يمثل احتمالة تواجد  $N_i$  جسيمة في مستوى الطاقة  $E_i$  ، ولكن :

$$N_i = \frac{N}{Z} e^{-E_i / kT} , \quad P_i = \frac{e^{-E_i / kT}}{\sum e^{-E_i / kT}}$$

$$\therefore \bar{E} = \frac{\sum E_i e^{-E_i / kT}}{\sum e^{-E_i / kT}}$$

وبتفاضل  $Z$  بدلالة  $\frac{1}{T}$  نحصل :

$$\frac{\partial Z}{\partial (1/T)} = -\frac{1}{k} \sum E_i e^{-E_i / kT} = Z'$$

$$\dots k \bar{E} = \frac{1}{Z} \frac{\partial Z}{\partial (1/T)} = \frac{Z'}{Z}$$

$$k \left[ \frac{\partial \bar{E}}{\partial (1/T)} \right]_v = \left[ \frac{\partial (Z'/Z)}{\partial (1/T)} \right]_v \quad \text{كذلك :}$$

$$= \frac{Z''}{Z} - \left( \frac{Z'}{Z} \right)^2$$

$$Z'' = \frac{\partial Z'}{\partial (1/T)} = \frac{1}{k^2} \sum E_i^2 e^{-E_i / kT} \quad \text{حيث :}$$

$$\frac{Z''}{Z} = \frac{\sum E_i^2 \text{EXP} - E_i / kT}{\sum \text{EXP} - E_i / kT} = \frac{\bar{E}^2}{K^2} \quad \text{ولكن النسبة :}$$

$$\left( \frac{Z'}{Z} \right)^2 = \frac{\bar{E}^2}{K^2} \quad \text{كذلك :}$$

$$\dots C_v = \frac{Nk}{T^2} \left( \frac{Z''}{Z'} - \frac{Z'}{Z} \right) = \frac{N}{kT^2} (\bar{E}^2 - \bar{E}^2)$$

## تمارين الفصل الرابع

١ - ما الفرق بين الحرارة والشغل بالمفهومين الترموديناميكي والاحصائي ؟

٢ - برهن ان الانتروبي يزداد بمقدار  $(Nk \ln 2)$  عندما يتمدد الغاز المثالي في الفراغ الى ضعف حجمه (تمدد حر) حيث  $(N)$  عدد جزيئاته (استخدم معادلة تترود - ساكور).

(٣) غاز عدد جسيماته (N) يخضع لاحصاء (M.B.) ، برهن ان معدل عدد الجسيمات Ni في المستوى i يساوي :

$$NkT \left( \frac{\partial \ln Z}{\partial E_i} \right) T$$

٤ - برهن ان متوسط الطاقة الكامنة الثقالية لجزيئة الهواء بدرجة T تساوي  $kT$  .

٥ - عين معامل بولتزمان  $(e^{-E/kT})$  للقيم التالية للطاقة : E صفر ،  $IOkT, kT$

(الجواب : ١, ٣٦٧, ٠, ٥  $\times 10^{-١٠}$  )

٦ - عين قيمة ! 20 بطريقة مباشرة وبطريقة معادلة ستيرلينج وجد الخطأ النسبي .

٧ - ثلاثة جسيمات (N = 3) متميزة c,b,a تشغل خلية واحدة ، بين انهما تتوزع الى ستة حالات متميزة الترتيب ، وبرهن ان هذا العدد يساوي N! .

٨ - في المسألة الأخيرة لو توزعت الجسيمات الى مجموعتين  $N_1 = 1, N_2 = 2$  بين ان هناك ثلاثة توازيع متميزة فقط . وثلاثة اخرى متماثلة (غير متميزة) وبين ان عدد التوزيعات المتميزة (المايكروستيت) يساوي  $N_2 ! N_1 ! / N !$  وضع بمخطط .

٩ - اذا كانت دالة هلمهولتز F تساوي  $F = u - Ts$  فبرهن :

$$F = - kNT \left( \ln \frac{Z}{N} + 1 \right)$$

ثم عين F لغاز مثالي .

١٠ - نظام يتكون من ٤٠٠ جسيمة تتوزع على ثلاثة مستويات طاقة (صفر،  $E, 2E$ ) ولها نفس التحلل (gi) جد عدد الجسيمات في كل مستوى للتوزيع الأكثر احتمالاً . واحسب النسبة بين الاحتمالين . لو اخذنا جسيمتين من  $N_2$



واضيفت واحدة منها للمستوى  $N_3$  واخرى للمستوى  $N_1$  .

$$\text{الجواب : } N_1 = 2277 , N_2 = 1146 , N_3 = 577$$

$$\text{نسبة الاحتماليتين} = 0.9966$$

١١ - اذا علم ان ترتيب الجسيمات داخل فضاء الطور لا تؤثر على الحالة المجهرية للنظام ، فبرهن ان هناك اربعة حالات مجهرية متميزة من مجموع ٢٤ طريقة توزيع ( $N!$ ) لنظام يتكون من اربعة جسيمات متميزة (a),(b),(c),(d) موزعة بين صندوقين ، الأول يحتوي على جسيمة واحدة والثلاثة الأخرى موزعة في الصندوق الثاني ؛ وضع جوابك بمخطط .

١٢ - اذا كانت دالة الحجز ( $Z$ ) لبلورة اينشتاين يعبر عنها بالمعادلة :

$$Z = \frac{e^{-hf / 2kT}}{1 - e^{-hf / kT}}$$

والبلورة تحتوي على عدد افوكادرو ( $N_0$ ) من الجسيمات ، فاحسب :  
(أ) دالة هلمهولتز ( $F$ ) ، (ب) الضغط ( $P$  ، ج) الانتروبي  $S$  .

١٣ - نظام من  $N_0$  من الجسيمات المتميزة المستقلة ، كل منها قادرة على

التواجد في حالتين طاقة غير متماثلة (صفر ،  $E$ ) ، احسب  $C_v, U, Z$  ثم ارسم  $\frac{C_v}{R}$  كدالة الى  $\frac{kT}{E}$  من قيمة  $kT/E$  من صفر الى (١) .

١٤ - مجموعة من ستة جسيمات متميزة متوزعة على ثلاثة مستويات طاقة غير متحللة ،  $E_3 = 2E, E_2 = E, E_1 = 0$  جد :

(أ) الاحتمالية الترموديناميكية للتوزيع ( $N_1, N_2, N_3 = 3, 2, 1$ ) .

(ب) طاقة المجموعة في حالة الاتزان (قيمة  $\Omega$  ذروتها) .

الجواب : (أ) ٦٠ ، (ب)

$$U = 6E , \Omega = 90 , N_1 = N_2 = N_3 = 2$$

١٥ - برهن ان سرعة التفاعل الكيميائي تزداد ١٦ ضعفاً اذا زيدت درجة الحرارة عند ٤٠٠ ك بمقدار ١٠٪ .

١٦ - ملح بارامغناطيسي بدرجة حرارة ٣٠٠ ك يحتوي على ١٠<sup>٢٥</sup> ايون مغناطيسي للمتر المكعب بعزم  $\mu_B$  لكل ايون ، احسب الفرق بين عددها التي تنتظم مع المجال او بعكسه ، اذا كانت شدة المجال ١٠ كيلو اورستد . ثم احسب العزم المغناطيسي للمادة اذا كان حجمها ١٠٠ سم<sup>٣</sup> (الجواب ٢,٢٤  $\times ١٠^{١٨}$  أيون ، ٠.٢٠٨ و . اورستد - سم<sup>٢</sup>)

١٧ - جد قيمة المفكوك :

$$\frac{4}{\begin{array}{|c|} \hline 1 \\ \hline \end{array}} i^2 \text{ و } \frac{3}{\begin{array}{|c|} \hline 0 \\ \hline \end{array}}^2 - \frac{3}{\begin{array}{|c|} \hline 0 \\ \hline \end{array}} (2S + 1)$$

## الفصل الخامس

### نظريات الحرارة النوعية

#### (٥ - ١) الحرارة النوعية

#### (أ) الحرارة النوعية للجزيئات الثنائية الذرة :

(The specific heat of diatomic molecules)

ان الجزيئات الأحادية الذرة للغاز تشابه في خواصها الغاز المثالي لكونها تمتلك طاقة حركية انتقالية فقط ، اما الجزيئات الثنائية الذرة فان طاقتها الكلية تتكوّن من طاقة انتقالية (Er) ودورانية (Er) واهتزازية (Ev) اضافة الى الطاقة الالكترونية (Ee) والتي تهمل عادة لأنها نادراً ما تشارك في اقتسام الطاقة في درجة حرارة الغرفة لأن طاقة الاثارة (Excitation energy) عالية تقارب واحد الكترون فولط (١.٠ ف.أ.و. e.v.). ويستثنى من ذلك غاز اول اكسيد النايتر وجين (No) فهو من الأمثلة القليلة للجزيئات الثنائية الذرة التي يمكن إثارة بعض الكترونها عند درجات الحرارة الواطئة ؛ ... اذ تمتلك الجزيئة مستويي طاقة ، الفرق بينهما يقارب ٠,٠١٥ . أ.ف. وهذه الطاقة تعادل الطاقة الحرارية kT عند درجة ١٨° ك. وباستثناء ذلك فان معظم الغازات الثنائية الذرة يكون متوسط فاصلة الطاقة ( $\Delta E_e$ ) تقارب ٥ (إ.ف.) ، وهذه الكمية لا يمكن توفرها حرارياً إلا في درجة ٦٠٠٠ ك. اما الغازات الأحادية الذرة فتحتاج الى ضعف هذه الدرجة ، لذلك يمكن اعتبار تأثير الاثارة الالكترونية على الحرارة النوعية في درجات الحرارة المعتادة مهملًا .

أما الطاقة الدورانية فتقارب ١٠ -٤ إ.ف. والاهتزازية من ٠,١ -١ إ.ف. الى ١٠٠٠ إ.ف. ، لذلك فان حالات التهيج (الاثارة) الدورانية هي المهيمنة في الجزيئات في درجة حرارة الغرفة .

ولحساب الحرارة النوعية للجزيئات المتعددة الذرات

(Poly atomic molecules) فانه يتطلب حساب توزيع جزيئات الغاز بين الحالات الاهتزازية والدورانية . وسوف نقتصر على جزيئات الغاز الثنائية الذرة للسهولة . ان ميكانيك التكميم يعطي الطاقة الدورانية للجزيئات الثنائية الذرة من المعادلة :

$$E_r = \frac{L^2}{2I} = \frac{\hbar^2 (l+1)l}{2I} \quad (5-1) \text{ ب}$$

حيث  $I$  يمثل عزم القصور الذاتي للجزيئة التي تدور حول محور عمودي يمر خلال مركز كتلتها .  $(l)$  عدد صحيح (صفر ، ١ ، ٢ ، . . . . . ) .  $(L)$  الزخم الزاوي للجزيئة حول محور دورانها ، وهو يأخذ القيم  $(2l+1)$  من الأوضاع المتساوية الطاقة ، بسبب التكميم الفضائي (Space Quantization) للزخم . لذلك فان :

$$g_l = 2l + 1$$

$$N_r = \frac{N}{Z_r} (2l+1) e^{-E_r / kT} = \frac{N}{Z_r} (2l+1) e^{-l(l+1) \Theta_r / T}$$

حيث  $\frac{\hbar^2}{2Ik} = \Theta_r$  ، وتسمى درجة الحرارة المميزة للدوران :

$$Z_r = \sum (2l+1) e^{-l(l+1) \Theta_r / T} \quad (5-2) \dots$$

فعندما تكون  $T$  اكبر من  $\Theta_r$  فان اعداداً كبيرة من الحالات الدورانية ستكون مشغولة ، وستكون الفاصلة  $(dE)$  بين مستويات الطاقة صغيرة مقارنة بالمقدار  $(kT)$  لذلك يمكن حساب  $(Z_r)$  بطريقة التكامل وباجراء التقريب :

$$l(l+1) \approx l^2 \quad 2l+1 = 2l$$

فنحصل

$$Z_r = \int_0^{\infty} 2l e^{-\Theta_r l^2 / T} dl = \frac{T}{\Theta_r}$$

$$\therefore \ln Z_r = \ln T - \ln \Theta_r$$

$$\therefore U_r = NkT^2 \frac{\partial \ln Z_r}{\partial T} = NkT = \frac{N}{N_0} RT$$

لذلك فان كانت الطاقة انتقالية ودورانية فقط فان الطاقة الداخلية الكلية (U) للمول الواحد تساوي :

$$U = U_t + U_r = RT + \frac{3RT}{2} = \frac{5RT}{2}$$

$$\therefore C_v = \frac{\partial U}{\partial T} = \frac{5R}{2}$$

ففي الجدول (٥ - ١) نجد ان  $\Theta_r$  تكون دائماً أقل من T في درجات الحرارة العادية . وهذا ما يبرر التقريب اعلاه .

اسم المادة	$\Theta_r$ (K)	$\Theta_v$ (K)
H <sub>2</sub>	85.5	6140
O <sub>2</sub>	2.09	2260
Cl <sub>2</sub>	0.0347	810
Na	0.224	230

الجدول (٣ - ١) - درجات الحرارة المميزة الدورانية والاهتزازية لبعض المواد

ولحساب الطاقة الاهتزازية (Vibrational Energy) للغاز الثنائي الذرة ، نفترض ان الذرات في الجزيئة تهتز بحركة توافقية بسيطة ، لذلك ، فان طاقة الاهتزاز يعبر عنها بالعلاقة التكميمية التالية :

$$\epsilon_v = (i + \frac{1}{2}) \hbar w \quad (٥ - ٣)$$

$$W = 2\pi f \hbar, \text{ التردد } (f), \hbar W = hf \quad \text{حيث}$$

(i) عدد صحيح (صفر، ١، ٢، ...) وبما ان  $g_i = 1$  لأن حالات الطاقة غير متحللة ، وهي تشمل ايضاً الذرات المهتزة في البلورات ، كما سنرى :

$$\bar{N}_v = \frac{N}{Z_v} e^{-(i + 1/2) \hbar \omega_v / kT} = \frac{N}{Z_v} (i + 1/2) \Theta_v / T e^{-E_v}$$

حيث  $\frac{hf}{k} = \Theta_v$  وتسمى درجة الحرارة المميزة الاهتزازية الجدول (٣-١) وهي تكون دائماً أكبر من  $\Theta_r$  كما في الجدول . وبذلك فانها تكون أعلى من درجة حرارة الغرفة في أغلب الأحيان ، وغالباً ما تتأين الجزيئة قبل ان تشارك طاقتها الاهتزازية في الطاقة الداخلية للغاز .

$$Z_v = \sum_{i=0}^{\infty} e^{-(i + 1/2) \Theta_v / T} = e^{-\Theta_v / 2T} \cdot \sum_{i=0}^{\infty} e^{-i \Theta_v / T}$$

$$\sum_{n=0}^{\infty} X^n = 1 + X + X^2 + \dots + X^n = \frac{1}{1-X} \quad \text{ولكن}$$

على شرط ان تكون (X) اقل من الوحدة (متوالية تناقصية) وبوضع

$$X = e^{-\Theta_v / T} \quad \text{نحصل :}$$

$$Z_v = \frac{e^{-\Theta_v / 2T}}{1 - e^{-\Theta_v / T}}$$

$$\therefore \ln Z_v = -\Theta_v / 2T - \ln(1 - e^{-\Theta_v / T})$$

$$\therefore \frac{\partial \ln Z_v}{\partial T} = \frac{\Theta_v}{2T^2} + \frac{\Theta_v / T^2}{(e^{\Theta_v / T} - 1)}$$

$$\therefore U_v = NkT^2 \frac{\partial \ln Z_v}{\partial T}$$

$$U_v = \frac{1}{2} Nk\Theta_v + \frac{Nk\Theta_v}{(e^{\Theta_v / T} - 1)}$$

وبما أن  $(\frac{1}{2} \hbar \omega_v)$  تمثل طاقة الصفر المطلق الاهتزازية ( $i = 0$ ) وهي تساوي

$\frac{1}{2} k\Theta$  لذلك فان الحد الأول يمثل طاقة الصفر المطلق الاهتزازية للغاز ( $\frac{1}{2} N k\Theta$ )  
 . وفي الدرجات الحرارية العالية تكون  $\frac{\Theta_v}{T}$  صغيرة وتصبح :

$$e\Theta_v/T - I \approx \frac{\Theta_v}{T} +$$

$$\therefore U_v = \frac{1}{2} Nk\Theta_v + NkT = NkT \left( 1 + \frac{\Theta_v}{2T} \right)$$

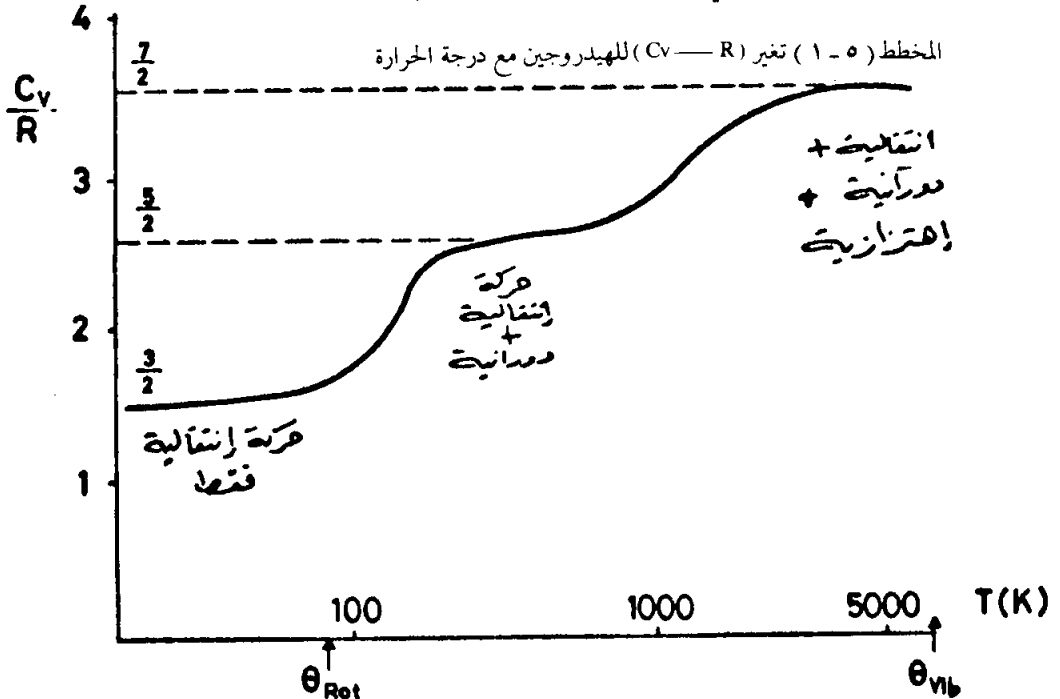
وتكون الطاقة الكلية للمول الواحد :

$$U = U_r + U_t + U_v = \frac{3}{2} N_0 kT + N_0 kT + N_0 kT \left( 1 + \frac{\theta_v}{2T} \right)$$

$$U = \frac{3}{2} RT + RT + RT \text{ . (T } \gg \Theta_v)$$

$$\therefore C_v = \frac{7R}{2}$$

وتمثل هذه التغيرات في الحرارة النوعية بالمخطط (٥ - ١) ..



## (ب) - الحرارة النوعية للجوامد البلورية العازلة :

يستخدم الميكانيك الاحصائي لحساب الحرارة النوعية للجوامد العازلة فقط ، وذلك للتقليل من المتغيرات التي تؤثر على طاقة النظام (مثل الالكترونات الحرة في المعادن) ولكون موقع ذراتها شبه ثابت في الهيكل البلوري ، لذلك فيمكن اعتبار الذرات متميزة ومتفاعلة بقوة مع جاراتها . فاذا ازيجت الذرة قليلاً عن موقع اتزانها ، فانها تؤثر على جميع الذرات وتتحرك حركة توافقية بسيطة بالاتجاهات الثلاثة (X,Y,Z) وعليه فهناك (3N) درجة حركة حرة لنظام يحتوي على (N) ذرة ، أي ان هناك 3N مهتز توافقي بسيط (Simple Harmonic Vibrator) ومستقل ومتميز وكما ذكرنا سابقاً فان طاقة الاهتزاز للمذبذب الواحد تساوي :

$$E_i = (i + 1/2) hf \quad \dots (٤ - ٥)$$

لذلك فان مستويات الطاقة هي  $\frac{5}{2} hf, \frac{3}{2} hf, \dots$  الخ ولا توجد أكثر من حالة تكميم واحدة ، تمتلك نفس الطاقة ، أي أن  $g_i = 1$  وكذلك فان الجسيمات متميزة وعليه فان الاحتمالية الترموداينميكية يعبر عنها بالمعادلة تكفي .

$$\Omega = \frac{N!}{\prod N_i!}$$

ولايجاد دالة التوزيع نستخدم نفس الأسلوب الذي سلكناه في اشتقاق دالة ماكسويل - بولتزمان ، فنحصل على :

$$N_i = \frac{N}{Z} e^{-E_i / kT} \quad \dots (٥ - ٥)$$

$$Z_f = \sum e^{-E_i / kT} \quad \dots (٦ - ٥)$$

$$U_f = N_f kT^2 \left( \frac{\partial \ln Z_f}{\partial T} \right) \quad \dots (٧ - ٥)$$

$$P = N_f kT \left( \frac{\partial \ln Z_f}{\partial V} \right) \quad \dots (٨ - ٥)$$



$$S_f = N_f k T \ln Z_f + U_f / T \quad \dots\dots\dots (٩ - ٥)$$

ويمكن حساب  $Z_f$  بسهولة لكون الطاقة مكتمة ، والمتواليات تناقصية :

$$\begin{aligned} \therefore Z_f &= e^{- (i + 1/2) hf / kT} \\ &= e^{- hf / 2kT} ( e^{- hf / kT} + e^{- 2hf / kT} + \dots ) \\ &= e^{- hf / 2kT} ( \frac{1}{1 - e^{- hf / kT}} ) \end{aligned}$$

$$\therefore \ln Z_f = - \frac{hf}{2kT} - \ln (1 - e^{- hf / kT})$$

$$\therefore U_f = N_f ( \frac{hf}{2} + \frac{hf}{e^{- hf / kT} - 1} )$$

أي أن طاقة المذبذب الواحد هي :

$$\bar{E}_f = \frac{U_f}{N_f} = \frac{1}{2} hf + \frac{hf}{e^{- hf / kT} - 1} \quad \dots\dots\dots (١٠ - ٥)$$

وعموماً فإن المذبذبات التي عددها  $3N$  لا تمتلك نفس التردد ولنفرض ان  $dN_f$  هو عددها المحصور بين التردد  $f + df, f$  لذلك فإن :

$$dN_f = g(f)df$$

$$3N = \int dN_f = \int g(f)df \quad \text{بحيث ان}$$

حيث  $g(f)$  هو عدد انماط (Modes) التذبذب لوحدة التردد ، وعليه فإن :

$$U = \int \bar{E}_f dN_f = \int ( \frac{hf}{2} + \frac{hf}{e^{- hf / kT} - 1} ) g(f) df$$

ولقد افترض اينشتاين بأن جميع المذبذبات ذات تردد واحد ( $f_e$ ) ويسمى بتردد

اينشتاين ، وعليه فان  $c_v$  للمول الواحد :

$$C_v = \frac{dU}{dt} = \frac{3Nok}{(e^{h f_e / kT} - 1)} \cdot \frac{h f_e / kT}{(h f_e / kT)^2} \quad (11-5) \dots\dots\dots$$

وتسمى الكمية  $h f_e / k$  بدرجة حرارة اينشتاين المميزة  $(\Theta_e)$  . وتقتصر اهمية هذه النظرية على الناحية التاريخية فقط، لأنها كانت اول محاولة لتطبيق قوانين التكميم على الحرارة النوعية للجوامد . وتمكنت من تفسير اقتراب  $C_v / 3R$  من الوحدة عندما تقترب  $(T)$  من اللانهاية ، طبقاً لقانون (دولونك وبتيه) ، كذلك تتنبأ باقترابها من الصفر ، كلما اقتربنا بها من الصفر المطلق . ولكن ذلك يتم اسرع من الواقع التجريبي .

ولقد وضع (ديباي) نظرية اكثر عمقاً ونجاحاً من نظرية اينشتاين ، وذلك بافتراضه ان البلورة هي وسط شبه متصل (Continuous Medium) يسند الأمواج الصوتية الواقفة الطولية منها والمستعرضة ، لأنه تتواجد في الجوامد ، نوعان من أمواج المرونة ، طولية سرعتها  $(V_l)$  ، ومستعرضة سرعتها  $(V_t)$  وان عدد انماط الاهتزازات الطولية المحصورة بين  $f$  و  $f + df$  تساوي :

$$g(l) df = \frac{4 \pi v_l \cdot f^2 df}{V_l^3} \dots (12-5)$$

وللأمواج المستعرضة (لها ضعف الحركة الحرة) ، لذلك فان :

$$g_t(f) df = \frac{8 \pi V_t \cdot f^2 df}{V_t^3} \dots\dots (13-5)$$

لذلك فان مجموع انماط التحلل  $g(f)df$  لهذه الأمواج تساوي :

$$g(f)df = 4 \pi V \left[ \frac{1}{V_l^3} + \frac{2}{V_t^3} \right] f^2 df \dots (14-5)$$

وبما ان الجسم الصلب ليس وسطاً متصلاً بل يتكون من تراكيب ذرية عددها

N ، لذلك فان انماط الاهتزاز تتحدد بتردد القطع ( $f_m$ ) حيث :

$$3N = \int_0^{\infty} g(f) df = 4 \pi V \left[ \left( \frac{1}{V_l^3} + \frac{2}{V_t^3} \right) \right] \int_0^{f_m} f^2 df$$

وبالتعويض نحصل :

$$3N = 4 \pi V \left( \frac{1}{V_l^3} + \frac{2}{V_t^3} \right) \frac{f_m^3}{3}$$

$$g(f) df = 9 \frac{N f^2 df}{f_m^3} \quad \dots (15-5)$$

وباستخدام تقريب ديبياي اعلاه نحصل (للمول الواحد) :

$$\frac{C_v}{3R} = \int_0^{f_m} (3f^2 / f_m^3) \frac{(hf / kT)^2 e^{hf / kT}}{(e^{hf / kT} - 1)^2} df$$

وبالتعويض عن  $\Theta_D$  (درجة حرارة ديبياي المميزة) بالمقدار  $\frac{hf_m}{k}$  وبالكمية

$$X = \frac{hf}{kT} \quad \text{تصبح المعادلة اعلاه بالصيغة :}$$

$$\frac{C_v}{3R} = \frac{3}{(\Theta_D / T)^3} \int_0^{\Theta_D / T} \frac{e^x dx}{(e^x - 1)^2} \quad \dots (16-5)$$

فعندما تقترب (T) من اللانهاية فان  $\frac{\Theta_D}{T}$  تكون صغيرة وتصبح المعادلة :  
(16-5) بالصيغة المقربة :

$$\frac{C_v}{3R} \approx \frac{1}{3} \left( \frac{\Theta_D}{T} \right)^3$$

أما اذا اقتربت (T) من الصفر المطلق فان التكامل العددي للمعادلة  
(16-5) يعطي :

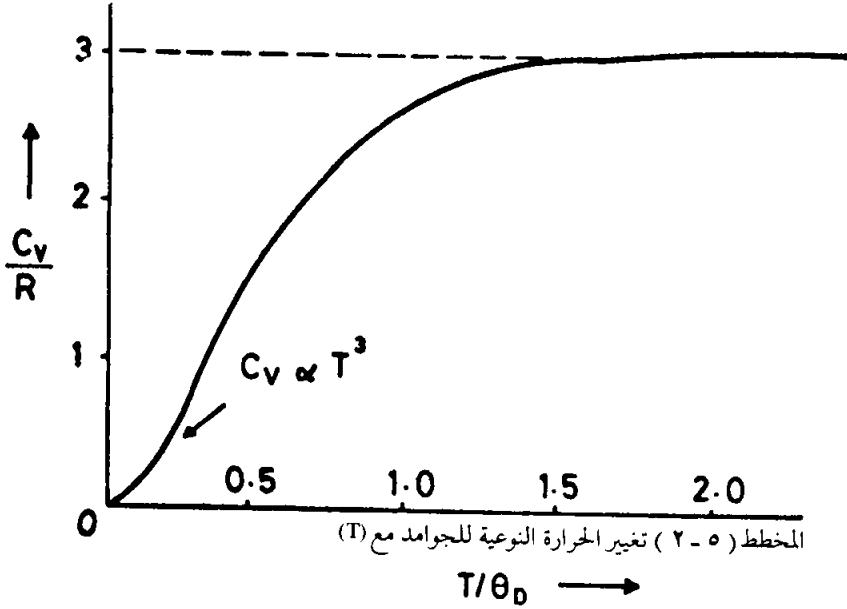
$$\frac{C_v}{3R} \approx 77.9 \left( \frac{T}{\Theta_D} \right)^3 \quad \dots (17-5)$$

أي ان (Cv) تقرب من (3R) في درجات الحرارة العالية ، وهذا ما يبرره  
الجدول (٥ - ٢) للعديد من المواد :

$\Theta_D(K)$	200	730	321	233	470	2230	420	366	636	93	67	315	26
المادة	Insb	Lif	Nacl	Kcl	Sio <sub>2</sub>	الماس	الغرافيت	Ge	Si	A	Ne	Zns	Hz

الجدول (٥ - ٢) - (درجة حرارة ديبي (ΘD) لبعض المواد الغير معدنية)

ولقد أيدت التجارب صحة نظرية (ديبي)، ولا سيما في درجات الحرارة  
الواطة . ولا يظهر الاختلاف الطفيف الا عند قياس Cv بدقة عالية ولا سيما في  
مديات الحرارة الوسطية . وهناك نظريات اكثر تعقيداً وتفصيلاً لا مجال لذكرها .



### تمارين الفصل الخامس

- ١ - اذا علم ان عزم القصور الذاتي لجزيئة غاز (co) هي  $1.3 \times 10^{-40}$  غم . سم<sup>٢</sup> احسب مقدار ما تضيفه الحركة الدورانية لحرارته النوعية Cv في درجة حرارة الغرفة .

الجواب :  $\Delta C_v = R$

٢ - احسب الزيادة في الحرارة النوعية ( $\Delta C_v$ ) لمول من غاز النايتروجين بتأثير الحركة الاهتزازية بدرجة ١٠° ك ، مع العلم ان :

$$\Delta E_v = E_2 - E_1 = 0.3 \text{ eV}$$

$$\Delta C_v = 0.37R \quad \text{: الجواب}$$

٣ - عين الخطأ الناتج في حساب ( $Zr$ ) عند تقريب  $2l + 1$  بالمقدار  $2l$  و  $1(1 + 1)$  بالمقدار  $l^2$  في المعادلة (٥ - ٢) .

٤ - احسب النسبة بين عدد جزيئات ثنائية الذرة لغاز مثالي في حالة القرار ( $l = 0$ ) وفي اول حالة متهجة ( $l = 1$ ) دورانية في درجة الحرارة  $T = \Theta_r$

الجواب : 0 : 37% ، 43,2% : 1 على التوالي

٥ - مول من غاز Co بدرجة ٣٠٠ ك ، احسب عدد الجزيئات في الحالات الاهتزازية الثلاثة الأولى للطاقة .

٦ - احسب  $V_i, V_{i+1}$  في النحاس من معرفة كثافته وثوابت مرونته .

٧ - اذا كانت درجة حرارة ديبي الممييزة  $\Theta_D$  ودرجة حرارة اينشتاين الممييزة ( $\Theta_e$ ) للماس ١٨٦° ك ، ١٤٥° ك على التوالي وان قيمة  $C_v$  المقاسة للماس في درجة ٢٠٧ ك هي : ٢,٦٨ كيلو جول/كيلو مول . ك ، فاحسب  $C_v$  بدرجة ٢٠٧ ك من معادلتى ديبي ، واينشتاين وقارن بين التجربة والنظرية .

الجواب : ١,١٢ كيلو جول/كيلو مول . ك ، ٢,٦٦ كيلو جول/كيلو مول . ك .

٨ - ١٠٠٠ جزيئة ثنائية الذرة بدرجة حرارة  $\frac{\Theta_v}{2}$  ، احسب :

(أ) عدد الجسيمات عند اول ثلاثة مستويات للطاقة الاهتزازية الواطئة .

(ب) طاقة النظام الاهتزازية

الجواب : (أ) ٨٦٥ ، ١١٧ ، ١٦ جزيئة

(ب)  $149 k \Theta_v$



## الفصل السادس

### احصاء التكميم الحديث (Modern quantum statistics)

#### (٦ - ١) مقدمة :

ان الاحتمالية الثرموداينميكية لأية حالة منظورة من نظام تعتمد على نوعية الاحصاء الذي تخضع له هذه الجسيمات . ففي الاحصاء التقليدي الذي تطرقنا اليه سابقاً لم تتواجد قيود على كمية الطاقة او عدد الجسيمات التي تشغل أي من مستوياتها ، ففي احصاء التكميم تتحدد قيم الطاقة (أي انها دالة منفصلة). كذلك فان دراسة الأطياف الذرية والجزيئية للمواد المختلفة ، أثبت ان كل الجسيمات الأولية مثل الالكترونات والنيوترونات والبروتونات وكذلك الجسيمات المركبة منها مثل الذرات والجزيئات والأيونات لها زخم زاوي ذاتي او برم (Spin Angular Momentum) ويسمى اختصاراً (Spin) وهوناتج عن دوران الجسيم (مثل الالكترون) حول نفسه . كذلك فان بعض الجسيمات مثل الالكترونات تخضع لقانون باولي (Pauli Exclusion Principle) والذي ينص على انه لا توجد في خلية فضاء الطور جسيمتين متماثلتين في الفتل (البرم) ولهذا الاعتبار هناك نوعان من الاحصاء استحدثت لمعالجة هذه الضوابط :

#### ١ - احصاء بوز - اينشتاين (Bose Einstein Statistics)

ويرمز له اختصاراً (B - E) وتتميز جسيماته التي يطلق عليها بوزونات (Bosons) بان فتلها يكون صفراً او الوحدة من الكمية  $\hbar$  وهي لا تنقيد بقانون الاستثناء لبولي . كذلك فان مجموع جسيمات النظام لا يبقى ثابتاً ، وبامكان أي خلية من فضاء الطور أن يشغلها أي عدد من الجسيمات . وتكون الجسيمات متحللة (Degenerate) وغير متميزة (متماثلة) ومن أمثال البوزونات هي الفوتونات ( $S = \hbar$ ) والميزونات ( $S = 0\hbar$ ) والكرافيتونات ( $S = 2\hbar$ ) . والأخيرة تمثل اكمام طاقة الجاذبية الشاقولية (Gravity Quanta) .

## ٢ - احصاء فيرمي - دايراك (Fermi-Dirac statistics)

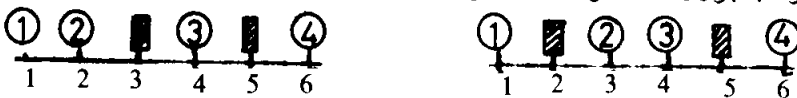
ويرمز له اختصاراً (F.-D.). فان جسيماته تسمى فرميونز (Fermions) وهي ذات برم ( $\hbar/2 = S$ ) وتخضع لقانون الاستثناء لباولي ، وتشمل مجموعة كبيرة من الجسيمات مثل الباريونز (بروتونات ، نيوترونات . .) واللبتونز (Leptons) وتشمل الكترونات ونيوترينات ، ميزون ميو (ميون Muon) ، والهايبرونات (Hyperons) إضافة الى جزيئات الهيدروجين والهيليوم .

ففي درجات الحرارة العالية والكثافة الواطئة تتساوى احصاءات التكميم جميعها بضمنها احصاء (M.B.) التقليدي كما سنرى في نهاية الفصل . وسوف نتطرق الى النوعين من الاحصاءات الحديثة بشيء من التفصيل مع بعض تطبيقاتها التي عجزت على حلها الاحصاءات التقليدية .

### (٦ - ٢) - احصاء بوز - اينشتاين

بالرغم من ان البوزونات متماثلة ، إلا انه من المفيد ان نشق الاحتمالية الثرموداينميكية لجسيمات متميزة مثل c,b,a ولكن سوف نقسم الاحتمالية الثرموداينميكية الناتجة بالمضروب  $N_i!$  لكون الجسيمات غير متميزة (Indistinguishable). ولكون البوزونات لا تتقيد بقانون باولي ، لذلك فبامكان كل خلية طور من استيعاب أي عدد منها .

فلو فرضنا  $N_i$  من البوزونات موزعة على  $g_i$  من خلايا فضاء الطور والتي طاقتها  $\epsilon_i$  عند المستوى (i). ولغرض ايجاد خلية  $g_i$  يجب وضع ( $g_i - 1$ ) جداراً . كذلك لايجاد عدد المرات ( $W_i$ ) لتوزيع  $N_i$  من البوزونات على  $g_i$  خلية ، نتصور هناك  $N_i + g_i - 1$  موقعاً (١، ٢، ٣، ٤، ٥، ٦) تقع على خط مستقيم (المخطط ٦ - ١) . حيث تضع اما بوزون او جدار على هذه المواقع . ففي هذا المخطط طريقتان لتوزيع  $N_i = 4, g_i = 3$  أي ان هناك  $N_i + g_i - 1 = 6$  مواقع ، اربعة منها مشغولة بالبوزونات وموقعان مشغولان بالجدران :



المخطط (٦ - ١) - طريقتان لتوزيع ٤ بوزونات (متميزة بالفرض) على ثلاثة خلايا .



ولنبداً باضافة البوزونات واحداً كل مرة . حتى اذا وضعت  $N_i$  منها في مواقعها تبقى  $g_i - 1$  من المواقع تسمى الجدران . فان البوزون الأول يمكنه من احتلال اي من المواقع  $1, 2, \dots, N_i + g_i - 2$  والثاني  $2, 3, \dots, N_i + g_i - 1$  . أما البوزون في الترتيب  $N_i$  فانه بإمكانه ان يشغل أي من المواقع  $g_i$  تاركاً  $g_i - 1$  موقعاً لجدران الخلايا ، ولكوننا اعتبرنا الجسيمات متميزة في هذه المرحلة ، فان مجموع الطرق للتوزيع يساوي حاصل ضرب الحدود :

$$W_i = (N_i + g_i - 1) (N_i + g_i - 2) \dots g_i = \frac{(N_i + g_i - 1)!}{(g_i - 1)!}$$

ولكون الجسيمات غير متميزة ، فعلينا تقسيم الناتج على  $N_i!$  :

$$W_i = \frac{(N_i + g_i - 1)!}{N_i! (g_i - 1)!}$$

وعليه يكون مجموع الاحتمالية الترموديناميكية  $W$  تساوي حاصل ضرب حدود من أمثال  $W_i$  لجميع المجاميع  $(M)$  من خلايا فضاء الطور . أي ان :

$$W = \prod_{i=1}^M w_i$$

$$W_{B.E} = \prod_{i=1}^M \frac{(N_i + g_i - 1)!}{N_i! (g_i - 1)!} \quad \dots \dots \dots (1-6)$$

مثال محلول (١) : يحتوي مستوى الطاقة (i) على ثلاثة خلايا ( $g_i = 3$ ) ومن جسيمتين ( $N_i = 2$ ) احسب عدد التوزيعات الممكنة ( $W_i$ ) .

الحل :

$$W_i = \frac{(N_i + g_i - 1)!}{N_i! (g_i - 1)!} = \frac{(2 + 3 - 1)!}{2! (3 - 1)!} = 6$$

والشكل ٤ - ٢ يوضح التوزيع .

gi	1	2	3	4	5	6	
	•			•	•		1
		•			•	•	2
			•	•		•	3

↓  
W<sub>i</sub>

المخطط (٦ - ٢) - توزيع بوزونين بين ثلاثة خلايا بدون تحديد عددها في كل خلية طور (حالة طاقة)

مثال (٢) : احسب الاحتمالية لمستوى يحتوي على خلية واحدة وغير متحللة

(Non degenerate)

الحل :  $W_i = 1, g_i = 1$

لأنه لا يوجد غير توزيع واحد :

$$\therefore W_i = 1 = \frac{(N_i + g_i - 1)!}{N_i! (g_i - 1)!} = \frac{N_i!}{N_i! 0!} = 1$$

$$\therefore 0! = 1$$

مثال (٣) : نظام يتكون من مستويين (١) ، (٢) بحيث  $N_1 = 2, g_1 = 3$

والآخر  $g_2 = 2, N_2 = 1$  فاحسب W للحالة المنظورة  $N_1 = 2, N_2 = 1$

الحل :  $W = W_1 \cdot W_2$

$$\therefore W_{B.E.} = \frac{4!}{2! 2!} \times \frac{2!}{1! 1!} = 6 \times 2 = 12$$

أي ان هناك ١٢ طريقة مختلفة لتوزيع ٣ جسيمات غير متميزة توزع بين حالات الطاقة (خلايا فضاء الطور) والمخططان (٦ - ٢) ، (٦ - ٣) يوضحان توزيع المجموعتين .

$g_i$	1	2
	1	2
$W_i$		
	↓	

المخطط (٦-٣) توزيع بوزوك واحد في خليتي طور

### (٦-٣) اشتقاق قانون توزيع (بوز - أينشتاين)

لفرض اشتقاق قانون التوزيع فاننا كما فعلنا في احصاء (M.B.) نجد القيمة العظمى للاحتتمالية الترموداينميكية W.B.E. حيث :

$$W_{B.E.} = \prod_{i=1}^M \frac{(g_i + N_i - 1)!}{N_i! (g_i - 1)!} \quad \dots \dots \dots (أ)$$

وباستخدام معادلة ستيرلينج وأخذ لوغاريتم الطرفين ، نحصل (مع اهمال الوحدة لصغرها) فيكون :

$$\ln W = \sum (g_i + N_i) \ln (g_i + N_i) - N_i \ln N_i - g_i \ln g_i \quad \dots \dots (ب)$$

وللحصول على القيمة العظمى للاحتتمالية (W) نضع  $d \ln W = 0$

$$\dots - d \ln W = \sum [ - \ln(N_i + g_i) + \ln N_i ] dN_i = 0 \quad \dots \dots \dots (ج)$$

$$\beta \sum \epsilon_i dN_i = 0 \quad , \quad \alpha \sum dN_i = 0 \quad \text{ولكن :}$$

حيث  $\alpha, \beta$  معاملي لاكرانج ، وبجمع المعادلتين الاخيرتين نحصل :

$$- \ln(N_i + g_i) + \ln N_i + \alpha + \beta \epsilon_i \quad (د)$$

وبإهمال الوحدة لصغرها مقارنة بالمقدار  $N_i + g_i$  نحصل على :

$$\frac{N_i}{N_i + g_i} = \text{EXP} - (\beta \epsilon_i)$$

$$\dots N_i = \frac{g_i}{e^{\alpha + \beta \epsilon_i} - 1} \dots \dots \dots (٦ - ٢)$$

ففي الغاز الفوتوني  $\sum dN_i$  لا تساوي الصفر لأن عدد الفوتونات غير ثابت لذلك فإن  $\alpha = 0$  (للغاز الفوتوني) :

$$\dots N_i = \frac{g_i}{e^{\beta \epsilon_i} - 1} \dots \dots \dots (٦ - ٣)$$

ولاكتشاف طبيعة  $\beta$  لنظام من الفوتونات لها انتروبي قدره (S) حيث :

$$ds = k d \ln W_{B.E.} = k \sum \ln \left( 1 + \frac{g_i}{N_i} \right) dN_i$$

(راجع العلاقة جـ أعلاه)

ومن العلاقة (د) في حالة الاتزان يكون :

$$\ln \left( 1 + \frac{g_i}{N_i} \right) = \beta \epsilon_i \quad (\alpha = 0)$$

$$\dots ds = k \sum \beta \epsilon_i dN_i$$

$$U = \sum_i \epsilon_i dN_i \quad \dots \quad dU = \sum \epsilon_i dN_i \quad \text{ولكن :}$$

$$\dots dS = k \beta dU \quad \dots \quad \beta k = \left( \frac{\partial S}{\partial U} \right)_V = \frac{1}{T}$$

$$\dots \beta = \frac{1}{kT}$$

وعليه فان دالة التوزيع لاحصاء B.E. لغاز الفوتونات تصبح :

$$N_i = \frac{g_i}{e^{\epsilon_i / kT} - 1} \quad \dots\dots (٤ - ٦)$$

(٤ - ٦) تطبيقات احصاء بوز - اينشتاين (B.E.)

(أ) - الغاز الفوتوني :

لعله من اهم تطبيقات احصاء B.E. هو في تحليل الاشعاعات الكهرومغناطيسية المحصورة في تجويف (Cavity) بحالة اتزان حراري بين الاشعاع وذرات مادة التجويف. ويسمى هذا الاشعاع باشعاع الجسم الأسود ، حيث ان ذرات الجدار تمتص وتشع الفوتونات حتى تحصل حالة الاتزان حينئذ تكون سرعة الامتصاص تساوي سرعة الانبعاث . ويكون لطيف هذا الاشعاع توزيع للطاقة بدرجة حرارة الاتزان للجسم الأسود ، وهي لا تعتمد على طبيعة مادته . وبما ان الاشعاعات الكهرومغناطيسية تتصرف عند تفاعلها مع المادة كما لو كانت جسيمات طاقتها (hf) حيث (f) تردد الاشعاع وزخه  $h / \lambda$  او  $hf / c$  حيث ( $\lambda$ ) طول موجته ، (c) سرعة الضوء ، وسوف نفترض ان هذه الفوتونات المتزنة في التجويف تتصرف كغاز يخضع لاحصاء (B. E.) ونفترض انها لا تتفاعل مع بعضها بل تتأثر فقط بذرات الجدار .

وبما ان الفوتونات غير متميزة ، وان عددها غير ثابت ( $\sum dN_i \neq 0$ ) فبامكان فوتون طاقته fh ان يهيج الذرة من مستوى استقرارها ( $\epsilon_0$ ) بحيث انها يعودتها الى وضع استقرارها تبث عدداً من الفوتونات بطاقات  $hf_1, hf_2, hf_3, \dots$  الخ . بحيث ان طاقة الفوتون المهيج يساوي مجموع طاقات الفوتونات المنبعثة :

$$hf = hf_1 + hf_2 + hf_3 + \dots\dots\dots$$

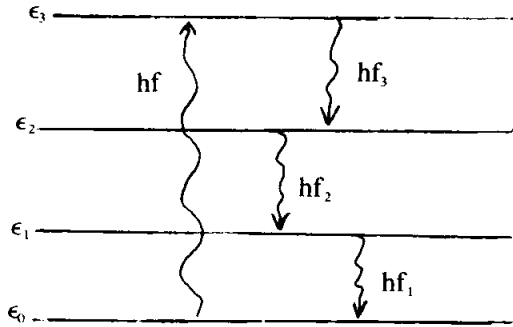
لذلك فان  $\alpha = 0$  وتصبح دالة التوزيع للفوتونات :

$$N_i = \frac{g_i}{e^{\epsilon_i / kT} - 1}$$

ويمكن اعتبار طيف الفوتونات شبه متصل عندما تكون أبعاد التجويف كبيرة مقارنة بمعدل طول الموجة .

أي أن الفروقات في مستويات الطاقة  $d\epsilon$  المسموح بها صغيرة مقارنة بقيمة الطاقة  $(\epsilon)$  ، وتحت هذه الشروط يمكن التعويض عن  $g$  بالمقدار  $d\epsilon$  وتصبح المعادلة اعلاه بالصيغة :

$$dN_i = \frac{g(\epsilon) d\epsilon}{e^{\epsilon / kT} - 1} \quad \dots (5-4)$$



المخطط (٦ - ٤) الفوتون الممتص يولد عدداً من الفوتونات المنبعثة

وبما أن  $\epsilon = hf$  لذلك يمكن التعويض عن المتغير  $(\epsilon)$  بنظيره  $(f)$  وتصبح المعادلة الأخيرة بالصيغة :

$$(g\epsilon) d\epsilon = g'(f) df = \frac{8\pi V f^2 df}{c^3} \quad \dots (6-6)$$

حيث  $g'(f) df$  يمثل عدد أنماط الاهتزازات ضمن مدى التردد  $f + df$  (أو فاصلة الطاقة  $d\epsilon$ ) ولقد ضوعفت قيمة الحد الأدنى لأن هناك اتجاهان مستقلان للاستقطاب ، لكون الأمواج الكهرومغناطيسية مستعرضة . وعليه تصبح المعادلة

$$dN_i = \frac{8\pi V}{c^3} \cdot \frac{f^2 df}{e^{hf / kT} - 1} \quad \text{بالصيغة : } (5-6)$$

فلو رمزنا الى طاقة الاشعاع الواقعة بين مدى التردد  $f + df$  يساوي  $U(f)df$

$$U(f)df = dN hf df \quad \text{حيث :}$$

$$u(f) = \frac{U(f)}{V} \quad \text{وتعرف كثافة الطاقة الطيفية :}$$

وهي تمثل كثافة الطاقة الاشعاعية لوحدة التردد :

$$u(f) = \left( \frac{8\pi h}{c^3} \right) \frac{f^3}{e^{hf/kT} - 1} \quad \dots\dots (7 - 6)$$

وتسمى هذه النتيجة معادلة بلانك الاشعاعية :

(Plank ' s Radiation Formula)

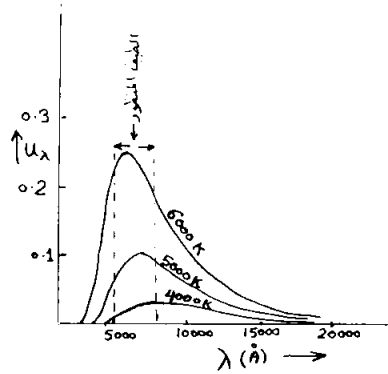
وان تطابق هذه المعادلة مع التجربة تؤيد صحة احصاء B.E. على الفوتونات . ولا بد ان نذكر الطالب بأن مشكلة اشعاع الجسم الأسود وتوزيع طاقته على الترددات المختلفة هي التي اوحى الى (بلانك) للافتراض بأنه متى تفاعلت الاشعاعات مع المادة فانها تُمتص او تُبث على شكل أكمام (Quanta) من الطاقة قدرها (hf) . ولكن اشتقاق بلانك الأصلي للمعادلة أعلاه لم يكن دقيقاً ، لأنه افترض ان طاقة اشعاع المذبذبات (الذرات) في جدار التجويف تعطي طاقة  $nhf = nh\nu$  وليست  $(n + \frac{1}{2})hf$  الأكثر دقة ، حيث ان  $(\frac{1}{2}hf)$  تمثل طاقة الصفر المطلق ، كذلك فانه استخدم احصاء (M. B.) . وبالرغم من صحتها الا انها تعطي نتائج غير دقيقة اذا ما استخدمت في دراسة الحرارة النوعية للجوامد كما أشرنا الى ذلك في الفصل السابق .

(ب) قانون فين (Wien ' s Law)

لو عبّرنا عن التردد (f) بدلالة طول الموجة (λ) في معادلة بلانك لأصبحت المعادلة (7 - 4) بالصيغة :

$$u(\lambda)d\lambda = \frac{8\pi hc \cdot \lambda^{-5} d\lambda}{\exp (hc / \lambda kT) - 1}$$

وهذه المعادلة تمثل بالمخطط (٤ - ٥) فنلاحظ بأنه كلما ارتفعت درجة الحرارة فان طول الموجة ( $\lambda_m$ ) للطاقة العظمى يقل . ولايجاد العلاقة بين ( $T$ ), ( $\lambda_m$ ) نفاضل المعادلة ولا سيما المتغير :  $(\exp(hc / \lambda kT) - 1)$



المخطط (٦ - ٥) تغير كثافة الطاقة الاشعاعية مع طول الموجة حسب معادلة بلانك

$$\frac{d}{d\lambda} (\exp hc / \lambda kT - 1) = 0$$

$$\lambda_m = \lambda$$

عند

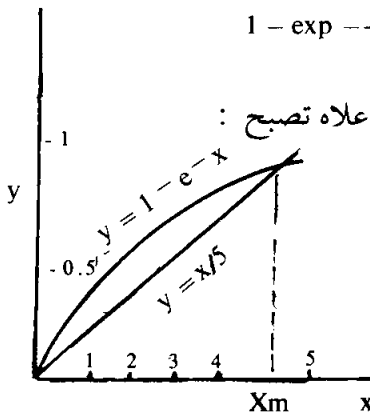
$$5 \cdot \lambda^4 \cdot (\exp hc / \lambda kT - 1) + \lambda^5 \cdot \exp \frac{hc}{\lambda kT} \left( -\frac{hc}{\lambda^2 kT} \right) = 0$$

$$1 - \exp -\frac{hc}{\lambda kT} = \frac{hc}{5\lambda kT}$$

أو :

ولو عرضنا عن  $x = hc / \lambda kT$  فان المعادلة اعلاه تصبح :

$$1 - e^{-x} = \frac{x}{5} = Y$$



المخطط (٦ - ٦)



وتحل المعادلة برسم منحنيين للمعادلتين  $y = 1 - e^{-x}$ ,  $y = x$  والتقاطعا عند  $x_m = 4.96$  ، حيث تكون قيمته  $x_m = 4.96$

$$x_m = \frac{hc}{\lambda_m kT} = 4.96$$

وبالتعويض عن قيم الثوابت  $c, h$  . . . . . الخ نحصل على معادلة فين :  
 $\lambda_m T = 0.29 \text{ Cm} \cdot \text{K} \quad (6-8)$

(ج) قانون ستيفان - بولتزمان :

$$U(f) = \frac{8\pi h}{c^3} \frac{f^3}{\exp hf / kT - 1}$$

ويكون مجموع كثافة الطاقة لجميع الترددات :

$$U = \int_0^{\infty} u(f) df = \frac{8\pi h}{c^3} \int \frac{f^3 df}{\exp hf / kT - 1}$$

ولو عرضنا عن  $hf / kT$  بالمتغير  $x$  فان المعادلة تصبح :

$$U = \frac{8\pi k^4 T^4}{h^3 c^3} \int_0^{\infty} \frac{x^3 dx}{e^x - 1}$$

وعندما تقترب  $T$  من الصفر يكون مقدار التكامل يساوي  $\frac{\pi^4}{15}$  وبما ان الانبعاثية  $(R_b)$  للجسم الأسود والتي تمثل كمية الطاقة المنبعثة في الثانية من وحدة المساحة من سطحه تساوي :  
 $\left( \frac{cU}{4} \right)$

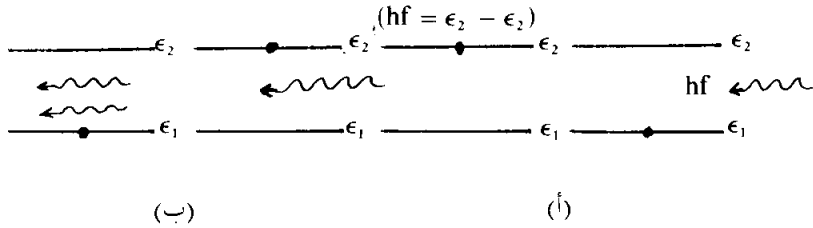
$$R_b = \frac{2\pi^5 k^4}{15h^3 c^2} T^4 = \sigma T^4 \quad (6-9)$$

وبالتعويض عن قيم الثوابت نجد ان  $\sigma$  (ثابت ستيفان - بولتزمان)

$$\text{يساوي : } \frac{5.67 \times 10^{-8} \text{ واط } / \text{م}^2 \cdot \text{ك}^4}{\text{ثا. سم}^2 \cdot \text{ك}^4}$$

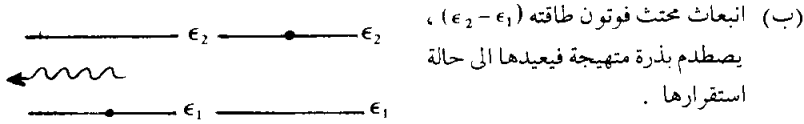
## (د) الانبعاث المحفز - الليزر والميزر (Laser and Maser)

لو أخذنا مجموعة من الذرات المتماثلة والقادرة على الامتصاص والاشعاع عند التردد (f) ووضعناها في مجال لاشعاع الجسم الأسود تتبادل معه الفوتونات . فبإمكان الذرة أن تهيج بامتصاص فوتون ، فتزداد طاقتها او تشع فوتون فتتقصر طاقتها . وهذه الطاقة تأتي او تذهب الى مجال الاشعاع الموضوعه فيه ، وعند الاتزان يتساوى معدل الامتصاص مع الانبعاث . ولقد بين أينشتاين ثلاثة عمليات اشعاعية هي : (أ) الامتصاص المحث (Induced absorption) . (ب) انبعاث محث (Induced emission) . (ج) انبعاث أني (Spontaneous emission) كما في المخطط (٤ - ٧) .



المخطط (٦ - ٧) ثلاثة عمليات تتفاعل بها الفوتونات مع الذرات .

(أ) امتصاص الفوتون يرفع الذرة من مستوى طاقة  $\epsilon_1$  الى  $\epsilon_2$  .



(ج) انبعاث أني حيث تعود الذرة الى حالة  
استقرارها بعد تهيجها تلقائياً .

ويكون المعدل الزمني لذرات الامتصاص المحث  $B_{12} N_1 u(f)$

والمعدل الزمني لذرات الانبعاث المحث يساوي :  $B_{21} N_2 u(f)$

حيث  $N_2, N_1$  هو عدد الذرات بطاقة  $\epsilon_2, \epsilon_1$  على التوالي  $B_{21}, B_{12}$  معاملان  
اينشتاين للامتصاص والانبعاث .

أما المعدل الزمني لذرات الانبعاث فيساوي  $A_{21} \cdot N_2$  ، لأنه لا يعتمد على المحيط وإنما يعتمد على تركيب الذرة وعدد الذرات بطاقة  $A_{21} \cdot \epsilon_2$  معامل اينشتاين للانبعاث الأنفي .

ولكي يتم الاتزان ، فان المعدل الزمني للطاقة الممتصة يساوي المعدل الزمني للطاقة المنبعثة :

$$B_{21} N_2 u(f) + A_{21} N_2 = B_{12} N_1 u(f)$$

$$u(f) = \frac{A_{21} / B_{21}}{\frac{B_{12} \cdot N_1}{B_{21} \cdot N_2} - 1} \quad \text{وبالحل نحصل :}$$

وباستخدام معامل بولتزمان مع كون  $\epsilon_2 - \epsilon_1 = hf$  نحصل :

$$\frac{N_1}{N_2} = e^{-\beta \epsilon_1} / e^{-\beta \epsilon_2} = e^{\beta hf}$$

ولكي تتفق المعادلة اعلاه مع معادلة بلانك يجب ان تكون :

$$B_{12} = B_{21} \quad , \quad A_{21} = \frac{8 \pi h f^3}{c^3} \cdot B_{21}$$

ومن الممكن حساب المعاملات الثلاث اعلاه بواسطة نظرية التكميم . ان التنافس بين الانبعاث والاشعاع يؤدي الى توزيع بلانك عندما تتوزع الذرات تبعاً لمعامل بولتزمان والتي تؤدي الى توزيع مترن للذرات . اما اذا كانت الذرات غير متزنة من الناحية الثرموداينميكية فان كثافة الاشعاع ستشذ عن قانون بلانك . وهذا الشذوذ في حالة الاتزان يكون موجود في عملية الليزر . والكلمة الأخيرة اختصار للعبارة : Light Amplification by stimulated Emission of Radiation .

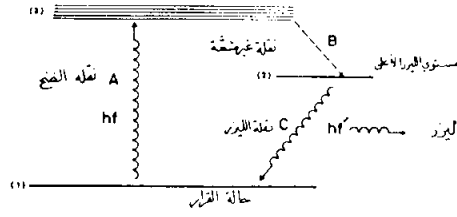
أي تضخيم الضوء بالاشعاع المحفز . كذلك في حالة الليزر للأموج المايكروية : Microwave Amplification by Stimulated Emission of Radiation .

ان جهاز الليزر يعطي ضوءاً كثيف الطاقة أحادي الموجة (تقريباً) ومتوازي (تقريباً) ومتشاكه (Coherent) أي أن أمواج الضوء المنبعثة من قبل الذرات الفردية تكون بنفس الطور .

وللحصول على عملية الليزر ، من الضروري خلق توزيع غير متزن للذرات ، حيث يكون الانبعاث المحفز يفوق الامتصاص والانبعاث الآني ، ففي الشكل (٦ - ٧) لو بدأنا بذرات تسكن مستوى الطاقة  $\epsilon_2$  أكثر من تلك التي تسكن  $\epsilon_1$  فان الفوتون المتحرر بالانبعاث الآني يححر فوتوناً ثانياً بعملية الانبعاث المحفز وهذان الفوتونان يحفزان انبعاثات أخرى وسريعاً ما يتجمع سيل من هذه الفوتونات المتلازمة يبدأ بيد (نفس الطور) فتتضاعف سعة الموجة المنبعثة بعدد الفوتونات المتلازمة بدون أن تؤثر على ترددها . فإذا كان عدد الذرات التي تبث الاشعاع المحفز يساوي (N) فان سعة الموجة الناتجة للضوء المحفز يتضاعف بمقدار (N) . وعليه فان شدة الضوء في الليزر تتناسب مع  $N^2$  وتعتمد على شدة الضوء الساقط ايضاً . أما شدة الضوء الغير متشاكه فانه يتناسب مع (N) وعلى شدة الضوء الساقط .

إن عملية الامتصاص الكبيرة من قبل المرايا في الجهاز تؤدي الى خفض شدته ، ولتوليد الليزر نحتاج الى وسط نشط يحتوي على الذرات او الجزيئات التي تبث اشعاع الليزر مع بعض الذرات الاخرى التي تساعد على الانقلاب السكاني (Population Inversion) . توضع هذه الذرات في رتّان بصري (Optical resonator) وهو يتكوّن بأبسط اشكاله من مرآتين صقيلتين توضعان على طرفي الانبوبة التي تحتوي على الوسط النشط (Active Medium) بمسافة تساوي مضاعفات انصاف طول الموجة وهي تمكن ضوء الليزر من الذهاب والإياب بين المرآتين بحيث تسمح لقراءة ١٪ من الضوء بالنفوذ خلالها ، وهو الذي يشكل حصيللة ضوء الليزر الذي يغادر الجهاز .

ولقد تم صنع أول ليزر عام ١٩٦٠ من قبل (ميان) مستخدماً بلورة اسطوانية الشكل من الياقوت الأحمر (Ruby Crystal) طولها ٤ سم وقطرها  $\frac{1}{4}$  سم .



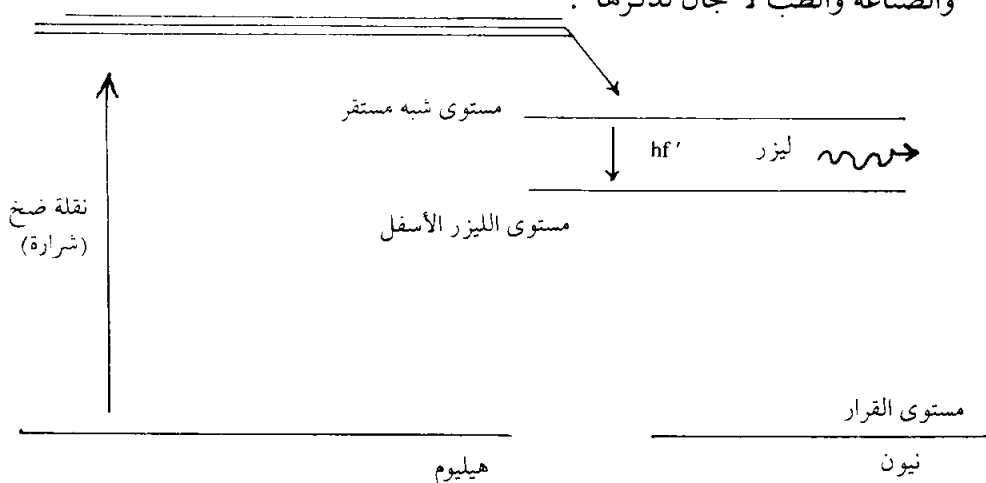
المخطط ( ٦ - ٨ )

مستويات الطاقة الثلاثية ونقلاتها الى ليزر الياقوت ( المتقطع ) .

والياقوت الأحمر يتكوّن من اكسيد الألمنيوم فيه قليل من أيونات الكروم . والتي تعطي اللون الأحمر للبلورة . وتزود البلورة بطاقة التهيج (Pumping) من مصباح زينون المتقطع النبضات ، فيتولد الليزر على شكل ضوء أحمر طول موجته تقارب ٦٩٤٣ نانومتر على شكل نبضات أمدها ٠,٥ ملي ثانية .

ومن الاعتبارات المهمة في اختيار المادة الفعالة هو معرفة عمر مستوى الطاقة المتهيج . فللانبعاث الآني يكون عمره يقارب  $10^{-8}$  ثانية وللمستويات الشبه مستقرة (Metastable States) يكون عمرها يقارب ٣ ملي ثانية مما يساعد على الانقلاب السكاني . ففي الشكل ( ٦ - ٨ ) يمثل عمل ليزر الياقوت . حيث تمثل العملية ( ١ - ٣ ) عملية ضخ الطاقة (تهيج أيون الكروم) بمقدار  $(\epsilon_3 - \epsilon_1)$  وعملية العودة الغير اشعاعية (Non Radiative Transition) تمثل ( ٣ - ٢ ) فتكون مصحوبة بضياء الطاقة (حرارة في البلورة) قدرها  $(\epsilon_3 - \epsilon_2)$  اما البث بالهبوط من المستوى الشبه مستقر (2) الى المستوى الأول (القرار) فيؤدي الى ضوء الليزر بطاقة  $\epsilon_2 - \epsilon_1 = hf'$  وتسمى العملية اعلاه في ليزر الياقوت بعملية المستويات الثلاثة (Three levels Scheme) . وهناك عملية أكثر كفاءة تسمى بعملية المستويات الأربعة (Four levels scheme) ، حيث يكون المستوى الرابع يحل محل مستوى القرار بالنسبة لنقله الليزر ، فالذرات قبل عملية الضخ تكون مستويات الليزر فارغة تقريباً مقارنة بمستوى القرار (Ground State) . ولكنه بسبب دالة بولتزمان الأسسية ، فان عملية ضخ صغيرة تكفي للحصول على الانقلاب السكاني .

ان العملية الأخيرة تمكّنا من الحصول على ليزر متصل البث . ومن الشائع في المختبرات العلمية هو الليزر الذي تتكوّن مادته النشطة من غازي الهيليوم والنيون (He - Ne Laser) يعطي ضوءاً بموجة ٣٦٢٨ انكستروم تقريباً . ويقوم الهيليوم بعملية الضخ (المخطط ٦ - ٩) .  
وهناك تقدم سريع في وسائل توليد واستخدام الليزر في المواصلات والتوجيه والصناعة والطب لا مجال لذكرها .



المخطط (٦ - ٩) - نموذج لأربعة مستويات الطاقة في ليزر He - Ne

## (٥ - ٦) احصاء فيرمي - دايراك (Fermi - Dirac Statistics)

يطبق احصاء فيرمي - دايراك على الجسيمات الغير متميزة والتي تخضع لقانون الاستثناء لباولي كما ذكرنا في بداية هذا الفصل ، حيث ينص هذا القانون على انه لا يجوز لأكثر من جسيمة واحدة من أشغال أية حالة طاقة .

لذلك فان عدد الجسيمات (Ni) الممسوحة في أي مستوى طاقة لا يتجاوز عدد الخلايا (gi) في ذلك المستوى ( $gi \geq Ni$ ) .

فلو اخذنا عدداً من الجسيمات المتميزة وغلثها بالحروف c,b,a فان هناك gi من المواقع للجسيم (a) تاركاً (gi - 1) مكاناً للجسيم الآخر (b) و (gi - 2) موقعاً للجسيم (c) . . . و (gi - (Ni - 1)) موقعاً للجسيم الأخير .

لذلك فان عدد الطرق التي تكون فيها سلسلة من  $N_i$  حرف مخصصة الى  $g_i$  من المواقع (الخلايا) تساوي :

$$g_i (g_i - 1) \dots g_i - (N_i - 1) = \frac{g_i !}{(g_i - N_i) !}$$

وبما ان الجسيمات في احصاء F.D. غير متميزة لذلك يجب قسمة النتيجة على  $N_i!$  وبذلك نحصل على :

$$W_i = \frac{g_i !}{N_i ! (g_i - N_i) !}$$

فمثلاً لو فرضنا عند المستوى (J) هناك ثلاثة خلايا ( $g_i = 3$ ) وجسيمتين ( $N_i = 2$ ) فان  $W_i = 3$  لاحظ المخطط (٤ - ١٠) . ولإيجاد مجموع الطرق المختلفة المتميزة للتوزيعات .

•		•
•	•	
	•	•

المخطط (٦ - ١٠) توزيع جسيمتين متماثلتين بين ثلاثة خلايا لا تشغل الخلية أكثر من جسيمة واحدة

$N_3, N_2, N_1$  من بين مستويات الطاقة  $\epsilon_3, \epsilon_2, \epsilon_1$  نضرب الحدود المماثلة للحد أعلاه لكل مستوى طاقة متيسر فنحصل على الاحتمالية الترموداينميكية (WF.D) حسب توزيع فيرمي - دايراك .

$$W_{F.D.} = \prod_{i=1}^N \frac{g_i !}{N_i ! (g_i - N_i) !} \dots (١٠ - ٦)$$

ولاشتقاق دالة التوزيع ، نستخدم نفس الأسس التي طبقت لاشتقاق دالة توزيع M.B., B.E. أي نجد قيمة :

$$\sum \epsilon_i dN_i = 0 , \sum dN_i = 0 , d \ln W_{F.D.} = 0$$

وباستخدام تقريب ستيرلينج ( $\ln x! = x \ln x - x$ ) تصبح المعادلة

$$\ln W_{F.D.} = \sum [g_i \ln g_i - N_i \ln N_i - (g_i - N_i) \ln (g_i - N_i)] \dots (10-6)$$

$$\dots - d \ln W_{F.D.} = \sum [\ln N_i - \ln (g_i - N_i)] d N_i = 0$$

وباستخدام معاملي لاكرانج  $\alpha, \beta$  وجمع المعادلات اعلاه نحصل :

$$\ln N_i - \ln (g_i - N_i) + \alpha + \beta \epsilon_i = 0$$

$$\dots N_i = \frac{g_i}{e^{\alpha + \beta \epsilon_i} + 1} \dots (11-6)$$

وهي تمثل دالة F.D. . ويمكن البرهنة على ان  $\beta = 1/kT$  أما الكمية ( $\alpha$ ) فهي تُعين تحت شرط  $\sum N_i = N$  وفي اغلب الأحيان تكون سالبة وتعرف بالكمية  $\epsilon_F$  والمسماة طاقة فيرمي (Fermi Energy) حيث :

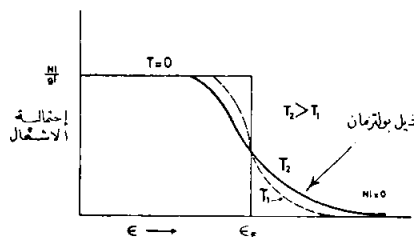
$$\epsilon_F = \pm \alpha kT \dots (12-6)$$

ويعوّض أحياناً عن  $\epsilon_F$  بالجهد الكيميائي ( $\mu$ ) في درجات الحرارة فوق الصفر المطلق ، لذلك فالمعادلة ١١-٦ تصبح :

$$\dots N_i = \frac{g_i}{e^{(\epsilon_i - \epsilon_F)/kT} + 1} \dots (13-6)$$

وتلعب هذه الدالة دوراً هاماً في نظرية الإلكترونات في المعادن . ويمكن تمثيل الدالة (١٣-٦) بالمخطط (١١-٦) ، حيث تمثل  $\frac{N_i}{g_i}$  باحتمالية أية خلية عند الطاقة  $\epsilon_i$  تكون مشغولة بالفرميونات وهي تسمى احتمالية الأشغال (Occupation Probability) فقرب الصفر المطلق ( $\beta \rightarrow \infty, T \rightarrow 0$ ) تحصل الحالتين ؛

فأما :



المخطط (١١-٦)

توزيع احتمالية الأشغال كدالة للطاقة في إحصاء (F-D)



$\beta(\epsilon_i - \epsilon_F) \rightarrow 1$  أي  $\frac{N_i}{g_i} \rightarrow 1$  وذلك عندما تكون  $\epsilon_i$  أقل من  $\epsilon_F$  . او تصبح الدالة  $(\infty)$  عندما  $\epsilon_i$  أكبر من  $\epsilon_F$  (حينئذ  $N_i \rightarrow 0$ ) فالشكل (٦ - ١١) يبين ان الالكترونات تملأ الخلايا لاوطىء قيمة للطاقة طبقاً لقانون باولي .

## (٦ - ٦) توزيع طاقة الغاز الألكتروني :

لتعيين طاقة فيرمي ( $\epsilon_F$ ) نستخدم الشرط التالي : وهو مجموع الالكترونات يساوي مجموع خلايا فضاء الطور ( $g_i \approx N_i$ ) والتي طاقتها لا تزيد على ( $\epsilon_i$ ) . ففي احصاء التكميم يفضل استخدام احداثيات الزخم ( $P$ ) واحداثيات الموقع بدلاً من احداثيات السرعة والموقع في فضاء الطور .

وبما ان توزيع فيرمي متناظر في فضاء الزخم لذلك نستخدم فراغ الزخم الكروي الذي نصف قطره ( $P$ ) فيكون حجم خلايا فضاء الطور في قشرة كروية سمكها  $dp$  (بين  $p$  و  $p+dp$ ) تساوي

$$d^3rd^3p = 8\pi p^2 dp V$$

حيث ضوعفت الكمية بسبب احتواء الالكترون على نوعين من الفتل (البرم) الى الأعلى او الى الأسفل طبقاً لقانون (باولي) ،  $V$  حجم المعدن. وبما ان حجم الخلية في هذا الفضاء تساوي  $h^3$  ، لذلك فان :

$$dg = 8\pi p^2 dp V / h^3$$

ولكن  $\epsilon = P^2 / 2m$  للجسيمة الحرة ،

$$\therefore \epsilon_F = \frac{P_F^2}{2m}$$

$$\therefore g = \frac{8\pi V}{h^3} \int_0^{P_F} p^2 dp = \frac{8\pi V}{3h^3} (2m \epsilon_F)^{3/2}$$

ولكن  $g = N$   $n = \frac{N}{V}$  (الكثافة العددية للالكترونات الحرة في المعدن) .

$$\therefore \epsilon_F = \frac{h^2}{2m} \left( \frac{3n}{8\pi} \right)^{2/3} \quad \dots \dots (٦ - ١٤)$$

فالجداول (٦ - ١) يعطي قيمة  $\epsilon_F$  لعدد من الفلزات .

ويمكن الوصول الى نفس النتيجة بتكامل المعادلة (٣ - ٣٣) من صفر الى  $\epsilon_F$  مع التعويض عن  $\int_0^{\epsilon_F} g(\epsilon) d\epsilon$  بالمقدار  $\frac{N}{2}$  طبقاً لقانون باولي .  
ولحساب متوسط الطاقة  $\bar{\epsilon}$  نستخدم العلاقة المألوفة :

المعدن	$T_F(k) \times 10^4$	$F(e.v.)$
Li	5.5	4.72
Na	3.7	3.12
K	2.4	2.14
Cu	8.2	7.04
Ag	6.4	5.51

الجدول (٦ - ١) طاقة ودرجة حرارة فيرمي لبعض المعادن

$$\bar{\epsilon} = \frac{1}{N} \int \epsilon_i dN_i$$

$$dg = \frac{4 \pi V}{h^3} (2m)^{3/2} \epsilon^{1/2} d\epsilon \quad \text{ولكن :}$$

$$\bar{\epsilon} = p^2 / 2m , \int_0^{\epsilon_F} dg_i = N \quad \text{لأن :}$$

$$\bar{\epsilon} = \int_0^{\epsilon_F} \epsilon^{3/2} d\epsilon / \int_0^{\epsilon_F} \epsilon^{1/2} d\epsilon \quad \text{لذلك فان :}$$

$$\bar{\epsilon} = \frac{3}{5} \epsilon_F \quad \dots (٦ - ١٥)$$

فللموصلات الجيدة  $\bar{\epsilon}$  تساوي بضعة (e.v. . إ.ف) ، أي ان  
الالكترون يسير بسرعة تتجاوز الف مرة سرعة الصوت حتى عند الصفر المطلق !!

ويمكن وضع المعادلة (٦-١٣) بالصيغة التفاضلية :

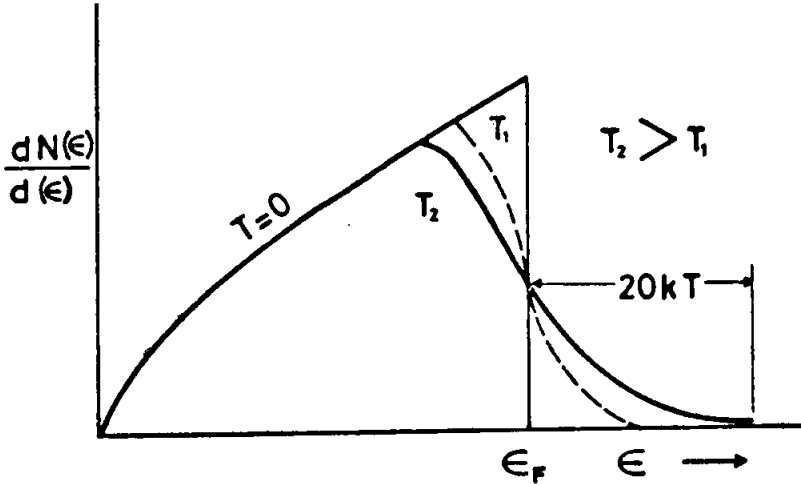
$$dN(\epsilon) = \frac{dg}{\text{Exp}(\epsilon - \epsilon_F) / kT + 1}$$

$$= \frac{8\pi V(2m^3)^{1/2}}{h^3} \cdot \frac{\epsilon^{1/2} d\epsilon}{(\exp(\epsilon - \epsilon_F) / kT + 1)}$$

..... (٦-١٦)

$$\therefore \frac{dN(\epsilon)}{d\epsilon} = \frac{8\pi V(2m^3)^{1/2}}{h^3} \cdot \frac{\epsilon^{1/2}}{(\exp(\epsilon - \epsilon_F) / kT + 1)}$$

والمعادلة الأخيرة تمثل معادلة فيرمي - دايراك لتوزيع طاقة الالكترونات الحرة . وعموماً تصح للفرميونات الحرة . . وهي تمثل في المخطط (٦-١٢) وتكون طاقة الحالات التي تشغلها الالكترونات المثيجة (المثارة) تتجاوز ( $\epsilon_F$ ) بحدود ( $20kT$ ) فمن الجدول (٦-١٢) نجد طاقة فيرمي تزيد كثيراً على الطاقة الغاز بدرجة حرارة الغرفة (والتي تقارب ٢٥ . و . إ . ف ) .  
ولحساب درجة حرارة ( $T_F$ ) الغاز الذي يمتلك طاقة فيرمي نستخدم العلاقة :



المخطط (٦-١٢) - توزيع طاقة الفرميونات الحرة (الالكترونات) مع درجة الحرارة

$$\epsilon_F = k T_F$$

..... (٦-١٧)

حيث  $T_F$  تسمى درجة حرارة فيرمي ، وباستخدام حجم مولي للنحاس قدره ٧,٢ سم<sup>٣</sup> وعلى فرض انه يحتوي الكترون حر لكل ذرتين ، فيكون عددها في المول الواحد يقارب  $٣ \times ١٠^{٢٣}$  وتكون  $T_F$  تساوي  $٥ \times ١٠^٤$  ك !

أي ان الالكترون الحر عند الصفر المطلق في المعدل له طاقة غاز بدرجة حرارة  $٥ \times ١٠^٤$  ك ، وتسمى هذه الطاقة بطاقة الصفر المطلق للغاز الالكتروني .

## (٦ - ٧) الحرارة النوعية للالكترونات الحرة في المعدن :

عندما يسخن المعدن الى درجة حرارة  $T$  فان الالكترونات التي طاقته قرب  $\epsilon_F$  ترتفع الى حالات عليا من الطاقة ، ولحساب تأثير طاقة هذه الالكترونات الحرة على الحرارة النوعية للمعدن ( $c_e$ ) نستخدم احضاء (F. D.) . ولايجاد الطاقة الداخلية ( $U$ ) للالكترونات نستخدم العلاقة :

$$U = \int_0^{\infty} \frac{g(\epsilon) d\epsilon}{e^{(\epsilon - \epsilon_F)/kT} + 1}$$

$$g(\epsilon) d\epsilon = 4\pi V \left( \frac{2m}{h^2} \right)^{3/2} \epsilon^{1/2} d\epsilon \quad \text{ولكن : } 3/2$$

وباستخدام المعادلة (٦ - ١٤) مع المعادلة الأخيرة يكون :

$$g(\epsilon) d\epsilon = \frac{3N \epsilon^{1/2} d\epsilon}{2 \epsilon_F^{3/2}}$$

$$\therefore U = \frac{3N}{2 \epsilon_F^{3/2}} \cdot \int_0^{\infty} \frac{\epsilon^{1/2} d\epsilon}{\text{Exp}(\epsilon - \epsilon_F)/kT + 1}$$

ان تكامل المعادلة الأخيرة صعب للغاية ، ولكن تكاملها ممكن تحت ظروف

خاصة ، فمثلاً عندما تكون  $\frac{T}{T_F}$  صغيرة (في درجات الحرارة الواطئة) فيمكن

تكاملها على شكل متوالية ، وبأخذ الحدين الأولين فقط من المتوالية نحصل :

$$U = \frac{3N_0 \epsilon_F}{5} \left[ 1 + \frac{5\pi^2}{12} \left( \frac{kT^2}{\epsilon_F} \right) + \dots \right]$$

حيث  $\frac{3}{5} N_0 \epsilon_F$  هو متوسط الطاقة عند الصفر المطلق للمول الواحد من الإلكترونات :

$$\therefore C_e = \left( \frac{\partial U}{\partial T} \right)_V = N_0 k \frac{\pi^2}{2} \frac{kT}{\epsilon_F} +$$

أو :  $(T \ll T_F)$

$$C_e = \alpha T \quad \dots (6-18)$$

حيث  $\alpha$  ثابت لذلك المعدن ، فيكون تأثير طاقة الإلكترونات مهمة في المعدن في درجات الحرارة الواطئة عند منطقة قانون (ديباي) وعليه فان  $(C_v)$  للجامد الموصل يمكن التعبير عنها بالمعادلة :

$$\frac{C_v}{3R} = 77.9 \left( \frac{T}{\Theta_D} \right)^3 + \frac{\pi^2}{6} \cdot \left( \frac{T}{T_F} \right) \dots \dots (6-19)$$

مثال محلول :

احسب ضغط الغاز الالكتروني ( $P_e$ ) داخل قطعة من معدن عند درجة حرارة الصفر المطلق .

$$P = - \left( \frac{\partial U}{\partial V} \right)_S$$

ولكن عند  $T = 0$  (راجع الفقرة الأخيرة) :

$$U = \frac{3N}{5} \epsilon_F$$

$$P_e = - \frac{3N}{5} \left( \frac{\partial \epsilon_F}{\partial V} \right)$$

$$\epsilon_F = \frac{h^2}{2m} \left( \frac{3}{8\pi} \right)^{2/3} \cdot \left( \frac{N}{V} \right)^{2/3} \quad \text{ولكن :}$$

$$\dots L_n \epsilon_F = -\frac{2}{3} L_n V + C$$

$$\dots \frac{\epsilon_{Fn} \epsilon_F}{\partial V} = -\frac{2}{3} \frac{\epsilon_F}{V}$$

$$\dots P_e = \frac{2}{5} \frac{N}{V} \epsilon_F = \frac{16\pi}{15} \left( \frac{2m}{h^2} \right)^{3/2} \epsilon_F^{5/2}$$

فمن الجدول (٦ - ١) مثلاً نجد ( $\epsilon_F$ ) للنحاس تقارب (٧) إ. ف . وعند تعويض عن قيمتها (بالأرغ) ،  $m$  كتلة الإلكترون ( $h$ ) ثابت بلانك نجد أن :  
 $P_e = 4 \times 10^5 \text{ atmosphere}$

وبالرغم من هذا الضغط الهائل الا انه الإلكترونات لا تهرب من المعدن بسبب حاجز الجهد عند السطح .

## (٦ - ٨) الغاز المثالي في احصاء التكميم :

ان جميع الجسيمات تخضع اما لاحصاء F.D. أو B.E. لذلك حتى الغاز المثالي يجب تحليله من وجهة نظر احصاء التكميم .

فلو فرضنا على سبيل المثال ، بأن الغاز المثالي يخضع لاحصاء B.E. وهي الحالة الأكثر شيوعاً ، لأن الجزيئات تمتلك فتل اما صفر او الوحدة من ( $\hbar$ ) فيكون عدد الجسيمات بين الطاقتين  $\epsilon + d.\epsilon$  يساوي :

$$dN(\epsilon) = 4\pi V \left( \frac{2m^3}{h^3} \right)^{1/2} \frac{\epsilon^{1/2} d\epsilon}{e^{\alpha + \epsilon / kT}}$$

فلنضع  $x = \frac{kT}{\epsilon}$  ولكن  $Z$  للغاز المثالي تساوي :  $\frac{V}{h^3} (2\pi mkT)^{3/2}$

$$\therefore N = \frac{2Z}{\sqrt{\pi}} \int_0^{\infty} \frac{x^{1/2} dx}{e^{\alpha + x} - 1}$$

وبما أن  $\alpha$  موجب في احصاء B.E. وباستخدام نظرية ذات الحدين تكون :

$$(e^{\alpha + x} - 1)^{-1} \approx e^{-\alpha} (e^{-x} + e^{-\alpha - 2x} + \dots)$$

وبالتعويض والتكامل للمعادلة الأخيرة نحصل :

$$N = Ze^{-\alpha} \left( 1 + \frac{1}{2^{3/2}} e^{-\alpha} + \dots \right)$$

وكتقريب أولي نضع  $\alpha = \frac{N}{Z}$  ثم نقوم بتقريب ثاني ، لنحصل :

$$e^{-\alpha} = \frac{N}{Z} \left( 1 + \frac{1}{2^{3/2}} e^{-\alpha} + \dots \right)^{-1} \approx \frac{N}{Z} \left( 1 - \frac{1}{2^{3/2}} \frac{N}{Z} + \dots \right)$$

$$\therefore U = \int_0^{\infty} \epsilon dN(\epsilon) = \frac{2 Z k T}{\sqrt{\pi}} \int_0^{\infty} \frac{x^{3/2}}{e^{\alpha + x} - 1} dx$$

$$\approx \frac{3 k T Z}{2} e^{-\alpha} \left( 1 + \frac{1}{2^{5/2}} e^{-\alpha} + \dots \right)$$

وبالتعويض عن قيمة  $e^{-\alpha}$  نحصل :

$$U = \frac{3 N k T}{2} \left( 1 - \frac{1}{2^{5/2}} \frac{N}{Z} + \dots \right) \quad \dots (٢٠ - ٦)$$

$$P = - \left( - \frac{\partial u}{\partial v} \right)_T = - N i \left( - \frac{d\epsilon_i}{dv} \right)_s \quad \text{ولكن :}$$

$$\epsilon_i = \frac{\pi^2 \hbar^2 n^2}{2m} V^{-2/3} \quad \text{فلغاز في مكعب حجمه } V \text{ نجد :}$$

$$\therefore \frac{\partial \epsilon_i}{\partial V} = - \frac{2}{3} \frac{\epsilon_i}{V} \quad (٢١ - ٦)$$

$$\therefore P = \frac{2}{3} \sum \frac{v_i \epsilon_i}{V} = \frac{2}{3} \frac{U}{V}$$

وبالتعويض عن U في المعادلة (٢٠ - ٦) نجد :

$$P = \frac{NkT}{V} \left( 1 - \frac{1}{2^{5/2}} \cdot \frac{N}{V} \right) \dots (٦ - ٢١)$$

أي ان تأثيرات التكميم في احصاء B.E. تؤدي الى تقليل الضغط والطاقة الداخلية لغاز M.B. المثالي .

اما بالنسبة لغاز F.D. فلقد سبق واشتققنا الضغط والطاقة الداخلية عند الصفر المطلق ، اما في درجات الحرارة العالية جداً (حيث  $\alpha$  موجبة) فان الإشارة السالبة في المعادلة (٦ - ٢٢) تصبح موجبة . اما في درجات الحرارة الواطئة ( $\alpha$  سالبة) فان الضغط لغاز F.D. يزداد عن قيمته في الصفر المطلق .

## (٦ - ٩) حالة التحلل وعدم التحلل في الاحصاءات المختلفة

(Degenerate and Nondegenerate State)

لمعرفة كون التوزيع متحلاً او عدمه ، يجب حساب الجهد الكيميائي  $\mu$  (وهو يساوي  $\epsilon_F$  تقريباً ، راجع السؤال ٢٣) ومن ثم حساب  $e^{-\mu / \epsilon_F}$  ولكن :

$$N = \int dN_i = \int \exp \mu / kT \cdot dg \exp - \epsilon_i / kT$$

$$dg_i = 4 \pi V P_i^2 dp_i / h^3 , \epsilon_i = \frac{p_i^2}{2m} \quad \text{ولكن :}$$

$$e^{-\mu / kT} = \frac{(2\pi mkT)^{3/2}}{h^3} \frac{V}{N} \quad \text{وبالتعويض نحصل :}$$

ويمكن البرهنة ان وحدات الحد الأيمن لها وحدات معدل عدد خلايا فضاء الطور لكل جسيمة . وهو بذلك يتناسب مع  $e^{-\mu / kT}$  لذلك فلاحصاء التقليدي يكون  $1 \gg e^{-\mu / kT}$  أي ان خلايا الطور متوفرة للجزيئات ، ولتوضيح ذلك نأخذ المثالي التالي : -

مثال محلول : -

احسب القيمة التقريبية للكمية  $e^{-\mu / kT}$  للحالات التالية :



- أ - جزيئات النايتروجين تحت الظروف الاعتيادية .  
 ب - سائل الهيليوم عند درجة غليانه .  
 ج - الكترونات في البلازما تحت الظروف الاعتيادية .  
 الحل :

أ - لجزيئات النايتروجين :

$$m_N = 5 \times 10^{-23} \text{ gm} , T = 300\text{k}$$

$$h^3 = 2 \times 10^{-74} \text{ e} \mid \text{g} \cdot \text{sec} , \frac{V}{N} \approx 4 \times 10^{-20} / \text{Cm}^3$$

$$e^{-\mu / kT} \approx 10^7$$

لذلك يصح احصاء M.B على الهواء الذي نستنشقه .

ب - لسائل الهيليوم :  $m_{\text{He}} \approx 6 \times 10^{-24} \text{ gm} , T = 4.2 \text{ K}$

$$\therefore \frac{V}{N} \approx 5 \times 10^{-23} / \text{Cm}^3 \quad \rho = 0.12 \text{ gm} / \text{cm}^3$$

$$\therefore e^{-\mu / kT} \approx 1$$

لذلك فان الاحصاء التقليدي لا يصح على سائل الهيليوم بسبب ظهور تأثيرات التحلل التكميمي (Quantum Degeneracy) عند نقطة الغليان .

ج - اما بالنسبة للالكترونات تحت ظروف البلازما في المختبر ، فان :

$$T \approx 10^3 \text{ K} , m_e = 10^{-27} \text{ gm} , \frac{N}{V} \approx 10^{12}$$

$$\therefore e^{-\mu / kT} \approx 10^8$$

أي ان التأثيرات التكميمية مهملة .

## (٦ - ١٠) نموذج الالكترونات الحرة في المعادن :

(Free electron model in metals)

لقد بيّنا في الفصل الثاني بأن النظرية الحركية للغازات لا تفسر التوصيل الحراري والكهربائي للمعادن بصورة ناجحة ، ولكن احصاء F.D. على الالكترونات يفسر هاتين الظاهرتين بنجاح ، وكما بيّنا ، فانه فسر ايضاً تأثير طاقة الالكترونات على الحرارة النوعية للمعدن ، ولا سيما قرب الصفر المطلق حيث تتوقف الحركة الاهتزازية لذرات المعدن وتصبح الحركة الالكترونية هي الممول الوحيد للحرارة النوعية للمعدن .

ان حركة الالكترونات داخل المواد الصلبة تحت تأثير الجهد الموجب للشبكة البلورية ، هي تلك الحركة المقننة التي نحصل عليها بحل معادلة شرودنكر ، كما ذكرنا في الفصل الثالث . ونتيجة لهذه الحسابات نجد ان مستويات الطاقة المقننة (المكممة) المتاحة لهذه الالكترونات متقاربة جداً في القيمة أي  $kT \ll E_i - E_{i+1}$  الى الحد الذي يمكن معه اعتبار الطاقة ( $\epsilon$ ) للالكترونات دالة متصلة ، فلو رسمنا العلاقة بين  $\epsilon$  والعدد الموجي ( $k = \frac{2\pi}{\lambda}$ ) للالكترون الحر حصلنا على الشكل (٦ - ١٣ أ) .

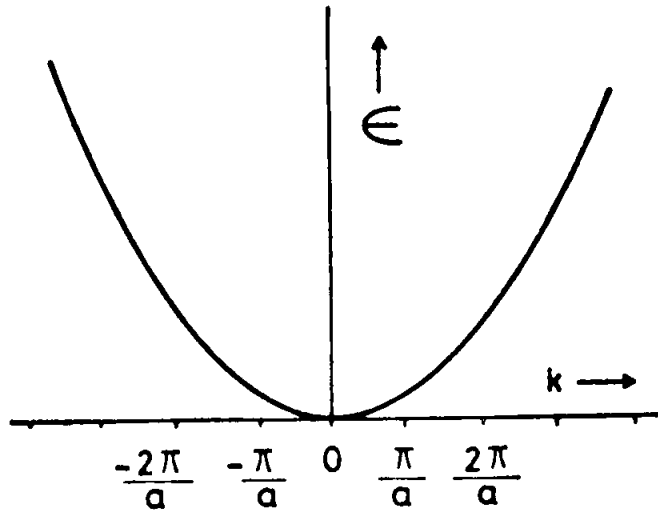
$$\epsilon = \frac{p^2}{2m_e} = \frac{\hbar^2 k^2}{2m_e} \quad \text{حيث :}$$

$$k = \frac{2\pi}{\lambda} = n \frac{\pi}{a} \quad (n = 1, 2, 3 \dots)$$

$\lambda$  هو طول موجة الالكترون الواقعة في بلورة المعدن التي تكون الفواصل بين ذراته . (a)

$$\lambda = 2a \quad \text{حيث :}$$

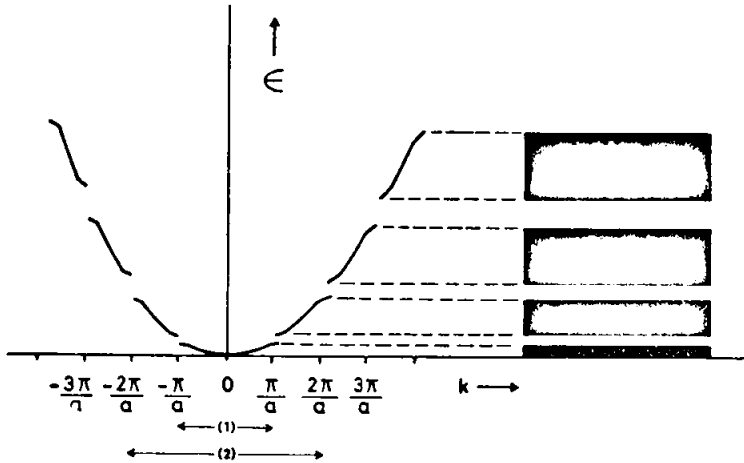
والحقيقة ان طاقة الالكترون في المعدن لا تكون متصلة (حرة) دائماً بسبب الطاقة الكامنة لايونات المشبك البلوري . فنتج عنه مناطق منفصلة لقيم  $k$  عند المناطق :



المخطط (٦- ١٣ أ) - طاقة الألكترون الحرة دالة متصلة

$$k = n \frac{\pi}{a}$$

حيث :  $n = \pm 1 \pm 2 \pm 3 \dots$  (المخطط ٦- ١٣ ب) . وتحصل فجوات الطاقة (Energy Gaps) وما عدا هذه الفجوات فان الالكترونات في المشبك تتحرك بطلاقة



المخطط (٦- ١٣ ب) - طاقة الألكترون في البلورة دالة متقطعة الى K . . ( لاحظ مناطق بريليون ٢٠١ )

ان التوصيل الكهربائي والحراري في المعادن مصدره الالكترونات التوصيل (Conduction Electrons) . وهذه اصلاً هي الالكترونات التكافوء في ذرات المعادن والتي اصبحت الالكترونات مشاعة ، أي لا تُمَتُّ لذرة معينة ، وتكون غازاً الكترونياً متحلاً ذو درجة تحلل كبيرة ، ويسمى غاز فيرمي (Fermi gas) لأنه يخضع لاحصاء F. D .

فبالرغم من وجود تفاعل بين الغاز الالكتروني والشبكة الأيونية الموجبة في بلورة الجسم المعدني ، وكذلك يوجد تفاعل آخر بين الالكترونات التوصيل نفسها ، إلا أن هذه التفاعلات ضئيلة الى درجة يمكن اهمالها ، وبالتالي يمكن اعتبار غاز فيرمي ، غاز حر ، أي غاز مثالي ، ونعلل هذا القول كما يلي :

من المعروف ان كل المعادن في درجات الحرارة الواطئة القريبة من الصفر المطلق ، لها معامل توصيل كهربائي عالي القيمة ، أي أن جميع المعادن تصبح موصلات مفرطة (Super Conductors) للكهربائية ، وذلك يعني ان الالكترونات التوصيل تنساب حرة مطلقة بدون ادنى مقاومة داخل المعدن عند درجات الحرارة الواطئة القريبة من الصفر المطلق . وتعمل الشبكة الأيونية الموجبة في بلورات المعدن على فصل الالكترونات التوصيل جزئياً عن بعضها ، أي تعمل على تقليل مقدار التفاعل (Interaction) بين هذه الالكترونات بمقدار يمكن اهماله . فلقد ذكرنا في الفصل الثالث أن جميع مستويات الطاقة المتاحة لالكترونات التوصيل داخل المعدن عند درجة الصفر المطلق مشغولة تماماً من اوطىء مستوى طاقة وحتى مستوى طاقة فيرمي ، وكما ذكر فان  $\epsilon_F$  لأغلب المعادن تقارب ٤,٥ ( ا . ف ) .

فلو فرضنا وقوع تفاعل بين الكترونيين داخل المعدن عند درجة الصفر المطلق ولتكن (J), (i) هما حالتا التكميم للالكترون قبل التفاعل . فبعد التفاعل المزعوم يتشتت الالكترون ان الى حالتي التكميم (J'), (i') .

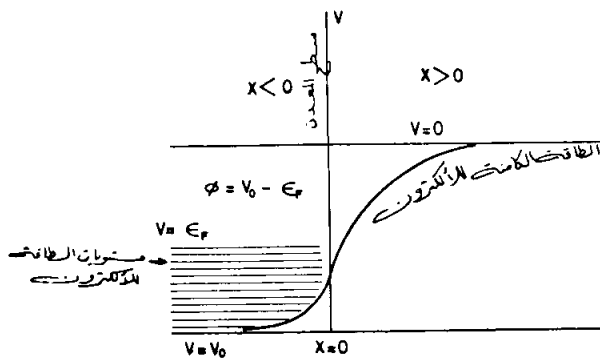
ولكن جميع حالات التكميم (J', i') والتي يمكن ان يتشتت اليها الالكترون بعد التفاعل مشغولة تماماً ، وحسب قاعدة الاستثناء لباولي (Pauli Exclusion Principle) نستنتج من ذلك استحالة حدوث ذلك التفاعل ، ويفسر صحة نموذج الالكترونات الحرة في المعادن .

(Thermoionic Emission)

عند تسخين أي معدن وجد ان بعض الالكترونات تستطيع الهروب من داخل المعدن الى الخارج خلال السطح المعدني . وتسمى هذه الظاهرة بظاهرة الانبعاث الالكتروني الحراري ، ولقد سبق وطبقنا الاحصاء التقليدي على الالكترونات على فرض انها غاز مثالي ، ولكن النتيجة كانت مغايرة للواقع ، وسوف نطبق نموذج الالكترونات الحرة في المعدن باعتبارها غاز فيرمي .

ان الالكترونات التوصيل هذه تتحرك داخل المعدن في مجال جهد ثابت . اما اذا اقتربت من سطح المعدن الداخلي فانها تقع تحت تأثير قوة جذب كبيرة تعيدها الى داخل المعدن . وهذه القوة الجاذبة تتعادل مع الضغط الالكتروني (الهائل المقدار كما بينا في المثال المحلول) داخل المعدن بعيداً عن السطح الداخلي ، أي ان طاقة الجهد تزداد فجأة وبشدة اذا اقتربت الالكترونات من سطح المعدن من الداخل ، ثم تثبت ثانية خارج المعدن ، ويمثل الرسم البياني (٦ - ١٤) هذه التغيرات في طاقة الجهد داخل وخارج المعدن .

وبما ان الالكترونات حرة داخل المعدن (بالفرض) فان :



المخطط (٦-١٤)

طاقة الكهد الكهربائي للالكترود داخل وخارج المعدن ( المجال الخارجى صفر )

$$\frac{p^2}{2m} = \frac{P_x^2 + P_y^2 + P_z^2}{2m}$$

حيث (P) هو زخمها الخطي . فالإلكترونات التي تنجح بالهروب من المعدل خلال السطح ( $x = 0$ ) نتيجة تسخين المعدن هي تلك التي لها مركبة زخم  $P_x$  بحيث :

$$P_x \geq (2mV_0)^{1/2}$$

$$\frac{P_x^2}{2m} \geq V_0 \quad \text{أي :}$$

حيث ( $V_0$ ) هو عمق البئر الجهدي الناتج عن الشبكة الأيونية الموجبة ، وحينئذ سوف تتغلب الإلكترونات (تتسلق البئر) على قوة الجذب الداخلية . أما مركبات الزخم الأخرى  $P_z, P_y$  فلها أن تأخذ أية قيمة ( $-\infty$  إلى  $+\infty$ ) . ففي الوسط الموصل المتجانس توجد علاقة بين متوسط كثافة التيار الكهربائي  $\bar{J}_x$  ومتوسط سرعة انجراف الشحنات في نفس الاتجاه  $\bar{V}_x$  حيث :

$$\bar{J}_x = ne \cdot \bar{V}_x$$

(n) الكثافة العددية للشحنات في الوسط .

وبما أن الإلكترونات التوصيل متوزعة إلى حالات التكميم (i)

$$e_i = \frac{P_i^2}{2m}$$

$$\therefore \bar{P}_x = m \bar{V}_x$$

$$\therefore \bar{J}_x = \sum_i \bar{J}_{xi} = \sum_i n_i e \bar{V}_{xi} = \frac{e}{m} \sum_i n_i \bar{P}_{xi}$$

وكما ذكرنا سابقاً ، أن مستويات الطاقة للإلكترونات التوصيل متقاربة ، لذلك يمكن استخدام قاعدة تقنين فضاء الطور التقليدية في هذه الحالة ، ويمكن استبدال  $\sum \bar{J}_{xi}$  .  $\bar{P}_{xi}$  بالكميات :

$\frac{e dN}{V}$  ،  $p_x$  ،  $J_x$  ،  $f$  على التوالي ، حيث

(e) شحنة الالكترون ،  $dN$  هو عدد الالكترونات التوصيل في حجم  $V$  من المعدن وفي  
عنصر الحجم  $d^3P$  في فضاء الزخم حيث :  $d^3P = dP_x dP_y dP_z$

$$\frac{2V dP_x dP_y dP_z}{h^3} \quad : \text{ ويكون عدد خلايا فضاء الطور}$$

والرقم (٢) استخدم طبقاً لقانون (باولي) .

$$dN = \overline{N(p, T)} \cdot \frac{2V dP_x dP_y dP_z}{h^3} \quad (٢٣ - ٦)$$

$$N(P, T) = \frac{\sum N_i}{d g_i} \quad : \text{ حيث}$$

$$n_i = \frac{dN}{V} = \frac{2}{h^3} \cdot \overline{N(P, T)} dP_x dP_y dP_z \quad : \text{ ولكن}$$

$$J_x = \int dJ_x = \frac{2e}{mh^3} \int_{-\infty}^{\infty} dp_x \int_{-\infty}^{\infty} dP_z \int_{-\infty}^{\infty} dP_y \overline{N(P, T)} P_x \dots \quad (٢٤ - ٦)$$

$$\epsilon_F < V_0 \leq \frac{P^2 x}{2m} \leq \epsilon \quad : \text{ ولكن تحت الشروط السابقة}$$

$$e \frac{\epsilon - \epsilon_F}{kT} \gg 1 \quad : \text{ وهذا يعني أن الدالة}$$

في هذه الحالة ، فان توزيع فيرمي - دايراك (٦ - ١٣) يؤول الى التوزيع  
المسمى ذيل بولتزمان (الشكل ٦ - ١١) أي أن :

$$\frac{dN_i}{d g_i} = N(P, T) = e^{-\frac{1}{kT} (p^2/2m - \mu)}$$

حيث ( $\mu$ ) هو الجهد الكيميائي ويساوي  $\epsilon_F$  عند الصفر المطلق .  
وبالتعويض عن قيمة  $P$  بمركباتها ،  $\bar{N}(P,T)$  في المعادلة (٦ - ٢٤) واجراء  
التكامل نحصل :

$$J_x = \frac{4\pi me}{h^3} \cdot (kT)^2 \cdot e^{-\phi/kT} \dots\dots\dots (٦ - ٢٥)$$

$$\phi = V_u - \epsilon_F \quad \text{حيث :}$$

والمعادلة (٤ - ٢٥) هي معادلة (دشان) للانبعاث الحراري الأيوني وتسمى  
 $\phi$  بدالة الشغل للمعدن (Work Function) وهي تمثل اقل طاقة ممكنة لهروب  
الالكترونون من المعدن الى خارج سطحه .

## (٦ - ١٢) أشباه الموصلات (Semi Conductors)

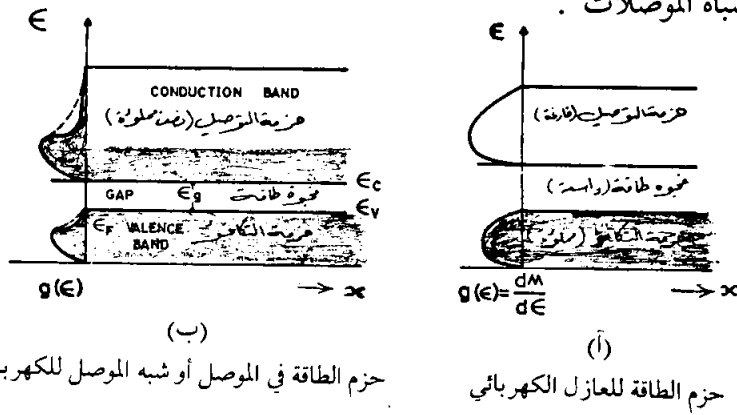
لقد نجح نموذج الألكترونات الحرة في المعادن في تفسير العديد من الظواهر  
منها الانبعاث الأيوني الحراري والحرارة النوعية للالكترونات قرب الصفر  
المطلق . الخ ولكنه يعجز عن تصنيف المواد الصلبة من حيث خاصية التوصيل  
الكهربائي الى مواد جيدة التوصيل (موصلات) واخرى رديئة التوصيل (عوازل) .  
ولقد نجحت فيزياء الحالة الصلبة في تقديم صورة واضحة للتوزيع  
الكهربائي المختلف والمميز لكل من هذه المواد الصلبة ، مما يجعل بعضها موصلاتاً  
جيداً وبعضها الآخر عازل للكهرباء .

ففي نظرية الجوامد نجد أن حركة الالكترونات داخل المواد الصلبة تحت تأثير  
الجهد الموجب للشبكة البلورية ، هي حركة مقننة نحصل عليها بحل معادلة  
شرودنكر ، ونتيجة لتلك الحسابات نجد ان مستويات الطاقة المقننة المتاحة لهذه  
الذرات متقاربة جداً في القيمة ( $\epsilon_{i+i} - \epsilon_i \ll kT$ ) الى درجة يمكن معه اعتبار ان كل قيم  
الطاقة ( $\epsilon$ ) في المدى  $0 \leq \epsilon \leq \epsilon_v$  متاحة لهذه الالكترونات (المخطط ٦ - ١٥) وعند درجة



الصفر المطلق في كل الأجسام الصلبة تكون كل مستويات الطاقة في هذا المدى أو المنطقة مشغولة . أي ان متوسط نسبة الاشغال  $\bar{N}(\epsilon, 0) = 1$  في المنطقة  $0 \leq \epsilon \leq \epsilon_F$  تسمى حزمة طاقة التكافؤ (Valence band) وتعلو هذه المنطقة منطقة أخرى للطاقة تقع في المدى  $\epsilon_v \leq \epsilon \leq \epsilon_c$  وهي منطقة محرمة (Forbidden band) أو غير متاحة للالكترونات .

ان اتساع منطقة الطاقة الممنوعة (فجوة الطاقة) أي قيمة  $\epsilon_g = \epsilon_c - \epsilon_v << kT$  هي التي تحدد طبيعة الاجسام الصلبة ان كانت موصلة أو عازلة أو شبه موصلة . فإذا كانت  $\epsilon_g << kT$  صنف الماد الصلبة من العوازل اما اذا كانت  $\epsilon_g >> kT$  كانت الماد اشباه الموصلات .



المخطط (٦ - ١٥)

ويعلو منطقة الطاقة الممنوعة ( $\epsilon_v \leq \epsilon \leq \epsilon_c$ ) حزمة طاقة أخرى تسمى حزمة التوصيل ، وان طبيعة هذه الحزمة يختلف حسب طبيعة الماد الصلبة فعند الصفر المطلق تكون هذه المنطقة خالية في حالة العوازل واشباه الموصلات ، وتكون مشغولة جزئياً في حالة المواد الموصلة للكهرباء المخطط (٦ - ١٥) . فالمخطط اعلاه هو تمثيل بياني لحزم الطاقة المختلفة توضح الفرق بين العوازل والموصلات واشباه الموصلات ، وهي عبارة عن خطوط أفقية بعضها فوق بعض ومتقاربة جداً في الارتفاع ، ارتفاع كل منها يمثل مقدار طاقة الالكترون والامتداد الأفقي متساوية الطاقة ويمثل مكان الالكترون الالمحدود داخل الجسم الصلب .

والجدول (٦ - ٢) بين قيمة  $\epsilon_g$  (بالإلكترون فولط) لبعض المواد العازلة واشباه الموصلة .

الرمز	$\epsilon_g$ (ev)	العازل	$\epsilon$ (ev)	شبه الموصل	(الرمز)
C	٥,٣٣	الماس	١,١٤	السليكون	Si
Zn O	٣,٢	أكسيد الزنك	٠,٦٧	الجرمانيوم	Ge
Ag Cl	٣,٢	كلوريد الفضة	٠,٣٣	التيلوريوم	Te
Cd S	٢,٤٢	كبريتيد الكادميوم	٠,٢٣	انتيمون الانديوم	In Sb
			١,٣٤	زرنيكات الكالسيوم	Ga As

(الجدول (٦ - ٢) - طاقة الفجوة لمجموعة من العوازل واشباه الموصلات)

## (٦ - ١٣) اشباه الموصلات الذاتية

(Intrinsic Semi Conductors)

هناك بعض المواد الصلبة المسماة اشباه الموصلات الذاتية (مثل الجرمانيوم والسليكون النقيان) تكون عازلة للكهرباء عند درجة الصفر المطلق و برفع درجة حرارتها تتحول الى موصلات . ففي الشكل (٦ - ١٥) نلاحظ توزيع الالكترونات في حزم الطاقة المختلفة ، ويلاحظ ان منطقة التوصيل خالية تماماً من الالكترونات في حالة العوازل ، كذلك اشباه الموصلات الذاتية عند درجة الصفر المطلق . اما منطقة التكافوء ، فمشغولة تماماً عند الصفر المطلق .

وبرفع درجة الحرارة الى (T) ك وعندما تكون  $\epsilon_g \ll kT$   $\epsilon_g - \epsilon_v \approx \epsilon_g$  بالتسخين فان بعض الالكترونات في منطقة التكافوء ذات الطاقة  $\epsilon_v \approx \epsilon_g$  سوف تهيج (تثار Excited) حرارياً وتقفز الى منطقة التوصيل ، وعليه فان متوسط نسبة الأشغال في منطقة التوصيل يزداد من الصفر الى القيمة :

$$\bar{N}(\epsilon, T) = \frac{N_i}{g_i} = \frac{1}{e^{(\epsilon - \mu) / kT} + 1}$$

حيث  $(\epsilon)$  هي طاقة الالكترونات المثارة في منطقة التوصيل حيث  $\epsilon > \mu$  أي أن لهذه الالكترونات يكون  $\exp(\epsilon - \mu) / kT \gg 1$  وتصبح المعادلة اعلاه بالصيغة (بإهمال الوحدة) :

$$\bar{N}(\epsilon, T) = \exp - (\epsilon - \mu) / kT$$

وان عدد تلك الالكترونات المثارة حرارياً ضمن مدى الطاقة  $\epsilon + d\epsilon$  هي :

$$dN_e = N_e(\epsilon, T) g(\epsilon) d\epsilon$$

حيث  $g(\epsilon) d\epsilon$  هي عدد حالات التكميم الموجودة في المدى

$$\epsilon \geq \epsilon_g = \epsilon_c - \epsilon_v \quad \text{حيث} \quad \epsilon + d\epsilon, \epsilon$$

$$g(\epsilon)d\epsilon = \frac{4\pi V}{h^3} (2m_e)^{3/2} (\epsilon - \epsilon_g)^{1/2} d\epsilon \quad \text{ولكن} :$$

حيث  $m_e^*$  هي الكتلة الفعالية للالكترون في المعدن (وهي لا تساوي كتلة الالكترون الحر عادة وهي تعتمد على العدد الموجي  $k$  للالكترون وعلى طاقته) .

فاذا وضعنا :

$$C_e^* = \frac{4\pi V}{h^3} (2m_e^*)^{3/2}$$

وكاملنا المعادلة السابقة لحساب  $N_e$  للالكترونات المثارة حرارياً من منطقة التكافؤ الى منطقة التوصيل نحصل :

$$N_e = C_e^* \int_{\epsilon_g}^{\infty} (\epsilon - \epsilon_g)^{1/2} \exp - \left( \frac{\epsilon - \mu}{kT} \right) d\epsilon$$

وبالتعويض عن  $\frac{\epsilon - \epsilon_g}{kT}$  بالمقدار  $(x)$  نجد :

$$N_e = C_e^* \exp \left( - \frac{\mu - \epsilon_g}{kT} \right) (kT)^{3/2} \int_0^{\infty} x^{1/2} e^{-x} dx$$

ولكن قيمة التكامل الأخير تساوي  $\frac{1}{2} (\pi)^{1/2}$  لذلك فان

$$N_e = \frac{(\pi)^{1/2}}{2} C_e^* (kT)^{3/2} \exp(\mu - \epsilon_g) / kT \quad \dots (٦ - ٢٦)$$

اما منطقة التكافوء ، أي في مدى الطاقة  $0 \leq \epsilon \leq \epsilon_v$  فنجد أنه عند درجة الصفر المطلق تكون  $\bar{N}(\epsilon, 0) = 1$  وبعد التسخين تخرج بعض الالكترونات من تلك المنطقة تاركة عدد مساوي لها من الثقوب (Holes) الموجبة وبالتالي يقل معدل الاشغال  $\bar{N}(\epsilon, T)$  الى قيمته :

$$\frac{1}{\exp(\epsilon - \mu) / kT + 1}$$

حيث  $0 \leq \epsilon \leq \epsilon_v$  كذلك فان  $\epsilon < \mu$  أي ان طاقة الالكترون في هذه المنطقة أقل من طاقة فيرمي .

وبما ان نسبة متوسط الأشغال بالالكترونات  $\bar{N}_e(\epsilon, T)$  مضافاً اليه متوسط نسبة الأشغال للثقوب  $\bar{N}_h(\epsilon, T)$  في منطقة التكافوء يساوي الوحدة أي ان :

$$\bar{N}_e(\epsilon, T) + \bar{N}_h(\epsilon, T) = 1$$

وبالتعويض عن قيمة  $N_e(\epsilon, T)$  من العلاقة السابقة ولكون  $\epsilon < \mu$  في منطقة التكافؤ نحصل :

$$\bar{N}_h(\epsilon, T) = \frac{1}{\exp(\mu - \epsilon) / kT + 1} \approx \exp\left(-\frac{\mu - \epsilon}{kT}\right)$$

كذلك فان عدد الثقوب في منطقة التكافوء في مدى الطاقة  $\epsilon + d\epsilon$  هو :

$$dN_h(\epsilon, T) = \bar{N}_h(\epsilon, T)g(\epsilon)d(\epsilon)$$

وباعتبار  $\epsilon = 0$  فان قيمة مستويات الطاقة في منطقة التكافوء تصبح سالبة وعلى ذلك فان عدد حالات التكميم المتاحة للثقوب في المدى  $\epsilon, \epsilon + d\epsilon$  هي :

$$g(\epsilon) d\epsilon = \frac{4\pi V}{h^3} (2m_h)^{3/2} (-\epsilon)^{1/2} d\epsilon$$

وبالتعويض والتكامل على كل منطقة التكافوء ، نجد أن عدد الثقوب ( $N_h$ )

$$N_h = C_h \int_{-\infty}^0 (-\epsilon)^{1/2} e^{-(\mu - \epsilon) / kT} d\epsilon \quad \dots (27-6)$$

حيث :

$$C_h^* = \frac{4\pi V}{h^3} (2m_h)^{3/2}$$

وبالتعويض عن  $x = -\frac{\epsilon}{KT}$  تكامل المعادلة (٦ - ٢٧)

$$\begin{aligned} N_h &= -e^{-\mu/kT} C_h^* (kT)^{3/2} \int_{-\infty}^0 x^{1/2} e^{-x} dx \\ &= C_h^* \frac{\pi^{1/2}}{2} (kT)^{3/2} e^{-\mu/kT} \dots\dots (٦ - ٢٨) \end{aligned}$$

وحيث ان :  $N_h = N_e$

وبتساوى المعادلتين (٦ - ٢٦) (٦ - ٢٨) نحصل على قيمة  $(\mu)$  لأشباه الموصلات الذاتية.

$$\mu = \frac{3}{4} kT \ln\left(\frac{m_h^*}{m_e}\right) + \frac{\epsilon_g}{2} \dots (٦ - ٢٩)$$

ف عند الصفر المطلق يكون :  $\mu = \epsilon_g/2$

## (٦ - ١٤) معامل التوصيل الكهربائي لأشباه الموصلات الذاتية

إذا فرضنا ان بلورات الجسم الصلب لشبه الموصل الذاتي متجانسة الخواص مع الاتجاه (Isotropic) فان معامل التوصيل الكهربائي  $(\sigma)$  للمادة شبه موصلة يعبر عنه بالعلاقة :

$$\sigma = en \mu_{mob} \dots\dots (٦ - ٣٠)$$

حيث  $e$  شحنة الالكترون (أو الثقب) ،  $n$  الكثافة العددية لها  $\mu_{mob}$  معامل الانجراف Mobility لنقاط الشحنة (لاحظ أن  $\mu_{mob}$  لا علاقة له بالجهد الكيميائي  $\mu$ ) ويعرف  $\mu_{mob}$  من العلاقة .

$$\underline{V} = \mu_{mob} \underline{E} \dots (٦ - ٣١)$$

حيث  $\underline{V}$  سرعة حاملات الشحنة بتأثير المجال الكهربائي  $\underline{E}$

ويسبب وجود الالكترونات والثقوب في المواد الشبه الموصلة الذاتية فان :

$$\sigma = e(n_e \mu_e + n_h \mu_h) \quad \dots (٦ - ٣٢)$$

حيث  $n_h$  يمثل الكثافة العددية للثقوب ،  $\mu_h$  معامل الانجراف لها ،  $e$  القيمة العددية للشحنة .

$$n_e = \frac{N_e}{V} , n_h = \frac{N_h}{V}$$

ولكن :

$$n_e = n_h = \sqrt{\frac{N_e N_h}{V}} = \frac{2}{h^3} (2\pi kT)^{3/2} (m_e m_h)^{3/4} e^{-\epsilon_g/2kT}$$

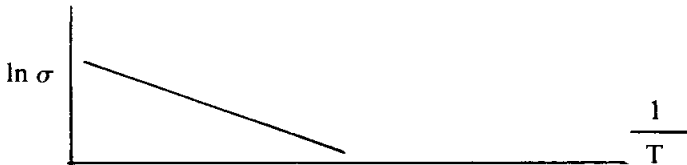
$$n_e = \frac{N_e}{V} , n_h = \frac{N_h}{V} \quad \frac{2}{h^3}$$

$$\sigma = \frac{2e}{h^3} (m_e m_h)^{3/4} (\mu_e + \mu_h) (2\pi kT)^{3/2} e^{-\epsilon_g/2kT} \quad (٦ - ٣٣)$$

$$\therefore \ln \sigma = A + \frac{3}{2} \ln T - \frac{\epsilon_g}{2kT} \quad \dots \dots \dots (٦ - ٣٤)$$

وحيث (A) كمية ثابتة . ولكن تغير الحد  $\frac{\epsilon_g}{2kT}$  اسرع من تغير  $\ln T$  لذلك فان العلاقة (٦ - ٣٤) تعطي خطأ مستقيماً تقريباً (المخطط ٦ - ١٦) .

أي أن  $\sigma$  تزداد مع T لأشباه الموصلات الذاتية على عكس المعادن (الموصلات) عند تسخينها .



المخطط (٦ - ١٦) تغير معامل التوصيل الكهربائي مع درجة الحرارة لأشباه الموصلات الذاتية .

## (٦ - ١٥) الانتقال من الاحصاء الكمي الى الاحصاء

التقليدي :

لقد تطرقنا في هذا الفصل الى مفاهيم الميكانيك الكمي لتفسير الظواهر الفيزيائية ، ولا بد من معرفة الشروط التي تنقلنا من الاحصاء الكمي الى الاحصاء

التقليدي (الكلاسيكي) . على مجموعة من (n) جسيمة . ففي نظرية التكميم تكون دالة الحجز:

$$Z = \sum g_i \exp - (E_i / kT)$$

حيث  $E_i$  هي طاقة مستوى التكميم للجسيمة  $(g_i), (i)$  هو درجة التحلل لذلك المستوى ذو الطاقة  $(E_i)$  ، وللحصول على دالة الحجز المجهرية التقليدية، أي للانتقال من الميكانيك الكمي الى الميكانيك التقليدي ، نجري التغيرات التالية :

١ - نبدل  $g_i$  بالمقدار  $\frac{dr^3 dp^3}{h^3}$  في فضاء الطور وهي تساوي عدد حالات التكميم المتاحة للجسيمات في المنطقة المحصورة بين المتجهين  $r+dr, r$  وبزخم يقع في المدى  $\underline{p}+d\underline{p}, \underline{p}$

٢ - نستبدل  $E_i$  المكممة بالطاقة التقليدية  $(E)$  حيث  $0 \leq E \leq \infty$  وذلك لأنه في الاحصاء التقليدي كما هي الحالة في الميكانيك التقليدي تكون طاقة الجسيمة متصلة وغير مقتصرة على قيم محددة ، كما في حالة التكميم ، بل تأخذ قيماً من الصفر الى ما لا نهاية .

٣ - نستبدل اشارة الجمع  $\sum$  في الميكانيك الكمي باشارة التكامل  $\int$  في الميكانيك التقليدي ، لكون الدالة في الحالة الأولى منفصلة وفي الحالة الثانية متصلة ، والتكامل يشمل فراغ احداثيات الازاحة وفراغ الزخم المقترن بها . لذلك فان دالة الحجز التقليدي  $Z_c$  تصبح :

$$Z_c = \frac{I}{h^3} \iint d^3\underline{r} d^3\underline{p} \exp - E_i / kT$$

فللغاز المثالي مثلاً تكون العلاقة بين الطاقة  $(E)$  والزخم  $(P)$  :

$$E = \frac{p^2}{2m} = \frac{I}{2m} (P_x^2 + P_y^2 + P_z^2)$$

$$\therefore Z_c = \frac{I}{h^3} \int d^3r \int d^3p \exp - \left( \frac{p^2}{2mkT} \right)$$

ولكن الحجم  $V$  لنظام  $N$  جسيمة  $d^3\underline{r} = \iiint dx dy dz$  كذلك

$$\int_{-\infty}^{\infty} d^3 p \exp \left( - \frac{p^2}{2mkT} \right) = (2\pi mkT)^{3/2}$$

$$\therefore Z_c = V \left( \frac{2\pi mkT}{h^2} \right)^{3/2}$$

وهي دالة الحجز التقليدية للغاز المثالي الذي حجمه  $V$  ودرجة حرارته  $T$   
 إن قيمة  $Z_c$  لأخفق الغازات (مثل  $H_2$ ) بدرجة حرارة الغرفة وحجم سم<sup>3</sup>  
 واحد تقارب  $10^{27}$  وهي تزداد مع كتلة الغاز ودرجة حرارته ، لذلك فإن قيمته  
 تزيد على عدد لوشميدت ( $L$ ) والذي يقارب  $10^{27}$  جزيئة / سم<sup>3</sup> في الظروف

القياسية :  $\frac{Z_c}{L} > 10^8 \therefore \frac{V}{L} > 10^8 \left( \frac{h^2}{2\pi mkT} \right)^{3/2}$

حيث  $V = 1$  سم<sup>3</sup> ،  $l$  البعد بين جزيئات الغاز :

$$\therefore \left( \frac{V}{L} \right)^{1/3} = l > 10^2 \left( \frac{h^2}{2\pi mkT} \right)^{1/2}$$

ولكن :

$$\frac{p^2}{2m} = \frac{3}{2} kT$$

$$\therefore l > \lambda_D = \frac{h}{\sqrt{p^2}}^{1/2}$$

حيث  $\lambda_D$  هو طول موجة (دي برولي) .

وخلاصة القول ؛ يمكننا استخدام القوانين التقليدية ومنها  $Z_c$  لحساب  
 الخواص الترموديناميكية بشرط ان يكون معدل المسافة البينية للجزيئات اكبر من  
 طول موجات (دي برولي) المصاحبة لحركة الجسيمة .

وهذا يتم للغاز المخلخل وفي درجات حرارية عالية . اما الغاز الكثيف  
 البارد فان جزيئاته تتقارب وتزداد قوى التفاعل بينها Interaction forces وبذلك  
 تتدخل قوى التكميم والتي لا يمكن تجاهلها . لذلك نجحت قوانين الميكانيك  
 التقليدي على حركة الجسيمات المتباعدة ، مثل حركة المنظومة الشمسية ، ولكنها  
 فشلت في دراسة الانظمة الذرية المكونة للمادة بحالة السيولة او الصلابة حيث

$$l \approx \lambda_D$$



## تمارين الفصل السادس .

- ١ - ما فرق بين الفرميونز والبوزونز ؟ هات أمثلة لكل منهما .
- ٢ - متى يصح احصاء F.D., B.E. على الغاز المثالي ؟
- ٣ - احسب عدد الالكترونات في حزمة التوصيل لكل من الليثيوم والنحاس ، مستعيناً بقيمة طاقة فيرمي  $\epsilon_F$  لهذه المعادن في الجدول (٦ - ١) وقارنها بعدد الكترونات التكافؤ لوحدة الحجم لهذين الفلزين .  
الجواب :  $٤,٥٦ \times 10^{28} \text{ م}^{-٣}$  ،  $٨,٥ \times 10^{28} \text{ م}^{-٣}$
- ٤ - عين طاقة فيرمي للصوديوم اذا علم ان كثافته  $٩٨٠ \text{ كغم/م}^٣$  وان كل ذرة منه تعطي الكترونا واحداً الى حزمة التوصيل .  
الجواب :  $٣,١٥١ \text{ (ا . ف .)}$
- ٥ - اذا علم أن  $\epsilon$  للجرمانيوم تقارب  $٠,٧٥ \text{ إ.ف .}$  ، ففي أية موجة يبدأ الجرمانيوم بامتصاص الضوء .  
الجواب :  $١,٦٥ \text{ مايكرون .}$
- ٦ - برهن ان طول موجة دي برولي ( $\lambda_{DL}$ ) لجسيمة كتلتها  $m$  تسير بسرعة  $C_m$  (السرعة الأكثر احتمالاً) في توزيع ماكسويل بدرجة  $T$  تساوي :  
$$\lambda = \frac{h}{(2m kT)^{1/2}}$$
  
واحسب طولها للنيوترون بدرجة  $٢٠^\circ \text{ س}^\circ$  .  
الجواب :  $١,٨١ \text{ انكستروم .}$
- ٧ - جد متوسط سرعة الالكترون بدرجة الصفر المطلق في معدن يحتوي على  $10^{23}$  الكترون حر/سم<sup>٣</sup> .
- ٨ - في تفاعل نووي (لحظات نشوء الكون) استخدمت  $١٠\%$  من الطاقة الحرارية لانتاج الكترون وبوزيترون ، فما هي درجة حرارة التفاعل ؟  
الجواب :  $١,٣ \times 10^{11} \text{ ك}$

٩ - إن كثافة الطاقة لضوء النجم تقارب (1) إ.ف / سم<sup>٢</sup> فما درجة حرارته على فرض أنه جسم أسود ؟

١٠ - اذا علم أن حجم التجويف الذي يحتوي اشعاع الجسم الأسود بدرجة ٢٠٠٠ ك ، قد تمدد من ١٠ الى ١٠٠٠ سم<sup>٣</sup> مع ثبوت (T) فاحسب :

(أ) الطاقة الحرارية المنتقلة .

(ب) تغير طاقة الاشعاع .

(ج) الشغل المصروف .

(د) درجة حرارة الاشعاع لو حصل التمدد اديباتيكياً .

الجواب : ١٦٠ إرك ، ١٢٠ إرك ، ٤٠ إرك ، ٤٣١ ك .

١١ - إن طاقة طيف الشمس تصل ذروتها عند الموجة (٤٨٤٠)

انكستروم . فلو فرضنا الشمس جسم اسود فما مقدار :

(أ) درجة حرارة سطحها ؟

(ب) كثافة الطاقة الاشعاعية ؟

(ج) ضغط الاشعاع ؟

الجواب : ٦٠٠٠ ك ، ٩,٨٤ ارك / سم<sup>٢</sup> ، ٣,٢٨ دايين / سم<sup>٢</sup> .

١٢ - سبعة جسيمات متميزة ، متوزعة على مستويي طاقة ، المستوى الأعلى

غير متحلل وطاقته ١٠-٢ إ . ف . مقارنة بالمستوى الأسفل المزدوج التحلل .

احسب : الطاقة الداخلية والانتروبي للنظام ، اذا كان له استعداد لاشغال

جسيمتين في المستوى الأعلى .

الجواب : ٤ × ١٠<sup>-٢</sup> إ.ف ، ٦,٥١ من قيمة k .

١١ - برهن ان الاحتمالية الثرموداينميكية لاحصاء B.E ولاحصاء F.D

تصبح بالصيغة التقليدية (Wc) .

$$W_c = \prod_i \frac{g_i N_i}{N_i !}$$

على فرض أن :  $g_i \gg N_i$

١٤ - برهن ان الاحتمالية الثرموداينميكية (W) للاحصاءات الثلاثة يمكن

تمثيلها بالصيغة :

$$W = \prod_i g_i(g_i - a)(g_i - 2a)(g_i - 3a) \dots [g_i - (N_i - 1)a] N_i$$

حيث  $a = \pm 1, 0$  تبعاً لنوع الاحصاء .

١٥ - برهن ان متوسط عدد الجسيمات  $\bar{N}_i$  في المستوى (i) لنظام يتكون من (N) جسيمة تخضع لاحصاء M.B. يساوي :

$$\bar{N}_i = -NkT \left( \frac{\partial \ln Z}{\partial \epsilon_i} \right)$$

١٦ - برهن :

$$W_i = \frac{g_i(g_i + N_i - 1)!}{g_i! N_i!} = \frac{(g_i + N_i - 1)!}{(g_i - 1)! N_i!}$$

١٧ - برهن : عدد الفرميونات المحصورة بين فاصلة السرعة  $c+dc, c$  بدرجة (T) هي

$$dN(c) = \frac{8\pi V m^3}{h^3} \cdot \frac{c^2 dc}{\text{Exp} \left( \frac{mc^2}{2} - \epsilon \right) / kT + 1}$$

m كتلة الفرميون V حجم الوعاء .

١٨ - بين أن عدد الفرميونات بمركبات السرعة السينية (x) المحصورة بين (u), (u + du) هي :

$$dN(u) = \frac{4\pi V m^2}{h^3 kT} \left[ L_n \text{Exp} \left( \epsilon_F - mu^2 / 2 \right) / kT + 1 \right] du$$

(تنويه للحل )

$$\int_0^{\infty} (a e^x - 1)^{-1} dx = \ln \left( 1 + \frac{1}{a} \right)$$

١٩ - جد النسبة بين احتمالية الانبعاث الآني والمحتث بدرجة ٣٠٠ ك .

(أ) لمنطقة الأمواج المجهريّة  $(f = 10^{13} \text{ Hz})$

(ب) المنطقة المنظورة  $(f = 10^{15} \text{ Hz})$

٢٠ - برهن ان الحرارة النوعية تحت حجم ثابت لغاز F.-D. المثالي يعبر عنها بالعلاقة :

$$C_v = \frac{\pi^2}{2} R^2 \left( \frac{kT}{\epsilon F} \right) \left[ 1 - \frac{3\pi^2}{10} \left( \frac{kT}{\epsilon F} \right)^2 + \dots \right]$$

وعين من هذه العلاقة ، الحرارة النوعية المسببة عن الالكترونات (Ce) الحرة في المعدن . وبين أنها قليلة مقارنة بالحرارة النوعية الاهتزازية لذرات البلورة في درجات الحرارة المرتفعة .

٢١ - برهن ان الكثافة العددية للفوتونات (n) في الجسم الأسود تساوي :

$$n = 8\pi \left( \frac{kT}{h.c} \right)^3 \int_0^{\infty} \frac{x^2 dx}{e^x - 1}$$

حيث التكامل = ٢,٤٠٤

٢٢ - برهن ان الاحصاء التقليدي يعطي قيمة الجهد الكيميائي ( $\mu$ ) من العلاقة :

$$\mu = -kT (L_n Z - L_n N)$$

(تنويه : دالة التوزيع التقليدي تشتق من دالة F - D مع الوحدة في المقام) .

٢٣ - اذا كان الجهد الكيميائي ( $\mu$ ) يعبر عنه بمعادلة سمرفيلد التقريبية :

$$\mu = \epsilon F \left[ 1 - \frac{\pi^2}{12} \left( \frac{kT}{\epsilon F} \right)^2 + \dots \right]$$

فما درجة الحرارة التي يقوم بها الحد الثاني في المعادلة بالتأثير بمقدار ١٪ من

قيمة  $\epsilon F$  . واحسب T للنحاس :

$$T = \frac{\sqrt{3} \cdot \epsilon F}{5\pi k} \quad \text{الجواب :} \quad ٩٠٠٠ \text{ ك للنحاس .}$$

من هذا المثال نلاحظ اننا نتمكن من اعتبار  $\mu = \epsilon F$  حتى في درجات الحرارة الاعتيادية .

٢٤ - اذا كانت الحرارة النوعية المولية لغاز من الالكترونات الحرة في المعدن

تساوي :

$$C_v = \frac{\pi^2}{2} \left( \frac{kT}{\epsilon_F} \right) R$$

فما قيمتها للفضة بدرجة ٣٠٠ ك .

$$C_v = 0.0225 R$$

الجواب :

٢٥ - احسب W للاحصاءات الثلاثة لمستوى طاقة يحتوي على ٣ جسيمات فيه ٤ حالات تحلل ثم رتب جدولاً لكل حالة يوضح التوزيع :

هنا يوسف الدويهي

متاح للتحميل ضمن مجموعة كبيرة من المطبوعات من صفحة

مكتبتي الخاصة

على موقع ارشيف الانترنت

الرابط

[https://archive.org/details/@hassan\\_ibrahem](https://archive.org/details/@hassan_ibrahem)



## الملحق ( أ )

### (١) ملاحظات عن التجميع (Summations)

في الاحصاء الفيزيائي كثيراً ما نرغب في إيجاد مجموع متوالية :

$$\sum_{i=1}^N X_i = X_1 + X_2 + \dots + X_N$$

حيث :  $N, \dots, 2, 1 = i$

فلاحظ ان الدليل المميز (i) للمتغير  $X_i$  هو دليل اختياري ومن الممكن استبداله بدليل آخر (j) . وان استخدام رمز التجميع ( $\Sigma$ ) يسهل الأمور كثيراً ،  
فمثلاً :

$$\sum_{i=1}^m X_i \sum_{j=1}^n y_j = (X_1 + X_2 + \dots + X_m)(y_1 + y_2 + \dots + y_n)$$

$$\sum_{i=1}^m x_i \sum_{j=1}^n y_j = \sum_{i=1}^m \sum_{j=1}^n x_i y_j$$

### (٢) مجموع المتوالية الهندسية كثيرة الحدود :

لايجاد مجموع المتوالية الهندسية  $S_n$  حيث :

$$S_n = a + ax + ax^2 + \dots + ax^n$$

نضرب طرفي المعادلة في (x) ، حيث x قد يكون حقيقياً أو معقداً

$$\therefore x S_n = S_n + a X^{n+1} - a X^{n+1} - 1$$

ومن هاتين المعادلتين (بالطرح) نجد :

$$S_n = a(X^{n+1} - 1) / (x - 1)$$

فإذا كانت المتوالية غير منتهية  $(n \rightarrow \infty)$   $(|X| < 1)$  فإن :

$$S_{\infty} = \frac{a}{1-x}$$

### (٣) تكاملات هامة :

يقال ان الدالة  $g(x)$  زوجية (Even) عندما يكون :  $g(x) = g(-x)$

والدالة فردية عندما تكون  $f(x) = f(-x)$

لذلك فإن :  $\int_{-a}^a g(x) dx = 2 \int_0^a g(x) dx$   
(الدالة الزوجية) :

$\int_{-a}^a f(x) dx = 0$  (الدالة الفردية)

(Gaussian Integrals)

### (٤) تكاملات كاوس :

لواخذنا التكامل :

$$I_0(a) = \int_0^{\infty} e^{-a x^2} dx = \int_0^{\infty} e^{-a y^2} dy$$

فان :

$$I_0^2(a) = \int_0^{\infty} \int_0^{\infty} e^{-a(x^2 + y^2)} dx \cdot dy$$

ضع :

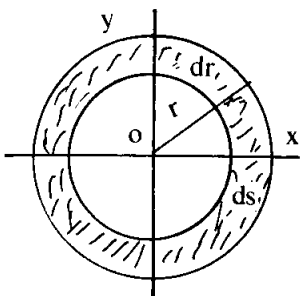
$$ds = dx dy \quad , \quad r^2 = x^2 + y^2$$

$$\therefore I_0^2(a) = \int_0^{\infty} e^{-a r^2} ds$$

ويمكن تمثيل هذه المقادير على شكل قرص دائري (المخطط). وبما ان التكامل

في المعادلة الأخيرة يتم على الربع الموجب من المستوى (Xy).





$$\therefore I_0^2(a) = \frac{1}{4} \int e^{-ar^2} ds$$

$$= \frac{1}{4} \cdot 2\pi \int_0^\infty r e^{-ar^2} dr$$

لأن  $S = \pi r^2$   
 $ds = 2\pi r dr$   
 ضع :

$$Z = ar^2$$

$$I_2^2(a) = \frac{\pi}{4a} \int_0^\infty e^{-Z} dZ = \frac{\pi}{4a}$$

$$I_0(a) = \frac{1}{2} \left( \frac{\pi}{a} \right)^{1/2} \quad \dots (أ)$$

كذلك (للدالة الزوجية)

$$\int_{-\infty}^{\infty} e^{-ax^2} ds = 2I_0(a) = \left( \frac{\pi}{a} \right)^{1/2} \quad (أ)$$

وكذلك  $I_1(a)$  . حيث :

$$I_1(a) = \int_0^\infty x \cdot e^{-ax^2} dx = \frac{1}{2} \int_0^\infty e^{-ax^2} dx^2$$

$$Z = ax^2 \quad \text{ضع :}$$

$$\therefore I_1(a) = \frac{1}{2a} \int_0^\infty e^{-Z} dZ = \frac{1}{2a} \quad \dots (ب)$$

$$I_n(a) = \int_0^\infty x^n e^{-ax^2} dx \quad \text{وعموماً فان :}$$

تأخذ القيم التالية تبعاً لقيمة (n) .

$I_m(a)$	$\left  \frac{1}{2} \left( \frac{\pi}{a} \right)^{\frac{1}{2}} \right $	$\left  \frac{1}{2a} \right $	$\left  \frac{1}{4} \left( \frac{\pi}{a^3} \right)^{\frac{1}{2}} \right $	$\left  \frac{1}{2a^2} \right $	$\left  \frac{3}{8} \left( \frac{\pi}{a^5} \right)^{\frac{1}{2}} \right $	$\left  \frac{1}{a^3} \right $	$\left  \frac{15}{16} \left( \frac{\pi}{a^7} \right)^{\frac{1}{2}} \right $	$\left  \frac{3}{a^4} \right $
	0	1	2	3	4	5	6	7

وتسمى هذه متكاملات كاوس

(Gamma Function)

(٥) دالة كاما  $\Gamma(n)$  :

$$\Gamma(n) = \int_0^{\infty} x^{n-1} \cdot e^{-x} dx \quad (أ)$$

تعرف دالة كاما بالتكامل

$$\Gamma(n) = (n-1) \int_0^{\infty} x^{n-2} \cdot e^{-x} \cdot dx = (n-1) \Gamma(n-1) \quad (ب)$$

لذلك فإن :

$$\Gamma(1) = \int_0^{\infty} e^{-x} dx = 1$$

$$\Gamma(2) = \Gamma(1) = 1 = 0! = 1!$$

$$\Gamma(3) = 2 \Gamma(2) = 2 \times 1 = 2!$$

$$\Gamma(4) = 3 \Gamma(3) = 3 \times 2 \Gamma(2) = 3!$$

$$\therefore \Gamma(n+1) = n! \quad (ج) \dots$$

$$\Gamma(1) = 0! = 1 \quad \text{وعليه فإن } n=0 \text{ يعطي}$$

$$0! = 1 \quad \text{وهو اثبات}$$

كذلك لو وضعنا  $n = 1/2$  فإن :

$$\Gamma(1/2) = \int_0^{\infty} x^{-1/2} e^{-x} dx = 2 \int_0^{\infty} e^{-x} dx^{1/2}$$

$$Z^2 = X \quad \text{ضع}$$

$$\therefore \Gamma(1/2) = 2 \int_0^{\infty} e^{-z^2} dz = 2 I_0(1) = (\pi)^{1/2}$$

وباستخدام العلاقة (ب) نحصل :

$$\Gamma\left(\frac{3}{2}\right) = \frac{1}{2} \Gamma\left(\frac{1}{2}\right) = \frac{1}{2} (\pi)^{1/2}, \quad \Gamma\left(\frac{5}{2}\right) = \frac{3}{2} \Gamma\left(\frac{3}{2}\right) = \frac{3}{4} (\pi)^{1/2}$$

..... الخ .

(Stirling Formula)

## (٦) معادلة ستيرلينج

عندما يكون المتغير (X) كبيراً جداً وعدداً صحيحاً فإن :

$$\ln(X)! = \ln x_1 + \ln x_2 + \ln x_3 + \dots \dots \dots \ln x_n$$

$$\therefore \ln x! = \sum_{x=1}^x \ln x_i \approx \int_1^x \ln x \, dx$$

وباستخدام طريقة التكامل بالاجزاء (Intergration by parts) وعندما يكون

$x \gg 1$  نحصل :

$$\ln x = \int_1^x \ln x \, dx = x \ln x - X + 1 \approx X \ln x - X \quad (أ)$$

ولقد سبق وبرهنا ان دالة كاما  $\Gamma(x+1)$  تساوي  $X!$

$$\therefore X! = \Gamma(1+x) = X^x e^{-X} (2\pi x)^{1/2} \quad \dots (ب)$$

$$\therefore \ln X! = \frac{1}{2} \ln 2\pi + \frac{1}{2} \ln x + X \ln x - X \quad \dots (ج)$$

$$\frac{d \ln n!}{dn} \approx \ln n \quad (د) \quad \text{كذلك عندما تكون } n \text{ كبيرة فإن :}$$

(Error Function)

## (٧) جدول دالة الخطأ

لقد سبق وتطرقنا الى هذه الدالة في الفصل الثاني وهي تعرف بالعلاقة :

$$\text{erf}(x) = \frac{1}{\sqrt{\pi}} \cdot \int_0^x e^{-x^2} dx$$

وسوف ندون جدولاً لهذه الدالة للحد الذي تثبت فيه الى قيمة ٥, ٠ .

X	0	0.2	0.4	0.6	0.8	1	1.2	1.4
erf(x)	0	0.1113	0.2142	0.3019	0.3711	0.4214	0.4552	0.4762
X	1.6	1.8	2	2.2	2.4	2.6	2.8	
erf(x)	0.4882	0.4946	0.4946	0.4977	0.4991	0.4996	0.500	

## (٨) بعض الثوابت المهمة :

- النيوتن (nt) / م<sup>٢</sup> = ١٠ داين / سم<sup>٢</sup> .
- البار (BAR) = ١٠<sup>٦</sup> داين / سم<sup>٢</sup> = ١٠٠٠ ملي بار (mb) .
- الجواقيسي = ١,٠١٣٢٥ × ١٠<sup>٥</sup> نيوتن / م<sup>٢</sup> ، اللتر - جو = ١٠١,٣ جول .
- السرعة = ٤,١٨٦ جول = ٢,٦١٣ × ١٠<sup>١١</sup> . ف . (الكترن - فولط) .
- كتلة السكون للالكترن (me) = ٩,١٠٩ × ١٠<sup>-٣١</sup> كغم .
- كتلة السكون للبروتون = ١,٦٧٣ × ١٠<sup>-٢٧</sup> كغم .
- ثابت الغاز (R) = ٨,٣١٤٣ = جول / غم مول ك ،
- شحنة الالكترن (e) = ١,٦٠٢ × ١٠<sup>-١٠</sup> كولب .
- ثابت بلانك (h) = ٦,٦٢٦ × ١٠<sup>-٢٤</sup> جول . ثانية
- ثابت بولتزمان (k) = ١,٣٨١ × ١٠<sup>-٢٣</sup> جول / ك
- ثابت الجاذبية (G) = ٦,٦٧ × ١٠<sup>-١١</sup> نيوتن م<sup>٢</sup> / كغم<sup>٢</sup> .
- ثابت ستيفان - بولتزمان (σ) = ٥,٦٧ × ١٠<sup>-٥</sup> ارك / ثا . سم<sup>٢</sup> ك<sup>٤</sup> ،
- مكتون بور (μβ) = ٩,٢٧٣٢ × ١٠<sup>-٢٤</sup> جول / تسلا (Bohr Magneton)
- e = 2.7183      log e = 0.4343      Ln 10 = 2.3026

م. يوسف اللامي

(٩) بعض المراجع :

- 1) Thermodynamics And Statitital Physics D.C.Kelly 1973 Academic Press .
- 2) Heat And Thermodyanamics M.W.Zemansky 1968 McGraw - Hill .
- 3) Thermodynamics, Kinetic Theory And Statistical Thermodynamics F.W.Sears and G.L.Salinger 1975 Addison-Wesley .
- 4) Fundamental University Physics III M.Alonso and E.J.Finn 1968 Addison-Wesley .
- 5) Thermophysics A.L.King 1962 W.H.Freeman and Co .
- 6) Problems in Thermodynamics And Statistical physics Ed. P.T.Landsberg 1971 Pion L.T.D.London .
- 7) Statistical physics F.Reif Berkeley physics Course - Vol. 5  
Mc G. Aw Hill Book Co. 1967
- 8) Elements of Statistical thermo dynamics L.K.Nash 2nd Ed. Addison - Wesley Co .

## (١٠) قائمة بالمصطلحات المعربة :

Abstract	مجرد ، بحث ، خلاصة
Active	نشط
Activation	تنشيط
Assembly	مجموعة
Adiabatic	كاظم ، معزول ، اديباتي
Average	المعدل
Atmosphere	الجو
Barrier	حاجز ، عائق
Bosons	البوزونات (جسيمات بوز - اينشتاين)
Binomial	ذو الحدين
Black body radiation	اشعاع الجسم الأسود
Cross section	المقطع
Collision	التصادم
Cryogenics	الزهريريات
Conservative	محافظ
Canonical	قانوني
Canonical ensemble	التجمع الكبير
Contribution	مساهمة
Constraints	ضوابط
Contrary	العكس ، النقيض
Chemical potential	الجهد الكيميائي
Distribution	توزيع
Degenerate	يتحلل
Degeneracy	التحلل

Distinguishable	متميز
Diffusion	الانتشار
Deviation	الانحراف
Discrete	مقنن
Diatomic	ثنائي الذرة
Equilibrium	الاتزان
Equipartition	تساوي التوزيع
Emission	انبعاث
Emperical	افتراضي
Excite	يثير ، يهيج
Element	عنصر
Elementary	أولي
Effusion	الفوكان
Energy	طاقة
Exclude	يستثني
Factorial	المضروب
Fermions	فرميونات
	(جسيمات فيرمي - دايراك)
Function	دالة
Fluctuation	التراوح
Free path	المسار الحر
Grand	الأعظم
Grey body	الجسم الرمادي
Gravitation	الجاذبية الكتلية
Graviton	كرافيتون (كم الجاذبية)
Ground state	حالة القرار
Harmonic	توافقي

Harmonic oscillator	متذبذب توافقي
Hole	ثقب موجب
Induced	محث
Ideal	مثالي
Induced emission	انبعاث محث
Instantaneous	آني
Indistinguishable	غير متميز
Interval	فاصلة
Internal	داخلي
Intrinsic	ذاتي
Isolate	يعزل
Isothermal	متساوي في درجة الحرارة
Isotropic	متجانس الخواص
Lattice	مشبك ، هيكل
Mean	متوسط
Momentum space	فضاء الزخم
Macrostate	الحالة المنظورة
Microstate	الحالة المجهرية
Mean free path	متوسط المسار الحر
Monatomic	آحادي الذرة
Metastable	شبه مستقر
Most probable	الأكثر احتمالاً
Occupation number	عدد الأشغال
Probability	الاحتمالية
Particle	جسيمة
Partial	جزئي
Partition function	دالة الحجز



Photon	الضوئية ، الفوتون
Phonon	الصوتية ، الفونون
Polynomial	كثير الحدود
Polyatomic	كثير الذرات
Potential	كامن - جهد
Potential barrier	حاجز جهدي
Phase	طور
Phase space	فضاء الطور
Quantum	كم
Quanta	اكمام
Quantization	تكميم
Quasi-static	شبه ساكن
Random	عشوائي
Root mean Square (RMS)	جذر معدل المربع
Resonator	رنان
Rotation	دوران
Statistics	الاحصاء
Statistical mechanics	الميكانيك الاحصائي
Stimulated	محفز
Standard	معياري
Standard deviation	الانحراف المعياري
Summation	التجميع
Translation	انتقال
Transition	نقلة طاقة
Transport	النقل
Thermodynamics	حركات الحرارة ، الترموداينميكس
Thermodynamic probability	الاحتمالية الترموداينميكية

Term	حد ، شرط
Uncertainty principle	مبدأ الشك
Ultra sonics	ما وراء السمعيات
Ultra violet	ما وراء البنفسجية
Velocity space	فضاء السرعة
Vector	متجه
Wave number	العدد الموجي
Zero point	نقطة الصفر
Zero point energy	طاقة الصفر المطلق

هنا يوسف اللوشي

متاح للتحميل ضمن مجموعة كبيرة من المطبوعات من صفحة

مكتبتي الخاصة

على موقع ارشيف الانترنت

الرابط

[https://archive.org/details/@hassan\\_ibrahem](https://archive.org/details/@hassan_ibrahem)

## الفهرس

### الفصل الاول :

#### النظرية الحركية للغازات

- ٥ (١ - ١) المقدمة
- ٨ (١ - ٢) النظرية الحركية للغاز المثالي
- ١٣ (١ - ٣) مبدأ تساوي اقتسام الطاقة
- ١٦ (١ - ٤) الطاقة الداخلية للغاز والسعة الحرارية النوعية التقليدية
- ١٩ (١ - ٥) الاحداثيات الكروية للفضاء والسرعة
- ٢١ (١ - ٦) السيل الجزئي
- (١ - ٧) توزيع السرعة بين جزيئات الغاز
- ٢٥ (قانون ماكسويل لتوزيع السرعة)
- (١ - ٨) تحقيق معادلة ماكسويل لتوزيع السرعة تجريبياً
- ٣٠ (الحزم الجزيئية)
- (١ - ٩) فقدان الطاقة بالتصادم الجزيئي مع جدار
- ٣٤ متحرك (المكبس)
- ٣٦ امثلة محلولة
- ٤١ اسئلة الفصل الاول

### الفصل الثاني : ظواهر النقل من الغازات

- (١ - ٢) تأثير حجوم الجزيئات والقوى الجزيئية على تصرف الغاز الحقيقي
- ٤٩ (معادلة فان دير فال)

٥٢	(٢ - ٢) التصادم الجزيئي ومتوسط المسار الحر
٥٦	(٢ - ٣) نظرية درود للتوصيل الكهربائي
٥٧	(٢ - ٤) معامل اللزوجة للغاز
٦٢	(٢ - ٥) التوصيل الحراري للغاز
٦٤	(٢ - ٦) الانتشار
٦٧	(٢ - ٧) نظرية الحركة البراونية
٧٠	امثلة محلولة
٧٣	اسئلة الفصل الثاني

## الفصل الثالث : رياضيات الميكانيك الاحصائي

٧٧	(٣ - ١) مقدمة
٧٨	(٣ - ٢) تعاريف احصائية أولية
	(٣ - ٣) مفاهيم اساسية في الميكانيك الاحصائي
٩١	(تكميم الطاقة والزخم)
٩٧	(٣ - ٤) فضاء الطور
٩٩	(٣ - ٥) الحالات المجهرية والحالات المنظورة امثلة محلولة
١٠٢	امثلة محلولة
١٠٤	تمارين الفصل الثالث

## الفصل الرابع : الاحصاء الميكانيكي التقليدي

١٠٧	(٤ - ١) الاحتمالية الترموديناميكية
١١٠	(٤ - ٢) الانتروبي والاحتمالية الترموديناميكية

- ١١٥ (٤ - ٣) التفسير الاحصائي للشغل والحرارة
- ١١٦ (٤ - ٤) بعض تطبيقات احصاء ماكسويل / بولتزمان
- ١٣٠ امثلة محلولة
- ١٣٥ تمارين الفصل الرابع

## الفصل الخامس : نظريات الحرارة النوعية

- ١٣٩ (٥ - ١ أ) الحرارة النوعية للجزيئات الثنائية الذرة
- ١٤٤ (٥ - ١ ب) الحرارة النوعية للجوامد البلورية العازلة
- ١٤٨ تمارين الفصل الخامس

## الفصل السادس احصاء التكميم الحديث

- ١٥١ (٦ - ١) مقدمة
- ١٥٢ (٦ - ٢) احصاء بوز - اينشتاين
- ١٥٥ (٦ - ٣) اشتقاق قانون توزيع بوز - اينشتاين
- ١٥٧ (٦ - ٤) تطبيقات احصاء بوز - اينشتاين
- ١٦٦ (٦ - ٥) احصاء فيرمي - دايراك
- ١٦٩ (٦ - ٦) توزيع طاقة الغاز الكهروني
- ١٧٢ (٦ - ٧) الحرارة النوعية للالكترونات الحرة في المعدن
- ١٧٤ (٦ - ٨) الغاز المثالي في احصاء التكميم
- ١٧٦ (٦ - ٩) حالة التحلل وعدم التحلل في الاحصاءات المختلفة
- ١٧٨ (٦ - ١٠) نموذج الكهروونات الحرة من المعادن

١٨١	(٦ - ١١) ظاهرة الانبعاث الالكتروني الحراري
١٨٤	(٦ - ١٢) اشباه الموصلات
١٨٦	(٦ - ١٣) اشباه الموصلات الذاتية
١٨٩	(٦ - ١٤) معامل التوصيل الكهربائي لاشباه الموصلات الذاتية
١٩٠	(٦ - ١٥) الانتقال من الاحصاء الكمي الى الاحصاء التقليدي
١٩٣	تمارين الفصل السادس
١٩٩	الملاحق
٢٠٤	الثوابت
٢٠٥	المراجع
٢٠٦	المصطلحات

محمّد يوسف اللبوشي

هـسـىـ بـرـهـمـ (الـمـرـيـيـ)

مـتـاحـ لـلـتـحـمـيـلـ ضـمـنـ مـجـمـوعـةـ كـبـيـرةـ مـنـ المـطـبـوعـاتـ مـنـ صـفـحـة

مـكـتـبـتـيـ الـخـاصـة

عـلىـ مـوقـعـ ارـشـيـفـ الـانـتـرنـت

الرابط

[https://archive.org/details/@hassan\\_ibrahem](https://archive.org/details/@hassan_ibrahem)

هـسـى ابرهـم (اللمبى)

مـتـاح للـتـحـمـيل ضـمن مـجـمـوعـة كـبـيرـة مـن المـطـبـوعـات مـن صـفـحـة

مـكـتـبـتـي الـخـاصـة

عـلى مـوقـع اـرـشـيـف الـانـتـرنـت

الـرابط

[https://archive.org/details/@hassan\\_ibrahem](https://archive.org/details/@hassan_ibrahem)

٢٠